

С. Бенсон

ТЕРМОХИМИЧЕСКАЯ КИНЕТИКА

*Перевод с английского канд. хим. наук Ю. П. ЯМПОЛЬСКОГО
Под редакцией чл.-корр. АН СССР Н. С. ЕНИКОЛОПЯНА*

код 46.



ИЗДАТЕЛЬСТВО „МИР“ МОСКВА 1971

THERMOCHEMICAL KINETICS

*Methods for the Estimation of Thermochemical
Data and Rate Parameters*

SIDNEY W. BENSON

*Chairman, Department of Thermochemistry and
Chemical Kinetics Stanford Research Institute
Menlo Park, California*

JOHN WILEY & SONS, INC., NEW YORK - LONDON - SYDNEY 1968



ИЗДАТЕЛЬСТВО
«МИР»

СОДЕРЖАНИЕ

Предисловие	5
Предисловие автора	9

Глава I

РАВНОВЕСИЕ И СКОРОСТЬ РЕАКЦИИ

I.1. Термодинамика и кинетика	11
I.2. Реакция идеальных газов	13
I.3. Принцип детального равновесия	14
I.4. Термохимические величины	18
I.5. Стандартные состояния	21
I.6. Аррениусовские параметры	23
I.7. Модифицированное уравнение Аррениуса	26
I.8. Свободная энергия активации	27
I.9. Отрицательные энергии активации	28
I.10. Диаграмма координата реакции — энергия	30

Глава II

МЕТОДЫ ПОЛУЧЕНИЯ ТЕРМОХИМИЧЕСКИХ ДАННЫХ

II.1. Некоторые термодинамические соотношения	33
II.2. Источники термохимических данных	35
II.3. Правила аддитивности свойств молекул	36
II.4. Аддитивность свойств связей	37
II.5. Аддитивность свойств групп	40
II.6. Негрупповые взаимодействия. Циклы	44
II.7. Определение термохимических величин при повышенных температурах	45
II.8. Структурные методы определения C_p°	49
II.9. Колебательные вклады в C_p°	53
II.10. Электронные вклады в C_p°	56
II.11. Числа симметрии. Изомеры	57
II.12. Определение C_{pT}° по данным для модельных соединений	61
II.13. Колебательные вклады в энтропию	69
II.14. Энергия напряжения и энергия резонанса	72
II.15. Энергия π -связей	76
II.16. Энтропии циклических соединений	78

Глава III

АРРЕНИУСОВСКИЕ ПАРАМЕТРЫ РЕАКЦИЙ В ГАЗОВОЙ ФАЗЕ

III.1. Элементарные стадии газовых реакций	83
III.2. Теория переходного состояния	84

III.3. Теория столкновений для бимолекулярных реакций	89
III.4. Структурный анализ стерического фактора	92
III.5. Классификация мономолекулярных реакций	95
III.6. Простой распад. Отщепление атома от молекулы	97
III.7. Простой распад на две большие группы	102
III.8. Цис-транс-изомеризация	107
III.9. Сложный распад. Циклические переходные состояния	111
III.10. Бирадикальные промежуточные продукты в мономолекулярных реакциях	123
III.11. Пространственные затруднения и резонанс в переходном состоянии	136
III.12. Расчет предэкспоненциальных множителей распада циклов	138
III.13. Реакция ретродиенового синтеза	139
III.14. Классификация бимолекулярных реакций	142
III.15. Нижний предел предэкспонента бимолекулярной реакции	144
III.16. Реакции замещения	148
III.17. Реакции ассоциации	153
III.18. Реакции вытеснения	160
III.19. Процессы передачи энергии	162
III.20. Рекомбинация атомов	169
III.21. Процессы передачи энергии при низких давлениях	174
III.22. Реакции ионов	176

Глава IV АНАЛИЗ СЛОЖНЫХ РЕАКЦИЙ

IV.1. Цепные реакции	179
IV.2. Критерий для оценки роли цепных реакций	180
IV.3. Скорость продолжения цепи	183
IV.4. Продукты конкурирующих цепных реакций	185
IV.5. Некоторые типы цепных реакций	188
IV.6. Стадии инициирования	194
IV.7. Реакции обрыва	200
IV.8. Реакции передачи цепи и инициирование цепных реакций	202
IV.9. Пиролиз ацетальдегида	204
IV.10. Малоактивные радикалы	206
IV.11. Селективность радикалов	212
IV.12. Окисление	214
IV.13. Образование инертных радикалов в реакциях инициирования	221
IV.14. Вторичные реакции	223
IV.15. Полимеризация в газовой фазе	229
IV.16. Гомогенный катализ	231
IV.17. Гомогенный катализ реакций рекомбинации	237
IV.18. Стадии изомеризации в цепных процессах	239
IV.19. Реакции горячих молекул	246
IV.20. Реакции озона с олефинами	252

ГЛАВА V ПРИЛОЖЕНИЕ. ТАБЛИЦЫ

Книга известного американского кинетика С. Бенсона посвящена проблемам, лежащим в пограничной области между химической кинетикой и термохимией, — направлению, интенсивно развивающемуся как в нашей стране, так и за рубежом. В книге рассматривается разработанный автором новый оригинальный метод, позволяющий рассчитывать кинетические параметры элементарных химических процессов и на этой основе предсказывать механизмы сложных газовых реакций.

Книга предназначена для физико-химиков — специалистов в области химической кинетики и термодинамики, а также для химиков-органиков.

Редакция литературы по химии

Инд. 2-5-4

65-71

С. Бенсон
ТЕРМОХИМИЧЕСКАЯ КИНЕТИКА

Редактор С. К. Оганесян

Художественный редактор Н. Г. Блинov
Технический редактор Л. П. Бирюкова

Художник Л. Г. Ларский

Сдано в набор 29/VII 1970 г.

Бумага № 2 84×108^{1/2} — 4,81 бум. л. 16,17 усл. печ. л. 15,99 уч.-изд. л. Изд. № 3/5502.
Цена 1 р. 81 к.

Подписано к печати 8/I 1971 г.
Заказ № 735.

ИЗДАТЕЛЬСТВО «МИР»
Москва, 1-й Рижский пер., 2.

Ордена Трудового Красного Знамени
Ленинградская типография № 2 имени Евгении Соколовой Главполиграфпрома
Комитета по печати при Совете Министров СССР, Измайловский проспект, 29.

ПРЕДИСЛОВИЕ

Химическая кинетика — наука о механизме и скорости протекания химической реакции — в основном базируется на двух фундаментальных константах: константе равновесия и константе скорости реакции. Знание численных значений этих величин дает возможность строго установить детальный механизм химического процесса, рассчитать и оптимизировать промышленные реакторы, управлять химическим процессом и т. д. Непосредственное определение численных значений этих констант связано с значительными экспериментальными трудностями. В настоящее время ведутся широкие поиски по созданию сравнительно простых методов определения величин этих констант исходя из физических свойств реагирующих веществ и продуктов реакции. Разрабатываются как чисто теоретические, так и эмпирические или полуэмпирические методы расчета.

Книга известного американского ученого Сиднея Бенсона — крупного специалиста в области кинетики и механизма газовых реакций — посвящена важному вопросу — анализу и теоретическому расчету термохимических данных и кинетических параметров газофазных реакций. В настоящее время уже накоплено достаточно экспериментальных данных по термохимии и кинетике газовых реакций; это дало возможность автору систематизировать, анализировать полученные данные и на этой основе предложить ряд сравнительно простых методов теоретического расчета этих величин. В книге систематически рассматривается связь термохимии, термодинамики и кинетики химических реакций. Подробно анализируется принцип детального равновесия, определение стандартного состояния, свободная энергия

активации, параметры аррениусовского уравнения, отрицательный температурный коэффициент и т. д. Обращается особое внимание на методы определения термохимических данных. Автор глубоко анализирует источники получения термохимических данных, правила аддитивности свойств молекулы (аддитивные свойства прочности химической связи и аддитивные свойства отдельных групп), негрупповые взаимодействия, термохимию циклов, термохимию газовых реакций при повышенных температурах и т. д.

Подробно рассматриваются методы определения удельной теплоемкости (C_p) с учетом колебательных и вращательных частот, электронного возбуждения, числа симметрии и т. д. Автор предложил простой метод оценки удельной теплоемкости. Анализируются методы определения энтропии и дается количественная оценка влияния различных факторов на эту величину.

В книге систематизируются имеющиеся в настоящее время данные по кинетике различных газофазных реакций (распада, ассоциации, замещения и др.) и даны простые правила, с помощью которых могут быть найдены параметры уравнения Аррениуса в рамках теории переходного состояния. Приводятся многочисленные конкретные примеры расчета энергии активации и предэкспонентов различными методами. Автор детально анализирует отдельные элементарные акты газофазных реакций и кинетические теории столкновений и переходного состояния, дает анализ стерического фактора и роли химических переходных состояний в сложных реакциях, стерических затруднений резонансу в переходном комплексе. Большое внимание уделяется вопросу о роли процессов переноса энергии при газофазных реакциях и реакциям ионов.

Для советского читателя, возможно, менее интересна последняя глава, в которой обсуждаются приложения рассмотренных методов расчета к сложным, в частности цепным, реакциям, таким, как крекинг, окисление органических соединений и теломеризация. Автор рассматривает основные положения цепной теории, критерий цепного характера процесса, количественной оценки длины цепи. Детально анализируются

элементарные процессы инициирования, продолжения и обрыва цепи, реакционноспособность и селективность радикалов, конкурирующие стадии цепных процессов и продукты их, вторичные реакции и проблемы гомогенного катализа.

По всем рассмотренным в этой главе вопросам в советской научной литературе имеется ряд превосходных монографий, в которых эти проблемы обсуждаются более глубоко и широко. Например, монография Н. Н. Семенова «О некоторых проблемах химической кинетики и реакционной способности», Изд. АН СССР, 1958 г. Тем не менее данные и этой главы С. Бенсона будут полезны для советского читателя.

Исключительно ценные термохимические данные содержатся в приложении, включающем 22 большие таблицы, в которых для разных типов органических соединений (кислород-, серу-, азот-, галоген- и металлсодержащих) приводятся значения термодинамических параметров (ΔH , S , C_p) в стандартных состояниях и при различных температурах. В специальных таблицах представлены термохимические данные для газофазных полиатомных молекул и органических свободных радикалов. Отдельно приводятся таблицы средних значений ковалентных радиусов и длин связей, приближенных величин моментов инерции, характеристики барьеров свободного вращения вокруг единичных связей, колебательных частот. В таблицы сведены и новые данные по теплотам и энергиям диссоциации некоторых сложных органических молекул.

К сожалению, в книге не нашли достаточного отражения работы других авторов, в частности работы советских ученых, от чего книга, безусловно, намного проигрывает.

Н. Ениколопян

ПРЕДИСЛОВИЕ АВТОРА

За последнее десятилетие в моей лаборатории был разработан ряд относительно простых методов для быстрого и достаточно точного определения как термохимических данных, так и кинетических параметров газовых реакций. Сейчас эти методы развились настолько, что их можно с успехом применять для критического анализа сравнительно сложных химических процессов. В предлагаемой читателю книге дано систематическое изложение указанных методов и, кроме того, приведены примеры их применения. Предполагается, что читатель знаком с элементарными понятиями термодинамики химических равновесий идеальных газов, а также с основными идеями химической кинетики.

В гл. I рассматривается связь между кинетическими и термохимическими параметрами, а в гл. II описаны методы определения энтропий, теплот образования и молярных теплоемкостей молекул и радикалов в газовой фазе при 300—1500° К. При этом некоторые из соединений имеют довольно сложную структуру (например, полициклы). Гл. III посвящена систематическому анализу современных данных о газофазных реакциях. В ней показано, как с помощью некоторых несложных приемов можно связать аррениусовские параметры, характеризующие эти реакции, с теорией переходного состояния (активированного комплекса). Приведены примеры оценки энергий активации и предэкспонентов для некоторых реакций. В гл. IV обсуждаются вопросы применения метода для анализа сложных процессов, таких, как радикально-цепной пиролиз, теломеризация и окисление органических соединений. В приложении содержатся полезные термохимические данные.

Глубокая связь между термохимическими и кинетическими параметрами, которая лежит в основе теории и методов, рассматриваемых в этой книге, явилась источником несколько необычного названия «Термохимическая кинетика».

Очень важная область реакций в конденсированной фазе не рассматривалась, поскольку для этих реакций данный метод пока не удалось применить столь же успешно, как при анализе газофазных реакций. Рано или поздно это будет сделано, и я надеюсь, что данная книга послужит толчком для распространения методов, уже развитых для газофазных реакций, на реакции в конденсированных фазах. Есть все указания на то, что это произойдет вскоре.

В основу книги в значительной мере были положены лекции, которые два года читались в летних школах по кинетике в Стенфордском университете. Я выражаю признательность слушателям этих школ, равно как и моим собственным ученикам и коллегам, за интересные и полезные обсуждения многих реакций, рассматриваемых в книге. Особенно я хотел бы поблагодарить д-ров Д. М. Голдена, Г. Хогена, Ф. Круйкшанка и профессора О'Нила за дружескую критику и предложения. Хотелось бы подчеркнуть очень ценную помощь Е. Эдкинс при подготовке к печати бесконечных вариантов этой рукописи.

Сидней У. Бенсон

Менло Парк, Калифорния
Март 1968 г.

ГЛАВА I

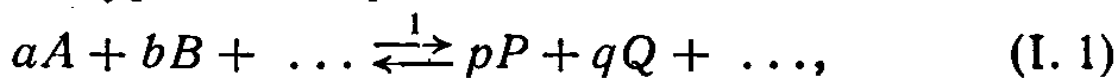
РАВНОВЕСИЕ И СКОРОСТЬ РЕАКЦИИ

I. 1. ТЕРМОДИНАМИКА И КИНЕТИКА

Согласно второму началу термодинамики, всякая замкнутая изолированная система приближается к состоянию «равновесия», при котором ее свойства становятся не зависящими от времени. Если известны энталпии, энтропии и уравнения состояния химических компонентов системы, мы можем точно предсказать химический состав конечного равновесного состояния. Однако термодинамика не дает каких-либо указаний о времени, необходимом для достижения равновесия, и о поведении и составе системы в процессе приближения к равновесию. Ответить на эти вопросы может химическая кинетика, изучающая системы, свойства которых зависят от времени.

На первый взгляд может показаться, что кинетика и термодинамика имеют очень мало общего. Однако этот вывод неверен. В настоящей книге мы попытаемся показать, что термодинамика, а точнее, термохимические свойства веществ накладывают жесткие ограничения на кинетические параметры, используемые для описания систем, изменяющихся во времени. Причина этого кроется в динамическом характере «истинного» состояния равновесия, при котором на молекулярном уровне происходят химические изменения. Кажущаяся макроскопическая неизменность состава и свойств системы является следствием того, что в состоянии равновесия скорость образования каждой частицы M_j равна скорости ее исчезновения, т. е. $d(M_j)/dt = 0$. Для каждого независимого стехиометрического уравнения химической реакции, которое может быть записано для системы, концентрации всех реагентов и продуктов

связаны между собой стехиометрическими коэффициентами. Так, для уравнения реакции



$$\frac{1}{p} \left(\frac{d [P]}{dt} \right) = \frac{1}{q} \left(\frac{d [Q]}{dt} \right) = \dots = - \frac{1}{a} \left(\frac{d [A]}{dt} \right) = \\ = - \frac{1}{b} \left(\frac{d [B]}{dt} \right) = \dots = R_1. \quad (\text{I. 2})$$

Уравнение (I. 2) определяет R как обобщенную удельную стехиометрическую молярную скорость реакции (I. 1) *. Выполнение стехиометрических соотношений между реагентами и продуктами реакции означает, что для каждого стехиометрического уравнения существует одно и только одно независимое кинетическое уравнение, определяющее равновесное состояние. Для простоты это же можно выразить с помощью соотношения $R = 0$. В процессе приближения к равновесию $R \neq 0$.

В общем случае R является функцией внешних переменных, таких, как объем, температура, напряженность электрического, магнитного, гравитационного поля и т. д., а также химического состава системы. Если в условиях равновесия $R_1 (V, T, A, B, P, Q, \dots) = 0$, то между этими величинами должна существовать связь. Однако термодинамика дает нам другое соотношение между этими величинами в форме константы равновесия K_1 . Это в свою очередь предполагает количественные соотношения между константой равновесия K_1 и скоростями, входящими в уравнение $R_1 = 0$. В наиболее простом случае, когда скорость реакции (I. 1) выражается через константы скорости прямой и обратной реакции k_1 и k_{-1} , константу равновесия K можно представить в виде

$$K_1 = \frac{k_1}{k_{-1}}. \quad (\text{I. 3})$$

* Говоря об удельной скорости реакции, часто имеют в виду скорость, с которой протекает реакция, когда концентрации всех реагентов равны 1. В этом случае удельная скорость численно равна константе скорости. Здесь и далее речь пойдет об удельной стехиометрической скорости, т. е. о скорости изменения концентрации данного реагента, отнесенной к соответствующему стехиометрическому коэффициенту. — Прим. ред.

Соотношение (I. 3) показывает, что из трех величин k , k_{-1} и K_1 только две являются независимыми. Если точно известны значения любых двух величин, то с помощью уравнения (I. 3) однозначно определяется и третья. Как правило, константы равновесия определить проще, чем константы скорости, поэтому чаще пользуются уравнением (I. 3), чтобы связать константы скорости прямой и обратной реакций в тех случаях, когда известна только одна из них.

I. 2. РЕАКЦИЯ ИДЕАЛЬНЫХ ГАЗОВ

Понятие «молекула» имеет вполне отчетливый смысл только для разреженных газов, в которых индивидуальные молекулы изолированы друг от друга в течение значительно большего времени, чем продолжительность столкновения. Состояние столкновения требует более точного определения. Мы определяем его как такое состояние, в котором энергия взаимодействия пары молекул j и k $|E_{jk}| \geq kT$.

Конечно, это определение вполне произвольно, однако оно очень полезно и имеет некоторые неожиданные следствия. Первое следствие состоит в том, что при абсолютном нуле все молекулы в системе постоянно находятся в состоянии столкновения, и поэтому понятие «индивидуальная молекула» или теряет смысл, или должно быть определено как-то иначе. Второе следствие заключается в том, что при комнатной температуре ($\sim 300^{\circ}\text{K}$) в газовой фазе два иона можно считать находящимися в состоянии столкновения, если они удалены друг от друга на расстояние, меньшее 550 \AA , поскольку энергия их кулоновского взаимодействия $E_{jk} = e^2/r_{jk} = RT = 600\text{ кал/моль}$ достигается при $r_{jk} = 550\text{ \AA}$.

В связи со сказанным выше ограничимся рассмотрением разреженных газов, состоящих из нейтральных частиц, для которых полностью применимо понятие молекулы, а термодинамические и кинетические параметры могут быть выражены с помощью простых параметров молекул. Как известно, реакции в конденсированных фазах между неполярными или слабо полярными молеку-

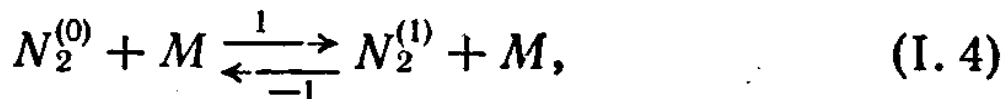
лами не очень сильно отличаются от реакций в газовой фазе. В то же время между ионными реакциями в растворах с высокой диэлектрической проницаемостью и газофазными реакциями существуют принципиальные различия, поэтому эти реакции здесь не рассматриваются.

1. 3. ПРИНЦИП ДЕТАЛЬНОГО РАВНОВЕСИЯ

Соотношение неопределенностей ограничивает наши возможности точного описания молекулы. Наиболее полно описать молекулу можно с помощью набора квантовых чисел, характеризующих электронные, поступательные, вращательные и внутренние колебательные состояния системы. Можно считать, что каждый такой набор чисел характеризует определенную индивидуальную в химическом отношении частицу.

Молекулярные столкновения в разреженном газе в условиях равновесия вызывают обмен энергией между участвующими в столкновениях молекулами и таким образом изменяют их квантовые числа. Поэтому обмен энергией можно рассматривать как простейший химический акт.

Принцип детального равновесия гласит, что в условиях равновесия удельная скорость каждого элементарного процесса точно равна удельной скорости обратного процесса. Удельная скорость элементарного процесса, протекающего при столкновениях, должна быть пропорциональна числу этих столкновений, которое в свою очередь пропорционально произведению концентраций соударяющихся частиц. Коэффициент пропорциональности мы будем называть удельной константой скорости реакции. Рассмотрим процесс колебательного возбуждения при столкновениях молекул N_2 , находящихся в основном колебательном состоянии ($v = 0$):



где M — любой партнер соударения. В состоянии равновесия

$$R_1 = \frac{d[N_2^{(1)}]}{dt} = \frac{-d[N_2^{(0)}]}{dt} = k_1 [M] [N_2^{(0)}] - k_{-1} [M] [N_2^{(1)}] = 0 \quad (I. 5)$$

или

$$\frac{[N_2^{(1)}]}{[N_2^{(0)}]} = \frac{k_1}{k_{-1}}. \quad (I. 6)$$

Это соотношение можно выразить также с помощью константы равновесия

$$\frac{[N_2^{(1)}]_{\text{eq}}}{[N_2^{(0)}]_{\text{eq}}} = K_1 = e^{-hv/kT}, \quad (I. 7)$$

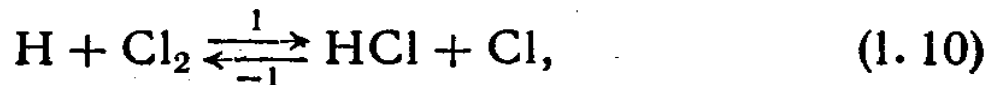
где v — колебательная частота N_2 . Поэтому

$$\frac{k_1}{k_{-1}} = K_1. \quad (I. 8)$$

Если система содержит много различных газов M_i , каждый из которых способен передавать энергию молекуле N_2 , можно для каждого отдельно записать аналогичные кинетические уравнения и получить в результате

$$\frac{k_1}{k_{-1}} = \frac{k'_1}{k'_{-1}} = \frac{k''_1}{k''_{-1}} = \dots = K_1, \quad (I. 9)$$

где k'_1 и k'_{-1} соответствуют молекуле M_1 и т. д. Если мы рассмотрим более привычный тип химической реакции, например отрыв атома



получим аналогичный результат *

$$\frac{k_1}{k_{-1}} = K_1 = \frac{[\text{HCl}]_{\text{eq}} [\text{Cl}]_{\text{eq}}}{[\text{Cl}_2]_{\text{eq}} [\text{H}]_{\text{eq}}}. \quad (I. 11)$$

Хотя полученные выше результаты верны для равновесных систем, возникает вопрос, останутся ли они справедливыми для систем вдали от равновесия, особенно для систем, в которых протекает химическая реакция.

* Это справедливо лишь при условии, что химическая реакция не создает больших возмущений функции распределения по энергиям молекул. Для очень быстрых реакций соотношения, аналогичные (I. 11), могут не выполняться,

Следует иметь в виду, что константа скорости любой химической реакции, даже элементарного акта (например, колебательного возбуждения), является сложной величиной, характеризующей данную молекулу. Она получается в результате усреднения по всем равновесным поступательным, вращательным и колебательным состояниям соударяющихся молекул. Легко понять, что в процессе протекания химической реакции заселенность различных уровней отличается от той, которая имела бы место при истинном равновесии. Поэтому константы скорости могут изменяться по мере протекания реакции и, таким образом, должны отличаться от равновесных констант скорости. Как это отразится на детальном равновесии и на соотношениях типа (I.8) и (I.9)?

Одно простое явление должно обнаруживаться в случае химической реакции, сопровождаемой заметным поглощением или выделением тепла. Тепло, выделяемое при экзотермической реакции, должно быть отведено из реакционной системы путем теплопроводности и (или) конвекции к стенкам сосуда, который помещен в термостат. Так как скорости конвекции и теплопроводности в газах невелики, то в результате экзотермической реакции температура реагирующего газа поднимется, что в свою очередь вызовет увеличение константы скорости. Аналогичным образом эндотермическая реакция вызовет охлаждение газа, что приводит к замедлению реакции.

Однако сформулированные выше трудности не являются непреодолимыми по следующей причине. В большинстве случаев возмущения заселенностей в молекулах по энергетическим состояниям пренебрежимо малы. В этих условиях удельные константы скорости реакции имеют те же значения, что и при равновесии, а поэтому соотношение $K_1 = k_1/k_{-1}$ остается справедливым *.

* Чтобы учесть возмущения, вызываемые градиентами температур, кинетические уравнения необходимо просто решать совместно с уравнениями теплопроводности и конвекции. Аналогичным образом возмущения могут возникать в концентрациях, и их тоже необходимо учитывать, добавляя к кинетическим уравнениям уравнения

В системах, где возмущениями в заселенностях нельзя пренебречь, наблюдаемые константы скорости отличаются от доступных для измерения при равновесии. Тем не менее принцип детального равновесия выполняется для каждого элементарного акта. Так, если k'_1 — неравновесная удельная константа скорости элементарного процесса при возмущении заселенности, а k'_{-1} — константа скорости обратного процесса, то соотношение

$$\frac{k'_1}{k'_{-1}} = K_1, \quad (I. 12)$$

где K_1 — истинная константа равновесия — остается в силе.

Рассмотрим сильные отклонения от равновесия при диссоциации двухатомных или небольших молекул. В этом случае отношение неравновесных констант скорости прямой и обратной реакции должно равняться константе равновесия. Это справедливо в частности для сложных химических реакций, которые протекают с образованием короткоживущих свободных радикалов и атомов. Несмотря на участие в процессе этих частиц, что является причиной сложного вида выражения для скорости реакции, константы скорости обратных реакций все еще можно определять, пользуясь константами равновесия. Рассмотрим в качестве примера выражение для скорости простой суммарной реакции $H_2 + Br_2 \rightleftharpoons 2HBr$

$$\frac{-d [Br_2]}{dt} = \frac{k_1 [H_2] [Br_2]^{1/2}}{1 + k_2 ([HBr]/[Br_2])}. \quad (I. 13)$$

диффузии. [Следует различать два принципиально различных типа возмущений, возникающих в реагирующей системе. Осложнения, обусловленные первым макрокинетическим типом возмущений, связанным с возникновением градиентов температур и концентраций, можно преодолеть, рассматривая одновременно с кинетическим уравнением уравнение тепло- и массопередачи или (что делается гораздо чаще) выбирая такие условия эксперимента, при которых этими эффектами можно пренебречь. Второй тип возмущений связан с отклонениями от максвелл-больцмановского распределения, вызываемыми химической реакцией. Учет этих отклонений в тех случаях, когда ими нельзя пренебречь, является весьма сложной задачей. — Прим. ред.]



При более высоких температурах, когда обратными реакциями уже нельзя пренебречь, скорость взаимодействия брома с водородом должна при равновесии обращаться в нуль. Следовательно, для обратной реакции *

$$\frac{-d[\text{HBr}]}{dt} = \frac{2k_{-1} [\text{HBr}]^2 / [\text{Br}_2]^{1/2}}{1 + k_2([\text{HBr}] / [\text{Br}_2])}, \quad (\text{I. 14})$$

откуда

$$K_1 = \frac{k_1}{k_{-1}} = \frac{[\text{HBr}]_{\text{eq}}^2}{[\text{H}_2]_{\text{eq}} [\text{Br}_2]_{\text{eq}}}. \quad (\text{I. 15})$$

В условиях, когда нельзя пренебречь ни прямой, ни обратной реакцией, выражение для скорости реакции приобретает вид

$$\begin{aligned} \frac{-d[\text{Br}_2]}{dt} &= \frac{1}{2} \frac{d[\text{HBr}]}{dt} = R_1 = \\ &= \frac{k_1 [\text{H}_2] [\text{Br}_2]^{1/2}}{1 + k_2([\text{HBr}] / [\text{Br}_2])} \left\{ 1 - \frac{[\text{HBr}]^2}{K_1([\text{H}_2] [\text{Br}_2])} \right\}. \end{aligned} \quad (\text{I. 16})$$

Катализаторы можно рассматривать как вещества, изменяющие концентрации активных промежуточных продуктов. Константы скорости реакции в присутствии катализаторов, конечно, могут сильно отличаться от своих значений, характерных для некатализируемой реакции, однако, несмотря на это, отношения констант скорости прямых и обратных реакций должны равняться истинной константе равновесия. Это иногда выражают с помощью известного правила, согласно которому катализатор увеличивает скорость приближения к равновесию, но не может сдвинуть само равновесие.

I. 4. ТЕРМОХИМИЧЕСКИЕ ВЕЛИЧИНЫ

Для разреженных газов измеряемая константа равновесия K_1 связана со стандартным изменением свободной

* Это «сильное», но не достаточное условие, основанное на кинетических соображениях. [Нужно иметь в виду, что константы k_1 и k_{-1} отнюдь не являются константами скорости каких-либо элементарных реакций. Это ясно уже из соображений размерности. О связи их с константами скорости элементарных стадий цепной реакции $\text{H}_2 + \text{Br}_2$ см. [1, стр. 285]. — Прим. ред.]

энергии ΔG_1° с помощью следующего соотношения:

$$\Delta G_1^\circ = -RT \ln K_1 = -2,303RT \lg K_1 = -\theta \lg K_1, \quad (I. 17)$$

где 2,303 — коэффициент перехода от натуральных к десятичным логарифмам; величину $\theta = 2,303 RT = 4,576 T/1000$ удобно использовать в качестве меры температуры *.

По определению

$$\Delta G_1^\circ \equiv \Delta H_1^\circ - T \Delta S_1^\circ, \quad (I. 18)$$

где ΔH_1° — стандартное изменение энталпии в результате реакции, а ΔS_1° — стандартное изменение энтропии (обе величины при температуре реакции T). Поскольку изменение молярной теплоемкости в газофазной реакции ΔC_p° обычно мало, то в любом достаточно небольшом интервале температур ($\Delta T \leq 100^\circ \text{K}$) ΔH_1° и ΔS_1° можно считать постоянными, благодаря чему формула (I. 17) обращается в известное уравнение Вант-Гоффа для температурной зависимости константы равновесия

$$2,303 \lg K_1 = \frac{-\Delta H_1^\circ}{RT} + \frac{\Delta S_1^\circ}{R}, \quad (I. 19)$$

где ΔH_1° и ΔS_1° считаются постоянными величинами. Один из наиболее точных методов определения ΔG_1° состоит в прямом измерении K_1 . Константу равновесия K_1 можно определить, измерив равновесные концентрации реагентов и продуктов реакций; ошибка определения ΔG_1° обусловлена в этом случае только погрешностью измерения K_1 . Если, например, K_1 определена с точностью $\pm 10\%$, то ошибка в определении в ΔG_1° составит $\pm 0,1 RT$ или при 500°K $0,10 \text{ ккал/моль}$. Точность же определения ΔG_1° через ΔH_1° и ΔS_1° обычно на порядок хуже, поскольку ошибка определения ΔH_1° , как правило, превышает $\pm 0,5 \text{ ккал/моль}$, а ошибка определения $\Delta S_1^\circ \pm \pm 1 \text{ кал/(моль} \cdot \text{град})$.

* При 1000°K $\theta \approx 4,6 \text{ ккал/моль}$, при 500°K $\theta \approx 2,3 \text{ ккал/моль}$, при изменении ΔG_1° на $4,6 \text{ ккал/моль}$ K_1 изменяется в 10 раз при 1000°K и в 100 раз при 500°K .

Наиболее надежно значения ΔH_1° и ΔS_1° могут быть вычислены по уравнению Вант-Гоффа. Если известны значения K_1 при двух различных температурах, то из уравнения (I. 19) можно исключить ΔS_1° и решить его относительно ΔH_1°

$$-\Delta H_1^\circ = R \frac{T_1 T_2}{\Delta T_{12}} \ln \frac{K_1(1)}{K_1(2)} = R \frac{T_m^2}{\Delta T} \ln \frac{K_1(1)}{K_1(2)}, \quad (I. 20)$$

где $T_m^2 = T_1 T_2$ и $\Delta T_{12} = T_2 - T_1$.

Если измерить K_1 в достаточно широком интервале температур, так чтобы K_1 изменилось по крайней мере в e ($\sim 2,72$) раз, то при независимых ошибках в K_1 (на границах этого интервала), составляющих $\pm 10\%$, ошибка в ΔH_1° будет равна $\sqrt{2} \cdot 0,1 \cdot RT_m (T_m/\Delta T)$. При $T_m = 500^\circ \text{К}$ и $\Delta T \approx 100^\circ \text{К}$ она составит $\pm 0,7 \text{ ккал/моль}$. При точности определения K_1 , равной $\pm 3\%$, ошибка в ΔH_1° снизится соответственно до $0,2 \text{ ккал/моль}$. При такой точности определяемые значения ΔH_1° и ΔS_1° являются средними по данному температурному интервалу. Точность определения ΔH_1° и ΔS_1° такова, что величину $\langle C_p \rangle$ в этом интервале температур нельзя определить точнее чем $\pm 7 \text{ кал/(моль}\cdot\text{град)}$ (при ошибке $K_1 \pm 10\%$) или $\pm 2 \text{ кал/(моль}\cdot\text{град)}$ (при ошибке $K_1 \pm \pm 3\%$). Соответствующая ошибка ΔS_1° , определяемая как векторная сумма ошибок ΔG_1° и ΔH_1° , составляет при 500°К $\pm 1,4 \text{ кал/(моль}\cdot\text{град)}$ при ошибке $K_1 \pm 10\%$ и $0,44 \text{ кал/(моль}\cdot\text{град)}$ при ошибке $K_1 \pm 3\%$.

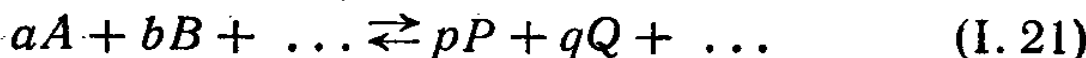
Часто ΔS_1° удается определить с точностью, большей, чем $\pm 1 \text{ кал/(моль}\cdot\text{град)}$. В таком случае единственное измерение ΔG_1° с точностью всего $\pm 20\%$ ($\pm 0,2 \text{ ккал/моль}$ при 500°К) позволяет определить ΔH_1° с ошибкой всего $\pm 0,55 \text{ ккал/моль}$, т. е. заметно точнее, чем с помощью уравнения Вант-Гоффа. Этот метод, называемый «методом третьего начала термодинамики», широко используется благодаря той легкости, с которой часто удается определять значения ΔS_1° .

Как мы увидим в гл. II, обычно значения ΔC_p° в интервале $300—1500^\circ \text{К}$ можно определить с точностью до

1 кал/(моль·град). Это позволяет интерполировать значения ΔG_1° , ΔS_1° и ΔH_1 между любыми температурами в указанном интервале, внося при этом сравнительно небольшую дополнительную погрешность.

I. 5. СТАНДАРТНЫЕ СОСТОЯНИЯ

Термохимические величины K , ΔG° , ΔH_f° , S° , C_p° обычно табулированы для стандартного состояния, в качестве которого, как правило, выбирается состояние идеального газа при 1 атм. Часто необходимо перейти к стандартным состояниям, выраженным в единицах концентрации. В этом случае за стандартное состояние принимают концентрацию 1 моль/л. Для стехиометрического уравнения реакции



константы равновесия, выраженные в единицах давления (K_p) и в единицах концентрации (K_c), связаны соотношением

$$K_p = K_c (RT)^{\Delta n}, \quad (I. 22)$$

где Δn — изменение числа молей в результате реакции, причем

$$\Delta n = (p + q + \dots) - (a + b + \dots). \quad (I. 23)$$

Приведенная выше зависимость следует из закона для идеального газа

$$P = cRT. \quad (I. 24)$$

Для реакций, которые сопровождаются изменением числа молей газа ($\Delta n \neq 0$), такой переход вносит дополнительные поправки в эффективную теплоту реакции и изменение энтропии.

Теплота реакции по определению равна

$$\Delta H_p^\circ = RT^2 \left(\frac{\partial \ln K_p}{\partial T} \right)_{eq}, \quad (I. 25)$$

а учитывая уравнение (I. 22),

$$\Delta H_p^\circ = RT^2 \left(\frac{\partial \ln K_c}{\partial T} \right)_{eq} + \Delta n RT = \Delta H_c^\circ + \Delta n RT. \quad (I. 26)$$

Таким образом, при увеличении числа молей газа $\Delta n > 0$ и $\Delta H_p^\circ > \Delta H_c^\circ$, наоборот, при уменьшении числа молей газа $\Delta H_p^\circ < \Delta H_c^\circ$. Если теперь подставить K_c в уравнение Вант-Гоффа

$$-RT \ln K_c = \Delta H_c^\circ - T \Delta S_c^\circ, \quad (I. 27)$$

выражение для ΔS_c° с учетом уравнений (I.26), (I.22) и (I.17) примет вид *

$$\begin{aligned} \Delta S_c^\circ &= R \ln K_c + \frac{\Delta H_c^\circ}{T} = R \ln K_p - \Delta n R \ln (RT) + \frac{\Delta H_p^\circ}{T} - R \Delta n = \\ &= \Delta S_p^\circ - R \Delta n - \Delta n R \ln (RT). \end{aligned} \quad (I. 28)$$

Отметим, что величина ΔH_c° , определяемая формулой (I.26), соответствует обычному определению ΔE_c° — изменению внутренней энергии в результате реакции, а соотношение (I.17) включает переход от функции свободной энергии Гиббса к свободной энергии Гельмгольца $\Delta G^\circ = \Delta A^\circ + \Delta(PV)$. Однако ΔS_c° и ΔS_p° отличаются на величину $R\Delta n$, которая обусловлена только изменением числа молей в результате реакции и не может быть получена лишь на основании данных об изменении энтропий в стандартных состояниях. Это обстоятельство часто являлось источником ошибок в литературе.

ПРИМЕР

Для реакции $N_2O_4 \rightleftharpoons 2NO_2$ $\Delta H_{300}^\circ = 13,9$ ккал/моль и $\Delta S_{300}^\circ = 42,3$ кал/(град·моль); необходимо представить константу равновесия K_c в форме уравнения Вант-Гоффа и вычислить ее значение при $400^\circ K$. В соответствии с формулами (I.26) и (I.28) при $\Delta n = 1$

$$\Delta H_c = \Delta H_p - RT = 13,3 \text{ ккал/моль},$$

$$\Delta S_c = \Delta S_p - R - R \ln (RT) = 33,9 \text{ кал/(моль · град)}.$$

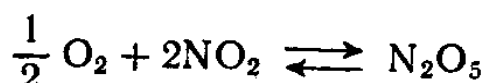
Следовательно,

$$2,303 \lg K_c = - \frac{6650}{T} + 16,95.$$

* Стоящая перед логарифмом газовая постоянная должна быть выражена в единицах $л \cdot атм/(град \cdot моль)$ [$R = 0,082$ $л \cdot атм/(град \cdot моль)$].

ПРИМЕР

Константа равновесия реакции



выражается в виде уравнения Вант-Гоффа (стандартное состояние 1 моль/л):

$$\lg K_c = \frac{2670}{T} - 9,55.$$

Вычислить ΔH_p° и ΔS_p° . Так как для данной реакции $\Delta n = -1,5$, то

$$\Delta S_p^\circ = \Delta S_c^\circ + R \Delta n + \Delta n \ln(RT) = -43,7 - 1,5(2 + \ln RT),$$

$$\Delta S_p^\circ = \Delta H_c^\circ + \Delta n(RT) = -12,2 + 1,5RT.$$

Приняв в качестве средней температуры 300° К, получим

$$\Delta S_p^\circ = -56,3 \text{ кал/(моль} \cdot \text{град}),$$

$$\Delta H_p^\circ = -13,1 \text{ ккал/моль}.$$

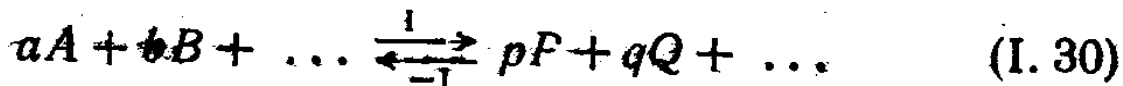
I.6. АРРЕНИУСОВСКИЕ ПАРАМЕТРЫ

Подавляющее большинство констант скорости химических реакций можно представить с помощью уравнения Аррениуса

$$k = A e^{-E/RT} = A \cdot 10^{-E/\theta}, \quad (\text{I. 29})$$

где снова $\theta = 2,303 RT$ ккал/моль. Из экспериментальных данных известно, что A и E являются постоянными в небольших температурных интервалах ($\sim 100^{\circ}$ К). Даже в более широких температурных интервалах (500° К) A и E мало зависят от температуры.

Исходя из равновесных соотношений между константами скорости прямой и обратной реакции, можно установить прямую связь между аррениусовскими параметрами и термохимическими величинами. Для реакции



$$K = \frac{k_1}{k_{-1}} = \frac{A_1 e^{-E_1/RT}}{A_{-1} e^{-E_{-1}/RT}} = \left(\frac{A_1}{A_{-1}}\right) e^{-(E_1 - E_{-1})/RT}. \quad (\text{I. 31})$$

Так как $K_1 = e^{\Delta S_1^\circ / R - \Delta H_1^\circ / RT}$, можно записать

$$R \ln \left(\frac{A_1}{A_{-1}} \right) = 2,303R \lg \left(\frac{A_1}{A_{-1}} \right) = \Delta S_1^\circ \quad (I. 32)$$

и

$$\Delta H_1^\circ = E_1 - E_{-1}. \quad (I. 33)$$

Если реакция не сопровождается изменением числа молей, ΔS_1° и ΔH_1° не зависят от выбора стандартного состояния. Так как прямая и обратная реакции имеют один и тот же порядок, аррениусовские параметры обеих реакций при смене стандартного состояния изменяются на одну и ту же величину. Но если $\Delta n \neq 0$, аррениусовские параметры для прямой и обратной реакции изменяются по-разному.

Энергия активации химической реакции определяется соотношением

$$E = RT^2 \left(\frac{\partial \ln k}{\partial T} \right). \quad (I. 34)$$

Если E постоянна или приблизительно постоянна в малом интервале температур, интегрирование уравнения (I.34) приводит к уравнению Аррениуса (I.29), в котором A — постоянная интегрирования. По определению E выражается в тех же единицах, что и RT , т. е. в ккал/моль. Множитель A должен выражаться в тех же единицах, что и k . Для реакции, имеющей суммарный порядок m , удельная стехиометрическая скорость равна $k[c]^m$, где $[c]$ — концентрация реагирующих молекул. Поскольку размерность удельной стехиометрической скорости $\text{моль}/(\text{л} \cdot \text{сек})$, константа скорости должна иметь размерность $\text{сек}^{-1} (\text{моль}/\text{l})^{1-m}$. Такую же размерность имеет A . Для реакции первого порядка размерность A сек^{-1} не зависит ни от выбора стандартного состояния, ни от единиц, в которых измеряются концентрации. Однако для реакции m -го порядка величина A будет зависеть от того, измеряется ли концентрация в единицах $\text{моль}/\text{l}$ или выражается через парциальные давления.

Зависимость между парциальными давлениями и концентрацией для идеального газа $P = cRT$ позволяет свя-

зать значения константы скорости m -го порядка, выраженные в разных единицах

$$k_c = k_p (RT)^{m-1}. \quad (I.35)$$

Таким образом, аррениусовские параметры можно представить в виде

$$E_c = RT^2 \left(\frac{\partial \ln k_c}{\partial T} \right) = RT^2 \left(\frac{\partial \ln k_p}{\partial T} \right) + (m-1) RT = E_p + (m-1) RT, \quad (I.36)$$

$$A_c = k_c e^{E_c/RT} = k_p (RT)^{m-1} e^{[E_p + (m-1) RT]/RT} = A_p (RT)^{m-1} e^{m-1}. \quad (I.37)$$

Обычно скорость реакции выражают в единицах концентрации, поэтому, преобразуя выражения (I.36) и (I.37), получим

$$E_p = E_c - (m-1) RT, \\ \ln A_p = \ln A_c - (m-1) \ln (RT) - (m-1). \quad (I.38)$$

Следует отметить формальное сходство между преобразованиями аррениусовых параметров и аналогичными преобразованиями термохимических величин (I.26) и (I.28).

ПРИМЕР

Реакция $2\text{NO} + \text{Cl}_2 \rightarrow 2\text{NOCl}$, как это было установлено, проходит по третьему порядку с константой скорости, имеющей следующую аррениусовскую зависимость:

$$\lg k = \frac{-803}{T} + 3,66,$$

где предэкспонент A выражен в $\text{л}^2 \cdot \text{моль}^{-2} \cdot \text{сек}^{-1}$. Вычислить аррениусовские параметры, выражая A и k в $(\text{мм рт. ст.})^{-2} \text{ сек}^{-1}$. Приняв 400°K в качестве средней температуры реакции и отметив, что $m-1=2$, получим

$$E_p = E_c - 2RT = 3,7 - 1,6 = 2,1 \text{ ккал/моль}, \\ A_p = A_c (760RT)^{-2} e^{-2} (\text{мм рт. ст.})^{-2} \text{ сек}^{-1} = \\ = 10^{3,66} (10^{-8,66}) = 10^{-5,00} (\text{мм рт. ст.})^{-2} \text{ сек}^{-1}.$$

ПРИМЕР

Выражение для начальной скорости реакции $\text{H}_2 + \text{Br}_2 \rightarrow 2\text{HBr}$ имеет вид

$$R = k [\text{H}_2] [\text{Br}_2]^{1/2},$$

где константа скорости, измеряемая в атмосферах, определяется формулой

$$\lg k = -41,6/\theta + 11,36.$$

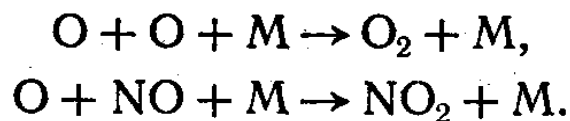
Вычислить аррениусовские параметры при 700°K , перейдя к единицам моль/л. В данном случае $m - 1 = \frac{1}{2}$, поэтому

$$A_c = A_p (eRT)^{+1/2} = 10^{12,50} (\text{л/моль})^{1/2} \text{сек}^{-1};$$

$$E_c = E_p + 1/2RT = 42,3 \text{ ккал/моль}.$$

I. 7. МОДИФИЦИРОВАННОЕ УРАВНЕНИЕ АРРЕНИУСА

С помощью рассмотренной выше простой формы уравнения Аррениуса можно представить константы скорости большинства газовых реакций, но не всех. Она не годится в случае тримолекулярной рекомбинации атомов или взаимодействия атомов с двухатомными молекулами, например



В этих случаях может возникнуть необходимость представить константы скорости с помощью модифицированного уравнения Аррениуса, в котором предэкспонент A зависит от температуры:

$$k = A'T^n e^{-E'/RT}, \quad (\text{I. 39})$$

где A' , E' и n — новые параметры. Такой вид уравнения можно легко получить из общего определения энергии активации (I. 34). Пусть $E = E' + CT$, где E' и C — постоянные. Интегрирование выражения (I. 34) дает

$$\ln k = -\frac{E'}{RT} + \frac{C}{R} \ln T + \text{const.} \quad (\text{I. 40})$$

Приняв постоянную интегрирования равной $\ln A'$, а $n = C/R$, непосредственно получаем формулу (I. 39). Отметим, что константа C имеет размерность молярной теплоемкости. Ее можно рассматривать как среднюю молярную теплоемкость активации, усредненную по всему интервалу температур, для которого выполняется условие (I. 39). Для газофазных реакций показатель степени

n , как правило, мал (порядка единицы), однако для ионных реакций в растворе он бывает очень большим и может достигать 20.

Одно из следствий модифицированного уравнения Аррениуса состоит в том, что в нем множитель A и энергия активации явно зависят от температуры, что необходимо учитывать при любом переходе от единиц давления к единицам концентрации и наоборот, а также при установлении зависимости между аррениусовскими и термохимическими параметрами. Связь между параметрами простого и модифицированного уравнений Аррениуса имеет вид

$$\begin{aligned} A &= A' (eT_m)^n, \\ E &= E' + nRT_m. \end{aligned} \quad (I. 41)$$

I.8. СВОБОДНАЯ ЭНЕРГИЯ АКТИВАЦИИ

Соотношение между константой равновесия и константами скорости прямой и обратной реакции $K_1 = k_1/k_{-1}$ позволяет формально представить константы скорости в виде комбинации кинетических и термохимических величин. Для K_1 можно записать

$$K_1 = e^{-\Delta G_1^\circ/RT} = 10^{-\Delta G_1^\circ/\theta}, \quad (I. 42)$$

где ΔG° — стандартное изменение свободной энергии Гиббса при протекании реакции 1. Константу скорости k_1 можно представить как

$$k_1 = v_1 e^{-G_1^*/RT} = v_1 10^{-G_1^*/\theta}, \quad (I. 43)$$

где G_1^* — свободная энергия активации реакции 1, а v_1 — частотный фактор этой реакции. Аналогично для обратной реакции

$$k_{-1} = v_{-1} e^{-G_{-1}^*/RT}, \quad (I. 44)$$

и если положить $\Delta G_1^\circ = G_1^* - G_{-1}^*$, то $v_1 = v_{-1}$. Если рассматривать G_1^* и G_{-1}^* как термохимические величины, то величины v_1 и v_{-1} можно считать кинетическими. В гл. III показано, как теория переходного состояния позволяет

представить константу скорости в виде произведения кинетических и термохимических величин. Здесь достаточно лишь отметить, что любая кинетическая величина, определяемая таким образом, должна быть одинаковой для прямой и обратной реакций. Следует также указать, что выражение для скорости любой, даже очень сложной реакции всегда можно представить в виде произведения кинетических членов (т. е. комбинацией констант скорости и концентраций) и термодинамических членов, обычно имеющих вид

$$1 - \frac{[P]^p [Q]^q}{K_1 [A]^a [B]^b}, \quad (I. 45)$$

где K_1 — константа равновесия реакции (I. 1). И именно благодаря термодинамическому члену измеряемая скорость реакции обращается в нуль в состоянии равновесия *. Из сказанного выше следует, что любой параметр, не влияющий на константу равновесия, но оказывающий влияние на кинетическое поведение системы, должен одинаково сказываться на константах скорости прямой и обратной реакций. Это относится, в частности, к катализу. Катализатор ускоряет прямую реакцию точно во столько же раз, во сколько и обратную реакцию.

I. 9. ОТРИЦАТЕЛЬНЫЕ ЭНЕРГИИ АКТИВАЦИИ

Опыт показывает, что при повышении температуры реакции удельные стехиометрические константы скорости реакции увеличиваются в большинстве случаев, однако не всегда. Например, скорость тримолекулярной реакции $2\text{NO} + \text{O}_2 \rightleftharpoons 2\text{NO}_2$ снижается при увеличении температуры. То же характерно для реакции $\text{O} + \text{O}_2 + M \rightleftharpoons \text{O}_3 + M$.

Энергии активации прямой и обратной реакции связаны с изменением энталпии следующим соотношением:

$$\Delta H_1 = E_1 - E_{-1}. \quad (I. 46)$$

Если энергия активации одной из стадий, скажем E_{-1} , отрицательна, то $E_1 < \Delta H_1$. Например, в случае распада

* См. выражение (I.16) для скорости реакции $\text{H}_2 + \text{Br}_2$.

озона величина ΔH_1 определяет энергию диссоциации связи в O_3 . Таким образом, приведенное выше неравенство означает, что энергия активации разложения озона меньше энергии диссоциации связи. Как же понять этот парадоксальный результат? Означает ли он, что для разложения O_3 необходима энергия, меньшая энергии разрыва связи $O_2 - O$ в озоне?

Чтобы ответить на этот вопрос, попытаемся разобраться, каков смысл понятия энергии активации. Как отмечалось ранее, константа скорости реакции не является физической константой, характеризующей молекулы. Она равняется среднему всех констант скорости реакции молекул, находящихся на различных квантовых уровнях системы. Согласно Толману [2], константа скорости реакции может быть представлена в виде

$$k = \frac{\sum p_j e^{-E_j/RT} k_j}{\sum p_j e^{-E_j/RT}}, \quad (I. 47)$$

где p_j — статистический вес или вырожденность j -го квантового состояния молекулы с энергией E_j , а k_j — константа скорости первого порядка, с которой молекула в j -м состоянии с энергией E_j претерпевает спонтанный распад. Используя определение энергии активации, можно записать

$$\begin{aligned} E = RT^2 \left(\frac{\partial \ln k}{\partial T} \right) &= \frac{RT^2 \sum k_j p_j (E_j/RT^2) e^{-E_j/RT}}{\sum k_j p_j e^{-E_j/RT}} - \\ &- \frac{RT^2 \sum p_j (E_j/RT^2) e^{-E_j/RT}}{\sum p_j e^{-E_j/RT}} = \end{aligned} \quad (I. 48)$$

$$= \frac{\sum E_j k_j p_j e^{-E_j/RT}}{\sum k_j p_j e^{-E_j/RT}} - \frac{\sum p_j E_j e^{-E_j/RT}}{\sum p_j e^{-E_j/RT}}, \quad (I. 49)$$

или

$$E = \langle E \rangle_{\text{reac}} - \langle E \rangle_{\text{nonreac}}. \quad (I. 50)$$

Второй член в правой части выражения (I. 49) можно рассматривать как определение средней энергии молекулы в системе, а первый член — как определение средней энергии реагирующей молекулы. Экспериментально

определенная энергия активации является, таким образом, разностью этих двух величин.

Реагирующая молекула при любой температуре T обладает определенным запасом внутренней энергии (например, колебательной). Если реакция заключается в спонтанном распаде молекулы на фрагменты, эти фрагменты в момент образования также обладают некоторым запасом внутренней энергии. В случае, когда эти две величины равны, наблюдаемая при температуре T энергия активации точно равна энергии активации при абсолютном нуле. Если же запас энергии фрагментов меньше, чем у реагирующих молекул, наблюдаемая энергия активации будет меньше, чем при абсолютном нуле, и мы получаем простое объяснение парадокса. Другими словами, фрагменты образуются более «холодными», т. е. с запасом внутренней энергии, меньшим, чем средняя внутренняя энергия, которой они будут обладать по достижении теплового равновесия в реакционном сосуде. По отношению к обратной реакции рекомбинации это означает, что скорость рекомбинации будет выше для фрагментов с энергией, меньшей средней тепловой энергии. При увеличении температуры концентрация таких фрагментов снижается, а вместе с ней уменьшается и эффективная скорость рекомбинации.

Эффекты, подобные рассмотренным выше, становятся особенно существенными при очень высоких температурах, когда величина RT очень велика. Так, при 5000°K энергия активации распада NO_2 на NO и O может быть на $3 RT$ или на 30 ккал ниже энергии диссоциации связей, равной 72 ккал. Поэтому кажущаяся энергия активации распада составит всего 42 ккал/моль.

I. 10. ДИАГРАММА КООРДИНАТА РЕАКЦИИ — ЭНЕРГИЯ

Закономерности, подобные тем, с которыми сталкиваются в системах с отрицательными энергиями активации, лучше всего описываются с помощью так называемых диаграмм координата реакции — энергия. В процессе элементарной химической реакции, протекающей с энергией активации, молекула переходит из основного энергетического состояния, в котором она имеет нор-

мальную геометрию, в возбужденное состояние, для которого могут быть характерны существенные изменения геометрии молекулы. Некоторые изменения в геометрии соответствуют образованию продуктов. Эти соображения качественно можно проиллюстрировать графически

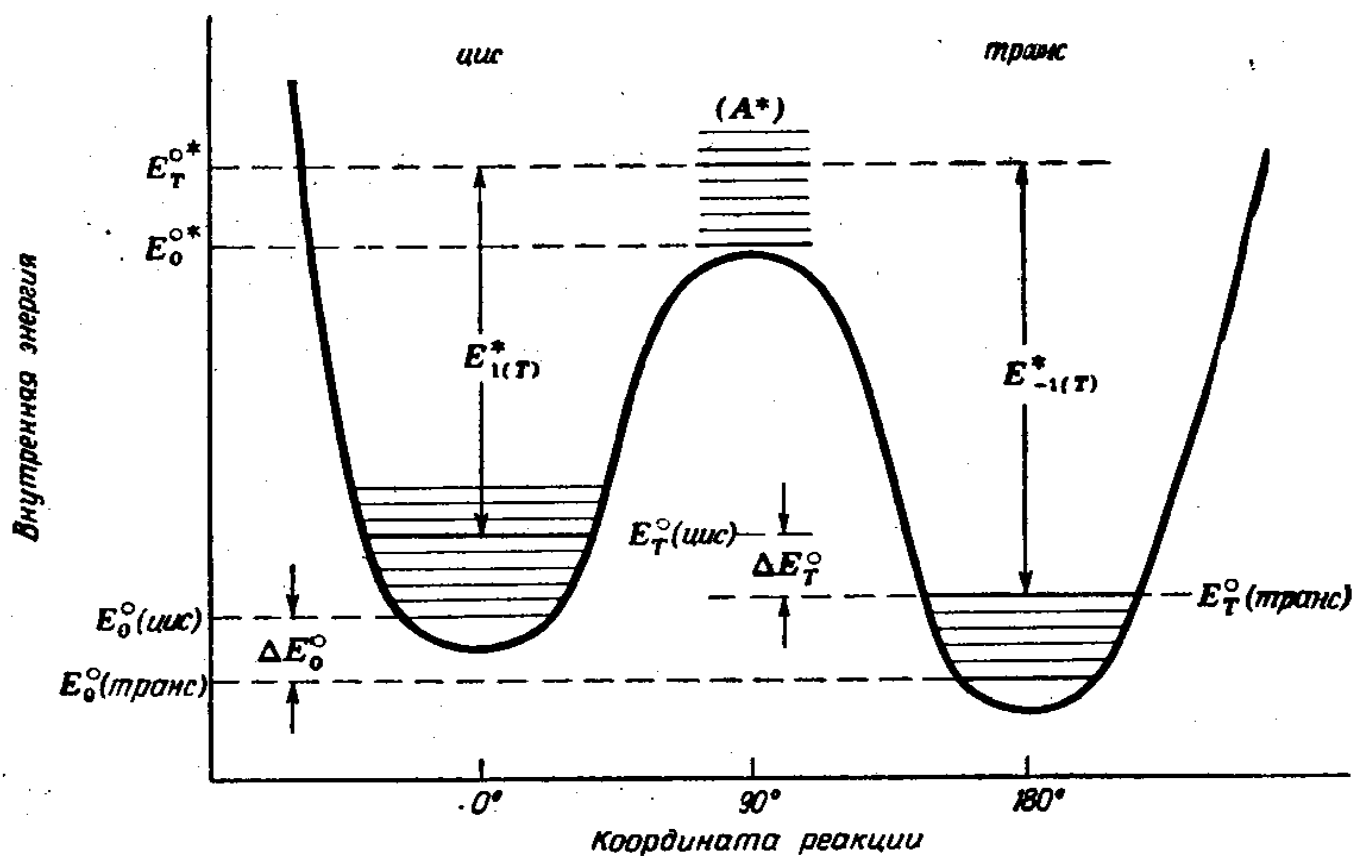


Рис. I. 1. Диаграмма энергия – координата реакции для модельной реакции цис-транс-изомеризации. (Координатой реакции служит угол поворота групп, связанных двойной связью.)

(рис. I. 1) для случая мономолекулярной цис-транс-изомеризации бутена-2.

По оси ординат отложена полная энергия молекулы в зависимости от «координаты реакции», отложенной по оси абсцисс. Жирной линией показана потенциальная энергия молекулы при различных значениях «координаты реакции». В качестве нее в данном случае в первом приближении можно рассматривать только угол между плоскостями, в которых лежат две группы $\text{C} \begin{array}{l} \text{H} \\ \diagdown \\ \text{CH}_3 \end{array}$, хотя, вероятно, при вращении этих двух плоскостей через

энергетический барьер при 90° будут изменяться и другие углы и расстояния в молекуле.

Тонкими линиями показаны различные колебательные уровни *цис*- и *транс*-бутена. E_c^o (*цис*), E_t^o (*транс*) и $E_{t'}^o$ обозначают среднюю колебательную энергию *цис*-изомера, *транс*-изомера и реагирующей молекулы A^* соответственно. Термодинамика реакции при абсолютном нуле показана на рисунке отрезком ΔE_0^o , который равен разности нулевых колебательных уровней *цис*- и *транс*-изомера.

При любой конечной температуре T , как видно из рисунка, средняя колебательная энергия молекул будет выше энергии нулевых уровней. Аналогично средняя энергия реагирующей при температуре T молекулы не будет точно равна ординате вершины потенциального барьера, но будет несколько превышать ее, как показано на рисунке линией E_t^{**} . E_1^* и E_{-1}^* — энергии активации *цис*-*транс*- и *транс*-*цис*-превращения при температуре T соответственно.

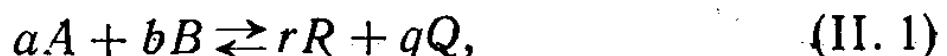
ЛИТЕРАТУРА

1. Бенсон С., Основы химической кинетики, изд-во «Мир», М., 1964.
2. Tolman R. C., Statistical Mechanics, Chem. Cat. Co., N. Y., 1928.

МЕТОДЫ ПОЛУЧЕНИЯ ТЕРМОХИМИЧЕСКИХ ДАННЫХ

II. 1. НЕКОТОРЫЕ ТЕРМОДИНАМИЧЕСКИЕ СООТНОШЕНИЯ

Если химическая реакция в газовой фазе достигает состояния динамического равновесия, то это состояние полностью описывается температурой, давлением и химическим составом системы. Зная давление P и химический состав, можно подсчитать константу равновесия K_p и стандартное изменение свободной энергии Гиббса (ΔG°) для реакции при температуре T . В дальнейшем все компоненты системы будут рассматриваться как идеальные. Если реакция описывается стехиометрическим уравнением



то

$$K_p = \frac{[R]^r [Q]^q}{[A]^a [B]^b} \quad (\text{II. 2})$$

и

$$\Delta G_T^\circ = -RT \ln K_p = r \Delta G_{fT}^\circ [R] + q \Delta G_{fT}^\circ [Q] - a \Delta G_{fT}^\circ [A] - b \Delta G_{fT}^\circ [B], \quad (\text{II. 3})$$

причем в соотношении (II. 2) концентрации всех компонентов выражены в атмосферах. Величина $\Delta G_{fT}^\circ (R)$ и другие в уравнении (II. 3) являются стандартными свободными энергиями Гиббса образования 1 моля вещества (в данном случае вещества R) при температуре T и давлении 1 атм из элементов в их стандартных состояниях при температуре T и давлении 1 атм. Константа равновесия K_p выражена в $(\text{атм})^{\Delta n}$, где

$$\Delta n = r + q - a - b \quad (\text{II. 4})$$

определяет изменение числа молей в результате реакции*. По определению

$$\Delta G_T^\circ = \Delta H_T^\circ - T\Delta S_T^\circ, \quad (\text{II. 5})$$

причем стандартное изменение энталпии в результате реакции ΔH_T° связано со стандартными теплотами образования соотношением

$$\Delta H_T^\circ = r \Delta H_{fT}^\circ(R) + q \Delta H_{fT}^\circ(Q) - a \Delta H_{fT}^\circ(A) - b \Delta H_f^\circ(B), \quad (\text{II. 6})$$

и аналогично стандартное изменение энтропии в результате реакции ΔS_T° связано со стандартными энтропиями реагентов

$$\Delta S_T^\circ = r S_T^\circ(R) + q S_T^\circ(Q) - a S_T^\circ(A) - b S_T^\circ(B). \quad (\text{II. 7})$$

Если известны стандартные энтропии и теплоты образования при температуре T всех реагентов и продуктов, то можно вычислить ΔH_T° и ΔS_T° , а затем и константу равновесия реакции.

Таким образом теплоты образования и энтропии являются основными термохимическими величинами. Их температурная зависимость задана термодинамическими соотношениями

$$\left[\frac{\partial(\Delta H^\circ)}{\partial T} \right]_p = \Delta C_p^\circ, \quad \left[\frac{\partial(\Delta S^\circ)}{\partial T} \right]_p = \frac{\Delta C_p^\circ}{T}, \quad (\text{II. 8})$$

где ΔC_p° — изменение стандартной молярной теплоемкости в результате реакции можно представить как

$$\Delta C_p^\circ = r C_p^\circ(R) + q C_p^\circ(Q) - a C_p^\circ(A) - b C_p^\circ(B). \quad (\text{II. 9})$$

Слагаемые в выражении (II. 9) являются стандартными молярными теплоемкостями реагентов и продуктов и зависят от температуры (но не от давления идеальных газов).

* В качестве стехиометрических коэффициентов мы будем, как обычно, пользоваться набором наименьших целых чисел. Следует отметить, что Δn будет зависеть от способа написания стехиометрического уравнения, т. е. от того, используется ли основной или кратный ему набор стехиометрических коэффициентов.

Чтобы определить ΔH_T° и ΔS_T° исходя из известных величин $\Delta H_{T_0}^\circ$ и $\Delta S_{T_0}^\circ$, необходимо знать зависимость ΔC_p° от температуры в интервале от T до T_0 . Тогда интегрирование уравнений (II. 8) дает

$$\Delta H_T^\circ = \Delta H_{T_0}^\circ + \int_{T_0}^T (\Delta C_p^\circ) dT,$$

$$\Delta S_T^\circ = \Delta S_{T_0}^\circ + \int_{T_0}^T \left(\frac{\Delta C_p^\circ}{T} \right) dT.$$
(II. 10)

Позднее будет показано, что хотя значения C_p° для индивидуальных веществ могут быть велики и могут сильно изменяться при температурах около 500°K , ΔC_p для реакций оказывается очень небольшой величиной и мало меняется с температурой. В связи с этим при небольшой погрешности можно воспользоваться средним значением $\Delta C_{pT_m}^\circ$ в интервале $T - T_0$ и преобразовать уравнение (II. 10) следующим образом:

$$\Delta H_T^\circ = \Delta H_{T_0}^\circ + \Delta C_{pT_m}^\circ (T - T_0),$$

$$\Delta S_T^\circ = \Delta S_{T_0}^\circ + \Delta C_{pT_m}^\circ \ln \frac{T}{T_0} =$$

$$= \Delta S_{T_0}^\circ + 2,303 \Delta C_{pT_m}^\circ \lg \frac{T}{T_0}.$$
(II. 11)

II. 2. ИСТОЧНИКИ ТЕРМОХИМИЧЕСКИХ ДАННЫХ

Если взять сто элементов периодической системы, то они могут образовать 100 одноатомных молекул, 200 возможных одновалентных ионов (положительных и отрицательных), 5050 двухатомных молекул, 10^6 трехатомных молекул и приблизительно 10^{2n} n -атомных молекул. Ясно, что при таком положении бесполезно надеяться иметь таблицы с экспериментальными термохимическими данными по всем многоатомным частицам или даже по всем ограниченным подклассам среди них.

К счастью, с помощью методов статистической термодинамики с хорошей точностью можно вычислять стандартные энтропии и теплоемкости молекул, если известны их геометрическое строение и частоты колебаний. Эти данные имеются для многих простых молекул, поэтому для них можно найти очень точные табличные значения C_p° и S° в широких интервалах температуры. Таким способом, однако, не могут быть вычислены теплоты образования ΔH_f° , которые приходится экспериментально определять для каждого соединения. Тем не менее для многих распространенных сравнительно простых молекул теплоты образования измерены. Что же касается более сложных соединений, то существуют эмпирические правила определения их теплот образование исходя из теплот образования более простых молекул. Кроме того, известны эмпирические приемы достаточно точного определения геометрии и частот колебаний, а следовательно, S° и C_p° более сложных молекул, для которых отсутствуют прямые структурные данные.

И все же такие расчеты S° и C_p° никак нельзя считать тривиальными или простыми, поэтому мы будем пользоваться ими только в исключительных случаях. Очень быстрый и достаточно точный метод определения термохимических величин возможен на основе «правил аддитивности», рассматриваемых ниже.

II. 3. ПРАВИЛА АДДИТИВНОСТИ СВОЙСТВ МОЛЕКУЛ

Уже довольно давно химикам и физикам стало известно, что большинство свойств сравнительно сложных молекул можно представить в виде суммы соответствующих вкладов индивидуальных атомов или связей. Физически подобные эмпирические закономерности основаны на том, что силы, действующие между атомами внутри молекулы или между атомами различных молекул, являются очень близкодействующими. Силы эти действуют на расстояниях 1—3 Å. Из-за этого индивидуальные атомы в любой молекуле дают почти постоянные вклады в такие свойства молекул, как коэффициент преломления, ультрафиолетовые и инфракрасные спектры погло-

щения, магнитная восприимчивость, а также энтропия, молярная теплоемкость и даже теплота образования.

Сравнительно недавно Бенсон и Басс [1] показали возможность построения системы правил аддитивности, в которых простейшие правила (в приближении нулевого порядка) основаны на аддитивности свойств атомов. При этом каждому атому в молекуле можно приписать определенное парциальное значение рассматриваемого свойства. Данное свойство молекулы, таким образом, является суммой соответствующих свойств всех атомов, образующих молекулу. В одном-единственном случае это правило является абсолютно точным — когда речь идет о молекулярном весе. У правила такого рода имеется, однако, очевидное ограничение: из-за сохранения вещества в любой химической реакции правило аддитивности атомных свойств требует также сохранения любого свойства молекулы. Иными словами, оно должно быть одинаковым у реагентов и продуктов. Для большинства химических реакций это не соблюдается, если речь идет об энтропии и энтальпии, хотя приближенно правило и выполняется во многих случаях, когда реакция не сопровождается изменением числа молей. Но и здесь тоже имеются явные исключения, например $H_2 + F_2 \rightarrow 2HF + 128$ ккал, $N_2 + O_2 \rightarrow 2NO - 43$ ккал, $H_2 + Cl_2 \rightarrow 2HCl + 44$ ккал и т. д.

II.4. АДДИТИВНОСТЬ СВОЙСТВ СВЯЗЕЙ

Следующим приближением (приближением первого порядка) является учет аддитивности связей. В табл. II.1 приведены вклады связей молекул идеальных газов при $25^\circ C$ в значения C_p^o , S^o и ΔH_f^o . Чтобы проиллюстрировать, как пользоваться табл. II.1, вычислим C_p^o и S^o для какого-нибудь соединения *.

Для удобства мы будем опускать индекс T , если температура, для которой вычисляется та или иная величина, равна $25^\circ C$.

* Все исходные термохимические данные основаны на работе, указанной в вводной части приложения.

ПРИМЕРЫ

1. $C_p^\circ(\text{CHCl}_3) = C_p^\circ(\text{C}-\text{H}) + 3C_p^\circ(\text{C}-\text{Cl}) = 1,74 + 3 \cdot 4,64 =$
 $= 15,66 \text{ кал/(моль} \cdot \text{град)};$
 $C_p^\circ(\text{набл.}) = 15,7 \text{ кал/(моль} \cdot \text{град)};$
 $S^\circ(\text{CHCl}_3) = S^\circ(\text{C}-\text{H}) + 3S^\circ(\text{C}-\text{Cl}) - R \ln 3^* = 12,90 + 3 \cdot 19,70 -$
 $- 2,2 = 69,8 \text{ кал/(моль} \cdot \text{град)};$
 $S^\circ(\text{набл.}) = 70,9 \text{ кал/(моль} \cdot \text{град)}.$
2. $C_p^\circ(2,3\text{-диметилпентан}) = 6C_p^\circ(\text{C}-\text{C}) + 16C_p^\circ(\text{C}-\text{H}) = 6 \cdot 1,98 +$
 $+ 16 \cdot 1,74 = 39,8 \text{ кал/(моль} \cdot \text{град)}.$
 $C_p^\circ(\text{набл.}) = 39,7 \text{ (приближенное значение);}$
 $S^\circ(2,3\text{-диметилпентан}) = 6S^\circ(\text{C}-\text{C}) + 16S^\circ(\text{C}-\text{H}) - 4R \ln 3 +$
 $+ R \ln 2^{**} = - 98,40 + 206,40 - 8,8 + 1,4 = 100,6 \text{ кал/(моль} \cdot \text{град)};$
 $S^\circ(\text{набл.}) = 99,0 \text{ кал/(моль} \cdot \text{град)}.$
3. $\Delta H_f^\circ(\text{иодистый бензил}) = 5\Delta H_f^\circ(\Phi-\text{H}) + \Delta H_f^\circ(\Phi-\text{C}) +$
 $+ 2\Delta H_f^\circ(\text{C}-\text{H}) + \Delta H_f^\circ(\text{C}-\text{I}) = 16,25 + 7,25 - 7,66 + 14,2 =$
 $= +30,0 \text{ ккал/моль;}$
 $\Delta H_f^\circ(\text{набл.}) = 30,4 \text{ ккал/моль.}$
4. $\Delta H_f^\circ(2\text{-хлорбутадиен-1,3}) = 5\Delta H_f^\circ(\text{C}_d-\text{H}) + \Delta H_f^\circ(\text{C}_d-\text{C}) +$
 $+ \Delta H_f^\circ(\text{C}_d-\text{O}) = 16,0 + 6,7 - 0,7 = + 22 \text{ ккал/моль;}$
 $\Delta H_f^\circ(\text{набл.}) \text{ не известно.}$
5. $\Delta H_f^\circ(\text{этилацетат}) = 8\Delta H_f^\circ(\text{C}-\text{H}) + \Delta H_f^\circ(>\text{CO}-\text{C}) +$
 $+ \Delta H_f^\circ(>\text{CO}-\text{O}) + \Delta H_f^\circ(\text{C}-\text{O}) + \Delta H_f^\circ(\text{C}-\text{C}) = 30,64 - 14,4 - 50,5 -$
 $- 12,0 + 2,73 = - 104,8 \text{ ккал/моль;}$
 $\Delta H_f^\circ(\text{набл.}) = - 103,4 \text{ ккал/моль.}$

Мы видим, что правило аддитивности свойств позволяет вычислять C_p и S° с точностью $\pm 1 \text{ кал/(моль} \cdot \text{град)}$. Оно хуже выполняется для сильно разветвленных соединений. Точность определения ΔH_f° , как правило, не превышает $\pm 2 \text{ ккал/моль}$, но и она ухудшается для сильно разветвленных соединений, содержащих электроотрицательные группы, такие, как NO_2 и F .

Ясно, что правила аддитивности свойств связей дадут одинаковые значения для свойств изомеров, например

* Член $R \ln 3$ является поправкой на симметрию. Число симметрии $\sigma = 3$, поскольку в CHCl_3 имеется ось вращения третьего порядка. Подробнее см. разд. II.11.

** Вычитая $4R \ln 3$, мы учтываем внутреннюю симметрию CH_3 -группы, а прибавляя $R \ln 2$, учтываем энтропию смешения двух оптических изомеров.

Таблица II. 1

Вклады в C_p° , S° и ΔH_f° , соответствующие различным связям для веществ в газообразном состоянии при 25° С и 1 атм^{a)}

Связь	C_p°	S°	ΔH_f°	Связь	C_p°	S°	ΔH_f°
C—H	1,74	12,90	-3,83	S—S	5,4	11,6	-
C—D	2,06	13,60	-4,73	C_d —C ^{b)}	2,6	-14,3	6,7
C—C	1,98	-16,40	2,73	C_d —H	2,6	13,8	3,2
C—F	3,34	16,90	-	C_d —F	4,6	18,6	-
C—Cl	4,64	19,70	-7,4	C_d —Cl	5,7	21,2	-0,7
C—Br	5,14	22,65	2,2	C_d —Br	6,3	24,1	9,7
C—I	5,54	24,65	14,1	C_d —I	6,7	26,1	21,7
C—O	2,7	-4,0	-12,0	> CO—H ^{b)}	4,2	26,8	-13,9
O—H	2,7	24,0	-27,0	> CO—C	3,7	-0,6	-14,4
O—D	3,1	24,8	-27,9	> CO—O	2,2	9,8	-50,5
O—O	4,9	9,1	21,5	> CO—F	5,7	31,6	-
O—Cl	5,5	32,5	9,1	> CO—Cl	7,2	35,2	-27,0
C—N	2,1	-12,8	9,3	C_6H_5 —H ^{c)}	3,0	11,7	3,25
N—H	2,3	17,7	-2,6	C_6H_5 —C ^{c)}	4,5	-17,4	7,25
C—S	3,4	-1,5	6,7	NO ₂ —O ^{c)}	-	43,1	-3,0
S—H	3,2	27,0	-0,8	NO—O ^{c)}	-	35,5	9,0

^{a)} Поправки при вычислении энтропии, учитывающие симметрию и электронные свойства молекул, обсуждаются в разделах II. 11 и II. 12. Точность определения C_p° и S° на основе правила аддитивности свойств связей обычно составляет ± 1 ккал/(моль·град). Однако ошибка определения возрастает для сильно разветвленных соединений. Ошибка вычисления ΔH_f° обычно не превышает ± 2 ккал·моль; она также увеличивается для разветвленных соединений. Со значительной меньшей точностью удается вычислить термохимические параметры для перекисей. Вычисляемые значения относятся к веществам в состоянии идеального газа.

^{b)} C_d означает углеродный атом, принадлежащий винильной группе, которая при этом рассматривается как четырехвалентная частица.

^{c)} > CO означает связь с карбонильным атомом углерода, который здесь считается двухвалентным.

^{d)} NO и NO₂ рассматриваются как одновалентные группы. Фенильный радикал здесь рассматривается как шестивалентная группа.

н-бутина, и изобутина, цис- и транс-олефина и т. д., и поэтому не могут использоваться для сопоставления свойств изомеров. Изомерные различия, которые являются источником значительных стерических эффектов в молекулах, как правило, не могут быть охарактеризованы с помощью каких-либо простых правил аддитив-

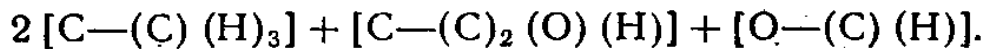
носа. Для анализа изомерных различий необходимы какие-то специальные правила или нужно сравнивать свойства индивидуальных соединений.

II. 5. АДДИТИВНОСТЬ СВОЙСТВ ГРУПП

В следующем приближении (приближении второго порядка) свойства молекул рассматриваются как суммы аддитивных вкладов, принадлежащих различным группам, входящим в молекулу. Определим группу в молекуле как многовалентный атом (валентность ≥ 2) вместе с его лигандами, т. е. атомами, с которыми он связан. По принятой номенклатуре сперва будем указывать многовалентный атом, а затем его лиганды. Так, $C-(C)(H)_3$ означает, что атом углерода связан с тремя атомами водорода и другим атомом углерода, т. е. это метильная группа, связанная с C. Такие молекулы, как HON , CH_3Cl , CH_4 , содержащие только один многовалентный атом и, следовательно, только одну группу, не могут рассматриваться на основе правила аддитивности свойств групп. Это применимо к молекулам, в которых имеется несколько многовалентных атомов (≥ 2). Ниже приведены примеры применения этой методики:

1. Молекула CH_3-CH_3 состоит из двух идентичных групп, каждая из которых содержит углеродный атом, связанный с другим атомом углерода и тремя атомами водорода. Отметим, что все неразветвленные парафиновые углеводороды состоят только из двух групп: $[C-(C)(H)_3]$ и $[C-(C)_2(H)_2]$. Множество насыщенных парафиновых углеводородов построено из четырех групп. Кроме двух указанных выше, они содержат группы третичного и четвертичного углеродов: $[C-(C)_3(H)]$ и $[C-(C)_4]^*$.

2. $CH_3CHONCH_3$ содержит четыре группы, т. е. четыре многовалентных атома:



* Поясним принятый автором способ обозначения групп. $[C-(C)(H)_3]$ означает, что группа содержит атом углерода, связанный с одним атомом C и тремя атомами H, т. е. это может быть метильная группа в молекуле углеводорода. $[C-(C)_2(H)_2]$ — это группа, содержащая атом углерода, связанный с двумя атомами C и двумя атомами H. — Прим. ред.

С увеличением числа заместителей количество групп возрастает, и это составляет основное ограничение использования данного метода. Так, хлорированные неразветвленные углеводороды содержат все группы общей формулы $[C-(C)(H)_n(Cl)_{3-n}]$ и $[C-(C)_2(H)_n(Cl)_{2-n}]$, где $n = 0, 1, 2$ и (или) 3 , общее число которых равно семи, что на пять больше числа групп, на которые можно разбить молекулы нормальных парафинов. Молекулы разветвленных углеводородов имеют лишь одну дополнительную группу $[C-(C)_3(Cl)]$.

Значения групповых вкладов в C_p° , S° и ΔH_f° приведены в первых шести таблицах приложения. Вычисляемые значения C_p° и S° отличаются от экспериментальных значений в среднем на $0,3$ кал/(моль·град), в то время как для ΔH_f° различие составляет $0,5$ ккал/моль. Для сильно замещенных соединений разность расчетных экспериментальных значений C_p° и S° может достигать $\pm 1,5$ кал/(моль·град), а для ΔH_f° эта разность может составлять ± 3 ккал/моль *.

ПРИМЕРЫ

$$1. C_p^\circ \text{ (изобутан)} = 3 [C-(C)(H)_3] + [C-(C)_3(H)] = 18,57 + 4,54 = \\ = 23,1 \text{ кал/(моль · град)}.$$

$$C_p^\circ \text{ (набл.)} = 23,1 \text{ кал/(моль · град)}.$$

$$2. S^\circ \text{ (пентен-2)} = [C-(C_d)(H)_3] + 2 [C_d-(C)(H)] + \\ + [C-(C_d)(C)(H)_2] + [C-(C)(H)_3] - 2R \ln 3 \text{ (симметрия } CH_3) = \\ = 30,41 + 16,0 + 9,8 + 30,41 - 4,2 = 82,3 \text{ кал/(моль · град)}, \text{ транс-изомер}. \\ S^\circ \text{ (набл.)} = 82,0 \text{ кал/(моль · град)}, \text{ транс-изомер}.$$

$$3. S^\circ \text{ (втор-бутиловый спирт)} = 2 [C-(C)(H)_3] + [C-(C)_2(O)(H)] + \\ + [O-(H)(C)] + [C-(C)_2(H)_2] + R \ln 2 \text{ (для оптических изомеров)} - \\ - 2R \ln 3 \text{ (для } CH_3\text{-групп)} = 60,8 - 11,0 + 29,1 + 9,4 + 1,4 - 4,4 = \\ = 85,3 \text{ кал/(моль · град)}.$$

$$S^\circ \text{ (набл.)} = 85,8 \text{ кал/(моль · град)}.$$

$$4. \Delta H_f^\circ \text{ (трет-бутилметиловый эфир)} = 3 [C-(C)(H)_3] + \\ + [C-(C)_3(O)] + [O-(C)_2] + [C-(O)(H)_3] = -30,2 - 6,6 - 23,0 - \\ - 10,1 = -69,9 \text{ ккал/моль}.$$

$$\Delta_f^\circ \text{ (набл.)} = -70 \pm 1 \text{ ккал/моль}.$$

С учетом конформационных поправок получим

$$\Delta H_f^\circ = -69,3 \text{ ккал/моль}.$$

* Подробнее см. серию статей Бенсона и др. в журнале Chem. Reviews [Chem. Rev., 69, 279 (1969)].

В табл. V. 1—V. 6 содержатся два типа поправок, учитывающих взаимодействия более высокого порядка. Одна из них — это поправка, учитываяющая различие свойств цис- и транс-изомеров. Взаимодействия, обуславливающие указанные различия, не могут быть непосредственно учтены при вычислении свойств групп, потому что эти взаимодействия имеют место между ближайшими не связанными друг с другом группами. По-

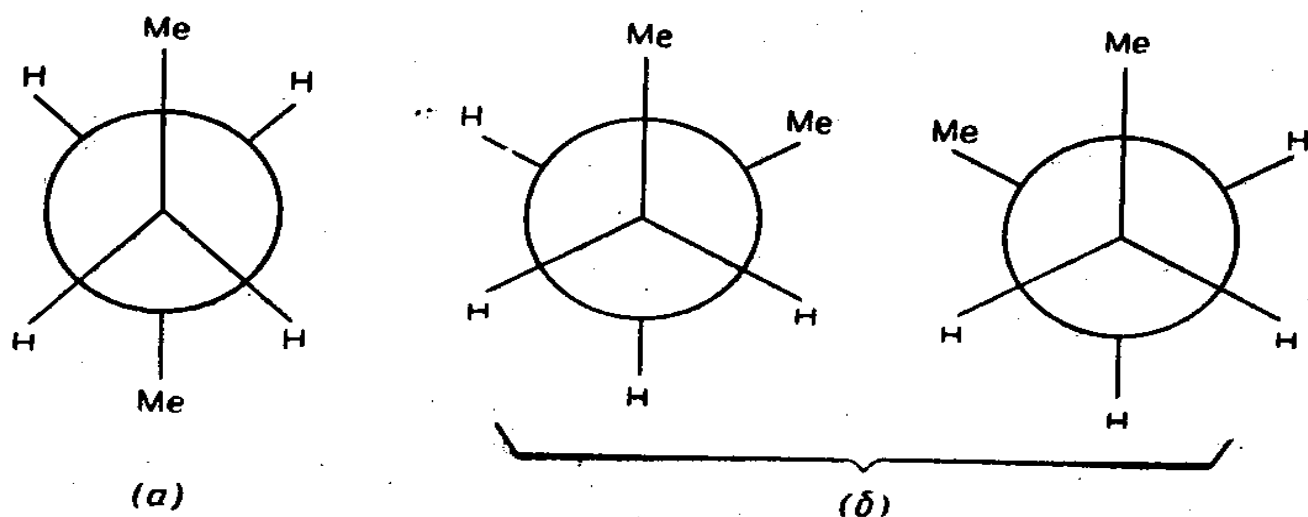


Рис. II. 1. Вращательные конформации *n*-бутана. Зеркальные конфигурации: транс (а), гош (б).

этому свойства группы табулированы для транс-изомеров, которые обычно более стабильны. С помощью приведенных поправок можно перейти к менее стабильным цис-изомерам.

Вторая поправка связана с гош-взаимодействиями больших групп (т. е. любых групп, кроме атомов водорода). Эти взаимодействия возникают также между ближайшими не связанными друг с другом группами, и поэтому они тоже не могут быть непосредственно учтены в групповой схеме. Чтобы учесть эти взаимодействия, нужно записать структуру данной молекулы, а затем пересчитать гош-конфигурации каждой группы по отношению к тем, которые еще не были сосчитаны. Данные взаимодействия определяют вращательные конфигурации. В случае нормальных парафинов наиболее стабильны конфигурации, в которых тяжелые группы занимают транс-положения. Это проиллюстрировано тремя конформациями *n*-бутана (рис. II. 1). Две зеркальные

гош-конфигурации на 0,8 ккал/моль менее стабильны, чем транс-конфигурация.

На рис. II. 2 показаны три конформации 2-метилбутана. Для каждой из двух зеркальных гош-конформаций характерно одно гош-взаимодействие метильных групп, в то время как для менее стабильной син-конформации характерны два гош-взаимодействия метильных групп.

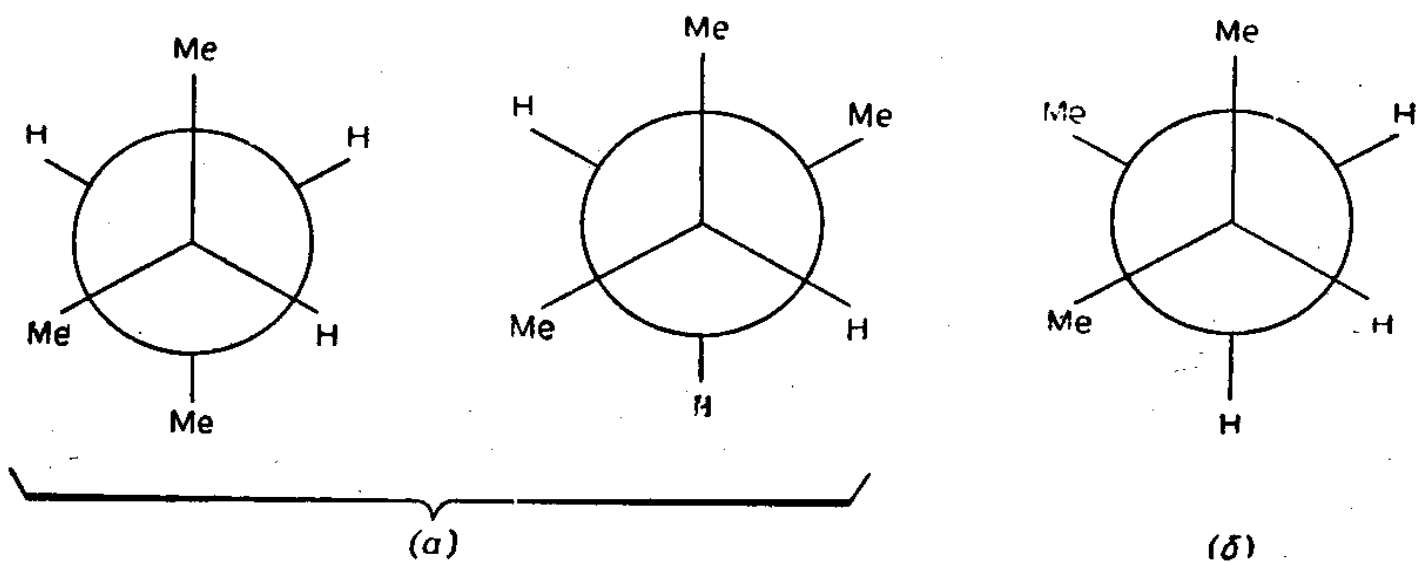


Рис. II. 2. Вращательные конформации 2-метилбутана. Зеркальные конфигурации: гош (а), син (б).

В 2-метилпентане имеет место одно гош-взаимодействие метильных групп, а в 2,3-диметилпентане — три таких взаимодействия. Для ди-*трет*-бутилового эфира, который имеет энергию «напряжения» около 10 ккал/моль, характерны четыре гош-взаимодействия. Значения ΔH_f° , рассчитанные без поправок на гош-взаимодействия, составляют —96,7 ккал/моль, в то время как наблюдаемое значение равно $-87,2 \pm 0,2$ ккал/моль. Для метил-*трет*-бутилового эфира, для которого должны быть внесены две поправки на гош-взаимодействия, уточненное значение ΔH_f° равно —69,3 ккал/моль, в то время как наблюдаемое значение составляет $-70,0 \pm 1,2$ ккал/моль.

Взаимодействия более удаленных групп будут рассмотрены в дальнейшем; здесь же следует упомянуть, что теплота транс-изомеризации цис-ди-*трет*-бутилэтилена составляет —9,3 ккал/моль, тогда как для транс-

изомеризации цис-диметилэтилена (т. е. для цис-бутена-2) имеем значение теплоты —1,0 ккал/моль. Взаимодействий такого рода не может предсказать ни одна простая система поправок. Во многих случаях они могут быть обнаружены только на основании анализа с помощью точных структурных моделей молекул.

II. 6. НЕГРУППОВЫЕ ВЗАИМОДЕЙСТВИЯ. ЦИКЛЫ

Применение правил аддитивности основано на предположении, что какая бы аддитивная единица — атом, связь, группа и т. д. — ни рассматривалась, ее локальное свойство остается неизменным внутри гомологического ряда или, иначе говоря, что заметное взаимодействие между более отдаленными друг от друга единицами не проявляется. Для линейных молекул, таких, как нормальные парафины, эфиры, продукты замещения их концевых групп (например, $\text{Cl}-(\text{CH}_2)_n-\text{O}(\text{CH}_2)_m-X$), эти предположения идеально выполняются, и не удивительно, что правила аддитивности оказываются справедливыми практически с точностью, которую имеют использованные при вычислении вкладов экспериментальные данные. Однако, если в молекуле появятся структурные особенности, благодаря которым более отдаленные группы как бы сближаются, мы можем ожидать отклонений от правил аддитивности. Такие отклонения уже были отмечены в предыдущем разделе в связи с цис-транс-изомерией олефинов и гош-конфигурацией сильно разветвленных соединений. Чтобы не исключать эти соединения из рассмотрения, мы должны ввести поправки, учитывающие эти негрупповые взаимодействия. Наиболее отчетливо такие негрупповые взаимодействия проявляются у циклических соединений. Простой и естественный способ определения свойств циклических соединений на основе правил аддитивности групповых свойств отсутствует, поэтому нам остается только вносить поправку, учитывающую циклическую структуру соединения. В таблицах приложения содержатся такие поправки для различных гомо- и гетероциклов. При вычислении свойства какого-либо соединения, например цис-1-метил-2-этилцикlopентана, мы будем сначала суммировать все обычные груп-

повые вклады, а затем вводить поправку на негрупповое взаимодействие.

$$\begin{aligned}\Delta H_f^\circ \text{ (цис-1-метил-2-этилцикlopентан)} &= 2 [\text{C}-(\text{C})(\text{H})_3] + \\ &+ 4 [\text{C}-(\text{C})_2(\text{H})_2] + 2 [\text{C}-(\text{C})_3(\text{H})] + \text{поправка для цикла } \text{C}_5 + \\ &+ \text{цис-поправка} + \text{гош-поправка} = -20,16 - 19,80 - 3,80 + 6,4 + 1,0 + \\ &+ 0,8 = -35,6 \text{ ккал/моль}; \\ \Delta H_f^\circ \text{ (набл.)} &= -35,9 \text{ ккал/моль}.\end{aligned}$$

II.7. ОПРЕДЕЛЕНИЕ ТЕРМОХИМИЧЕСКИХ ВЕЛИЧИН ПРИ ПОВЫШЕННЫХ ТЕМПЕРАТУРАХ

Рассмотренные выше правила аддитивности позволяют определять значения ΔH_f° , S° и C_p° при 298°K . Чтобы получить соответствующие величины при более высоких температурах, необходимо знать зависимость C_p° от температуры. Такая зависимость известна для углеводородов и их простейших производных. Это позволило привести в табл. V.1—V.6 групповые вклады в C_p° при различных температурах. Средние значения C_p° могут быть легко установлены с помощью линейной интерполяции.

ПРИМЕР

Определить

$$S_{840}^\circ (\text{n-C}_4\text{H}_{10}) - S_{298}^\circ (\text{n-C}_4\text{H}_{10}).$$

Согласно данным приложения,

$$\begin{aligned}C_{p298}^\circ (\text{n-C}_4\text{H}_{10}) &= 2C_p^\circ [\text{C}-(\text{C})(\text{H})_3] + 2C_p^\circ [\text{C}-(\text{C})_2(\text{H})_2] = \\ &= 23,3 \text{ кал/(моль · град)}.\end{aligned}$$

Путем линейной интерполяции между ближайшими и искомой температурами $800-1000^\circ\text{K}$ получим

$$C_{p840}^\circ = 49,5 \text{ кал/(моль · град)}.$$

В качестве среднего значения C_p° для рассматриваемого интервала температур выберем $C_{pTm}^\circ = 36,4 \text{ кал/(моль · град)}$, отметив при этом, что теплоемкости возрастают быстрее при более низких температурах. Из уравнения (II.11) находим

$$S_{840}^\circ - S_{298}^\circ = (C_{pTm}^\circ) \ln \frac{840}{298} = 37,8 \text{ кал/(моль · град)}.$$

Для сравнения приведем экспериментальное значение, равное 37,0 кал/(моль·град). Можно поступить иначе, определив и суммировав инкременты, соответствующие меньшим температурным интервалам:

$$\begin{aligned} S_{840}^{\circ} - S_{298}^{\circ} &= \langle C_p \rangle_{400} \ln \frac{500}{300} + \langle C_p \rangle_{670} \ln \frac{840}{500} = \\ &= 29,6 \cdot 0,51 + 43,8 \cdot 0,51 = 37,4 \text{ кал}/(\text{моль} \cdot \text{град}). \end{aligned}$$

Переходя к температурным зависимостям энталпии, остановимся на следующей проблеме. Исходными для всех дальнейших расчетов значениями энталпии являются стандартные теплоты образования, которые по определению характеризуют образование соединений из простых веществ в стандартных состояниях. Если мы желаем подсчитать теплоты образования при температурах более высоких, чем 298° К, необходимо знать ΔC_{pf}° — изменение молярной теплоемкости при образовании соединения из элементов при различных температурах. Для многих соединений значения ΔH_{fT}° табулированы в достаточно широком интервале температур. Если пользоваться данными этих таблиц, то при этом сочетать их можно только с другими значениями ΔH_{fT}° . Однако при использовании приведенных в этой книге таблиц, в которых содержатся групповые вклады для вычисления ΔH_f° только при 298° К, нет необходимости всегда вычислять ΔH_{fT}° . Это связано с тем, что, так как данная величина в большинстве случаев будет использоваться для определения теплоты реакции при температуре T , теплоемкости элементов C_p° , с помощью которых вычисляется теплота реакции, взаимно уничтожаются. Для определения теплоты реакции вполне достаточно точно определить величину $\Delta H_{f298}^{\circ} + (H_T^{\circ} - H_{298}^{\circ})$. Второе слагаемое в ней является абсолютным инкрементом энталпии для данного соединения и определяется формулой, аналогичной уравнению (II. 11).

$$H_T^{\circ} - H_{298}^{\circ} = \int_{298}^T C_p^{\circ} dT = C_{pT_m}^{\circ} (T - 298). \quad (\text{II. 12})$$

Чтобы подчеркнуть нестрогость этой процедуры, мы будем называть указанную величину «кажущейся теп-

лотой образования». В тех случаях, когда необходимо воспользоваться истинной теплотой образования при температуре T , можно подсчитать ΔC_{pf}° с помощью приведенных в табл. V.7 значений C_p° элементов в стандартных состояниях.

ПРИМЕР

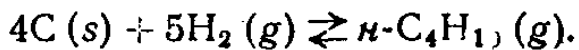
Вычислить для *n*-бутана $\Delta H_{f840}^{\circ} - \Delta H_{f298}^{\circ}$, а также инкремент энталпии ($H_{840}^{\circ} - H_{298}^{\circ}$). Из предыдущего примера известно, что в данном температурном интервале

$$C_{pT_m}^{\circ} (\text{n-C}_4\text{H}_{10}) = 36,4 \text{ кал/(моль·град)},$$

поэтому из уравнения (II.12) находим

$$H_{840}^{\circ} - H_{298}^{\circ} = 36,4 (840 - 298) = 2,0 \text{ ккал/моль.}$$

Бутан образуется из элементов по реакции



Следовательно,

$$\Delta C_{pf}^{\circ} = C_p^{\circ} (\text{n-C}_4\text{H}_{10}) - 4C_p^{\circ} [\text{C (s)}] - 5C_p^{\circ} [\text{H}_2\text{ (g)}].$$

Зная C_p° , уже вычисленное при 298° К, и воспользовавшись значениями стандартных теплоемкостей элементов, приведенных в табл. V.7, находим $\Delta C_{pf298}^{\circ} = -19,2$ и $\Delta C_{pf840}^{\circ} = 5,2 \text{ кал/(моль·град)}$, откуда среднее значение в этой области $\Delta C_{pf_m}^{\circ} = 12,2 \text{ кал/(моль·град)}$. Из уравнения (II.11)

$$\begin{aligned} \Delta H_{f840}^{\circ} (\text{n-C}_4\text{H}_{10}) - \Delta H_{f298}^{\circ} (\text{n-C}_4\text{H}_{10}) &= \\ &= -12,2 (840 - 298) = -6,6 \text{ ккал/моль.} \end{aligned}$$

«Наблюдаемое» значение, согласно таблицам API (Американского нефтяного института), равно $-6,5 \text{ ккал/моль}$.

Отметим, что величина ΔC_{pf}° может быть очень велика по модулю и быть положительной или отрицательной. Соответственно при вычислении ΔH_{fT}° к величине ΔH_{f298}° добавляется большее слагаемое. Следует отметить, что заметная часть величины ΔC_{pf}° обусловлена изменением числа молей газа Δn . Для бутана $\Delta n = -4$, что соответствует постоянному вкладу $-8,0 \text{ кал/(моль·град)}$.

Рассмотрим теперь типичную задачу — расчет константы равновесия.

ПРИМЕРЫ

Рассчитать K_p при 730°K для реакции



Вычислим сперва ΔH_f° , S° , ΔC_p° при 298° для всех компонентов системы, кроме HCl , для которого эти величины можно найти в табл. V. 8, а затем определим ΔH_{298}° и ΔS_{298}° . Далее определим ΔC_p° при 298 и 730°K и $\Delta C_{pT_m}^\circ$; с помощью последней величины вычислим ΔH_{730}° и ΔS_{730}° и, наконец, ΔG_{730} и $K_p(730)$.

$$\begin{aligned} 1. \Delta H_f^\circ [(\text{CH}_3)_3 \text{CCH}_2\text{Cl}] &= 3\Delta H_f^\circ [\text{C}-(\text{C})(\text{H})_3] + \Delta H_f^\circ [\text{C}-(\text{C})_4] + \\ &+ \Delta H_f^\circ [\text{C}-(\text{C})(\text{H})_2(\text{Cl})] = -30,24 + 0,50 - 16,2 + (\text{две гош-поправки,} \\ &\text{каждая равна } 0,8) = -44,3 \text{ ккал/моль}; \\ \Delta H_f^\circ (\text{2-метилбутен-2}) &= 3\Delta H_f^\circ [\text{C}-(\text{C}_d)(\text{H})_3] + \Delta H_f^\circ [\text{C}_d-(\text{C})_2] + \\ &+ \Delta H_f^\circ [\text{C}_d-(\text{H})(\text{C})] + 1 \text{ цис-поправка} = -30,24 + 10,63 + 6,1 + 1,0 = \\ &= -12,5 \text{ ккал/моль}, \\ \Delta H_f^\circ (\text{HCl}) &= -22,1 \text{ ккал/моль (из табл. V. 8). } \Delta H_{298}^\circ = \\ &= +9,7 \text{ ккал/моль.} \end{aligned}$$

2. Аналогичным образом найдем

$$\begin{aligned} S^\circ[(\text{CH}_3)_3 \text{CCH}_2\text{Cl}] &= 91,23 - 35,10 + 37,8 - 4R \ln 3 \text{ (учет симметрии} \\ &\text{трет-бутила)} = 85,2 \text{ кал/(моль · град);} \\ S^\circ \text{ (олефин)} &= 91,2 - 12,7 + 8,0 - 3R \ln 3 + 1,0 \text{ (цис-поправка)} = \\ &= 81,0 \text{ кал/(моль · град).} \end{aligned}$$

Поскольку $S^\circ(\text{HCl}) = 44,6 \text{ кал/(моль · град)}$, найдем $\Delta S_{298}^\circ = 40,4 \text{ кал/(моль · град)}$.

3. Тем же путем найдем

$$\Delta C_{p298}^\circ = 7,0 + 26,9 - 31,9 = +2,0 \text{ кал/(моль · град).}$$

Считая, что при 730°K $C_p^\circ(\text{HCl}) \approx 7,0 \text{ кал/(моль · град)}$, с помощью таблиц найдем $\Delta C_{p730}^\circ \approx 7,0 + 49,7 - 59,9 = -3,2 \text{ кал/(моль · град)}$. Следовательно, в качестве среднего значения ΔC_{pm}° получим $-0,6 \text{ кал/(моль · град)}$.

4. С помощью уравнения (2.11) вычислим ΔH_{730}° и ΔS_{730}° .

$$\Delta H_{730}^\circ = \Delta H_{298}^\circ - 0,6 \cdot (730 - 298) = 9,4 \text{ ккал/моль,}$$

$$\Delta S_{730}^\circ = \Delta S_{298}^\circ - 0,6 \cdot 2,3 \cdot \lg \left(\frac{730}{298} \right) = 39,9 \text{ кал/(моль · град).}$$

Таким образом, $\Delta G_{730}^\circ = \Delta H_{730}^\circ - 730 \Delta S_{730}^\circ = -19,7 \text{ ккал/моль}$,

$$\lg K_p = \frac{-\Delta G_{730}^\circ}{4,576T} = 5,91$$

и

$$K_p(730) = 8,1 \cdot 10^5 \text{ атм.}$$

II.8. СТРУКТУРНЫЕ МЕТОДЫ ОПРЕДЕЛЕНИЯ C_p°

Если отсутствуют необходимые данные для расчета C_p° с помощью правил аддитивности свойств связей или групп, можно дать хорошее оценочное значение этой величины, исходя из частот колебаний молекулы, которые определяют колебательные вклады в C_p° . Вычисление этих вкладов обычно представляет единственную сложность расчетов.

Из статистической термодинамики известно, что теплоемкость идеального газа C_p° можно представить как сумму вкладов от поступательного движения молекул [$C_p^\circ(\text{trans.})$], вращательного [$C_p^\circ(\text{rot.})$], колебательного [$C_p^\circ(\text{vib.})$] и электронного [$C_p^\circ(\text{el.})$]

$$C_p^\circ = C_p^\circ(\text{trans.}) + C_p^\circ(\text{rot.}) + C_p^\circ(\text{vib.}) + C_p^\circ(\text{el.}) + R. \quad (\text{II. 13})$$

В тех случаях, когда можно пренебречь квантовыми эффектами, $C_p^\circ(\text{trans.}) = \frac{3}{2}R$. $C_p^\circ(\text{rot.})$ равна R для линейных молекул и $\frac{5}{2}R$ для нелинейных молекул. $C_p^\circ(\text{el.})$ обычно равна нулю, за исключением нескольких молекул с нечетным числом электронов и таких молекул, как O_2 , однако и в этом случае величина $C_p^\circ(\text{el.})$ мала. Таким образом, для линейных молекул

$$C_p^\circ = \frac{7}{2}R + C_p^\circ(\text{vib.}) + C_p^\circ(\text{el.}), \quad (\text{II. 14})$$

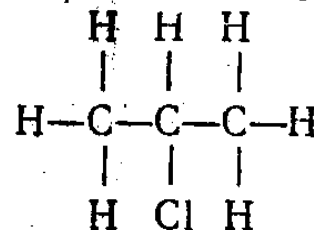
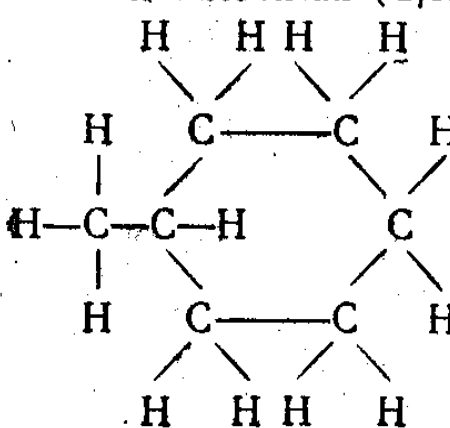
для нелинейных молекул

$$C_p^\circ = \frac{8}{2}R + C_p^\circ(\text{vib.}) + C_p^\circ(\text{el.}). \quad (\text{II. 15})$$

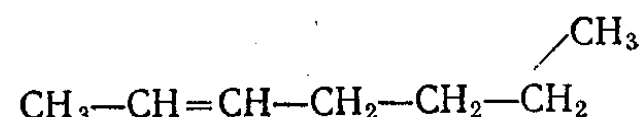
Для небольших молекул, содержащих атомы H и D и лишь один тяжелый атом, при 298°K обычно можно пренебречь $C_p^\circ(\text{vib.})$ и $C_p^\circ(\text{el.})$ и на основании уравнений

Таблица II.2

Классификация колебательных частот некоторых молекул

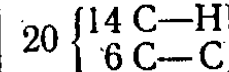
Молекула	Число атомов, N	Полное число частот	Число валентных колебаний	Число деформационных колебаний
C_2H_6	8	18	7 { 6 C—H 1 C—C}	11 { 1 ви. вращ. H 10 деф. кол. H
Хлористый изопропил 	11	27	10 { 7 C—H 1 C—Cl 2 C—C}	17 { 2 ви. вращ. H 15 деф. кол. { 12 H 3 тяж. групп}
Метилциклогексан (C_7H_{14}) 	21	57	21 { 14 C—H 7 C—C}	36 { 1 ви. вращ. H 35 деф. кол. { 27 H 8 тяж. групп}

Гептен-2



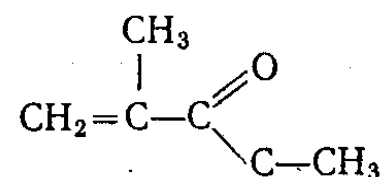
21

57



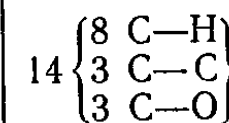
37 { 5 ви. враш. { 2 H
3 тяж. групп }
32 деф. кол. { 26 H
6 тяж. групп }

Метилметакрилат ($\text{C}_5\text{H}_8\text{O}_2$)



15

39

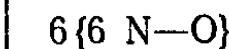


25 { 4 ви. враш. { 2 H
2 тяж. групп }
32 деф. кол. { 14 H
7 тяж. групп }

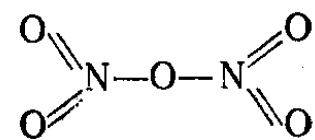
N_2O_5

7

15



9 { 2 ви. враш. тяж. групп
7 деф. кол. тяж. групп



(2.14) и (2.15) найти, что $C_p^{\circ}{}_{298} = 7 \text{ кал}/(\text{моль} \cdot \text{град})$ для таких молекул, как HCl , DBr и др., а для молекул H_2O , NH_3 , NO_3 , CH_4 и др. наблюдаемая величина $C_p{}_{298}$ обычно отличается не более чем на 10% от 8 $\text{кал}/(\text{моль} \cdot \text{град})$ (см. табл. V.9—V.11).

Для более крупных молекул колебательные частоты можно определить исходя из следующих простых эмпирических соотношений. В N -атомной молекуле имеется $3N - 5$ основных колебательных частот, если она линейна, и $3N - 6$, если она нелинейна. Соответствующие колебания можно подразделить на три класса: валентные колебания, деформационные колебания и заторможенные внутренние вращения. Так как N атомов в молекуле могут быть связаны по крайней мере $N - 1$ связью, в молекуле должно быть $N - 1$ мод (типов) валентных колебаний, каждая из которых соответствует растяжению определенной связи. Оставшиеся $2N - 4$ или $2N - 5$ частот соответствуют деформационным колебаниям и заторможенным вращениям. В простом цикле N атомов связаны N связями, поэтому в нем будет на одно валентное колебание больше, чем в нециклической молекуле.

Заторможенное (как и свободное) внутреннее вращение может происходить только вокруг одинарной связи, и число мод таких вращений определяется числом одинарных связей между многовалентными атомами в молекуле. Так, в замещенном парафине $\text{C}_n\text{H}_{2n+2-m}X_m$, где X — одновалентный атом, имеется $n - 1$ одинарная связь между n атомами C и $n - 1$ мод внутренних вращений. У циклических соединений, например у бензола или циклогексана, внутреннее вращение невозможно, поэтому они должны рассматриваться особо.

Можно выделить и еще один тип частот, именно частоты колебаний с участием легких атомов H и D . Причина этого состоит в том, что частоты колебаний H и D обычно очень высоки из-за малой массы атомов H и D , и при низких температурах вклад их в C_p° очень мал. Можно выделить эти частоты, если рассматривать молекулу как бы состоящую только из тяжелых атомов. Если она содержит P тяжелых атомов, в ней будет $3P - 6$ или $3P - 5$ соответствующих частот, из которых $P - 1$ — валентные и $2P - 5$ или $2P - 4$ — деформационные.

В табл. II.2 приведены моды колебаний для некоторых молекул. В табл. V.13 представлены некоторые характеристические частоты валентных и деформационных колебаний, точность которых составляет около $\pm 10\%$. Вклады гармонических осцилляторов с различной частотой в C_p° в зависимости от температуры можно найти в табл. V.15. На рис. II.3 те же данные представлены с помощью графика. На оси абсцисс отложен безразмерный параметр $x = ch\tilde{v}/kT = 1,44 \tilde{v}/T$, где частота \tilde{v} выражена в см^{-1} , T в $^{\circ}\text{К}$, k — константа Больцмана, h — постоянная Планка, c — скорость света в вакууме.

II.9. КОЛЕБАТЕЛЬНЫЕ ВКЛАДЫ В C_p°

Из статистической термодинамики известно, что колебания внутреннего гармонического осциллятора с частотой \tilde{v} (см^{-1}) дают вклад в колебательную теплоемкость, определяемый формулой

$$\frac{C_{\text{vib}}}{R} = \frac{x^2 e^x}{(e^x - 1)^2}, \quad (\text{II.16})$$

где $x = h\tilde{v}c/kT$. Величина C_{vib}/R монотонно изменяется от 0 при $x \gg 1$ до 1 при $x = 0$. Как видно из рис. II.3, при $x = 6$ $C_{\text{vib}}/R = 0,06$, при $x = 4$ эта величина равна 0,3, при $x = 2$ она равна 0,71 и при $x = 1$ — равна 0,9. При 300°K kT/hc составляет около 210 см^{-1} , поэтому для валентных колебаний H ($\tilde{v} \approx 3000 \text{ см}^{-1}$) $x \approx 15$, а для деформационных колебаний H ($\tilde{v} \approx 1300 \text{ см}^{-1}$) $x \approx 6$. Мы видим, что оба эти типа колебаний дают ничтожные вклады в C_p° при 300°K . Погрешность $\pm 10\%$ в значении \tilde{v} обусловит ошибку в $C_p^\circ = \pm 0,04 \text{ кал/(моль}\cdot\text{град)}$, если $1 \leq x \leq 4$, а вне этих пределов C_p° еще гораздо менее чувствительна к изменениям x . При 300°K заметная ошибка в C_p° может быть обусловлена 20%-ной погрешностью в \tilde{v} только при условии, что $200 \leq \tilde{v} \leq 1000 \text{ см}^{-1}$. При 600°K то же справедливо для частот \tilde{v} , лежащих в пределах от 400 до 2000 см^{-1} . Выше 1500°K почти все частоты, за исключением валентных частот H , полностью возбуждены, и их вклад в C_p° близок к значению R .

Сложнее дело обстоит с вкладами в молярную теплоемкость C_p° заторможенного внутреннего вращения C_{ir} (ir — внутреннее вращение). Они могут изменяться от нуля при очень низких температурах, когда V_0 , высота энергетического барьера, препятствующего вращению,

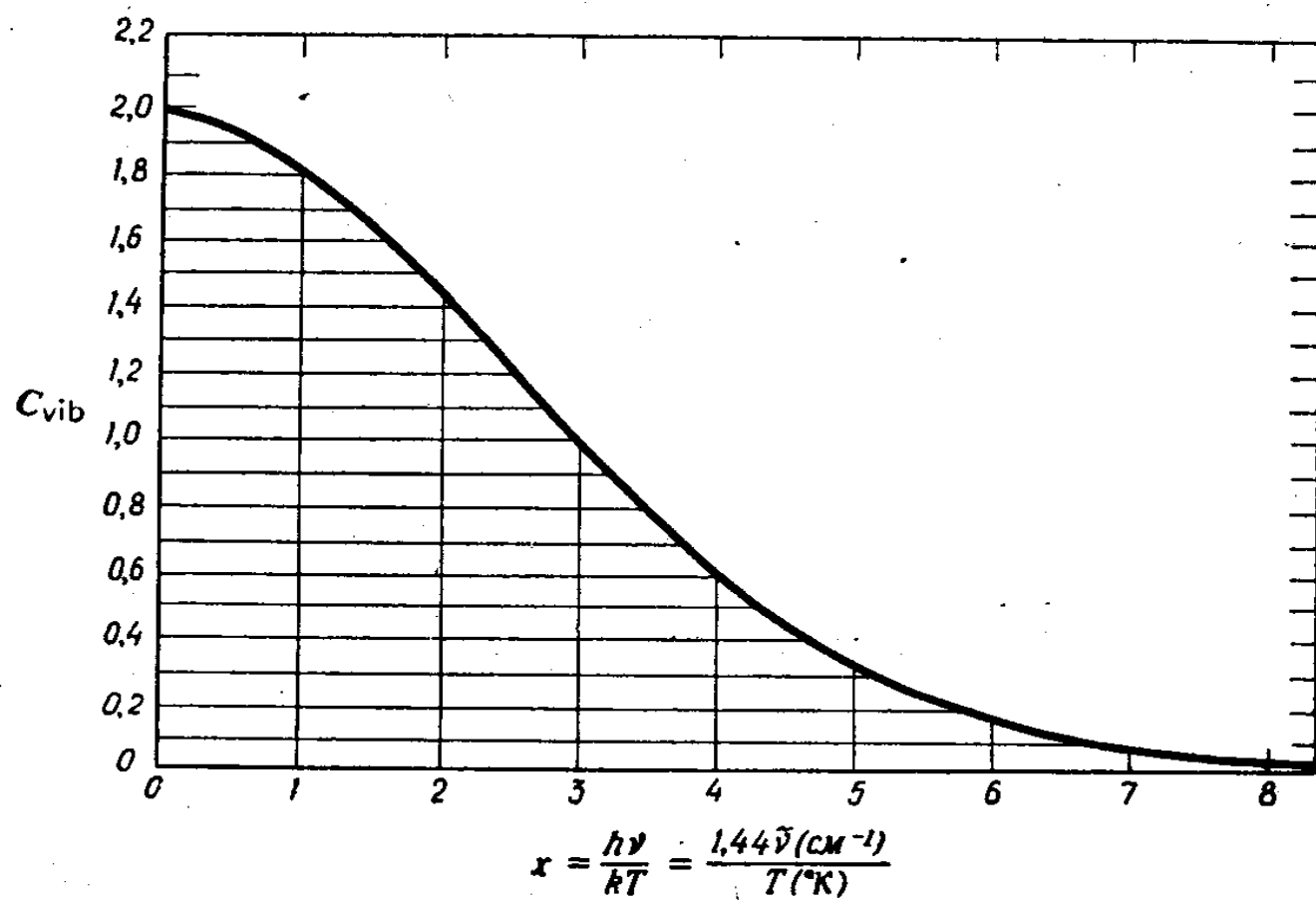


Рис. II.3.

очень велика по сравнению с RT , до максимального значения, близкого к R или даже немного его превышающего, в случае тяжелого ротора с большим моментом инерции. Это может иметь место при умеренных или даже низких температурах. При очень высоких температурах вклад снижается до $1/2 R$ для свободного внутреннего вращения. Молекулами с практически свободным внутренним вращением являются нитрометан CH_3NO_2 и толуол $\text{C}_6\text{H}_5\text{CH}_3$. В табл. V.16 приведены вклады каждого ротора в C_p° в зависимости от V_0/RT и Q_f — суммы по состояниям свободного ротора, для которой,

согласно статистической термодинамике,

$$Q_f = \frac{\pi^{1/2}}{\sigma} \left(\frac{8\pi^2 I_r kT}{h^2} \right)^{1/2} = \frac{2,8}{\sigma} \cdot 10^{19} (I'_r T)^{1/2} = \frac{3,6}{\sigma} \left[I_r \left(\frac{T}{100} \right) \right]^{1/2}, \quad (\text{II. 17})$$

где I'_r — приведенный момент инерции в единицах CGS, σ — число внутренней симметрии; I_r выражается через массу в атомных единицах и расстояние в ангстремах. Для симметричных коаксиальных роторов (например, этана) I_r можно подсчитать непосредственно по формуле

$$\frac{1}{I_r} = \frac{1}{I_1} + \frac{1}{I_2}, \quad (\text{II. 18})$$

где I_1 и I_2 — моменты инерции каждой метильной группы вокруг оси симметрии. Так как $I_1 = I_2$,

$$I_r = \frac{I_1}{2} = \frac{3}{2} m_H r_{\text{C-H}}^2 \sin^2(180 - \theta)$$

и поскольку в молекуле этана угол $\theta(\text{H-C-C})$ равен 109° , а $r_{\text{C-H}} = 1,09 \text{ \AA}$, $I_r = 2,66 \cdot 10^{-40} \text{ г} \cdot \text{см}^2$. Для легкой концевой группы, связанной с тяжелой молекулой, за I_r можно принять момент вращения этой концевой группы. Для наиболее распространенного случая асимметричной группы задача заметно усложняется. Для наших целей мы будем вычислять Q_f , рассматривая группы как симметричные. Величину барьера V_0 можно принять равной 3,5 ккал/моль при вращении вокруг связи между атомами, каждый из которых имеет по три заместителя, 2,2 ккал/моль, если число заместителей при каждом атоме равно двум, и, наконец, 1,1 ккал/моль, если у каждого атома имеется лишь один заместитель. Так, для C_2H_6 , $\text{C}_2\text{H}_5\text{Cl}$ и CF_3CH_3 величину барьера следует принять равной 3,5 ккал/моль, для CH_3NH_2 , $\text{CH}_3-\text{CH}=\text{CH}_2$, NH_2-NH_2 и CH_3CHO 2,2 ккал/моль, а для CH_3OH и H_2O_2 1,1 ккал/моль.

ПРИМЕР

Подсчитать вклад в C_p^o , обусловленный заторможенным вращением CH_3CHCl_2 при 300 и 500°K . Поскольку группа CHCl_2 значительно тяжелее, чем CH_3 , мы можем учитывать только вращение метильной группы с $I_r = 5,3 \cdot 10^{-40} \text{ г} \cdot \text{см}^2$. Тогда по уравнению (II.17) рассчитаем $Q_{500} = 4,7$ и $Q_{300} = 3,6$ и для $V_0 = 3,5$ ккал/моль в табл. V.16 найдем, что C_{p300}^o (внутр. вращ.) = 2,1 кал/(моль · град).

ПРИМЕР

Рассчитать C_p° (500° К) для CH_3CHCl_2 с помощью средних значений частот. Молекула $\text{C}_2\text{H}_4\text{Cl}_2$ имеет восемь атомов, из них четыре тяжелых, и поэтому $3 \cdot 8 - 6 = 18$ частот, в том числе:

	Средняя частота см^{-1}	x	C_p° (vib.)
7 валентных:			
4C—H	3100	8,9	0,1
1C—C	1000	2,9	1,0
2C—Cl	650	1,87	3,0
10 деформационных:			
2C—C—Cl	400	1,15	3,6
1Cl—C—Cl	280	0,81	1,9
2H—C—H	1450	4,2	1,1
5 { H—C—C } { H—C—Cl }	1150	3,3	4,3
1 внутреннее вращение ($V = 5$ ккал/моль)			2,1
			17,1 кал/(моль · град)

Средние частоты взяты из табл. V.16, значение x вычислено для 500° К. Вклады в C_{p500}° (vib.) определены с помощью табл. V.15. Суммарное значение C_{p500}° (vib.) равно 17,1 кал/(моль · град). Добавив сумму всех других слагаемых C_p° , равную 7,9 кал/(моль · град), получим $C_{p500}^\circ(\text{C}_2\text{H}_4\text{Cl}_2) = 25,0$ кал/(моль · град). Применение правил аддитивности свойств групп, так же как и результаты прямого измерения, дает значение 24,8 кал/(моль · град).

II. 10. ЭЛЕКТРОННЫЕ ВКЛАДЫ В C_p°

Радикалы и молекулы, имеющие нечетное число электронов, например NO , NO_2 или ClO_2 , могут обладать низко расположеннымми электронными уровнями. Некоторые радикалы, как полагают, имеют электронно-возбужденные уровни, расположенные всего на несколько килокалорий выше основного состояния. У нас имеются лишь очень ограниченные сведения относительно таких низко расположенных электронных состояний, но, к счастью, они встречаются довольно редко. Подобные электронно-возбужденные состояния могут заметно сказываться на энтропии молекул и радикалов, но их влияние на величину C_p° очень мало. Проиллюстрируем это

на примере молекулы с одним электронно-возбужденным уровнем E_e , имеющим статистический вес (вырожденность) по отношению к основному состоянию g_e . Для $C_p^\circ(\text{el.})$ на основании статистической механики имеем

$$\frac{C_p^\circ(\text{el.})}{R} = \frac{g_e x^2 e^{-x}}{(1 + g_e e^{-x})^2}, \quad (\text{II. 19})$$

где $x = E_e/RT$. Значения $C_p^\circ(\text{el.})/R$ имеют максимум, при чем x_{\max} расположен между 2 (при $g_e \ll 1$) и $\sim \ln g_e$ (при $g_e \gg 1$). При $g_e = 1$ $C_p^\circ(\text{el.})$ имеет максимум при $x = 2,3$: $[C_p^\circ(\text{el.})/R]_{\max} \approx 0,41$. Для малых g_e высота максимума пропорционально снижается, и поэтому величина $C_p^\circ(\text{el.})/R$ всегда мала. Для $g_e \gg 1$ $[C_p^\circ(\text{el.})/R]_{\max} \approx \approx 2,3(\lg g_e)/4$. Например, при $g_e = 10$ это составляет $\sim 0,6$ (такое значение g_e следует считать необычно высоким). $C_p^\circ(\text{el.})$ равняется нулю как при очень низких, так и при очень высоких температурах. При любой температуре порядка $E_e/2R$ эта величина заметно не превышает 1 кал/(моль · град), поэтому, пренебрегая ею, мы лишь незначительно увеличиваем ошибку определения C_p° .

II. 11. ЧИСЛА СИММЕТРИИ. ИЗОМЕРЫ

Статистическая физика определяет молярную энтропию как $R \ln W$, где W — число различных возможных для данного соединения конфигураций. Эти конфигурации должны согласовываться с определенными наложенными на систему ограничениями. Число конфигураций с определенной энергией E_i определяется экспоненциальными членами большинского распределения $e^{-E_i/R}$.

Так называемая «поступательная энтропия» идеального газа представляет собой вклады в $R \ln W$ различных конфигураций, отвечающих различным расположениям N_A молекул (N_A — число Авогадро) в стандартном объеме 24,6 л при 25°С.

Гиббс был первым, кто отметил, что любая перестановка идентичных молекул приводит к неразличимым конфигурациям в газе. Так как для N_A молекул в сосуде возможно $N_A!$ перестановок, он ввел поправку, поделив

W на $N_A!$. Отсюда возник знаменитый парадокс «энтропии смешения». Такая поправка не возникает для различных неидентичных молекул.

Источником вращательной энтропии идеального газа являются вклады в $R \ln W$ различных конфигураций, возникающих при изменении ориентации в пространстве осей многоатомных молекул. Для молекул, состоящих из неидентичных атомов, например для $\text{H}-\text{O}-\text{Cl}$ или $\text{N}-\text{N}-\text{O}$, здесь не возникает дополнительных трудностей. Однако, если молекула содержит идентичные атомы, необходимо учесть неразличимые конфигурации, которые возникают в результате простых перестановок идентичных атомов. В принципе эта поправка должна равняться $(n_a! n_b! \dots)$, где n_a , n_b и т. д. — числа неразличимых атомов типа a , b и т. д. в молекуле. Но из-за жесткости молекулы некоторые из этих перестановок оказываются невозможными, и поправка должна быть меньше.

В двухатомных молекулах, состоящих из одинаковых атомов, например H_2 , O_2 , два идентичных атома могут поменяться местами при простом повороте на 180° . Следовательно, величина полной поправки равна $2!$. В молекуле O_3 только два концевых атома O идентичны, поэтому поправка снова равна $2! = 2$. Однако для гипотетической циклической молекулы O_3 , в которой все атомы O идентичны, поправка составит $3! = 6$. В CH_4 четыре идентичных атома H , поэтому можно ожидать, что максимальная поправка составит $4! = 24$. Однако с помощью простого вращения нельзя осуществить все перестановки четырех атомов. В частности, невозможна половина перестановок, которая осуществляется путем инверсии молекулы относительно центрального атома углерода, поэтому поправка составит $4!/2 = 12$. Для нежесткой модели молекулы CH_4 , которая могла бы проторпевать быструю инверсию, была бы необходима полная поправка.

Поправку к вращательной энтропии, обусловленную этой особенностью неразличимых атомов в молекуле, называют поправкой на симметрию. Чтобы ее внести, необходимо вычесть из вращательной энтропии $R \ln \sigma$. Число σ называют числом симметрии и определяют как

общее число независимых перестановок идентичных атомов (или групп) в молекуле, которые можно осуществить вращением жесткой молекулы как целого. Ниже в скобках приведены числа симметрии некоторых молекул: H_2O (2); SO_2 (2); SO_3 , плоская (6); NH_3 , неплоская (3); CH_4 (12); SF_6 (24); бензол (12); циклопропан (6); циклобутан, неплоская (4); C_2H_4 (4); H_2O_2 (2); циклобутадиен, плоская (8).

Простой способ определения σ состоит в перемножении числа, определяющего степень симметрии всех независимых осей, на число этих осей. Так, можно считать, что у метана четыре независимые оси третьего порядка, каждая из которых совпадает со связью $\text{C}-\text{H}$. Вокруг этих осей происходит вращение метильных групп. Таким образом, $\sigma = 4 \cdot 3 = 12$. У молекулы SF_6 шесть осей четвертого порядка, поэтому $\sigma = 6 \cdot 4 = 24$. Треугольная бипирамида PF_5 , имеющая 3 атома F в общем основании и два в вершинах пирамид, обладает одной осью третьего порядка и одной осью второго порядка. Следовательно, $\sigma = 3 \cdot 2 = 6$. У бензола шесть осей второго порядка, поэтому $\sigma = 6 \cdot 2 = 12$.

Для молекул с заторможенным внутренним вращением σ включает вклад внутреннего вращения. Так, например, в случае этана этот вклад равен 6 благодаря оси второго порядка и оси третьего порядка. Кроме того, внутреннее вращение группы CH_3 происходит вокруг оси третьего порядка, поэтому $\sigma = \sigma_{\text{ext}} \cdot \sigma_{\text{int}} = 18$. По той же причине все нормальные алканы имеют $\sigma = 18 = 2 \times 9$: внешняя ось второго порядка и две оси третьего порядка вращения концевых метильных групп. Для неопентана C_5H_{12} , как и в случае метана, $\sigma_{\text{ext}} = 12$, а $\sigma_{\text{int}} = 3^4$, что обусловлено наличием четырех метильных групп. Поэтому $\sigma = 12 \cdot 3^4 = 972$, т. е. для этого соединения очень значительная поправка.

Для читателей, знакомых с точечными группами симметрии и их обозначениями, в табл. П.3 приведена сводка чисел симметрии для молекул, принадлежащих к различным группам.

Иной тип поправок приходится вносить в случае изомерных соединений. Пусть мы имеем две изомерные формы некоторого вещества, физически различимые, но

Таблица II.3

Числа симметрии σ для различных точечных групп симметрии

Точечная группа	σ	Точечная группа	σ	Точечная группа	σ
C_1, C_J, C_s	1	$D_2, D_{2d}, D_{2h} \equiv V$	4	$C_{\infty v}$	1
C_2, C_{2v}, C_{2h}	2	D_3, D_{3d}, D_{3h}	6	$D_{\infty h}$	2
C_3, C_{3v}, C_{2h}	3	D_4, D_{4d}, D_{4h}	8	T, T_d	12
C_4, C_{4v}, C_{4h}	4	D_6, D_{6d}, D_{6h}	12	O_h	24
C_6, C_{6v}, C_{6h}	6	S_6	3		

Обозначения точечных групп симметрии приведены по книге Герцберга «Колебательные и вращательные спектры многоатомных молекул», М., ИЛ, 1949.

C_J означает, что в молекуле имеется ось симметрии J -го порядка; D_J означает, что молекула принадлежит к классу C_J и содержит J осей второго порядка, направленных под прямым углом к оси J -го порядка и под равными углами друг к другу; T означает, что молекула имеет симметрию тетраэдра, O — симметрию октаэдра.

имеющие одно и то же значение ΔH_f° . Это могут быть оптические изомеры, различные вращательные конфигурации одного и того же вещества и т. д. Если имеется равновесная смесь этих изомеров, к значению S° следует добавить член $R \ln 2$ кал/(моль·град), учитывающий энтропию их смешения. Если имеется n таких изомеров, причем для всех величина ΔH_f° одна и та же, поправка составит $R \ln n$. В более общем случае поправка на 1 моль смеси составит

$$\Delta S_{\text{mix}} = -R \sum_i n_i \ln(n_i),$$

где n_i — молярная доля i -го изомера в равновесной смеси. Если все изомеры имеют одну и ту же энергию, $n_i = 1/n$ и $\Delta S_{\text{mix}} = R \ln n$.

При вычислении энтропии для таких соединений, как втор-бутилиодид, чтобы учесть оптическую изомерию, мы будем добавлять к значению, найденному на основании таблиц групповых вкладов, член $R \ln 2$. Аналогично для молекул ROOH и H_2O , в которых OH^- и OR^- связи направлены почти под прямыми углами, существуют правые и левые оптические изомеры. Поэтому в подобных случаях нужно добавлять $R \ln 2$. Это же относится к 1,3-дизамещенным алленам.

ПРИМЕР

Определить энтропию диметилперекиси на основании правила аддитивности групповых свойств.

$$S^{\circ} = 2S^{\circ}[\text{C—O(H)}_3] + 2S^{\circ}[\text{O—(C)(O)}] - R \ln \sigma + \\ + R \ln 2 = 60,82 + 18,8 - 5,8 + 1,4 = 75,2 \text{ кал/(моль·град).}$$

II. 12. ОПРЕДЕЛЕНИЕ C_{pT}° ПО ДАННЫМ ДЛЯ МОДЕЛЬНЫХ СОЕДИНЕНИЙ

Как было показано, C_{pT}° можно определить, исходя из структурных соображений. Однако такого рода расчеты трудоемки. Часто величину C_{pT}° можно хорошо оценить путем сравнения рассматриваемого соединения с другим, для которого C_{pT}° известна или может быть вычислена с помощью аддитивности свойств групп. То же самое относится к $\Delta H_f^{\circ}{}_{298}$ и $S^{\circ}{}_{298}$. Рассмотрим несколько примеров.

Пусть необходимо определить $S^{\circ}{}_{298}$ для $\text{CH}_3\text{CH}=\text{NH}$, для которого отсутствуют необходимые данные. Рассмотрим простейшую молекулу с близкой массой и строением, для которой эта величина известна. В данном случае это $\text{CH}_3\text{CH}=\text{CH}_2$, имеющий $S^{\circ}{}_{298} = 63,8 \text{ кал/(моль·град)}$. Ниже перечислены поправки, которые нужно внести, чтобы определить искомую величину:

- 1) поступательная (определяется общей массой);
- 2) вращательная (определяется моментами инерции);
- 3) колебательная (определяется частотами);
- 4) на симметрию;
- 5) на внутреннее вращение.

Поступательная энтропия $S^{\circ}(\text{trans.})$ зависит от молекулярного веса M : $S^{\circ}(\text{trans.}) = 3/2 R \ln M$. При переходе от M к M' величина $S^{\circ}(\text{trans.})$ изменится на $3/2 R \ln (M'/M)$. Если $M'/M = 1,10$, то энтропия возрастет на $0,15 R$, или на $0,3 \text{ кал/(моль·град)}$. Для рассматриваемого примера $M'/M = 43/42$, и величиной $\Delta S^{\circ}(\text{trans.}) \approx 0,08 \text{ кал/(моль·град)}$ можно пренебречь.

Вращательную энтропию $S^{\circ}(\text{rot.})$ можно представить как $1/2 R \ln(I_A I_B I_C)$, где I_A, I_B, I_C — проекции вектора момента инерции молекулы на три оси координат. Изменение энтропии $\Delta S^{\circ}(\text{rot.}) = 1/2 R \ln(I'_A I'_B I'_C / I_A I_B I_C)$. Моменты

инерции I равны $\sum m_i r_i^2$, где m — массы тяжелых атомов, а r_i — проекции (xy , yz , zx) в декартовых координатах их расстояний от центра тяжести. Если мы не изменили значительно m_i и r_i при переходе от модельного соединения к рассматриваемому, $\Delta S^\circ(\text{rot.})$ будут очень малы. Даже при возрастании I_A , I_B и I_C вдвое $\Delta S^\circ(\text{rot.})$ увеличивается только на $1/2 R \ln 2 = 0,7 \text{ кал}/(\text{моль}\cdot\text{град})$. В нашем случае изменением $S^\circ(\text{rot.})$ можно пренебречь.

При замене группы $=\text{CH}_2$ на $=\text{NH}$ теряется один атом и, следовательно, три моды колебаний, именно валентное колебание $\text{C}-\text{H}$ и два деформационных колебания $\text{C}-\text{C}-\text{H}$. Их частоты, как следует из табл. V.13, составляют 3100 и 1100 см^{-1} соответственно. При 298° $x = ch\tilde{\nu}/kT$ для этих частот составляет 14,5 и 5,3, и из табл. V.17 можно оценить уменьшение колебательной энтропии в $0,06 \text{ кал}/(\text{моль}\cdot\text{град})$.

В рассматриваемом случае не происходит изменения симметрии и не нужно вводить поправки на внутреннее вращение. Таким образом, наша оценка $S_{298}^\circ(\text{CH}_3-\text{CH}=\text{NH}) = 63,8 \text{ кал}/(\text{моль}\cdot\text{град})$ справедлива с точностью, превышающей $\pm 0,5 \text{ кал}/(\text{моль}\cdot\text{град})$.

Теперь уже нас не удивляет и не кажется случайным совпадением, что S_{298}° для ацетона составляет $70,5 \text{ кал}/(\text{моль}\cdot\text{град})$, а для структурно подобного изобутилена $70,6 \text{ кал}/(\text{моль}\cdot\text{град})$, или что для ацетальдегида $S_{298}^\circ = 63,2 \text{ кал}/(\text{моль}\cdot\text{град})$, а для пропилена $63,8 \text{ кал}/(\text{моль}\cdot\text{град})$. Различие энтропий этилового спирта [67,3 $\text{кал}/(\text{моль}\cdot\text{град})$] и пропана [64,6 $\text{кал}/(\text{моль}\cdot\text{град})$] удовлетворительно объясняется поправкой на симметрию, равной $R \ln(18/3) = 3,6 \text{ кал}/(\text{моль}\cdot\text{град})$. В этом случае, как и ранее, все другие поправки несущественны. Малые поправки, связанные с изменением потенциальных барьеров заторможенного вращения, компенсируются изменением числа атомов водорода в молекуле.

В табл. II.4 приведены значения C_p° и S° для структурно подобных молекул в интервале температур 300—1000° К. Они сгруппированы, с тем чтобы проиллюстрировать эффект добавления атомов Н к скелету, образованному тяжелыми атомами, и появления нового вну-

тренного вращения в молекуле. Так как поступательные и вращательные вклады в C_p° выше 300° постоянны, они были вычтены, и разности, приведенные в скобках, характеризуют только внутренние степени свободы.

Таблица II. 4
Некоторые примеры структурных аналогий между C_p° и S°

Молекула (σ_{total})	$C_p^{\circ} (C_{\text{vib}})^{\text{в)}$			$S^{\circ} \text{ г)$		
	300° K	600° K	1000° K	300° K	600° K	1000° K
A. N≡N (2)	7,0 (0,1)	7,2 (0,3)	7,8 (0,9)	45,8	50,7	54,5
C≡O (1)	7,0 (0,1)	7,3 (0,4)	7,9 (1,0)	47,3	52,2	56,0
H—C (1)	8,6 (1,7)	10,6 (7,7)	12,2 (5,3)	48,3	54,9	60,7
H—C≡C—H (2)	10,6 (3,7)	13,9 (7,0)	16,3 (9,4)	48,0	56,6	64,3
B. O=C=O (2)	8,9 (2,0)	11,3 (4,4)	13,0 (6,1)	51,1	58,1	64,3
O=N≡N (1)	9,3 (2,4)	11,6 (4,7)	13,1 (6,2)	52,6	59,8	66,1
B. H ₂ C=O (2)	8,5 (0,6)	11,5 (3,6)	14,8 (6,9)	52,3	59,1	65,8
H ₂ C=CH ₂ (4)	10,3 (2,4)	16,9 (9,0)	22,4 (14,5)	52,4	61,7	71,8
H ₃ C—C≡CH (3)	14,6 (6,7)	21,8 (13,9)	27,7 (19,8)	59,4	71,9	84,5
HO—OH (2) ^{a)}	10,3 (2,4)	13,3 (5,4)	15,0 (7,1)	55,7	57,9	61,9
Г. O—N=O (2) ^{b)}	8,9 (1,0)	11,0 (3,1)	12,5 (4,6)	57,4	64,2	70,2
O ₃ (2)	9,4 (1,5)	11,9 (4,0)	13,2 (5,3)	57,1	64,5	71,0
F—O—F (2)	10,4 (2,5)	12,5 (4,6)	13,3 (5,4)	59,2	67,2	73,8
F—CH ₂ —F (2)	10,3 (2,4)	15,7 (7,8)	20,0 (12,1)	59,0	67,9	77,0
Д. O—Cl—O (2) ^{b)}	10,9 (3,0)	12,7 (4,8)	13,4 (5,5)	63,7	71,9	78,7
O=S=O (2)	9,5 (1,6)	11,7 (3,8)	13,0 (5,1)	59,4	66,7	73,0
CH ₃ —S—CH ₃ (18)	17,8 (9,9)	27,0 (19,1)	35,2 (27,3)	68,4	83,7	99,6

^{a)} H₂O₂ существует в виде двух асимметрических оптически активных изомеров. Поэтому S° включает член $R \ln 2$, соответствующий энтропии смешения.

^{b)} Выражение для S° включает член $R \ln 2$, связанный с мультиплетностью.

^{в)} Приведенные в скобках значения равны $C_p^{\circ} - C_p^{\circ} (\text{trans.}) - C_p^{\circ} (\text{rot.}) - R$.

^{г)} Здесь приведены абсолютные энтропии. Чтобы перейти к характеристическим энтропиям, необходимо прибавить $R \ln (\sigma/n_i g_e)$, где g_e — вырожденность электронного уровня.

Анализ данных группы А показывает, что в случае линейных молекул C_{p298}° возрастает примерно на 2 кал/(моль·град) в расчете на каждый добавленный

атом Н, что приблизительно равно увеличению C_p° , наблюдаемому при добавлении к линейной молекуле одного тяжелого атома (ср. с группой *B*). При переходе же от CH_2O к C_2H_4 (нелинейные молекулы) C_p° возрастает лишь на 1 кал/(моль·град) в расчете на атом Н. Из сравнения C_{p298}° (внутр.) CO_2 и CH_3CCN следует, что в этом случае наблюдается увеличение теплоемкости, равное 1,2 кал/(моль·град) в расчете на атом Н. Приблизительно такой же инкремент наблюдается при переходе от ClO_2 к $(\text{CH}_3)_2\text{S}$.

При рассмотрении энтропий необходимо ввести поправки в S° на симметрию, а также поправки, учитывающие мультиплетность и число оптических изомеров. Для этого к приведенным значениям S° необходимо прибавить $R \ln \sigma$ и вычесть $R \ln g_e$ и $R \ln n_i$. Числа симметрии σ включают множители, характеризующие внутреннюю симметрию заторможенных роторов, например $(\text{CH}_3)_2\text{S}$. Электронная вырожденность $g_e = 2j + 1$, где j — полный момент количества движения электронов. Для многоатомных молекул он обычно совпадает с мультиплетностью $2S + 1$, где S — полный спин. Величина n_i — полное число энергетически эквивалентных оптических изомеров. Мы будем называть эти исправленные значения энтропии характеристическими ($S_{\text{intrinsic}}^\circ$ или S_{int}°) в отличие от приведенных в таблице абсолютных (S_{abc}°).

При 298°K $S_{\text{int}}^\circ = 53,7$ кал/(моль·град) для CH_2O и 55,2 кал/(моль·град) для C_2H_4 . Для H_2O_2 $S_{\text{int}}^\circ = 55,7$ кал/(моль·град), а для NO_2 57,4 кал/(моль·град). Для O_3 $S_{\text{int}}^\circ = 58,5$ кал/(моль·град), в то время как для CH_2F_2 $S_{\text{int}}^\circ = 60,4$ кал/(моль·град). Сравнение S_{int}° для $(\text{CH}_3)_2\text{S}$ [74,2 кал/(моль·град)] и ClO_2 [63,7 кал/(моль·град)] показывает, что вклады, обусловленные внутренним вращением и колебаниями, свойственными группам CH_3 , составляют 5,3 кал/(моль·град) в расчете на метильную группу. Эти вклады в основном обусловлены внутренним вращением. Согласно табл. V. 18 величина вклада одной метильной группы составляет 5,8 кал/(моль·град) при 300°K .

Свободные радикалы

Для свободных радикалов, если не считать таких стабильных радикалов, как NO , NO_2 , ClO_2 и NF_2 , имеется очень мало прямых термохимических данных. Почти все наиболее достоверные значения теплот образование получены из кинетических измерений энергий диссоциации связей, в то время как энтропии и теплоемкости можно вычислить лишь с помощью статистических методов. Все это является причиной ограниченности тех сведений, которые имеются по термохимии свободных радикалов. Теплоты образования обычно определены с погрешностью $\pm 1\text{ ккал/моль}$, а часто со значительно худшей точностью. Однако можно ожидать, что правила аддитивности свойств групп применимы и к радикалам, и поэтому можно вывести ΔH_f° для любого алкильного радикала, если известна соответствующая величина для $\text{CH}_3\dot{\text{C}}\text{H}_2$, $(\text{CH}_3)_2\dot{\text{C}}\text{H}$ и $(\text{CH}_3)_3\dot{\text{C}}$ *. Энтропии радикалов могут быть рассчитаны на основе аддитивности свойств групп из энтропий простейших радикалов, однако для последних энтропии должны быть вычислены исходя из предполагаемых структур радикалов и частот колебаний. Хотя есть основания полагать, что замещенные метильные радикалы плоские и поэтому имеют более высокую симметрию, чем неплоские радикалы, все же оценки, которые можно сделать для радикалов, характеризуются некоторой неопределенностью. При рассмотрении электронной вырожденности, как и ранее, мы будем учитывать только спиновую вырожденность, т. е. мультиплетность, и для радикалов, имеющих один неспаренный электрон,

* Стого говоря, это не совсем так, поскольку не существует стабильного соединения с гипотетической формулой CH_2-CH_2 , в котором неспаренные электроны по аналогии с $X-\text{CH}_2-\text{CH}_2-X$ можно было бы рассматривать как заместитель X . Для действительно строгого применения метода аддитивности необходимо знать значения для всех перечисленных ниже групп: $\dot{\text{C}}-(\text{C})(\text{H})_2$, $\dot{\text{C}}-(\text{C})_2(\text{H})$, $\dot{\text{C}}-(\text{C})_3$, $\text{C}-(\dot{\text{C}})(\text{H})_3$, $\text{C}-(\dot{\text{C}})(\text{C})(\text{H})_2$, $\text{C}-(\dot{\text{C}})(\text{C})_2(\text{H})$, $\text{C}-(\dot{\text{C}})(\text{C})_3$. Однако предположение, что группа $\text{C}-(\dot{\text{C}})(\text{C})_2(\text{H})$ и другие имеют удельные теплоты образования такие же, как соответствующие нерадикальные группы $\dot{\text{C}}-(\text{C})_3\text{H}$ и т. д., представляется справедливым в пределах точности имеющихся данных.

например для $\dot{\text{C}}\text{H}_3$, $\text{CH}_3\dot{\text{C}}\text{O}$ или $\dot{\text{C}}\text{H}_2-\text{CH}=\text{CH}_2$, мы будем добавлять при вычислении энтропии $R \ln 2$. Возможность существования низко расположенных электронных уровней также всегда вносит неопределенность в вычисления S° и C_p° . Еще большие неопределенности возникают при вычислении потенциальных барьеров внутреннего вращения сложных радикалов, например $(\text{CH}_3)_3\dot{\text{C}}$ или $\dot{\text{C}}\text{H}_2-\text{CH}=\text{CH}_2$.

Учитывая сказанное выше, попытаемся оценить значения C_p° и S° для радикалов по аналогии с родственными насыщенными соединениями. Так, можно предположить, что радикал $\dot{\text{C}}\text{H}_3$ имеет то же значение C_{p298}° , что и CH_4 и NH_3 , а именно 8,5 кал/(моль·град). Единственная неопределенность, которая может здесь возникнуть, связана с низкоэнергетическими электронными состояниями. Величину $S_{298}^\circ(\dot{\text{C}}\text{H}_3)$ по аналогии с $S_{298}^\circ(\text{NH}_3) = 46,0$ кал/(моль·град) можно принять равной 46 кал/(моль·град), так как спин радикала равен $1/2$, $g_e = 2$ и $\sigma = 6$, в то время как у амиака $\sigma = 3$. Нижнюю границу $S_{298}^\circ(\dot{\text{C}}\text{H}_3)$, равную 45,7 кал/(моль·град), можно определить, введя поправку в поступательную энтропию, учитывающую переход от $M = 17$ в случае NH_3 к $M = 15$. Для сравнения напомним, что $S_{298}^\circ(\text{CH}_4) = 44,5$ кал/(моль·град) ($\sigma_{\text{CH}_4} = 12$), а $S_{298}^\circ(\text{H}_2\text{O}) = 45,1$ кал/(моль·град) ($\sigma_{\text{H}_2\text{O}} = 2$).

Для более сложного этильного радикала $\text{CH}_3\dot{\text{C}}\text{H}_2$ ($\sigma = 6$) сравнение с различными молекулами приведено в табл. II.5. Маловероятно, чтобы выбранное значение $S_{\text{int}}^\circ(\dot{\text{C}}_2\text{H}_5)$ отличалось бы от истинного более чем на 1 кал/(моль·град). Следует иметь в виду, что оно получено в предположении отсутствия барьера внутреннего вращения.

В случае радикалов с сопряженными связями мы сталкиваемся с дополнительными трудностями, связанными с их более жесткой структурой. Так, сопряженный аллильный радикал имеет энергию стабилизации (сопряжения), равную, согласно оценкам, 12 ккал/моль. Это создает барьер вращения группы CH_2 , сравнимый с барьером вращения группы CH_3 в модельном со-

Таблица II.5
Энтропии структурно подобных молекул

Молекула	CH ₃ CH ₃	CH ₃ NH ₂	CH ₃ O	CH ₂ =CH ₂	CH ₃ ·CH ₂
σ, спин	18,0	3,0	3,0	4,0	6, 1/2
S_{298}°	54,9	57,7	57,3	52,5	58,1
S_{298}° (int.)	60,6	59,9	59,5	55,3	60,3

Молекула	CH ₃ CH ₂ CH ₃	CH ₃ NHCH ₃	CH ₃ OCH ₃
σ, спин	18,0	9,0	18,0
S_{298}°	64,6	65,3	63,7
S_{298}° (int.)	70,3	69,7	69,4

Молекула	CH ₃ —CH=CH ₂	CH ₂ —CH=CH ₂	CH ₂ =C=CH ₂
σ, спин	3,0	2, 1/2	4,0
S_{298}°	63,9	63,0	58,3
S_{298}° (int.)	66,1	63,0	61,1

единении CH₃—CH=CH₂, который составляет около 2 ккал/моль. Сопоставление с близкими по строению соединениями (табл. II.5) позволяет заключить, что в отсутствие свободного вращения группы CH₃ энтропия становится меньше примерно на 3 кал/(моль·град).

Сравнение характеристических энтропий C₃H₆ и C₃H₈ позволяет обнаружить различие на 4,2 кал/(моль·град), в то время как энтропия CH₃OCH₃ лишь на 0,9 кал/(моль·град) ниже, чем C₃H₈. Так как в C₃H₈ на два атома Н больше, чем в C₃H₆, отнимем из 4,2 кал/(моль·град) 0,2 кал/(моль·град), обусловленные

колебаниями этих атомов (табл. V. 17). Остаток 4,0 кал/(моль·град) характеризует внутреннее вращение. Чтобы определить $S^\circ(\text{CH}_2-\text{CH}=\text{CH}_2)$ путем сравнения с $S^\circ(\text{C}_3\text{H}_6)$, вычтем из этой величины 4,0 кал/(моль·град), прибавим 1,0 кал/(моль·град) (вклад, обусловленный барьером 13 ккал/моль внутреннего вращения сопряженной группы CH_2 , см. табл. V. 20) и вычтем 0,1 кал/(моль·град) (потеря одного атома водорода). Таким образом, получим значение $S^\circ(\text{CH}_2-\text{CH}=\text{CH}_2) = 63,0 \text{ кал}/(\text{моль}\cdot\text{град})$.

Когда нет естественных структурных аналогий, значения S° и C_p° для радикалов R^\cdot можно оценить, исходя из соответствующих значений для RH . Сделаем это на примере $\dot{\text{C}}_2\text{H}_5$, вводя поправки, учитывающие изменения в молекуле, которые происходят при удалении одного атома Н.

Таблица II.6
Поправки при расчете энтропии и теплоемкости
этильного радикала

Поправки	ΔS°	ΔC_p°
Поступательные	Пренебрежимо мало	Нет
Вращательные	»	Нет
Колебательные		
одно валентное колебание С—Н (3100 см^{-1})	0	0
два деформационных колебания H_2-C (1450 см^{-1})	0	-0,2
Заторможенное вращение, изменение барьера от 3 до 0 ккал	+1,3	-1,3
Симметрия и мультиплетность	+3,6	Нет
Полная поправка	+4,9 кал/(моль·град)	-1,5 кал/(моль·град)

Значения S° и C_p° для C_2H_6 хорошо известны. С помощью этих значений и поправок, приведенных для 300°K в табл. II.6, можно найти: $S_{p300}^\circ(\dot{\text{C}}_2\text{H}_5) =$

$= S_{300}^{\circ}(C_2H_6) + 4,9 \text{ кал/(моль} \cdot \text{град)} = 59,8 \text{ кал/(моль} \times \text{град)}; C_p^{\circ}(CH_5) = C_p^{\circ}(C_2H_6) - 1,5 \text{ кал/(моль} \cdot \text{град)} = 11,2 \text{ кал/(моль} \cdot \text{град)}.$ Отметим, что предположение об отсутствии барьера в CH_5 было сделано на том основании, что внутреннее вращение в этом радикале возможно вокруг оси шестого порядка, а опыт показывает, что при вращении такого рода потенциальными барьера-ми можно пренебречь. Колебательные поправки сделаны на основании табл. V. 13, а значения S° и C_p° заимство-ваны из табл. V. 17 и V. 15 соответственно. Поправки к S° и C_p° , зависящие от барьеров заторможенного враще-ния, взяты из табл. V. 20 и V. 16.

Большинство приведенных в табл. V. 12 значений C_p° и S° для радикалов получены вышеописанным спосо-бом. Тот же прием применим и для случая бирадикалов, данные для которых будут использованы в гл. III. От-метим, что полученное только что значение $S_{300}^{\circ}(CH_5)$ за-метно выше величины, оцененной на основе структурной аналологии.

II. 13. КОЛЕБАТЕЛЬНЫЕ ВКЛАДЫ В ЭНТРОПИЮ

Колебательные вклады в энтропию легко вычислить с помощью формулы статистической термодинамики для простого гармонического осциллятора с частотой $\tilde{\nu}$ (см^{-1}):

$$\frac{S^{\circ}}{R} = \ln Q_v + \frac{\partial \ln Q_v}{\partial \ln T}, \quad (\text{II. 20})$$

где Q_v — колебательная сумма по состояниям, при-чём

$$Q_v = (1 - e^{-x})^{-1}; \quad x = ch \frac{\tilde{\nu}}{kT}. \quad (\text{II. 21})$$

После подстановки

$$\frac{S^{\circ}}{R} = -\ln(1 - e^{-x}) + \frac{x}{e^x - 1}. \quad (\text{II. 22})$$

Значения S°/R приведены в зависимости от x на рис. II. 4, а также представлены в табл. V. 17 для различ-

ных частот и температур. При $x \leq 1$

$$Q_v = \frac{1}{x} \left(1 + \frac{x}{2} + \frac{x^2}{12} + \right) \approx \frac{1}{2} + \frac{1}{x}, \quad (\text{II. 23})$$

$$\begin{aligned} \frac{S^\circ}{R} &= -\ln \left[x \left(1 - \frac{x}{2} \right) \right] + \left(1 + \frac{x}{2} + \frac{x^2}{6} + \right)^{-1} = \\ &= 1 - \ln x + \frac{x}{2} + \frac{5x^2}{24} + \frac{x^3}{24} \approx 1 - \ln x + \frac{x}{2}. \quad (\text{II. 24}) \end{aligned}$$

Даже при $x = 1$ ошибка приближенной формулы (II. 23) составляет менее 5%, а формулы (II. 24) — менее 0,4 кал/(моль·град).

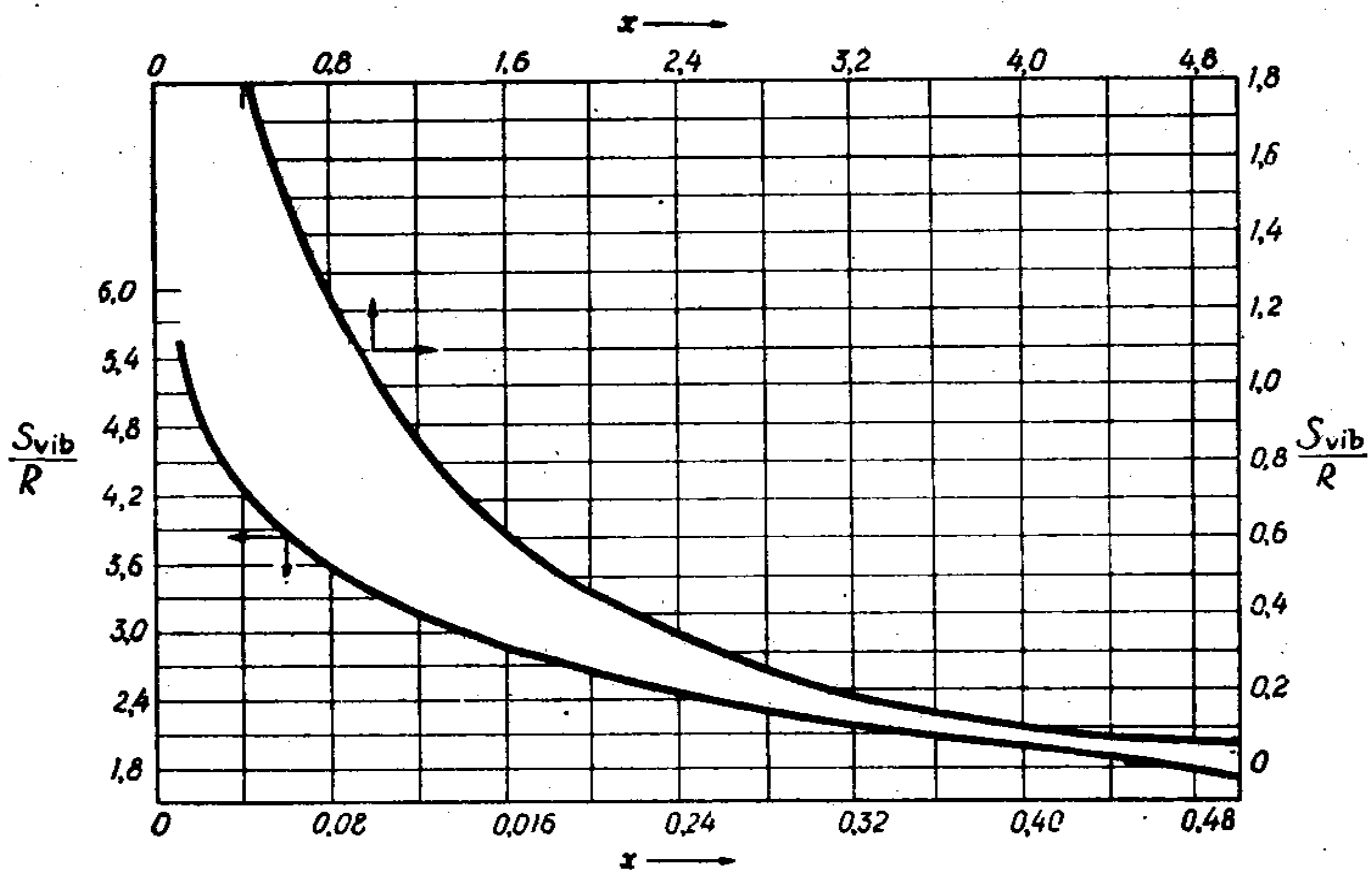


Рис. II.4.

Совместное использование данных из табл. V. 17 и V. 13 позволяет с помощью интерполяций легко определять колебательные энтропии молекул и радикалов в интервале температур 300—1500° К.

ПРИМЕР

Вычислить абсолютную колебательную энтропию CH_3Br при 750° К. Пятиатомная молекула имеет $15 - 6 = 9$ внутренних колебаний, из которых четыре валентных и пять деформационных. Их

частоты, взятые из табл. V.13, суммированы в табл. II.7. В третьем столбце этой таблицы приведены вклады в колебательную энтропию, согласно табл. V.17. Более точное значение колебательной энтропии, найденное на основании известных частот, составляет 5,3 кал/(моль·град).

Таблица II.7

Колебательные частоты и энтропия CH_3Br

	Частота, см^{-1}	S_v° (750° К)
Три валентных колебания С—Н	3100	0,2
Одно валентное колебание С—Br	560	2,0
Два деформационных колебания Н—С—Н	1450	0,8
Три деформационных колебания Н—С—Br	1150	2,4
Суммарное значение S_v°		5,4 кал/(моль·град)

Если имеются внутренние вращения, с помощью формулы (II.17) следует подсчитать Q , сумму по состояниям свободного ротора, а затем, как описано в разд. II.9, найти величину барьера вращения. Далее по табл. V.18 легко найти энтропию свободных роторов. Для отыскания поправок следует воспользоваться табл. V.19 и V.20.

ПРИМЕР

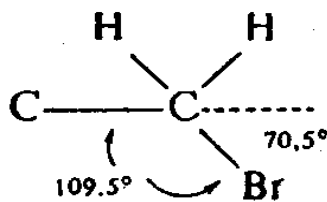
Определить вклад в энтропию, обусловленный заторможенным вращением в молекуле C_2H_6 при 800° К. Из табл. V.18 следует, что энтропия свободного вращения CH_3 по отношению к тяжелой группе составляет при 800° К 6,8 кал/(моль·град). Однако для C_2H_6 приведенный момент инерции I_r составляет половину этой величины, и, так как $S_f^\circ \sim \frac{1}{2} R \ln I_r$, появляется поправка, равная $-\frac{1}{2} R \ln 2 = -0,7$ кал/(моль·град), откуда получаем 6,1 кал/(моль·град). Потенциальный барьер V равен 3,0 ккал/моль, т. е. $V/RT = 1,8$. На основании табл. V.18 функция распределения Q_f при 800° К будет равна

$$Q_f(800) = \frac{1}{\sigma} \frac{Q'_f(600^\circ \text{К})}{(2)^{\frac{1}{2}}} \cdot \left(\frac{800}{600}\right)^{\frac{1}{2}} = \frac{1}{3} \cdot \frac{15,6}{1,41} \cdot 1,16 = 4,2.$$

Фактор $(2)^{1/2}$ учитывает приведенный момент инерции. С помощью табл. V.19 найдем поправку $S_f^\circ = -0,3 \text{ кал}/(\text{моль} \cdot \text{град})$ и получим окончательный результат $5,8 \text{ кал}/(\text{моль} \cdot \text{град})$. Это значение не включает поправки на симметрию. После ее внесения получим $3,6 \text{ кал}/(\text{моль} \cdot \text{град})$.

ПРИМЕР

Определить энтропию заторможенного вращения (S_{hr}°) 1,2-дibромэтана при 500° К . Для этой молекулы возможны две различные вращательные конфигурации (гош и транс), которым соответствуют разные моменты инерции и энергетические барьеры. Пренебрегая этими различиями, а также тем, что группы $-\text{CH}_2\text{Br}$ расположены несимметрично относительно оси $\text{C}-\text{C}$, вычислим приведенный момент инерции. В первом приближении можно не учитывать вклада двух легких атомов H по сравнению с тяжелым атомом брома. Для строения



имеем

$$I(\text{CH}_2\text{Br}) \approx m_{\text{Br}} r^2_{\text{C}-\text{Br}} \sin^2(70.5^\circ) = 81 \cdot (1.9)^2 \cdot 0.95 = 290 \text{ (ат. ед.)} \cdot \text{\AA}^2,$$

$$I_r = \frac{1}{2} I(\text{CH}_2\text{Br}) = 145.$$

Так как $\sigma = 1$, по формуле (II.17) находим, что при 500° К $Q_f = 92$. На основании данных табл. V.18 $S_f^\circ = 9,8 \text{ кал}/(\text{моль} \cdot \text{град})$. В качестве величины барьера можно принять $4,0 \text{ ккал}/\text{моль}$, добавляя $0,5 \text{ ккал}/\text{моль}$ на каждую тяжелую группу CH_2Br , откуда $V/RT = 4,0$. Согласно табл. V.19, поправка составит $1,1 \text{ кал}/(\text{моль} \cdot \text{град})$, и окончательно $S_{hr}^\circ (500^\circ \text{ К}) = 8,7 \text{ кал}/(\text{моль} \cdot \text{град})$.

II. 14. ЭНЕРГИЯ НАПРЯЖЕНИЯ И ЭНЕРГИЯ РЕЗОНАНСА

Термин «энергия напряжения» часто употребляют, говоря о сильно разветвленных или циклических соединениях. Такое понятие имеет смысл только при сравнении с некоторым состоянием, которое не имеет напряжений. Так как для неразветвленных углеводородов правила аддитивности выполняются очень хорошо, их можно принять в качестве стандартных соединений, в которых отсутствуют напряжения. Исходя из этого можно определить энергию напряжения E_s , как разницу

между наблюдаемым значением ΔH_f° и значением, которое можно определить на основании правила аддитивности, используя при этом величины групповых вкладов, полученные для ненапряженных соединений. Так, для алициклических углеводородов $(\text{CH}_2)_m$ E_s определяется соотношением

$$E_s[(\text{CH}_2)_m] = \Delta H_f^\circ[(\text{CH}_2)_m] - m \Delta H_f^\circ[\text{C}-(\text{C})_2(\text{H})_2]. \quad (\text{II. 25})$$

Таким образом можно рассчитать напряжения циклических олефинов, ароматических соединений, гетероциклов и полициклических углеводородов. В табл. II. 8 приведены некоторые результаты таких расчетов.

Таблица II. 8

Энергии напряжения некоторых циклов ^{a)}

Соединение	ΔH_f° (набл.), ккал/моль	ΔH_f° (расчет), ккал/моль	E_s , ккал/моль
Циклопропан	12,7	-14,9	27,6
Окись этилена	-12,5	-40,1	27,6
Цикlopентан	-18,5	-24,8	6,3
Цикlopентен	+7,9	+2,5	5,4
Цикlopентадиен-1, 3	32,0	26,0 ^{b)} (29,6)	6,0 (2,4)
Циклогексан	-29,5	-29,7	0,2
Бицикло-[2, 2, 1]-гептан	$-8,0 \pm 3$	-27,7	$20,0 \pm 3$
Бензол	19,8	42,3 ^{b)} (52,8)	-22,5 (-33,0)

^{a)} Следует отметить, что напряжение циклов учитывается поправками на негрупповые взаимодействия в табл. V. 1.

^{b)} Эти значения выведены из групповых вкладов, при определении которых в основу взят бутадиен. Однако бутадиен обладает энергией сопряжения, равной 3,6 ккал/моль (по отношению к бутену-1). Значения в скобках получены с учетом этого сопряжения. Они соответствуют транс-изомерам олефинов.

Интересно отметить, что энергия напряжения бензола по отношению к бутену-1 отрицательна и равна -33,0 ккал/моль. Это очень близко к значению энергии стабилизации или резонанса бензола, равной 36,0 ккал/моль, которую можно вычислить, исходя из теплоты гидрирования циклогексена. Если учесть энергию резонанса, то энергия напряжения бензола

окажется равной 3,0 ккал/моль. Однако при более аккуратном анализе нетрудно обнаружить, что изолированное рассмотрение энергии напряжения и резонанса в бензоле лишено смысла.

Можно говорить об энергии резонанса, энергии стабилизации или, в более общем случае, энергии взаимодействия, определяемой как отклонение наблюдаемой величины ΔH_f° от значения, вычисляемого на основе аддитивности свойств групп, энергия собственного взаимодействия которых произвольно принята равной нулю. Поскольку речь идет о потенциальной энергии, все упомянутые величины имеют смысл только при сравнении с некоторым произвольным нулевым уровнем.

И в этом случае наблюдаемая отличная выполнимость правил аддитивности для неразветвленных парафинов создает основу для измерения энергий взаимодействия. В качестве простого примера рассмотрим бутадиен $\text{CH}_2=\text{CH}-\text{CH}=\text{CH}_2$, состоящий из четырех групп: $2[\text{C}_d-(\text{H})_2] + 2[\text{C}_d-(\text{C}_d)(\text{H})]$. Для группы $\text{C}_d-(\text{C}_d)(\text{H})$ из таблиц можно определить величину ΔH_f° , она равна 7,0 ккал/моль. Для группы же $\text{C}_d-(\text{C})(\text{H})$ $\Delta H_f^\circ = 8,8$ ккал/моль. Удвоенная разность между этими значениями ΔH_f° , равная 3,6 ккал/моль, представляет собой различие во взаимодействии двойной связи с ближайшей насыщенной группой или с другой двойной связью. Часто эту величину называют энергией резонанса двух сопряженных двойных связей. Из чисто практических соображений мы предпочитаем называть ее энергией взаимодействия двойной связи.

Если сравнить наши определения энергий напряжения и взаимодействия, то легко обнаружить, что их нельзя рассматривать по отдельности. Различие между наблюдаемой и вычисляемой на основе правил аддитивности величиной ΔH_f° обусловлено одновременно обоими эффектами. Различить эти величины можно было бы лишь в том случае, если бы имелся какой-нибудь дополнительный независимый способ их определения.

Если сравнивать бензол с гипотетическим шестичленным циклом с чередующимися одинарными и двойными

связями, то энергия стабилизации бензола окажется равной 33,0 ккал/моль. Эта величина получена путем сравнения с несопряженным транс-олефином. Если учесть, что гипотетическая молекула является комбинацией трех цис-олефинов и соответственно добавить 3·1 ккал/моль, то можно прийти к часто приводимой величине 36 ккал/моль. Рассматривая ее как энергию стабилизации, без оговорок считают энергию напряжения равной нулю, хотя для этого нет оснований, поскольку энергию напряжения независимо определить нельзя.

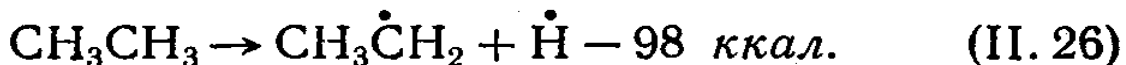
Если в случае бензола мы относили все наблюдаемое различие в ΔH_f° за счет резонанса, то в случае циклопентана, для которого, как нам кажется, нет оснований ожидать «резонансных» взаимодействий, все различие в ΔH_f° мы относим за счет напряжения.

Данное здесь определение энергий напряжения и резонанса (взаимодействия) является источником еще одной трудности. Из табличных данных следует, что обычно на каждую гош-конфигурацию большой группы приходится энергия напряжения около 0,8 ккал/моль. Поэтому можно ожидать, что для циклогексана, имеющего конфигурацию «кресла», полная энэргия напряжения составит 4,8 ккал/моль. Чтобы согласовать с этой величиной полученное ранее неисправленное значение энергии напряжения, равное 0,2 ккал/моль (см. табл. II.8), приходится предположить наличие компенсирующего взаимодействия с энергией 4,6 ккал/моль. Это, однако, является артефактом, связанным с тем, что на группу CH_2 в нормальном парафине приходится значительно большая теплоемкость, чем на ту же группу в циклическом углеводороде. Если определять с помощью полных таблиц C_p для «ненапряженного» циклогексана, мы получим значение 32,7 кал/(моль·град), что существенно отличается от наблюдаленного значения 22 кал/(моль·град). Такое различие в C_{p298}° обусловлено избытком тепловой энергии группы CH_2 нормального углеводорода над энергией группы CH_3 шестичленного цикла. Избыток этот немного превышает 2 ккал/моль.

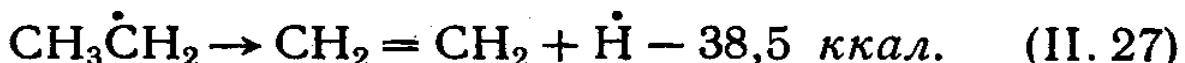
Чтобы сравнить энергию напряжения и взаимодействия, следовало бы сопоставить ΔH_f° при 0° К. Вычитая далее энергию нулевых уровней, мы смогли бы сравнить собственно потенциальную или «химическую» энергию обоих состояний. Такие сравнения не всегда возможны, так как, чтобы их провести, необходимо знать все колебательные частоты и вращательные барьеры обоих состояний.

II. 15. ЭНЕРГИЯ π -СВЯЗЕЙ

При рассмотрении распада радикалов следует определить энергию, связанную с образованием π -связей или кратных связей. На простейшем примере C_2H_6 можно обнаружить, что в процессе последовательного отрыва двух атомов Н от молекулы C_2H_6 с образованием C_2H_4 энергии диссоциации связей не равны *. Энергия диссоциации первой связи, равная 98 ккал/моль, соответствует энталпии реакции, протекающей при 298° К по схеме



Энергия диссоциации второй связи, равная 38,5 ккал/моль, соответствует ΔH_f° реакции **



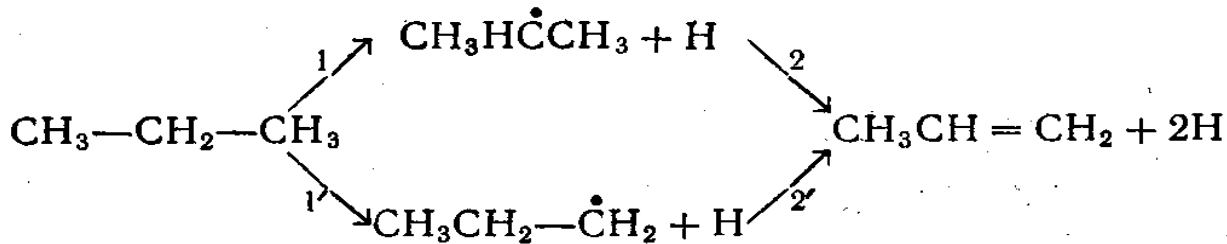
При выполнении правил аддитивности групповых свойств энергии диссоциации обеих связей должны совпадать. Объяснить факт несовпадения этих энергий можно тем, что удаление второго атома Н сопровождается образованием двойной связи. Удобно определить E_π° (прочность кратной или π -связи) как разность энергий отрыва двух атомов Н от молекулы этана

$$E_\pi^\circ = DH^\circ(C_2H_5 - H) - DH^\circ(C_2H_4 - H) = 59,5 \text{ ккал.} \quad (II. 28)$$

* Мы используем обычное определение энергии диссоциации связи DH° , которая равна стандартному изменению энталпии в реакции разрыва данной связи.

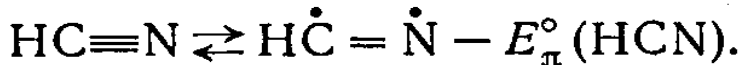
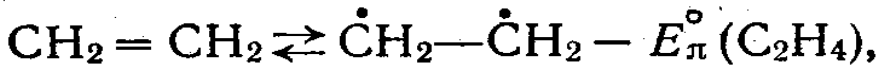
** Энергия диссоциации связи превышает теплоту реакции на энергию активации обратной реакции. Для реакции (II. 27) это различие составляет 1—2 ккал/моль. — Прим. перев.

Для несимметрических соединений, например для пропилена, энергию связи можем определить как различие прочности некоторой связи С—Н в молекуле и в радикале, образованном при разрыве соседней связи. Это можно пояснить следующим образом. Рассмотрим цикл



Согласно закону Гесса, $DH_1 + DH_2 = DH'_1 + DH'_2$, поэтому $E_{\pi}^{\circ}(\text{C}_3\text{H}_6) = DH_1 - DH'_2 = DH'_1 - DH_2$.

E_{π}° — это энергия, необходимая для «разрыва» кратной связи в алкене или алкине с образованием соответствующего бирадикала. Нет никаких оснований предполагать, что эти бирадикалы являются метастабильными или наблюдаемыми частицами или же соответствуют известным спектроскопическим состояниям. Эти бирадикалы не характеризуются минимумом потенциальной энергии, который мог бы служить критерием стабильности. Поэтому их лучше называть «гипотетическими» бирадикалами в том же смысле, в каком бутадиен «без сопряжения», свойства которого можно вывести из свойств бутена-1, является гипотетической, а не реально существующей молекулой. Условно энергии π -связей являются теплотами следующих процессов:



Можно ожидать, что для олефинов энергии π -связей будут соответствовать минимальным энергиям активации реакций цис-транс-изомеризации. В тех немногочисленных случаях, для которых имеются данные, это как будто бы подтверждается.

Следует подчеркнуть, что энергия, необходимая для распада молекулы $\text{CH}_2=\text{CH}_2$ на два радикала $\overset{\cdot}{\text{CH}}_2$,

точно равна сумме $E_{\pi}^{\circ}(C_2H_4) + DH^{\circ}(CH_2 - CH_2)$. Независимого метода определения $DH^{\circ}(CH_2 - CH_2)$ не существует. Эту величину можно рассчитать по известному значению $\Delta H_f^{\circ}(CH_2)$. Приняв $\Delta H_f^{\circ}(CH_2) = 89$ ккал/моль и $\Delta H_f^{\circ}(C_2H_4) = 12,5$ ккал/моль, $DH^{\circ}(CH_2 = CH_2) = 165,5$ ккал/моль и, наконец, $E_{\pi}^{\circ}(C_2H_4) = 59,5$ ккал/моль, получим $DH^{\circ}(CH_2 - CH_2) = 106$ ккал/моль. Это несколько выше энергии диссоциации $DH^{\circ}(CH_3 - CH_3) = 88$ ккал/моль, но именно такая величина характеризует прочность связи C—C, между двумя атомами углерода в состоянии гибридизации sp^2 . Для сравнения энергия диссоциации бутадиена-1,3 $DH^{\circ}(C_2H_3 - C_2H_3) = 103$ ккал/моль, дифенила $DH^{\circ}(C_6H_5 - C_6H_5) = 116$ ккал/моль, в то время как для этильного радикала $[C(sp^2) - C(sp^3)] DH^{\circ}(CH_2 - CH_3) = 97$ ккал/моль.

В заключение нужно отметить, что основное состояние бирадикала $CH_2 - CH_2$ должно быть плоским по аналогии с плоским строением бутадиена, акролеина, биацетила, глиоксала и других соединений, в которых атомы C(sp^2) также связаны одинарной связью. Согласно оценке, основанной на энергии стабилизации бутадиена, относительный поворот двух групп CH₂ на 90° требует энергии 3,6 ккал/моль.

II. 16. ЭНТРОПИИ ЦИКЛИЧЕСКИХ СОЕДИНЕНИЙ

Для циклических соединений в литературе часто приводятся значения энталпий, данные же об энтропиях этих соединений довольно скучны. Это побуждает нас определять энтропии и молярные теплоемкости многих циклических соединений, используя частоты колебаний или с помощью модельных соединений. В особенности это относится к полициклическим соединениям, для которых значения C_p° и S° почти полностью отсутствуют.

Сравним сначала некоторые простые циклические системы с соответствующими нециклическими соединениями. В табл. II. 9 для таких соединений приведены

Таблица II.9

Сравнение энтропий некоторых циклических и алифатических соединений

Цикл	(σ)	S_{int}° a)	Алифати-ческое соединение	(σ)	S_{int}° a)	$\Delta S_{int/rot}^{\circ}$ б)	Оста-точная энтропия цикла
C_2H_4 $CH_3CH=CH_2$ транс-Бутен-2	(4)	55,3	C_2H_6	(18)	60,7	5,4	
	(3)	66,1	C_3H_8	(18)	70,3	4,2	
	(18)	76,6	$n-C_4H_{10}$	(18)	79,7	3,0	
C_3H_6	(6)	60,4	C_3H_8	(18)	70,3	4,9	0
$\begin{array}{c} CH_2CH_2O \end{array}$	(2)	59,5	C_2H_5OH	(3)	69,7	5,1	
			CH_3OCH_3	(18)	69,5	5,0	
$\begin{array}{c} CH_2CH_2NH \end{array}$	(1)		$C_2H_5NH_2$ $(CH_3)_2NH$	(3) (9)	(69,9) 69,8		
$\begin{array}{c} CH_2CH_2S \end{array}$	(2)	62,5	$(CH_3)_2S$	(18)	74,1	5,8	
			C_2H_5SH	(3)	73,0	5,3	
C_4H_8	(8)	67,6	$n-C_4H_{10}$	(18)	79,7	4,0	2,7
C_5H_{10}	(10)	74,6	$n-C_5H_{12}$	(18)	89,1	3,6	5,2
C_6H_{12}	(6)	74,9	$n-C_6H_{14}$	(18)	98,5	4,7	1,0
C_7H_{14}	(14)	81,8	$n-C_7H_{16}$	(18)	107,9	4,4	3,0
C_8H_{16}	(16)	91,9	$n-C_8H_{18}$	(18)	117,3	3,6	9,1

a) $S_{int}^{\circ} = S^{\circ} + R \ln \sigma$ [кал/(моль·град)].б) $\Delta S_{int/rot}^{\circ} = [S_{int}^{\circ} (\text{алиф.}) - S_{int}^{\circ} (\text{цикл.})] / (n - 1)$, где n — число атомов, образующих цикл.в) Определено по отношению к циклопропену как $(n - 1) [4,9 - \Delta S_{int/rot}^{\circ}]$.

значения характеристических энтропий S_{int}° [причем $S_{int}^{\circ} = S_{obs}^{\circ} + R \ln(\sigma/n)$]. В предпоследнем столбце таблицы приведены отношения разности энтропий соответствующих соединений и число заторможенных вращений нециклического соединения, которые «замораживаются» при образовании цикла. Это уменьшение энтропии составляет $4,7 \pm 0,3$ кал/(моль·град) для всех циклов, кроме C_4 , C_5 и C_8 , для которых он меньше. Это

согласуется с тем фактом, что такие циклы имеют необычно низкую частоту внеплоскостной деформации цикла (rocking), которую называют псевдовращением. Эта мода обусловливает повышенную энтропию подобного рода систем.

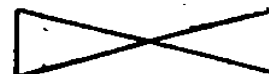
Для сравнения в таблицу включены «двуухленные циклы», т. е. олефины. У них обнаруживается быстрое изменение декремента энтропии при переходе от этилена к транс-бутену-2. Оно связано с резким снижением частоты крутильного колебания при переходе от C_2H_4 к C_4H_8 , столь значительным, что частота эта достигает величины, характерной для заторможенного вращения. Так, приведенная масса крутильного колебания тетраметилэтилена оказывается столь велика, что частота этого колебания двойной связи составляет 200 см^{-1} , что при 300° K соответствует энтропии $2,2 \text{ кал}/(\text{моль} \cdot \text{град})$.

Частоты крутильных колебаний некоторых замещенных олефинов приведены в табл. V. 21.

Используя декременты энтропии и принимая в качестве исходных значений энтропии для нециклических соединений, можно определить энтропии циклических соединений.

ПРИМЕР

Определить энтропию спиропентана

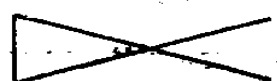


при 300° K .

Выберем в качестве модельного соединения этилциклопропан, энтропию которого определим с помощью правила аддитивности групповых свойств

$$\begin{aligned} S_{\text{int}}^\circ \left(\text{---} \right) &= 3S^\circ [C-(C)_2(H)_2] + S^\circ [C-(C)_3(H)] + \\ &+ S^\circ [C-(C)(H)_3] + S^\circ (\Delta - \text{поправка}) = \\ &= 28,3 - 12,1 + 30,4 + 32,1 = 78,7 \text{ кал}/(\text{моль} \cdot \text{град}). \end{aligned}$$

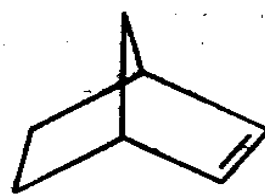
Используя декремент энтропии, характеризующий замыкание трехчленного цикла, исправим полученное значение на $-4,9 \cdot 2 = -9,8 \text{ кал}/(\text{моль} \cdot \text{град})$ и получим $68,9 \text{ кал}/(\text{моль} \cdot \text{град})$. После внесения поправки на симметрию ($\sigma = 4$) вычисленное значение энтропии составит $66,1 \text{ кал}/(\text{моль} \cdot \text{град})$, в то время как найденное экспериментально значение равно $67,5 \text{ кал}/(\text{моль} \cdot \text{град})$. Если принять в качестве модельного соединения углеводород, имеющий структуру



, получим $64,1 \text{ кал}/(\text{моль} \cdot \text{град})$.

ПРИМЕР

Определить энтропию (2,1,2)-бициклогептена-1



при 300° К. Сделаем это двумя независимыми способами. В одном будем исходить из этилцикlopентена, в другом — из метилциклогексена.

Рассчитаем энтропию этилцикlopентена



$$\begin{aligned}
 S_{\text{int}}^{\circ} = & S^{\circ} [\text{C}-(\text{C})(\text{H})_3] + 2S^{\circ} [\text{C}-(\text{C})_2(\text{H})_2] + \\
 & + S^{\circ} [\text{C}-(\text{C}_d)(\text{C})_2(\text{H})] + S^{\circ} [\text{C}-(\text{C}_d)(\text{C})(\text{H})_2] + \\
 & + 2S^{\circ} [\text{C}_d-(\text{C})(\text{H})] + \text{Циклическая поправка} = \\
 = & 30,4 + 18,8 - 12,3 + 9,8 + 16,0 + 25,6 = 88,3 \text{ кал/(моль} \cdot \text{град)}
 \end{aligned}$$

При замыкании нового цикла исчезают два вращения, характерные для «жесткого», недеформируемого цикла C_5 . Вычитая $2 \cdot 4,9 \text{ кал/(моль} \cdot \text{град)}$, получим значение энтропии бициклического углеводорода, равное 78,5 кал/(моль · град). Беря за исходное -CH₃, найдем для него энтропию $S_{\text{int}}^{\circ} = 82,8 \text{ кал/(моль} \cdot \text{град)}$. Отметим при этом, что метилциклогексен содержит точно такие же группы, что и изомерный цикл C_6 , и отличается только на циклическую поправку. Замыкание второго цикла через мостиковую метиленовую группу приводит к потере одного вращения, и искомое значение энтропии составит $82,8 - 4,9 = 77,9 \text{ кал/(моль} \cdot \text{град)}$.

Таблица II. 10

Характеристические энтропии некоторых насыщенных и ненасыщенных циклов

Цикл	(σ)	S_{int}°	Цикл	(σ)	S_{int}°	$\Delta S_{\text{int}}^{\circ}$
C_3H_6	(6)	60,4	C_3H_4	(2)	59,3	-1,1
C_4H_8	(8)	67,6	C_4H_6	(2)	64,4	-3,2
C_5H_{10}	(10)	74,6	C_5H_8	(2)	69,2	-5,4
C_6H_{12}	(6)	74,9	C_6H_{10}	(2)	74,3	-0,6
C_6H_{10}	(2)	74,3	Бензол ^{a)}	(12)	69,3	-5,0

^{a)} В данном случае отщепляется $2H_2$.

Некоторые дополнительные указания на высокие энтропии циклов C_4 и C_5 можно получить, сравнивая изменения S_{int}° при введении в цикл двойной связи. Двойная связь делает циклы более жесткими и устраняет низкочастотное псевдовращение, в результате которого цикл делается менее плоским, изломанным. В табл. II.10 сопоставлены характеристические энтропии некоторых насыщенных и ненасыщенных циклов. Если дегидрирование циклов C_3 и C_6 сопровождается очень малым уменьшением энтропии, то для циклов C_4 и C_5 энтропия при этом процессе заметно уменьшается. При дегидрировании циклогексена до бензола в цикле образуются две новые двойные связи. Вероятно, что более резко энтропия изменяется при появлении в цикле последней, третьей двойной связи. Значения C_p° для поликлинических соединений можно вычислить с помощью тех же приемов, которые применяются при вычислении S° .

ЛИТЕРАТУРА

1. Benson S. W., Buss J. H., J. Chem. Phys., 29, 546 (1958).
2. Benson S. W., et al., Chem. Reviews, 69, 279 (1969).

ГЛАВА III

АРРЕНИУСОВСКИЕ ПАРАМЕТРЫ РЕАКЦИЙ В ГАЗОВОЙ ФАЗЕ

III. 1. ЭЛЕМЕНТАРНЫЕ СТАДИИ ГАЗОВЫХ РЕАКЦИЙ

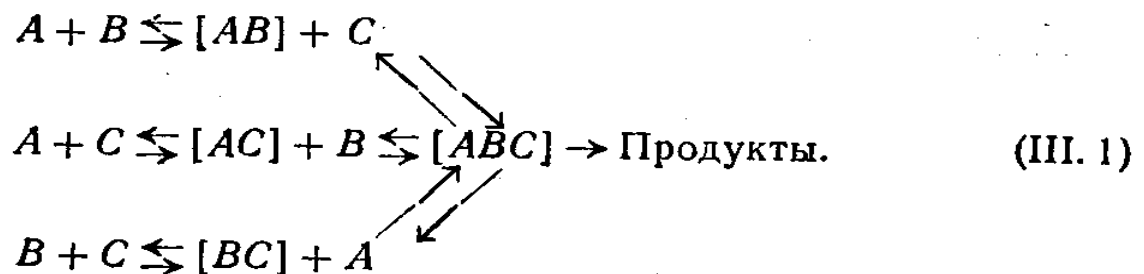
В этой книге мы исходим из представления, что в разреженном газе протекают элементарные процессы только двух типов.

К первому типу относятся превращения энергетически активированных химических частиц, которые в момент превращения не взаимодействуют с другими частицами газовой фазы. Эти процессы называются мономолекулярными. Такими процессами являются внутренние перегруппировки атомов, разрыв связи, вращение группы, которое имеет место, например, при цис-трансизомеризации, или в простейшем случае внутримолекулярное перераспределение энергии.

Процессы второго типа протекают при столкновении двух частиц и называются бимолекулярными. Такое столкновение приводит к образованию комплекса, который может претерпевать превращения в последующем мономолекулярном процессе. Таким образом, бимолекулярные химические реакции представляют собой сложные процессы, включающие образование комплекса соударения и последующие мономолекулярные процессы его превращения.

Тримолекулярные процессы можно рассматривать как одновременное столкновение трех частиц с образованием тримолекулярного комплекса, однако такое столкновение слишком маловероятно. Поэтому легче представить себе образование тримолекулярного комплекса через две последовательные бимолекулярные стадии. Механизм образования тримолекулярного

комплекса $[ABC]$ может быть представлен в виде следующей схемы:



III. 2. ТЕОРИЯ ПЕРЕХОДНОГО СОСТОЯНИЯ

Мономолекулярная реакция является простейшим и наиболее общим химическим процессом. Однако для ее протекания необходимо, чтобы реагирующие молекулы могли накопить внутреннюю энергию, достаточную для разрыва определенной связи или для перегруппировки атомов. Эту энергию, называемую энергией активации, молекула набирает при последовательных «благоприятных» соударениях с другими молекулами газовой фазы или со стенками сосуда. Гораздо чаще, конечно, происходят соударения, при которых богатые энергией молекулы отдают часть энергии партнерам, имеющим меньший запас энергии.

Если бы удалось наблюдать за богатой энергией многоатомной молекулой в газе, то можно было бы заметить, что в интервале между столкновениями, длительность которого велика по сравнению со временем столкновения, энергия продолжает перераспределяться между разными частями молекулы в результате того, что атомы совершают «не совсем гармонические» колебания. При нормальных условиях в газе между двумя последовательными столкновениями молекулы протекает $10^{-9,3}$ сек. Между тем за это время в молекуле успеет произойти около 10 000 колебаний атомов (при частоте 600 см^{-1} в секунду совершается $600 \cdot 3 \cdot 10^{10} = = 1,8 \cdot 10^{13}$ колебаний). Поэтому можно ожидать, что богатая энергией молекула может принимать множество различных конфигураций. Если некоторые из них соответствуют локализации энергии, достаточной для разрыва связи, для диссоциации или для преодоления вра-

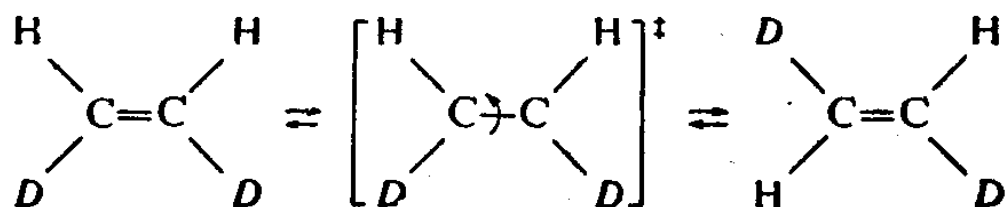
щающейся группой барьера, происходит химическая реакция.

Наилучшую количественную модель реакции дает теория переходного состояния, разработанная Эйрингом и его сотр. [1]. Согласно этой теории, молекулы, обладающие энергией и геометрической конфигурацией, необходимыми для преодоления энергетического барьера, отделяющие реагенты от продуктов реакции, находятся в «виртуальном» равновесии с нормальными, невозбужденными молекулами. Скорость реакции равна произведению концентрации таких молекул, находящихся в переходном (активированном) состоянии, на константу скорости преодоления ими энергетического барьера. Для простого случая мономолекулярной изомеризации $A \rightarrow B$ может быть записана схема



где A^* — молекула A с необходимым для изомеризации запасом энергии и A^\ddagger — та же молекула A^* , но уже имеющая геометрическую конфигурацию, соответствующую вершине потенциального барьера или переходному состоянию. Схему можно проиллюстрировать диаграммой энергия — координата реакции (рис. III. 1).

Нужно отметить, что, поскольку все реакции в принципе обратимы, аналогичную схему можно записать для B , причем соответствующее переходное состояние B^\ddagger должно быть идентично A^\ddagger во всех отношениях, кроме фазы движения атомов или групп, образующих молекулы. Фаза движения атомов в B^\ddagger отвечает переходу от состояния B к состоянию A . Обратное справедливо для A^\ddagger . Для простейшего случая цис-транс-изомеризации, например $\text{CHD}=\text{CHD}$, можно записать



Особенностью переходного состояния этой реакции является то, что в нем плоскости обеих метиленовых

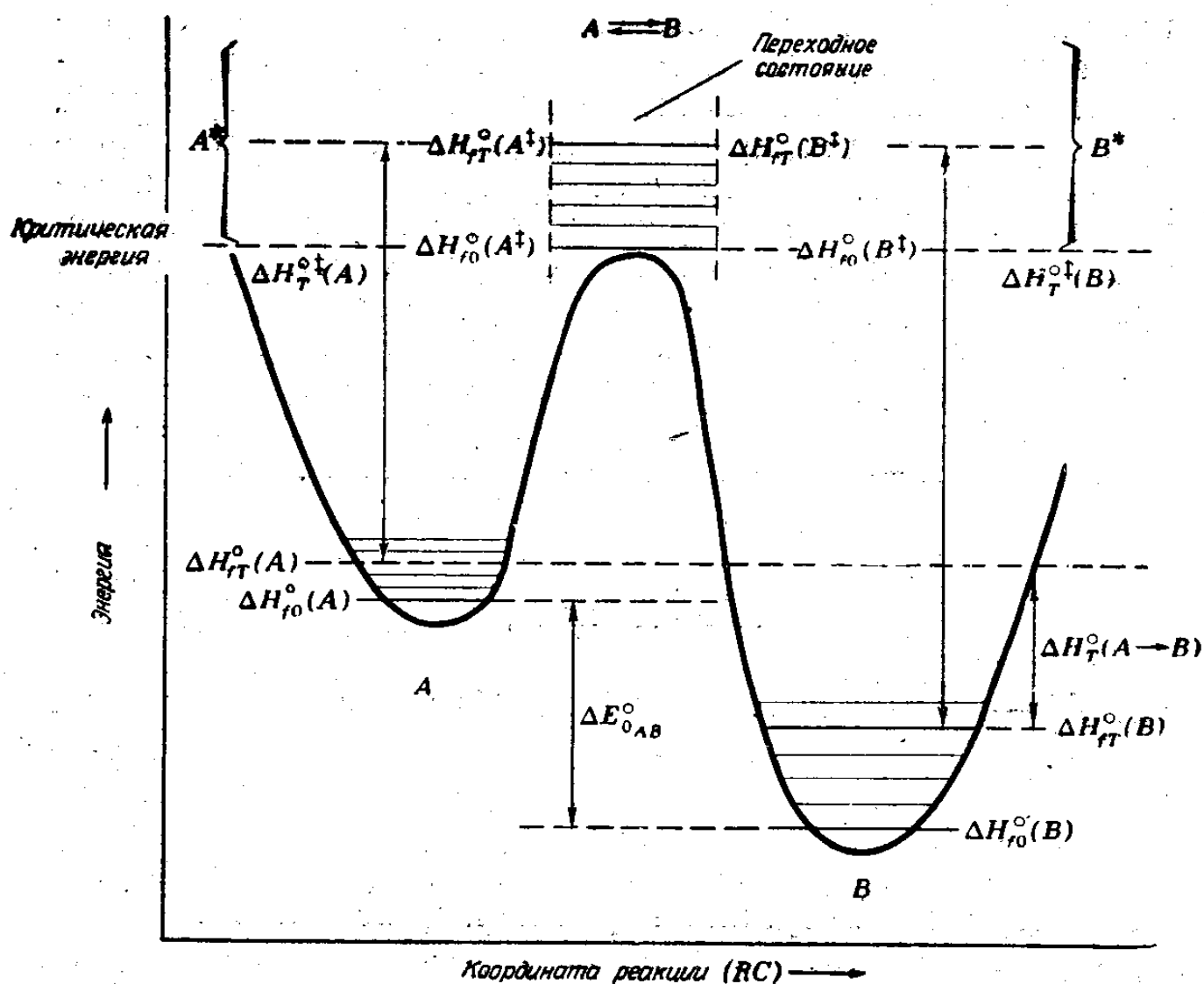


Рис. III.1. Диаграмма энергия — координата реакции для экзотермической мономолекулярной реакции. В качестве координаты реакции может служить любая внутримолекулярная координата или комбинация таких координат, которая однозначно характеризует развитие элементарного акта. Сплошной линией показана потенциальная энергия молекулы при равной нулю кинетической энергии движения вдоль координаты реакции. В случае цис-транс-изомеризации за координату реакции можно принять угол взаимного вращения групп, связанных двойной связью.

групп повернуты друг по отношению к другу на 90° . В этой точке одно направление вращения соответствует переходу цис \rightarrow транс, а противоположное — транс \rightarrow цис.

Если k_A^\ddagger – удельная стехиометрическая константа скорости преодоления барьера, то, пренебрегая обратной реакцией, выражение для скорости изомеризации можно представить в виде

$$\frac{d[B]}{dt} = - \frac{d[A]}{dt} = k_A^\ddagger [A^\ddagger]. \quad (\text{III. 3})$$

При равновесии A^\ddagger с A , зная константу равновесия K_A^\ddagger , можно определить $[A^\ddagger] = K_A^\ddagger [A]$, откуда

$$-\frac{d[A]}{dt} = k_A^\ddagger K_A^\ddagger [A], \quad (\text{III. 4})$$

и, таким образом, константа скорости изомеризации первого порядка определится соотношением

$$k_A = -\frac{d[A]}{[A] dt} = k_A^\ddagger K_A^\ddagger. \quad (\text{III. 5})$$

В системе $A \rightleftharpoons B$, находящейся в равновесии, одинаковое число молекул пересекает барьер в противоположных направлениях. Можно считать, что движению через барьер соответствует нормальная координата частиц в переходных состояниях (A^\ddagger и B^\ddagger). Движение вдоль этой нормальной координаты может быть охарактеризовано частотой v^\ddagger вращения на 360° (т. е. от A^\ddagger к B^\ddagger и обратно к A^\ddagger), причем $k_A^\ddagger = k_B^\ddagger = 2v^\ddagger$. Далее полная концентрация частиц в переходном состоянии равна $[A^\ddagger] + [B^\ddagger]$, и, поскольку $[A^\ddagger]_{\text{eq}} = [B^\ddagger]_{\text{eq}}$, можно сразу записать $[A^\ddagger] = 1/2 K^\ddagger [A]$, где $K^\ddagger = K_A^\ddagger + K_B^\ddagger$ является истинной константой равновесия для всех частиц в переходном состоянии (как A^\ddagger , так и B^\ddagger). Поэтому выражение (III. 5) можно переписать в виде

$$k_A = v^\ddagger K^\ddagger. \quad (\text{III. 6})$$

Существенное предположение, которое делается в теории переходного состояния, заключается в том, что в системах, далеких от равновесия, когда обратной реакцией $B \rightarrow A$ можно пренебречь и $[B^\ddagger] \ll [A^\ddagger]$,

концентрация A^\ddagger принимается такой же, какой бы она была при условии, что $[B^\ddagger] = [A^\ddagger]$. Для выполнения этого условия необходимо, чтобы каждая частица A^* , образующаяся из B^\ddagger , давала только A ; другими словами, чтобы ее роль в образовании A^\ddagger была незначительной. Такое предположение представляется оправданным.

Если теперь исключить из K^\ddagger вклад, соответствующий колебанию, замененному в переходном состоянии движением через барьер, то на основании формул статистической механики получим

$$K^\ddagger = K^{\ddagger'} \left(1 - e^{-hv^\ddagger/kT}\right)^{-1} \quad (\text{III. 7})$$

и, разлагая экспоненту в ряд, при условии, что $hv^\ddagger \ll kT$, получим

$$K^\ddagger \approx K^{\ddagger'} \left(\frac{kT}{hv^\ddagger}\right). \quad (\text{III. 8})$$

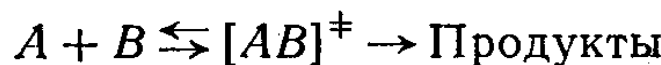
Подставив это выражение в уравнение (III. 6), получим основную формулу теории переходного состояния

$$k_A = \left(\frac{kT}{h}\right) K^{\ddagger'}. \quad (\text{III. 9})$$

Чтобы упростить обозначения, отбросим штрих в константе равновесия, не забывая при этом, что в новом обозначении K^\ddagger не содержит вклада, соответствующего колебанию с частотой v^\ddagger . В выражения (III. 9) и (III. 3) обычно вводят трансмиссионный коэффициент или коэффициент прохождения $\alpha \leq 1$. Он учитывает возможность того, что некоторая доля молекул A^\ddagger , а именно $(1 - \alpha)$, может вернуться в состояние A^* , так и не преодолев барьера и не превратившись в B^* . Об этой величине известно очень мало. Она сложно зависит от формы поверхности потенциальной энергии у вершины барьера. Как правило, коэффициент α принимают равным 1, и для простоты мы не будем учитывать этот коэффициент.

Хотя формула (III. 9) была выведена для изомеризации, она достаточно обща, так как не существует

принципиальных различий между изомеризацией и другими мономолекулярными реакциями. Поскольку можно считать, что при бимолекулярных и тримолекулярных процессах образуются комплексы, находящиеся в равновесии с реагентами, то такое равновесие можно характеризовать константой равновесия K^\ddagger , и, следовательно, выражение (III.9) оказывается применимым для процессов любой сложности, если скорость их протекания лимитируется единственной стадией, а именно стадией преодоления энергетического барьера в переходном состоянии. Для бимолекулярной реакции



константа скорости

$$k_B = \left(\frac{kT}{h} \right) K_{AB}^\ddagger,$$

где K_{AB}^\ddagger — константа равновесия образования $[AB]^\ddagger$ из A и B .

Важность результата, полученного с помощью теории переходного состояния, заключается в том, что любую «равновесную» константу скорости можно представить как произведение универсального частотного фактора kT/h , который при 300°K равен $6,3 \cdot 10^{12} \text{ сек}^{-1}$, и термодинамического фактора K^\ddagger , который зависит только от энергии и строения переходного состояния. Таким образом, скорость реакции не зависит от особенностей процесса столкновения.

Можно ожидать, что для вычисления K^\ddagger окажутся пригодными те же приемы и правила аддитивности, которые используются для определения обычных термохимических величин, поскольку

$$-RT \ln K^\ddagger = \Delta G^{\circ\ddagger} = \Delta H^{\circ\ddagger} - T \Delta S^{\circ\ddagger}. \quad (\text{III.10})$$

III.3. ТЕОРИЯ СТОЛКНОВЕНИЙ ДЛЯ БИМОЛЕКУЛЯРНЫХ РЕАКЦИЙ

Бимолекулярные реакции первоначально интерпретировались на основе теории столкновений, основанной на кинетической теории газов. В теории столкновений предполагается, что скорость бимолекулярной реакции

между частицами A и B в газовой фазе составляет лишь некоторую часть α от скорости, с которой происходят столкновения между A и B . Величину α можно представить в виде произведения двух членов. Первый — экспоненциальный, или больцмановский, член $e^{-E/RT}$ — характеризует долю соударений $A + B$, в которых необходимая для протекания химической реакции энергия активации E_{AB} локализована на определенных степенях свободы внутри молекулы. Второй сомножитель — стерический фактор p — учитывает то обстоятельство, что лишь часть соударений, происходящих с необходимой энергией, при благоприятной взаимной ориентации или геометрии приводит к химической реакции.

Согласно теории столкновений, константа скорости бимолекулярной реакции

$$k_{AB} = p_{AB} Z_{AB} e^{-E_{AB}/RT}, \quad (\text{III. 11})$$

где Z_{AB} — число столкновений между частицами A и B , концентрация которых выражена в стандартных единицах (атм, моль/л или других). Кинетическая теория газов дает следующее выражение для числа столкновений Z_{AB} :

$$Z_{AB} = \pi \sigma_{AB}^2 \left(\frac{8RT}{\pi \mu_{AB}} \right)^{1/2}, \quad (\text{III. 12})$$

где σ_{AB} — диаметр столкновения, т. е. расстояние между центрами масс A и B в момент соударения, а $\mu_{AB} = M_A M_B / (M_A + M_B)$ — приведенная масса сталкивающихся молекул. Если все входящие в формулу (III. 12) величины выражены в единицах СГСЭ, то размерность Z_{AB} будет [$\text{см}^3/(\text{молекула}\cdot\text{сек})$]. Для перехода к чаще употребимым единицам $\text{l}/(\text{моль}\cdot\text{сек})$ полученное значение необходимо умножить на $N/1000 = 6 \cdot 10^{20}$ (N — число Авогадро, равное $6,02 \cdot 10^{23}$). Сравним теперь формулу (III. 12) с выражением теории переходного состояния для бимолекулярной реакции

$$k_{AB} = \frac{kT}{h} K_{AB}^{\pm} = \frac{kT}{h} \frac{Q_{AB}^{\pm}}{Q_A Q_B} e^{-\Delta E_0^{\circ\pm}/RT}, \quad (\text{III. 13})$$

где Q_{AB}^{\ddagger} , Q_A и Q_B — суммы по состояниям для частиц AB^{\ddagger} , A и B , а $\Delta E_0^{\circ\ddagger}$ — энергия образования AB^{\ddagger} из A и B при 0°K . Если представить каждую сумму по состояниям через поступательные, вращательные, колебательные и электронные суммы по состояниям, то можно получить уравнение

$$k_{AB} = \frac{kT}{h} \left(\frac{Q_{AB}^{\ddagger}}{Q_A \cdot Q_B} \right)_{\text{trans}} Q_{\text{rot}, \parallel AB}^{\ddagger} \times \\ \times \left[\frac{Q_{\text{vib}, AB^{\ddagger}} \cdot Q_{\text{rot}, \perp AB^{\ddagger}} \cdot Q_{\text{el}, AB^{\ddagger}}}{Q_{\text{vib}, A} \cdot Q_{\text{vib}, B} \cdot Q_{\text{rot}, A} \cdot Q_{\text{rot}, B} \cdot Q_{\text{el}, A} \cdot Q_{\text{el}, B}} \right] e^{-\Delta E_0^{\circ\ddagger}/RT}. \quad (\text{III. 14})$$

Под $Q_{\text{rot}, \parallel AB}^{\ddagger}$ мы понимаем кажущуюся вращательную сумму по состоянию переходного комплекса AB^{\ddagger} , рассматриваемого как двухатомная молекула, в которой массы M_A и M_B разделены расстоянием r_{AB} . Величина $Q_{\text{rot}, \perp AB}^{\ddagger}$ соответствует второй вращательной степени свободы AB . Точнее, $Q_{\text{rot}, \perp AB}^{\ddagger} = Q_{\text{rot}, AB}^{\ddagger}/Q_{\text{rot}, \parallel AB}^{\ddagger}$, где $Q_{\text{rot}, AB}^{\ddagger}$ — точное значение полной вращательной суммы по состоянию для AB^{\ddagger} . Можно показать (см., например, [2]), что подстановка значений поступательных сумм по состояниям приводит к соотношению

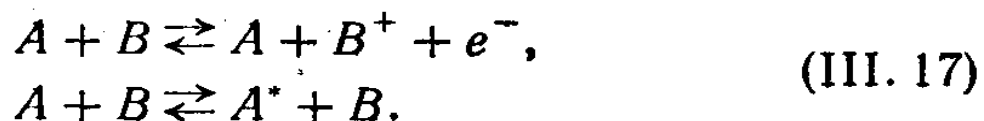
$$Z_{AB} = \left(\frac{kT}{h} \right) \left(\frac{Q_{AB}^{\ddagger}}{Q_A \cdot Q_B} \right)_{\text{trans}} [Q_{\text{rot}, \parallel AB}^{\ddagger}]. \quad (\text{III. 15})$$

Из сравнения формулы (III. 12) теории столкновений с результатом теории переходного состояния (III. 13) можно сделать вывод о возможности структурного анализа стерического фактора

$$p_{AB} = \frac{Q_{\text{vib}, AB^{\ddagger}} \cdot Q_{\text{rot}, \perp AB^{\ddagger}} \cdot Q_{\text{el}, AB^{\ddagger}}}{Q_{\text{vib}, A} \cdot Q_{\text{vib}, B} \cdot Q_{\text{rot}, A} \cdot Q_{\text{rot}, B} \cdot Q_{\text{el}, A} \cdot Q_{\text{el}, B}} e^{-(\Delta E_0^{\circ\ddagger} - E_{AB})/RT}. \quad (\text{III. 16})$$

Теорию столкновений можно рассматривать в качестве нулевого приближения теории переходного состояния. Для простого гипотетического случая, когда A и B — атомы, все члены в уравнении (III. 16) обращаются в единицу и p_{AB} делается равным 1. Это не очень

характерный пример, так как реакции, в которых участвуют два атома, довольно редки. По такому механизму могут протекать ассоциативная ионизация, электронное возбуждение и обратный процесс, т. е. дезактивация



III. 4. СТРУКТУРНЫЙ АНАЛИЗ СТЕРИЧЕСКОГО ФАКТОРА

Если A и B не атомы, а более или менее сложные молекулы или радикалы, знаменатель в выражении (III. 16) будет больше, чем числитель. Причина здесь состоит в том, что при образовании многоатомной частицы AB^+ из многоатомных же частиц A и B 6 внешних вращательных и 6 поступательных степеней свободы A и B заменяются на 3 поступательные, 3 вращательные и 6 внутренних степеней свободы AB^+ . Одна из этих внутренних степеней свободы соответствует, естественно, движению вдоль координаты реакции.

Поступательные суммы по состояниям и две вращательные суммы для AB^+ уже учитываются фактором Z_{AB} (III. 15). Поэтому r_{AB} должен содержать остальные члены, соответствующие 1 вращению AB^+ против 6 вращений A и B и $(3n - 7)$ колебаний в AB^+ против $(3n - 12)$ колебаний в $A + B$.

Отношение электронных сумм по состояниям почти всегда ≤ 1 . Так как колебательные суммы по состояниям обычно лежат в пределах от 1 до 10, а вращательные суммы по состояниям составляют 10—100 на вращательную степень свободы, то r_{AB} по порядку величины будет лежать в пределах от 1 до 10^{-5} в зависимости от сложности A и B и «жесткости» переходного состояния AB^+ . Жесткость эта имеет особое значение, поскольку среди $3n - 7$ внутренних колебаний AB^+ мы находим 1 почти свободное вращение A по отношению к B вокруг оси $A - B$ и до 4 маятниковых колебаний A и B по отношению к оси $A - B$. Если частота их невелика, соответствующие им колебательные суммы по

состояниям можно сократить с вращательными суммами по состояниям A и B в формуле (III. 16), и в результате значение r_{AB} окажется близким к единице. Это, как мы увидим, справедливо для рекомбинации алкильных радикалов, например $2\text{CH}_3 \rightarrow \text{C}_2\text{H}_6$.

Иногда появляются сообщения о том, что для некоторых реакций стерический фактор заметно превышает единицу. Это объясняют некорректностью больцмановского фактора $f_B = e^{-E_{AB}/RT}$ в выражении (III. 12). Если принять во внимание, что энергия активации E_{AB} может распределяться по всем S внутренним степеням свободы комплекса, образующегося при столкновении частиц A и B , то в классическом приближении исправленное значение больцмановского фактора должно иметь вид *

$$f_B = \frac{1}{(S-1)!} \left(\frac{E_{AB}}{kT} \right)^{S-1} e^{-E_{AB}/RT}. \quad (\text{III. 18})$$

Это выражение будет справедливо лишь в том случае, если вероятность химической реакции не зависит от характера распределения. Однако реакция происходит лишь при тех столкновениях, в которых образуются переходные состояния, т. е. в которых энергия активаций локализуется определенным образом на некоторых связях. Все другие столкновения не сопровождаются реакцией [3]. Таким образом, уравнение (III. 18) неприменимо к бимолекулярным реакциям, и мы можем рассматривать стерические факторы, превышающие единицу, как веский довод в пользу некорректности экспериментальных данных, на которых основаны такие значения факторов.

Из этого правила существует два важных исключения, но, как видно из дальнейшего, оба скорее кажущиеся, чем действительные. Первое относится к бимолекулярным процессам передачи энергии



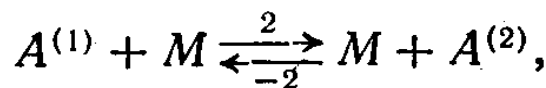
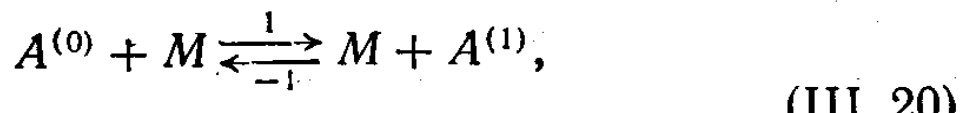
* Для квантовых систем с частотой $v_m = (v_1 \cdot v_2 \cdot v_3 \dots v_s)^{1/s}$, больцмановский фактор можно представить как

$$f_B \approx \frac{1}{(S-1)!} \left(\frac{F_{AB}}{\hbar v_m} \right)^{S-1} e^{-E_{AB}/RT}.$$

Энергия, первоначально распределенная между A и M , в результате столкновения оказывается сконцентрированной на внутренних степенях свободы A^* . В действительности энергия молекулы A , участвующей в таком процессе, лишь немного отличается от энергии A^* ; она накоплена в результате последовательных «благоприятных» столкновений, каждое из которых протекает с «нормальным» или даже низким стерическим фактором.

Однако принято считать, что в суммарном процессе (III. 19) участвует молекула A в основном состоянии. При достаточно высокой энергии E^* , которой обладает A^* , должен существовать значительный фактор вырожденности, отражающий большое число способов, которыми энергию E^* можно разместить по S внутренним степеням свободы A . Легко видеть, что такой фактор должен быть большим даже для случая, когда значение E^* невелико.

Рассмотрим молекулу A , имеющую двенадцать колебательных степеней свободы, причем частота всех колебаний почти одинакова. Если молекуле A передан один колебательный квант, он может оказаться с равной вероятностью на всех двенадцати колебательных степенях свободы. Вырожденность первого колебательно-возбужденного состояния $A^{(1)}$ равна 12. Для процесса возбуждения первого и второго колебательных уровней A можно записать следующий механизм:



$$\frac{d [A^{(2)}]}{dt} = k_2 [M] [A^{(1)}] - k_{-2} [M] [A^{(2)}]. \quad (\text{III. 21})$$

Вырожденность состояния $A^{(2)}$ равна $(S + 1)(S)/2 = 78$, откуда $k_2/k_{-2} = (78/12)e^{-hv/RT}$ и $k_1/k_{-1} = 12e^{-hv/RT}$. Если считать, что $A^{(1)}$ находится в равновесии с $A^{(0)}$ (или вблизи от него) и рассматривать только начальную скорость образования $A^{(2)}$ (т. е. пренебречь процес-

сами дезактивации $A^{(2)}$), то $[A^{(1)}] = 12[A^{(0)}]e^{-E^\circ/RT}$, где $E^\circ = h\nu$, и

$$\frac{d[A^{(2)}]}{dt} = 12k_2[M][A^{(0)}]e^{-E^\circ/RT} = 78k_{-2}[M][A^{(0)}]e^{-2E^\circ/RT}. \quad (\text{III. 22})$$

Из уравнения (III. 22) следует, что при стерическом факторе k_{-2} , равном 0,1, кажущийся стерический фактор суммарного процесса составляет 7,8, т. е. превышает 1. Экстраполяция к более высоким колебательным уровням показывает, что при $E^* \gg h\nu$ статистический фактор может стать очень большим.

Вторым процессом, в котором обнаруживаются большие кажущиеся стерические факторы, является диссоциативная рекомбинация ионов с электронами



Стерические факторы для этих реакций могут достигать величины 10^5 . Это объясняется тем, что при вычислении стерического фактора используется неверная величина числа столкновений. Электроны, будучи в 10^4 раз легче большинства молекул, имеют в 100 раз большие средние тепловые скорости и соответственно в 100 раз большее число столкновений. Все еще остающееся различие в 10^3 раз обусловлено кулоновским взаимодействием иона и электрона. Энергия взаимодействия иона и электрона на расстоянии 100 \AA составляет 3,3 ккал, что значительно больше, чем RT при 25°C (0,6 ккал). Следовательно, для столкновений ионов при низких температурах характерны значительно большие сечения, чем для столкновений нейтральных частиц. Так как число столкновений пропорционально квадрату эффективного сечения, фактор 10^3 находит себе объяснение в необычно большом сечении таких столкновений.

III. 5. КЛАССИФИКАЦИЯ МОНОМОЛЕКУЛЯРНЫХ РЕАКЦИЙ

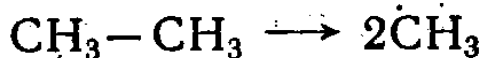
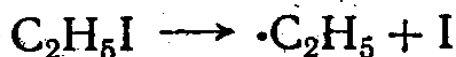
Мономолекулярные реакции можно классифицировать следующим образом:

1. Простой распад (включает разрыв одной связи).
2. Сложный распад (включает разрыв двух и более связей).

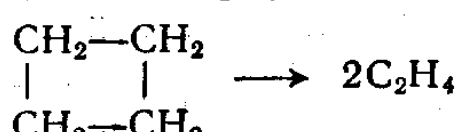
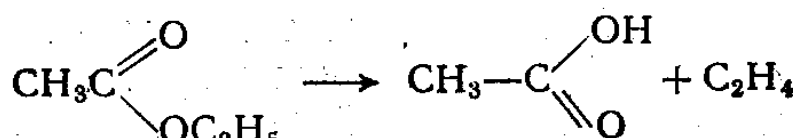
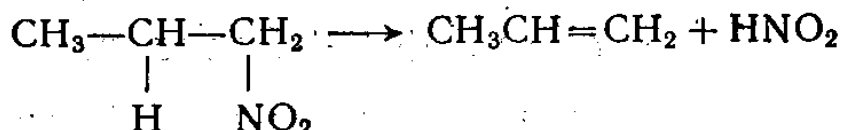
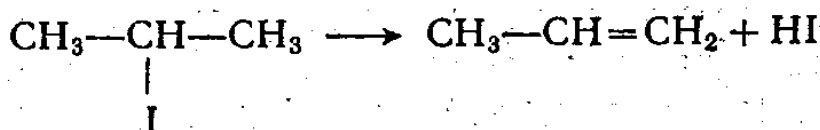
3. Изомеризация (включает только внутренние перегруппировки атомов, как простые, например вращение групп, так и более сложные).

Некоторые примеры различных типов мономолекулярных реакций приведены ниже:

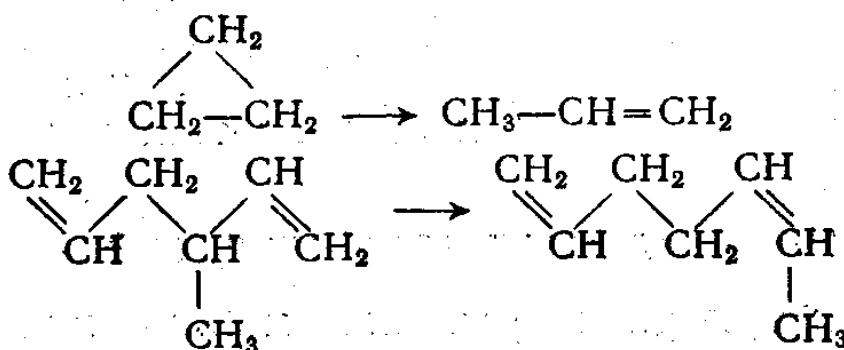
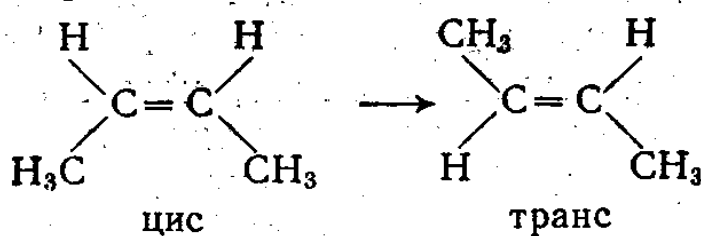
1. Простой распад



2. Сложный распад



3. Изомеризация



Простой распад сводится к единственному элементарному акту разрыва связи. Сложный распад, включающий диссоциацию более чем двух связей, протекает

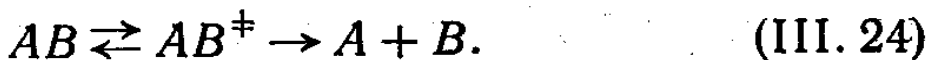
путем ряда последовательных элементарных стадий. Точно так же простая цис-транс-изомеризация протекает через единственную элементарную стадию, в то время как изомеризация, сопровождающаяся разрывом и образованием нескольких связей, включает несколько элементарных актов. Рассмотрим каждый из перечисленных выше типов мономолекулярных реакций.

III.6. ПРОСТОЙ РАСПАД.

ОТЩЕПЛЕНИЕ АТОМА ОТ МОЛЕКУЛЫ

Для простых молекул, содержащих не более пяти атомов, процесс распада лимитируется скоростью накопления внутренней энергии, необходимой для разрыва связи. Поскольку такое накопление происходит при столкновениях, то процесс должен протекать по второму порядку. Это относится к диссоциации двухатомных молекул, например H_2 или I_2 , и трехатомных молекул: O_3 , NO_2 , N_2O , Cl_2O . Четырехатомные молекулы, такие, как F_2O_2 и NO_2Cl , обычно распадаются по второму порядку, хотя порядок может быть и промежуточным между первым и вторым. Так же ведет себя большинство молекул, имеющих от пяти до восьми атомов. Более сложные молекулы обычно распадаются по первому порядку, причем скорость суммарного процесса контролируется разрывом связи. Однако при достаточно высоких температурах разложение всех молекул будет лимитироваться активацией при столкновениях, т. е. протекать по второму порядку.

Теория переходного состояния позволяет дать простую интерпретацию процесса разрыва связи. Рассмотрим мономолекулярный распад AB . Процесс протекает по уравнению



На основании формулы (III.9) константа скорости первого порядка разложения AB

$$k_{AB} = \left(\frac{kT}{h} \right) K_{AB}^+, \quad (III. 25)$$

или, если использовать термодинамическое выражение для константы равновесия,

$$k_{AB} = \frac{kT}{h} e^{\Delta S_{AB}^{\ddagger}/R} e^{-\Delta H_{AB}^{\ddagger}/RT}. \quad (\text{III. 26})$$

Сравнивая это выражение с уравнением Аррениуса, находим

$$A = \frac{ekT_m}{h} e^{\Delta S_{AB}^{\ddagger}/R}; \quad E = \Delta H_{AB}^{\ddagger} + RT_m, \quad (\text{III. 27})$$

где T_m — среднее значение температуры в том интервале, в котором проводился эксперимент.

Следует отметить, что для большинства экспериментов ekT_m/h по порядку величины будет близко к $10^{13,5}$ сек⁻¹, что соответствует $T = 600^\circ\text{K}$. Предэкспонент A будет отличаться от этого значения тем больше, чем сильнее величина ΔS_{AB}^{\ddagger} отличается от нуля. Если, например, переходный комплекс AB^{\ddagger} имеет больший размер и более свободную, или «рыхлую», структуру, чем AB , то $\Delta S_{AB}^{\ddagger} > 0$, и, следовательно, можно ожидать «аномально» высокого значения предэкспонента. Если, наоборот, переходное состояние AB^{\ddagger} более компактное и «жесткое» по сравнению с исходной молекулой AB , можно ожидать, что $\Delta S_{AB}^{\ddagger} < 0$ и предэкспонент A будет иметь «аномально» низкое значение. Эти две возможности отвечают «рыхлому» и «жесткому» строению переходного комплекса.

В случае простых реакций распада, в которых происходит отрыв атома от большой молекулы, можно ожидать, что величина ΔS_{AB}^{\ddagger} будет невелика (если не рассматривать статистического фактора). Так, например, в реакции $\text{C}_2\text{H}_6 \rightarrow \text{C}_2\text{H}_5 + \text{H}$ может разрываться любая из шести эквивалентных связей, и соответственно поправка к ΔS_{AB}^{\ddagger} , учитывающая симметрию, составит * $R \ln 6$.

Величина ΔS_{AB}^{\ddagger} должна зависеть также от изменений вращательных параметров, частот колебаний и

* Нужно отметить, что K^{\ddagger} содержит этот фактор $\sigma_{AB}/\sigma_{AB}^{\ddagger}$ в явном виде. Подробнее об этом см. [4, 5].

электронных состояний. Длина связи $(A - B)^{\ddagger}$ приблизительно в 2,5 раза больше длины связи основного состояния AB , при условии, что зависимость энергии AB от расстояния описывается потенциалами Морзе или Леннарда-Джонса и что взаимодействия внутри групп A и B слабо влияют на взаимодействие между A и B . Удаление атома Н на $2,5 \cdot 1,09 \text{ \AA} = 2,73 \text{ \AA}$ не изменит заметно вращательных постоянных C_2H_6 из-за малой массы атома Н. Нет оснований ожидать заметных изменений в колебаниях и заторможенном вращении $C_2H_5^{\ddagger}$, а также ожидать электронных переходов. Таким образом, для реакции $C_2H_6 \rightarrow C_2H_5 + H$ $\Delta S^{\ddagger} \approx R \ln 6$ и $A_{(300^\circ\text{K})} \approx \approx 10^{14} \text{ сек}^{-1}$.

Следует упомянуть о влиянии еще одного фактора — ослабления деформационных колебаний. Частота их, по-видимому, снижается в переходном состоянии в пять раз по сравнению с их нормальным значением. Для рассматриваемой реакции частотам деформационных колебаний Н—С—С и Н—С—Н можно приписать значения 220 и 290 см^{-1} . При 300° K соответствующий вклад в энтропию составит около 3,5 кал/(моль·град), в результате чего A достигнет значения $10^{14,8} \text{ сек}^{-1}$. Отсюда вытекает, что для обратной реакции предэкспонент будет лежать в пределах $10^{9,3}—10^{10,1} \text{ л/(моль·сек)}$, причем, как показано ниже, более высокое значение получается, если учитывать ослабление деформационных колебаний. Оценка эта основана на суммарном изменении энтропии в процессе диссоциации.

Для легкой молекулы, теряющей тяжелый атом (например, в случае реакции $CH_3I \rightarrow CH_3 + I$), можно ожидать значительного увеличения момента инерции в переходном состоянии $(CH_3...I)^{\ddagger}$ (примерно в 6 раз), а также заметного снижения частот двух деформационных мод колебаний. Здесь отсутствуют поправки, учитывающие симметрию, и нет низкочастотного валентного колебания С—I, которое заменено на поступательное движение комплекса вдоль координаты реакции. Все вклады в ΔS^{\ddagger} приведены в табл. III. 1. С учетом этих вкладов предэкспонент A примет значение $10^{15,2} \text{ сек}^{-1}$ при 600° K . Так как $\Delta S^{\circ} = 28,4 \text{ кал/(моль \times}$

× град), то предэкспонент обратной реакции рекомбинации $\text{CH}_3 + \text{I}$ при 600°K составит около $10^{10,9}$ л/(моль·сек) *.

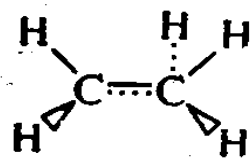
Таблица III.1

Изменение энтропии при пиролизе CH_3I при 600°K ^{a)}
 $\text{CH}_3\text{I} \rightleftharpoons (\text{CH}_3\text{I})^+$

Вклады	ΔS^\ddagger , кал/(моль·град)
Поступательный	0
Вращательный	+ $R \ln 6 = 3,6$
Симметрии	0
Спина	0
Колебательные	Координата реакции
валентное колебание C—I (500 см ⁻¹)	—1,8
2 деформационных колебания H—C—I (1150 см ⁻¹ → 230 см ⁻¹)	+ 5,6
Полное изменение энтропии	+ 7,4

^{a)} Предполагается, что колебания C—H не изменяются.

Картина несколько усложняется, если разрыв связи сопровождается изменениями в строении молекулы. Это, например, относится к реакции $\text{C}_2\text{H}_5 \rightarrow \text{C}_2\text{H}_4 + \text{H}$. При образовании двойной связи исчезает одно свободное вращение, которое было возможно в этильном радикале. Переходному состоянию можно приписать следующее строение:

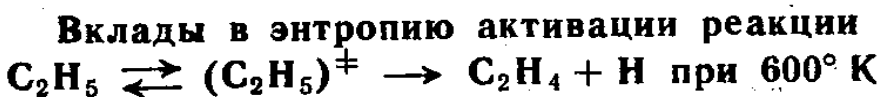


Вклады в ΔS^\ddagger для этой реакции приведены в табл. III.2. Как видно из таблицы, $\Delta S^\ddagger \approx +0,1$, и, таким образом, $A_{(600^\circ\text{K})} = 10^{13,6} \text{ сек}^{-1}$. Используя это значение для

* При этом предполагается, что мультиплетность переходного состояния та же, что и основного.

обратной реакции, можно получить $A = 10^{10,7} \text{ л/(моль} \times \text{сек)}$.

Таблица III.2



Вклады	$\Delta S^\ddagger, \text{ кал/(моль}\cdot\text{град)}$
Поступательный	0
Вращательный	Малы
Симметрии ^{a)}	$R \ln 6 = 3,6$
Спина	0
Колебательные	
валентное колебание С—Н (3100 см^{-1}) → координата реакции	0,0
валентное колебание С—С ($1000 \text{ см}^{-1} \rightarrow 1300 \text{ см}^{-1}$)	-0,4
деформационное колебание Н—С—С ($1150 \text{ см}^{-1} \rightarrow 800 \text{ см}^{-1}$)	+0,6
деформационное колебание Н—С—Н ($1450 \text{ см}^{-1} \rightarrow 1000 \text{ см}^{-1}$)	+0,4
внутреннее вращение CH_2 (от свободного вращения к заторможенному с частотой, равной половине частоты крутых колебаний в этилене, 500 см^{-1})	-4,1
Полное изменение энтропии	+0,1

^{a)} Коэффициент 2 появляется в связи с потерей вращения группы CH_2 , что учтено здесь, а не в члене, характеризующем внутреннее вращение.

Аналогичных закономерностей можно ожидать и для других молекул, для которых могут проявляться эффекты резонанса или сопряжения. Так, при отрыве атома Н от пропилена возникает аллильный радикал, имеющий жесткое строение. При этом почти свободное вращение группы CH_3 в пропилене заменяется на заторможенные крутые колебания группы CH_2 . То же происходит при образовании бензильного радикала из толуола и особенно отчетливо при отрыве вторичного атома Н от бутена-1. Здесь образование «жесткого» метилаллильного радикала $\text{CH}_3-\dot{\text{C}}\text{H}-\text{CH}=\dot{\text{C}}\text{H}_2$ сопровождается «замораживанием» вращения двух тяжелых групп в бутене (этильного и винильного радикалов).

чему соответствует изменение энтропии, при 600°K равное 6 кал/(моль·град). Оно частично компенсируется появлением крутильных колебаний, частоту которых можно принять равной половине частоты аналогичных колебаний в бутене-2, т. е. равной 150 cm^{-1} . Этим колебаниям соответствует изменение энтропии, равное 3,0 кал/(моль·град) при 300°K и 4,0 кал/(моль·град) при 600°K . Этот результат, по-видимому, является весьма общим, и вне зависимости от величины группы при замене заторможенного вращения на заторможенные крутильные колебания вокруг π-связи снижение энтропии должно составлять $3,5 \pm 0,5$ кал/(моль·град) (см. табл. V.20). В бутене-1 дополнительно ослабляются крутильные колебания группы CH_2 . Их частота снижается с ~ 750 до 375 cm^{-1} , что соответствует суммарному приращению энтропии +1,3 кал/(моль·град) при 600°K .

К сожалению, для процессов отщепления атомов от молекул отсутствуют надежные количественные данные, с которыми можно было бы сравнить сделанные выше оценки. Имеющиеся же полукачественные данные хорошо согласуются с ними.

III.7. ПРОСТОЙ РАСПАД НА ДВЕ БОЛЬШИЕ ГРУППЫ

При распаде многоатомной молекулы AB на два многоатомных фрагмента A и B шесть внутренних степеней свободы AB заменяются на три новые поступательные и три новые вращательные степени свободы продуктов распада. К этим внутренним степеням свободы относятся:

одно валентное колебание вдоль связи $A-B$ (т. е. координаты реакции);

одно внутреннее вращение $A-B$;

два маятниковых колебания A по отношению к оси $A-B$;

два маятниковых колебания B по отношению к оси $A-B$.

Распад молекулы AB должен сопровождаться заметным увеличением поступательной энтропии, и, следовательно, для него должны быть характерны повышенные

значения фактора A . Это вызвано главным образом тем, что при увеличении длины связи $A-B$ должны значительно снижаться силовые постоянные, характеризующие четыре маятниковых колебания групп A и B относительно оси $A-B$. Надежные кинетические данные об этих процессах получены лишь за последние десять лет. Для некоторых реакций рассматриваемого типа они приведены в табл. III.3. Неожиданными оказались необыкновенно высокие значения предэкспоненциальных множителей A для большинства реакций.

Значения A лежат преимущественно в пределах $10^{15}-10^{17}$ сек $^{-1}$. Сопоставлять предэкспоненты различных реакций следует с осторожностью, так как они относятся к различным температурам в интервале 330—950° К, а предэкспонент может несколько зависеть от температуры, при которой проводились измерения. Исключение представляет предэкспонент для реакции распада $(\text{CH}_3)_3\text{N}_2\text{H}_2$, равный $10^{13,22}$ сек $^{-1}$, т. е. близкий к стандартному значению 10^{13} сек $^{-1}$. Значение A для этой реакции несколько отличается от других величин, приведенных в табл. III.3, и уже одно это заставляет усомниться в надежности рассматриваемой величины. Далее, на основании приводимого значения A можно подсчитать предэкспонент для обратной реакции рекомбинации радикалов $(\text{CH}_3)_2\text{N}$ и NH_2 . Получаемое значение $2 \cdot 10^7$ л/(моль·сек) неоправданно мало в сравнении с предэкспоненциальными множителями рекомбинации других радикалов. Неожиданно низкое значение имеет также фактор A реакции распада $\text{C}_2\text{H}_5\text{ONO}$, не являющийся, по-видимому, предэкспоненциальным множителем истинной константы скорости*. Значение $A = 10^{16}$ сек $^{-1}$

* Начальными стадиями разложения $\text{C}_2\text{H}_5\text{ONO}$ являются $\text{C}_2\text{H}_5\text{ONO} \xrightleftharpoons[2]{1} \text{C}_2\text{H}_5\dot{\text{O}} + \text{NO}$, $\text{C}_2\text{H}_5\dot{\text{O}} + \text{NO} \rightarrow \text{CH}_3\text{CHO} + \text{HNO}$. Поэтому начальную скорость реакции можно приближенно представить как $-d[\text{C}_2\text{H}_5\text{ONO}]/dt = k_3 K_1 [2][\text{C}_2\text{H}_5\text{ONO}]$, и, таким образом, кажущаяся константа скорости первого порядка равна $k_3 K_{1,2}$, а не k_1 . Если $A_3 = 10^8$ л/(моль·сек), то для $\Delta S_{1,2}^\circ$ можно получить значение 36 кал/(моль·град) при 300° К, что хорошо согласуется с результатом прямого экспериментального определения этой величины, равным 37,6 кал/(моль·град).

Таблица III.3

Аррениусовские параметры простого распада молекулы на два радикала

Лите- ратура к таб- лице	Реакция	$\lg A$ (сек $^{-1}$)	E , ккал/моль	T_m , °К
1	$C_2H_6 \rightarrow 2CH_3$	17,45	91,7	800
2		16,0	86,0	850
3	$C_4H_{10} \rightarrow 2C_2H_5$ a)	17,4	82	400
4	$C_2F_6 \rightarrow 2CF_3$ a)	17,4	88 ± 3	350
5	$N_2O_5 \rightarrow NO_3 + NO_2$	14,8 ± 1	21 ± 2	330
6	$CH_3OOCH_3 \rightarrow 2CH_3O$	15,4	36,1	410
7	$tret\text{-}C_4H_9OO - tret\text{-}C_4H_9 \rightarrow$ $\rightarrow 2 tret\text{-}C_4H_9O$	15,6	37,4	410
8	$(CH_3CO)OO(CH_3CO) \rightarrow$ $\rightarrow 2CH_3CO_2$	14,9	31	330
9	$C_2H_5ONO \rightarrow C_2H_5O + NO$	14,15	37,7	430
10	$C_2H_5ONO_2 \rightarrow C_2H_5O + NO_2$	16,85	41,2	420
11	$CH_3N=NCH_3 \rightarrow CH_3 + NNCH_3$	17,2	55,5	600
12	$CF_3N=NCF_3 \rightarrow CF_3 + NNCF_3$	16,17	55,2	600
13	$C_6H_5-CH_2CH_3 \rightarrow$ $\rightarrow C_6H_5-CH_2 + CH_3$	14,6	70,1	950
14	$C_6H_5-CH_2C_2H_5 \rightarrow$ $\rightarrow C_6H_5-CH_2 + C_2H_5$	14,9	68,6	950
15	$(CH_3)_2NNH_2 \rightarrow (CH_3)_2N + NH_2$	13,22	49,6	850
16	$C(NO_2)_4 \rightarrow .C(NO_2)_3 + NO_2$	17,5	40,9	470

a) Аррениусовские параметры вычислены по данным для обратной реакции.

1. Quinn C. P., Proc. Roy. Soc., **A275**, 190 (1963).
2. Lin M. C., Back M. H., Can. J. Chem., **44**, 505, 2357 (1966).
3. Shepp A., Kutschke K. O., J. Chem. Phys., **26**, 1020 (1957).
4. Ayscough P. B., J. Chem. Phys., **24**, 944 (1956).
5. Mills R. L., Johnston H. S., J. Am. Chem. Soc., **73**, 938 (1951).
6. Hanst P. L., Calvert J. G., Phys. Chem., **63**, 104 (1959).
7. Batt L., Benson S. W., J. Chem. Phys., **36**, 895 (1962).
8. Walker O. J., Wild G. L. E., J. Am. Chem. Soc., **59**, 1132 (1937).
9. Steacie E. W. R., Shaw G. T., J. Chem. Phys., **2**, 345 (1934).
10. Levy J. B., J. Am. Chem. Soc., **76**, 3254, 3790 (1954).
11. Forst W., Rice O. K., Can. J. Chem., **41**, 562 (1963).
12. Leventhal E., Simonds C. R., Steel C., Can. J. Chem., **40**, 930 (1962).
13. Esteban G. L., Kerr J. A., Trotman-Dickenson A. F., J. Chem. Soc., 1963, 3873.
14. Kerr J. A., Sekhar R. C., Trotman-Dickenson A. F., J. Chem. Soc., 1963, 3217.
15. Sullivan J. M., Axworthy A. E., Jr., J. Phys. Chem., **70**, 3366 (1966).

лучше совпадает с величиной, которую можно вычислить, исходя из скорости обратной реакции и суммарного изменения энтропии ΔS° .

Имея в виду многообразие возможных источников ошибок при определении A , следует отбросить эти заниженные значения, равно как и величины для реакций распада с образованием $C_6H_5CH_2$, а для оставшейся группы реакций принять в качестве среднего значения предэкспонента $A = 10^{16} \pm 1 \text{ сек}^{-1}$. Соответственно ΔS^\ddagger для этих реакций составит около $11,5 \pm 5 \text{ кал}/(\text{моль}\cdot\text{град})$, причем около $8 \text{ кал}/(\text{моль}\cdot\text{град})$ связано с изменением частот четырех маятниковых колебаний, а $3,5 \text{ кал}/(\text{моль}\cdot\text{град})$ — с увеличением момента инерции. Это эквивалентно увеличению примерно на $2 \pm 1 \text{ кал}/(\text{моль}\cdot\text{град})$ вкладов, соответствующих этим модам колебаний.

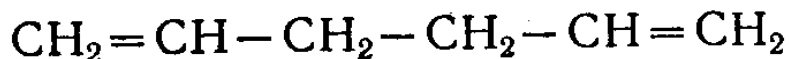
Для маятниковых колебаний групп CH_3 , NH_2 и OH исходные частоты составляют около 950 см^{-1} (табл. V. 13), а вклад S_{vib} равен при $600^\circ K$ примерно $0,75 \text{ кал}/(\text{моль}\cdot\text{град})$ (табл. V. 17). Чтобы этот вклад в ΔS^\ddagger достиг $2,0 \text{ кал}/(\text{моль}\cdot\text{град})$ при $600^\circ K$, необходимо снижение соответствующих частот в переходном состоянии до 300 см^{-1} . Это отвечает снижению силовой постоянной f маятникового колебания приблизительно в 10 раз, так как $v \sim f^{1/2}$. Отсюда следует, что потенциальный барьер маятникового колебания в переходном состоянии должен быть очень низким *. Более тяжелые группы, такие, как C_2H_5 и NO_2 , имеют более низкие частоты маятниковых колебаний, равные около 400 см^{-1} (табл. V. 13). Им соответствуют вклады в энтропию, равные $2,2 \text{ кал}/(\text{моль}\cdot\text{град})$ при $600^\circ K$ (рис. II. 4). Чтобы эти вклады достигли $4,2 \text{ кал}/(\text{моль}\cdot\text{град})$, частоты должны снизиться до 130 см^{-1} , т. е. примерно в столько же раз, как и в случае группы CH_3 .

Если проводить сравнение не при низких, а при высоких температурах, например при $1000^\circ K$ вместо 600 , можно обнаружить, что изменение от 950 до 300 см^{-1} соответствует вкладу в ΔS^\ddagger , равному $2,3 \text{ кал}/(\text{моль}\times$

* Влияние таких низких частот на структуру переходного состояния обсуждается в работе [6].

$\times \text{град}$), а не $2,0 \text{ кал}/(\text{моль}\cdot\text{град})$. Пропорциональное изменение энтропийного вклада наблюдается и при переходе от 400 к 130 см^{-1} . Однако изменение момента инерции при удалении друг от друга легких групп (например, CH_3) будет несколько больше, чем при удалении более тяжелых групп (например, трет- C_4H_9). Соответственно в последнем случае предэкспонент A будет в $2\text{--}3$ раза меньше.

Если в результате распада, как и в случае простого отщепления атома от молекулы, образующиеся осколки приобретают более жесткую структуру по сравнению с той, которую они имели в исходной молекуле, фактор A снижается благодаря замене свободного вращения на крутильные колебания. При вращении большой C_2H_5 -группы относительно фенильного радикала снижение энтропии при высоких температурах составит около $5 \text{ кал}/(\text{моль}\cdot\text{град})$. Эта величина как раз соответствует тому, насколько отличаются предэкспоненты реакций распада $\text{C}_6\text{H}_5\text{CH}_2\text{CH}_3$ и $\text{C}_6\text{H}_5\text{CH}_2\text{C}_2\text{H}_5$ от характерного значения предэкспонента реакций распада, равного 10^{16} . Исходя из этого, мы можем предсказать, что при распаде диаллила



на два алильных радикала, имеющих жесткую структуру, снижение энтропии составит $5 \text{ кал}/(\text{моль}\cdot\text{град})$ и предэкспоненциальный множитель будет равняться 10^{15} сек^{-1} , откуда для рекомбинации алильных радикалов следует значение $A = 10^9 \text{ л}/(\text{моль}\cdot\text{сек})$.

Вероятно, наиболее надежное значение A среди рассматриваемых реакций получено для диссоциации C_2H_6 . Оно было оценено для 400°K исходя из измеренной скорости рекомбинации метильных радикалов [$10^{10,5} \text{ л}/(\text{моль}\cdot\text{сек})$] и изменения энтропии при диссоциации $\Delta S_{400}^\circ = 38,6 \text{ кал}/(\text{моль}\cdot\text{град})$. Комбинация этих двух величин приводит к значению $A_{400} = 10^{16,9} \text{ сек}^{-1}$. Учитывая, что $(ekT/h) = 10^{13,35} \text{ сек}^{-1}$, $\Delta S^\ddagger = 16,6 \text{ кал}/(\text{моль} \times \text{град})$. Из этой величины $+0,7 \text{ кал}/(\text{моль}\cdot\text{град})$ можно приписать появлению свободного вращения групп CH_3 в $(\text{C}_2\text{H}_6)^\ddagger$, а $+3,6 \text{ кал}/(\text{моль}\cdot\text{град})$ — уве-

личению момента инерции. Оставшиеся $12,3 \text{ кал}/(\text{моль} \times \text{град})$ соответствуют ослаблению четырех маятниковых колебаний, т. е. около $3,1 \text{ кал}/(\text{моль}\cdot\text{град})$ на один вид колебаний. Соответствующая частота маятниковых колебаний (или деформационных $\text{H}-\text{C}-\text{C}$) должна снижаться с 950 до 140 см^{-1} , т. е. в $6-7$ раз. Как будет показано дальше, такое снижение соответствует по существу свободному вращению метильных групп в переходном состоянии. Следует отметить, что снижение частот маятниковых колебаний в 6 раз заметно отличается от соответствующего снижения в 3 раза, указанного ранее.

III.8. ЦИС-ТРАНС-ИЗОМЕРИЗАЦИЯ

Одним из простейших типов мономолекулярных реакций является цис-транс-изомеризация молекул с двойной связью. В переходном комплексе этой реакции плоскости двух метиленовых или замещенных метиленовых групп, связанных первоначально двойной связью, повернуты по отношению друг к другу на 90° . Координатой реакции является внутреннее вращение вокруг оси, совпадающей с двойной связью исходного олефина. В работе Бенсона, Голдена и Эггера [7] указывается, что в переходном состоянии не может быть перекрывания π -связей, а поэтому его нужно рассматривать как бирадикал. Например, в случае изомеризации $\text{CHD}=\text{CHD}$ переходное состояние соответствует гипотетической частице $\dot{\text{C}}\text{HD}-\dot{\text{C}}\text{HD}$, в которой расстояние $\text{C}-\text{C}$, как можно ожидать, составит около $1,46$, а не $1,34 \text{ \AA}$, как в основном состоянии. Хотя электронно-возбужденные триплетные и синглетные состояния имеют почти одинаковую энергию, реакция, по-видимому, протекает только с участием синглетов. Наконец, благодаря свойственной переходному состоянию асимметрии оно будет существовать в виде двух оптически изомерных форм, вследствие чего в выражении для K^+ появится множитель 2 , соответствующий энтропии смешения этих двух изомеров.

Числа симметрии основного и переходного состояний обычно сокращаются. Выражение для предэкспонента

этой реакции имеет вид

$$A_{c-t} \approx 2 \left(\frac{ekT_m}{h} \right) \frac{q_{el}^{\pm}}{q_{tors}}, \quad (\text{III. 28})$$

где q_{el} равно 4 или 1 в зависимости от того, участвуют или не принимают участия в реакции триплетные состояния. Величина q_{tors} — сумма по состояниям, соответствующая движению вдоль координаты реакции. Она определяется частотой крутых колебаний вокруг двойной связи молекулы в основном состоянии. Для цис-CHD=CHD она равна 990 см^{-1} [8] и при 800°K соответствует коэффициенту $1/2$ в A_{c-t} . Если считать, что реакция протекает без участия триплетных состояний, то для изомеризации цис-CHD=CHD $A = 4 \cdot 10^{13} \text{ сек}^{-1}$, что находится в хорошем согласии с приводимой в литературе для этой реакции величиной 10^{13} сек^{-1} .

При переходе к более тяжелым заместителям при углеродном атоме, связанном двойной связью, частота крутых колебаний снижается настолько, что $\hbar\nu_{tors} < kT$ и для q_{tors} оказывается справедливым классическое выражение

$$q_{tors} = (1 - e^{-\hbar\nu_{tors}/kT})^{-1} \approx kT/\hbar\nu_{tors}, \quad (\text{III. 29})$$

а предэкспонент A принимает вид

$$A_{c-t} = 2\nu_{tors} q_{el}^{\pm}. \quad (\text{III. 30})$$

Важно отметить, что величина kT/h сокращается, и потому A перестает зависеть от температуры. Поэтому $\Delta H^{\pm} = E$, и можно отбросить коэффициент e в выражении (III. 28).

Если заместители при углеродном атоме, связанном двойной связью, могут взаимодействовать с неспаренными электронами в бирадикале, то следует ожидать снижения энергии активации на величину, равную энергии взаимодействия или резонанса. Предэкспоненциальный множитель также должен снижаться, благодаря

тому что в результате этого взаимодействия затрудняется внутреннее вращение. В подобных случаях упрощенные выражения (III.28) и (III.30) должны быть видоизменены с тем, чтобы учесть эти изменения в ΔS^+ .

Таблица III.4

Аррениусовские параметры реакций термической цис-транс-изомеризации

Лите- ратура к таб- лице	Реагент	T_m , °К	$\lg A$ (сек $^{-1}$)	E , ккал/моль	$\lg A$ (расч.)
1	цис-CDH=CHD	770	13	65	13,6
2	цис-CH ₃ CH=CHCH ₃	690	13,8	63	13,5
3	цис-CH ₃ CH=CHCN	700	11,0	51,3	13,2
4	цис-CH ₃ CH=CHCOOCH ₃	660	13,2	57,8	12,8
5	цис-Стильбен	580	12,8	42,8	12,6
6	цис-Метилциннамат	610	10,5	41,6	10,9
7	β -Цианостиrol (цис)	610	11,6	46,0	12,1
8	CF ₃ CF=CFCF ₃ (цис)	650	13,5	56,4	13,1
9	CHCl=CHCl (цис) ^a	825	12,8	56,0	13,2

^a) Эта реакция осложнена гетерогенными эффектами и радикальными процессами.

1. Douglas J. E., Rabinovitch B. S., Looney F. S., J. Chem. Phys., **23**, 315 (1955).
2. Rabinovitch B. S., Michel K. W., J. Am. Chem. Soc., **81**, 5065 (1959); Cundall R. B., Palmer T. F., Trans. Faraday Soc., **57**, 1936 (1961).
3. Butler J. N., McAlpine R. D., Can. J. Chem., **41**, 2487 (1963).
4. Butler J. N., Small G. J., Can. J. Chem., **41**, 2492 (1963).
5. Kistiakowsky G. B., Smith W. R., J. Am. Chem. Soc., **56**, 638 (1934); Taylor T. W. T., Murray A. R., J. Chem. Soc., **1938**, 2078 (данные для жидкой фазы: $\lg A = 10,4$ и $E = 36,7$ ккал/моль).
6. Kistiakowsky G. B., Smith W. R., J. Am. Chem. Soc., **57**, 269 (1935).
7. Kistiakowsky G. B., Smith W. R., J. Am. Chem. Soc., **58**, 2428 (1936).
8. Schlag E. W., Kaiser E. W., Jr., J. Am. Chem. Soc., **87**, 1171 (1965).
9. Hawton L. D., Semeluk G. P., Can. J. Chem., **44**, 2143 (1966).

В табл. III. 4 приведены экспериментальные аррениусовские параметры для некоторых газофазных реакций изомеризации, а также значения предэкспонентов, оцененные исходя из приведенных выше соображений. Если не считать некоторых явных исключений, согласие данных получается довольно хорошее. Одним из исключений является изомеризация $\text{CH}_3\text{CH}=\text{CHCN}$, для которой структурные соображения не позволяют объяснить аномально низкого значения $A = 10^{11} \text{ сек}^{-1}$. Сравнивая эту реакцию с изомеризацией цис-бутена-2, мы отмечаем, что энергия активации в первом случае меньше на 11,7 ккал/моль, что следовало бы отнести за счет сопряжения в радикале $-\dot{\text{C}}\text{H}-\text{C}\equiv\text{N}$. Эта величина, однако, кажется несколько завышенной по сравнению с энергией взаимодействия в радикалах $\dot{\text{C}}\text{H}_2-\text{COCH}_3$ (7 ккал/моль) и $\dot{\text{C}}\text{H}_2-\text{CH}=\text{CH}_2$ (12,5 ккал/моль). Если предположить, что абсолютное значение константы скорости верно и значение A возрастает до 10^{13} сек^{-1} , то при 700°K значение E достигает 58,1 ккал/моль и кажущаяся энергия резонанса снижается до 5 ккал/моль. Обе эти величины представляются более правдоподобными.

В случае цис-стильбена неплоское напряженное основное состояние имеет два заторможенных вращения, которым соответствует $S_{lr}^o \approx 17 \text{ кал}/(\text{моль}\cdot\text{град})$ при 600°K . Частота крутильного колебания составляет около 150 см^{-1} . В переходном состоянии, имеющем более жесткое строение, частота вращения фенильных групп достигает почти такой же величины (125 см^{-1}). При 600°K это соответствует $4,4 \text{ кал}/(\text{моль}\cdot\text{град})$ для каждого из двух видов вращения, а общее снижение энтропии равно $8,8 \text{ кал}/(\text{моль}\cdot\text{град})$. Как следует из табл. III.4, вычисленная таким образом величина A хорошо согласуется с экспериментальными данными.

Сопоставление определенных в эксперименте энергий активации цис-бутена-2 и цис-стильбена свидетельствует о том, что энергия резонанса бензильного радикала равна всего 10, а не 12,5 ккал/моль, как можно было бы ожидать. Объяснением может служить то, что энергии π -связей в рассматриваемых олефинах различаются на 4 ккал/моль.

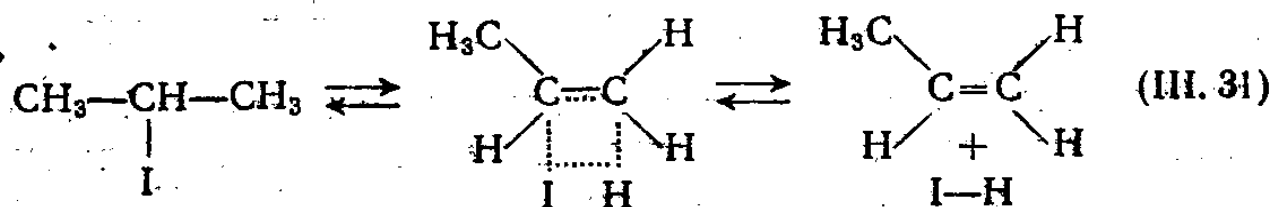
Результат, полученный для перфторбутена-2, показывает (как следует из сравнения с данными для бутена-2), что энергия π -связей фторированных углеводородов примерно на 6 ккал/моль ниже, чем в случае углеводородов.

Энергии активации рассматриваемых реакций можно рассчитать, если известны энергии π -связей. Например, энергия π -связи $\text{CHD}=\text{CHD}$ при 300°K равна 59,5 ккал/моль. Предположим, что бирадикал в основном состоянии имеет плоское строение и это согласуется с тем фактом, что Sp^2 -гибридизованный атом углерода, связанный только с одним атомом С, как, например, в бутадиене, глиоксале или стироле, образует плоские группы. Тогда, если возбужденная неплоская конфигурация образуется с энергией активации около 3,6 ккал/моль (энергия сопряжения в бутадиене), то $\Delta H_{300}^\ddagger = 63,1$ ккал/моль. Приняв $\langle \Delta C_p^\circ \rangle = 1$ кал/(моль·град) при 800°K , найдем, что ΔH^\ddagger составит 63,6 ккал/моль, а $E_{act} = \Delta H^\ddagger + RT = 65,2$ ккал/моль. Эта величина отлично согласуется с экспериментальным значением. Аналогичный расчет для бутена-2 дает $E_{act}(700^\circ\text{K}) = 62,1$ ккал/моль, а для $\text{CHCl}-\text{CHCl}$ при $800^\circ\text{K} = 57,0$ ккал/моль. Таким образом, и здесь мы видим очень хорошее согласие с экспериментом. При расчете последней величины было сделано предположение, что энергия диссоциации связи С—Н в $\text{CH}_2\text{Cl}-\text{CH}_2\text{Cl}$ равна 95,5 ккал/моль, откуда для энергии π -связи в $\text{CHCl}=\text{CHCl}$ получается величина 49,1 ккал/моль.

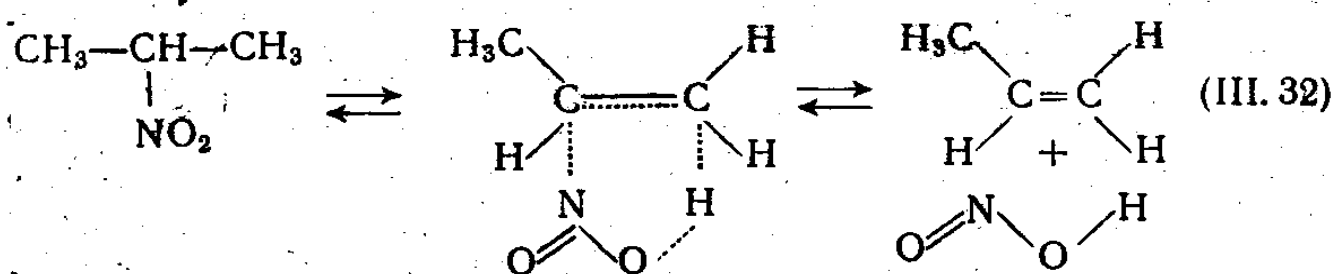
III.9. СЛОЖНЫЙ РАСПАД. ЦИКЛИЧЕСКИЕ ПЕРЕХОДНЫЕ СОСТОЯНИЯ

Во многих мономолекулярных реакциях в молекуле сразу разрушаются две или большее число связей. Реакции эти могут сильно различаться по сложности, но они имеют нечто общее — циклическое переходное состояние. В качестве примера рассмотрим отщепление галогеноводорода HX от алкилгалогенида. Такие реакции, в которых четыре атома образуют циклическое переходное

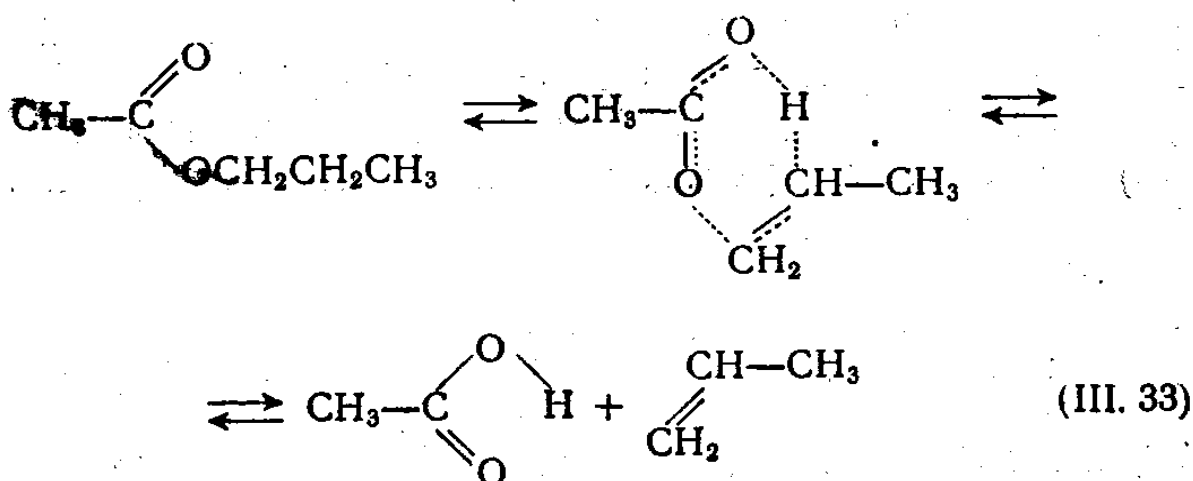
состояние, часто называют четырехцентровыми. Рассмотрим, например, распад изопропилиодида:



Нитроалканы распадаются, по-видимому, по пятицентровому механизму

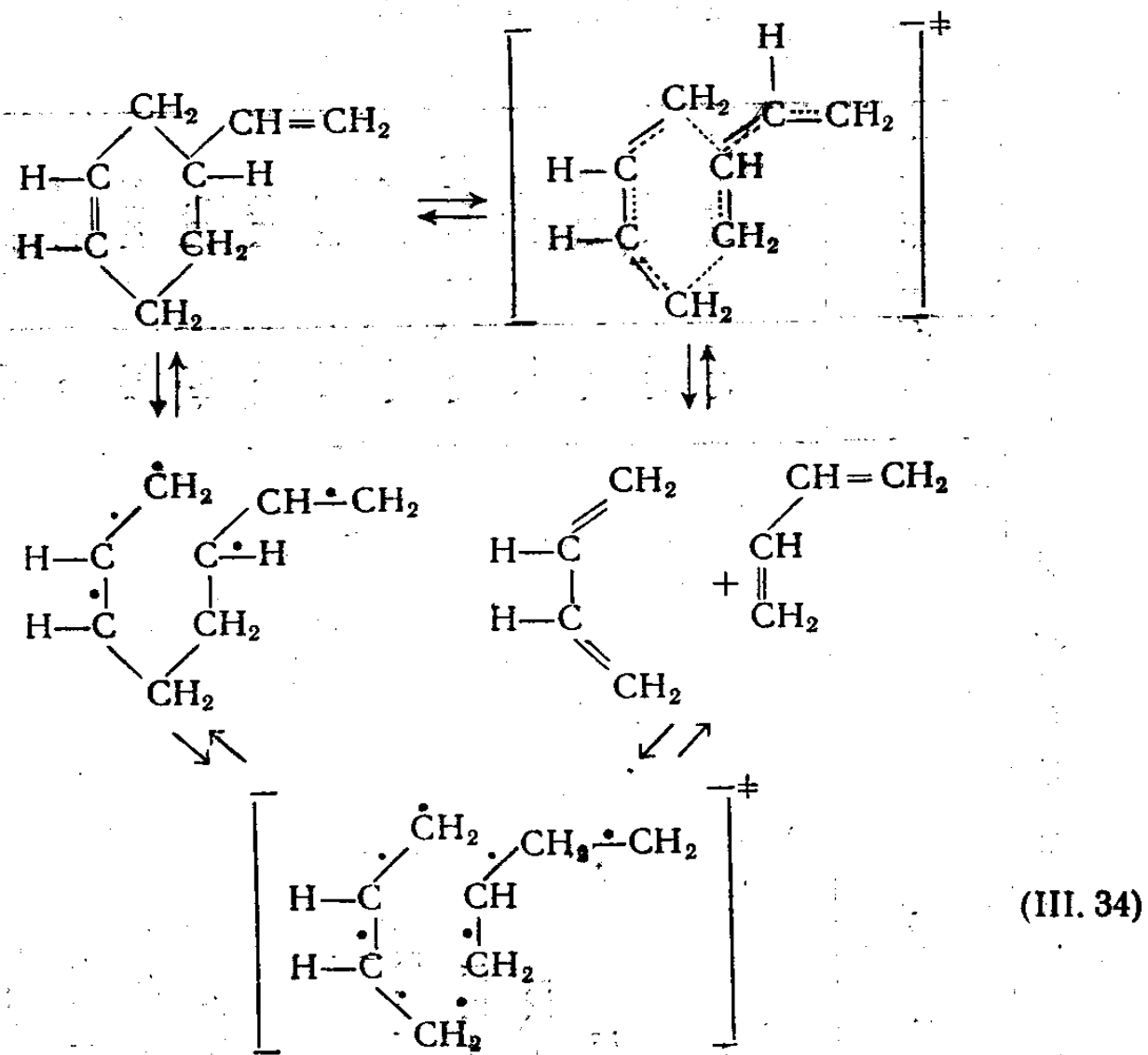


Распад сложных эфиров протекает по шестицентровому механизму



Для ретродиенового синтеза (т. е. для реакции, обратной диеновому синтезу Дильса — Альдера) предлагаются механизм с шестицентровым переходным состоянием; однако не исключено, что реакция протекает по

бирадикальному механизму. Оба возможных механизма показаны ниже на примере распада димера бутадиена.



Следует отметить, что бирадикальный механизм должен включать образование не показанного на схеме короткоживущего переходного состояния, предшествующего образованию бирадикала, который находится в равновесии с исходным циклом, т. е. может претерпевать распад или рециклизацию. В зависимости от относительных скоростей этих процессов суммарная реакция, протекающая по бирадикальному механизму, может включать образование только одного или обоих переходных состояний. Кроме того, под действием ряда факторов, природа которых еще до конца не выяснена, реакция может протекать одновременно по бирадикальному механизму и «согласованному» молекулярному механизму

Таблица III.5

Аррениусовские параметры четырехцентровых реакций сложного распада

Литера- тура к таблице	Реакция	$T_m, ^\circ\text{К}$	$\lg A (\text{сек}^{-1})$	$E, \text{ ккал/моль}$
1	$\text{CH}_3\text{CH}_2\text{Cl} \rightarrow \text{C}_2\text{H}_4 + \text{HCl}$	720	13,51	56,6
2	$\kappa\text{-C}_3\text{H}_7\text{Cl} \rightarrow \text{C}_3\text{H}_6 + \text{HCl}$	720	13,50	55,1
3	$\kappa\text{-C}_4\text{H}_9\text{Cl} \rightarrow \kappa\text{-C}_4\text{H}_8 + \text{HCl}$	700	13,63	55,2
2	$\text{втор-}\text{C}_4\text{H}_9\text{Cl} \rightarrow \kappa\text{-C}_4\text{H}_8 + \text{HCl}$	630	13,62	49,6
3	$\text{изо-}\text{C}_4\text{H}_9\text{Cl} \rightarrow \text{изо-}\text{C}_4\text{H}_8 + \text{HCl}$	700	14,0 (12,9) ^{a)}	56,8 (53,3)
4	$\text{трет-}\text{C}_4\text{H}_9\text{Cl} \rightarrow \text{изо-}\text{C}_4\text{H}_8 + \text{HCl}$	780	13,74	44,7
5	$\text{C}_2\text{H}_5\text{Br} \rightarrow \text{C}_2\text{H}_4 + \text{HBr}$	680	13,45	53,9
6	$\kappa\text{-C}_3\text{H}_7\text{Br} \rightarrow \text{C}_3\text{H}_6 + \text{HBr}$	840	13,0	50,7
7	$\kappa\text{-C}_4\text{H}_9\text{Br} \rightarrow \text{изо-}\text{C}_4\text{H}_8 + \text{HBr}$	670	13,2	50,9
8	$\text{втор-}\text{C}_4\text{H}_9\text{Br} \rightarrow \kappa\text{-C}_4\text{H}_8 + \text{HBr}$	600	13,53	46,5
9	$\text{изо-}\text{C}_4\text{H}_9\text{Br} \rightarrow \text{изо-}\text{C}_4\text{H}_8 + \text{HBr}$	530	13,05	50,4
10	$\text{трет-}\text{C}_4\text{H}_9\text{Br} \rightarrow \text{изо-}\text{C}_4\text{H}_8 + \text{HBr}$	800	13,5	41,5
11	Циклогексилбромид \rightarrow циклогексен + HBr	600	13,52	46,1
12	Циклогексилхлорид \rightarrow циклогексен + HCl	600	13,0	50,0

13	Циклопентилбромид → циклопентен + HBr	600	12,84	43,7
10	<i>трет</i> -C ₄ H ₉ OH → <i>изо</i> -C ₄ H ₈ + HOH	1150	13,4	61,6
14	<i>трет</i> -C ₅ H ₁₁ OH → 2-метилбутен-1 + HOH	780	13,5	60,0
15	C ₂ H ₅ I → C ₂ H ₄ + HI	630	13,4	50,0
16	<i>изо</i> -C ₃ H ₇ I = C ₃ H ₈ + HI	560	13,0	43,5
17	<i>трет</i> -C ₄ H ₉ I → <i>изо</i> -C ₄ H ₈ + HI	710	13,7	38,1

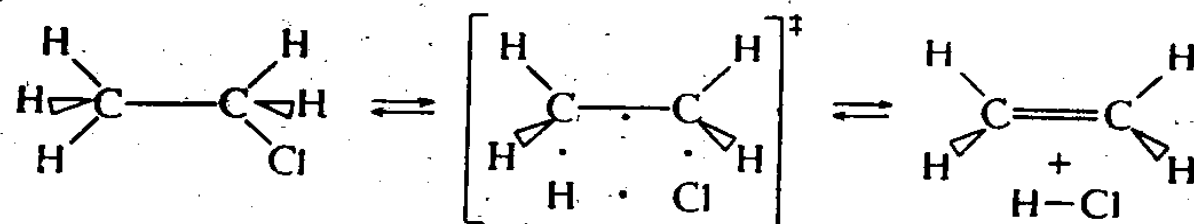
^{a)} В скобках приведены «наилучшие» оценки Бенсона и О'Нила (ссылка [9] к тексту гл. III).

1. Hartman H., Bosche H. G., Heydtmann H., Zeit. Phys. Chem., NF 42, 329 (1964).
2. Maccoll A., Stone R. H., J. Chem. Soc., 1961, 2756.
3. Howlett K. E., J. Chem. Soc., 1962, 4487.
4. Tsang W., J. Chem. Phys., 40, 1171 (1964).
5. Thomas P. J., J. Chem. Soc., 1959, 1192.
6. Blades A. T., Murphy G. W., J. Am. Chem. Soc., 74, 6219 (1952).
7. Maccoll A., Thomas P. J., J. Chem. Soc., 1957, 5033.
8. Kale M. N., Maccoll A., Thomas P. J., J. Chem. Soc., 1958, 3016.
9. Harden G. P., Maccoll A., J. Chem. Soc., 1959, 1197.
10. Tsang W., J. Chem. Phys., 40, 1498 (1964).
11. Green J. S., Maccoll A., J. Chem. Soc., 1955, 2449.
12. Swinbourne E. S., Aus. J. Chem., 11, 314 (1958).
13. Kale M. N., Maccoll A., J. Chem. Soc., 1957, 5020.
14. Schultz R. F., Kistiakowsky G. B., J. Am. Chem. Soc., 56, 395 (1934).
15. Benson S. W., Bose A. N., J. Chem. Phys., 37, 2935 (1962).
16. Teranishi H., Benson S. W., J. Chem. Phys., 40, 2946 (1964).
17. Tsang W., J. Chem. Phys., 41, 2487 (1964).

или по одному из указанных механизмов. Если скорость образования бирадикалов контролирует скорость суммарного процесса, переходное состояние этой реакции должно быть почти идентично переходному состоянию в молекулярной реакции. Позднее мы вернемся к рассмотрению данного процесса.

В табл. III.5 представлен ряд значений констант скорости реакций сложного распада, протекающих по четырехцентровому механизму.

Четырехцентровое отщепление HX от RX для всех R эндотермично (12—20 ккал/моль в зависимости от природы X). Энергия активации реакции очень чувствительны к структуре. Более подробно это обсуждается позднее, а пока рассмотрим предэкспоненциальные множители A и для простоты начнем с $\text{C}_2\text{H}_5\text{Cl}$. При распаде этого соединения переходное состояние имеет строение четырехатомного цикла, который, как можно ожидать, должен иметь довольно жесткую структуру



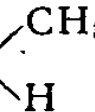
Значительные вклады в ΔS^\ddagger обусловлены, с одной стороны, изменением симметрии ($+R \ln 3$), связанным с наличием трех эквивалентных атомов H , которые могут отщепляться в виде HCl , а с другой стороны, с заторможенностью внутреннего вращения групп CH_3 [—4 кал/(моль·град) при 700°K]. Алгебраическая сумма этих двух величин составляет —1,8 кал/(моль·град), и, согласно уравнению (III.27), A при 700°K равняется приблизительно $10^{13,2} \text{ сек}^{-1}$. Несмотря на некоторый разброс данных, эта величина удовлетворительно согласуется со значениями, полученными для $\text{C}_2\text{H}_5\text{Cl}$, $\text{C}_2\text{H}_5\text{Br}$ и $\text{C}_2\text{H}_5\text{I}$. С учетом соображений симметрии для отщепления HX от *изо*- $\text{C}_3\text{H}_7\text{X}$ $A = 10^{13,5} \text{ сек}^{-1}$, а от *трет*- $\text{C}_4\text{H}_9\text{X}$ — $A = 10^{13,7} \text{ сек}^{-1}$. Эти значения также разумно согласуются с экспериментом. К сожалению, погрешность в экспериментальных значениях A составляет около $10^{0,5} \text{ сек}^{-1}$,

т. е. по порядку величины близка к различиям предэкспонентов рассматриваемых реакций.

Возможен и другой, более систематический анализ предэкспоненциальных множителей [9]. Четыре атома, образующие четырехчленный цикл, имеют шесть частот колебаний внутри этого цикла. Четыре из них можно считать валентными (они сопровождаются увеличением межатомных расстояний), а два — деформационными, причем одно из колебаний происходит в плоскости цикла, а другое вне этой плоскости. Одно из валентных колебаний соответствует движению вдоль координаты реакции. Если одним из атомов цикла является Н или D, ему можно приписать два валентных и внеплоскостное деформационное колебание. Вклады в ΔS^\ddagger для реакции $C_2H_5Cl \rightleftharpoons (C_2H_5Cl)^\ddagger \rightleftharpoons C_2H_4 + HCl$ при $600^\circ K$ перечислены в табл. III.6. При отщеплении HX от *изо*- C_3H_7X и *н*- C_4H_9X исчезает внутреннее вращение этильной или пропильной группы соответственно. Однако вместо них появляются крутильные колебания вокруг образующейся двойной связи (их частоты около $300—330\text{ cm}^{-1}$). Поэтому суммарное снижение

Таблица III.6

Вклады^{a)} в энтропию активации реакции
 $C_2H_5Cl \rightleftharpoons (C_2H_5Cl)^\ddagger \rightleftharpoons C_2H_4 + HCl$ при $600^\circ K$

	ΔS^\ddagger , кал/(моль·град)
Симметрия	+ $R \ln 3 = +2,2$
Внутреннее вращение $CH_3 \rightarrow$ крутильные колебания CH_2-C  (400 cm^{-1})	- 3,7
Валентные колебания $C-Cl$ (650 cm^{-1}) \rightarrow координата реакции	- 1,4
Деформационные колебания $C-C-Cl$ (400 cm^{-1}) \rightarrow $C-C-Cl$ (280 cm^{-1})	+ 0,7
Деформационные колебания $H-C-H$ (1450 cm^{-1}) \rightarrow $H-C-C$ (950 cm^{-1})	+ 0,6
Полное изменение энтропии	- 1,6

а) При оценке пренебрегали малыми вкладами валентных колебаний Н в циклическом переходном состоянии.

вращательных вкладов в ΔS^\ddagger будет примерно таким же, как и для группы CH_3 . Поскольку здесь в реакции могут участвовать только два, а не три атома, как в C_2H_5X , для A получается значение $10^{13,1} \text{ сек}^{-1}$, не слишком отличающееся от величин, полученных для C_2H_5X .

Данные эксперимента подкрепляют изложенные выше соображения, однако эти данные недостаточно точны, чтобы отразить отмеченные выше тонкие различия. То же справедливо и для распада *изо*- C_4H_9X , в котором в реакции может участвовать лишь один атом Н.

Если $X = \text{OH}$, при образовании переходного состояния дополнительно исчезает одно внутреннее вращение, и для реакции *трет*- $\text{C}_4\text{H}_9\text{OH}$ можно ожидать предэкспонента, равного $10^{13,2} \text{ сек}^{-1}$. Но и здесь недостаточно точные данные не позволяют выявить столь тонких деталей.

Если сказанное выше верно, то для случая, когда R — циклический радикал, не должно происходить потери внутреннего вращения. Поэтому для переходного состояния распада циклогексилгалогенида при высоких температурах вклад в ΔS^\ddagger , связанный с симметрией и составляющий $R \ln 2$ (имеются два способных вступить в реакцию атома Н), компенсируется наличием двух почти эквивалентных структур основного состояния (аксиальное и экваториальное расположение X). Таким образом, можно ожидать, что $A \approx ekT_m/h$, что составляет при 700°K $10^{13,6} \text{ сек}^{-1}$. Из табл. III.5 видно, что это значение согласуется с данными, полученными для бромистого циклогексила. Измеренный при распаде бромистого циклопентила предэкспонент очень низок. Этот цикл имеет необычно высокие энтропии (по сравнению с шестичленными циклами), которые обусловлены низкочастотным внеплоскостным деформационным колебанием (*ring-puckering*), так называемым псевдовращением. Этот тип колебаний характерен также для циклобутана. Значения предэкспонентов ясно показывают, что в переходном состоянии этот тип колебаний исчезает (см. разд. II.16).

Данные для нескольких пятицентровых комплексов и для большего числа шестицентровых комплексов представлены в табл. III.7. Для сравнения в нее включены три реакции изомеризации, также протекающие по шестицентровому механизму.

Отщепление HNO_2 происходит из переходного состояния, в котором отсутствует одно вращение группы CH_3 и свободное вращение NO_2 . Вклад, учитывающий симметрию, в случае $\text{C}_2\text{H}_5\text{NO}_2$ составит $R \ln 6$, вклад, связанный с потерей вращения, около $-11 \text{ кал}/(\text{моль} \cdot \text{град})$; $-1,0 \text{ кал}/(\text{моль} \cdot \text{град})$ соответствует движению вдоль координаты реакции; в результате получаем $\Delta S^\ddagger = -8,4 \text{ кал}/(\text{моль} \cdot \text{град})$. Следовательно, при 600°K значение A в согласии с экспериментом должно равняться $10^{11,8} \text{ сек}^{-1}$. Для изо- $\text{C}_3\text{H}_7\text{NO}_2$ значение A составит примерно $10^{12,0} \text{ сек}^{-1}$: увеличение связанного с симметрией вклада несколько компенсируется увеличением момента инерции относительно связи $\text{C}-\text{N}$. Согласие с экспериментом здесь хуже.

При пиролизе сложных эфиров затрудняются два типа внутреннего вращения тяжелых групп вокруг эфирной связи $\text{O}-\text{C}$ и связи $\text{C}-\text{C}$ алкильной группы. Для ацильной связи $\text{C}-\text{O}$ характерен высокий барьер крутильных колебаний (табл. V.19) с частотой около 250 см^{-1} . Они заменяются двумя новыми типами крутильных колебаний с частотой в интервале $250-400 \text{ см}^{-1}$. При 700°K суммарное снижение энтропии составит $2 \text{ кал}/(\text{моль} \cdot \text{град})$ на каждую вращательную степень свободы, т. е. всего $6,0 \text{ кал}/(\text{моль} \cdot \text{град})$. Для $\text{CH}_3\text{COOC}_2\text{H}_5$ $\Delta S^\ddagger = R \ln 3 - 6,0 \approx -3,8 \text{ кал}/(\text{моль} \times \text{град})$, поэтому при 700°K $A = 10^{12,8} \text{ сек}^{-1}$, что хорошо согласуется с экспериментальным значением $10^{12,5} \text{ сек}^{-1}$. Предэкспоненциальные члены при распаде изопропил- и трет-бутилацетата должны быть выше в 2 и 3 раза, т. е. должны составлять $10^{13,1}$ и $10^{13,3} \text{ сек}^{-1}$, что отлично соглашается с данными табл. III.7. Однако не следует забывать, что погрешность при определении $\lg A$ составляет $\pm 0,5$. Неточность экспериментальных значений A обнаруживается при сравнении предэкспонентов реакций распада трет-бутилацетата и трет-бутилпропионата. Константы скорости двух реакций почти совпадают при 550°K , в то время как приводимые значения предэкспонентов различаются в 3 раза. Между тем значения ΔS^\ddagger , которые можно вычислить, применяя правила аддитивности для этих соединений в основном и переходном состоянии, должны совпадать.

Таблица III.7

Аррениусовские параметры пяти- и шестицентровых реакций сложного распада

Литера- тура в таблице	Реакция	$T_m, ^\circ\text{K}$	$\lg A (\text{сек}^{-1})$	$E, \text{ккал/моль}$
1, 2	<i>изо</i> -C ₃ H ₇ NO ₂ → C ₃ H ₆ + HNO ₂	570	11,0 (11,3)	39,0 (40) ^{a)}
2	C ₂ H ₅ NO ₂ → C ₂ H ₄ + HNO ₂	650	11,5 (11,8)	41,5 (43)
3, 4	CH ₃ COOC ₂ H ₅ → C ₂ H ₄ + CH ₃ COOH	820	12,5	47,8
4	CH ₃ COO— <i>изо</i> -C ₃ H ₇ → C ₃ H ₆ + CH ₃ COOH	760	13,0	45,0
5	CH ₃ COO- <i>трет</i> -C ₄ H ₉ → <i>изо</i> -C ₄ H ₈ + CH ₃ COOH	540	13,3	40,5
6	C ₂ H ₅ COO- <i>трет</i> -C ₄ H ₉ → <i>изо</i> -C ₄ H ₈ + C ₂ H ₅ COOH	540	12,8	39,2
7	CH ₃ COOCOCH ₃ → CH ₂ CO + CH ₃ COOH	600	12,0	34,5
8	CH ₃ CH ₂ —O—CH=CH ₂ → CH ₃ CHO + C ₂ H ₄	810	11,4	43,8
9	<i>цис</i> -Метилвинилциклопропан → <i>цис</i> -гексадиен-1,4	460	~ 11,0	31,0
10	3-Метилгексадиен-1,5 ⇌ гептадиен-1,5	480	9,8 (10,85)	32,5 (35,0) ^{b)}
11	CH ₂ =CH—O—CH ₂ —CH=CH ₂ → CH ₂ =CH—CH ₂ —CH ₂ CHO	450	11,3	30,6
12	<i>цис</i> -Гексатриен-1,3 → циклогексадиен-1,3	430	11,8	29,9
13	Триоксан → 3CH ₂ O	580	15,0	47,4
14	Цикло [—CH(CH ₃)—O—] ₃ → 3CH ₃ CHO	510	15,1	44,2

14	Цикло $[-\text{CH}(\text{n-C}_3\text{H}_7)-\text{O}-]_3 \rightarrow 3\text{n-C}_3\text{H}_7\text{CHO}$	480	14,4	42,0
14	Цикло $[-\text{CH}(\text{изо-C}_3\text{H}_7)-\text{O}-]_3 \rightarrow 3\text{изо-C}_3\text{H}_7\text{CHO}$	480	14,5	42,0
15	Циклогексен $\rightarrow \text{C}_2\text{H}_4 + \text{бутадиен}$	860	15,2	66,2
16	Метилциклогексен-3 $\rightarrow \text{C}_3\text{H}_6 + \text{бутадиен}$	1020	15,1	66,6
16, 17	Винилциклогексен-3 $\rightarrow 2\text{C}_4\text{H}_6$	1000	15,2 (15,7)	62,0 (61,8)

^a) Spokes G. N., Benson S. W., J. Am. Chem. Soc., **89**, 6030 (1967).

^b) Frey H. M. (1968), private communication.

1. Smith T. E., Calvert J. G., J. Phys. Chem., **63**, 1305 (1959).
2. Fréjacques C., Compt. Rend., **231**, 1061 (1950).
3. Blades A. T., Gilderson P. W., Can. J. Chem. **38**, 1407 (1960).
4. Blades A. T., Can. J. Chem., **32**, 366 (1954).
5. Emovan E. V., MacColl A., J. Chem. Soc., **1962**, 335.
6. Warrick E., Fugassi P., J. Phys. Chem., **52**, 1314 (1948).
7. Murawski J., Szwarc M., Trans. Faraday Soc., **47**, 269 (1951).
8. Blades A. T., Murphy G. W., J. Am. Chem. Soc., **74**, 1039 (1952).
9. Ellis R. J., Frey H. M., J. Chem. Soc., **1964**, 5578.
10. Amano A., Uchiyama M., J. Phys. Chem., **69**, 1278 (1965).
11. Schuler F. W., Murphy G. W., J. Am. Chem. Soc., **72**, 3155 (1950).
12. Lewis K. E., Steiner H., J. Chem. Soc., **1964**, 3080.
13. Hogg W., McKinnon D. M., Trotman-Dickenson A. F., J. Chem. Soc., **1961**, 1403.
14. Coffin C. C., Can. J. Res., **7**, 75 (1932); **9**, 603 (1933); Parlee N. A. D., **18**, 223 (1940).
15. Uchiyama M., Tomioka T., Amano A., J. Phys. Chem., **68**, 1878 (1964).
16. Tsang W., J. Chem. Phys., **42**, 1805 (1965).
17. Duncan N. E., Janz J. E., J. Chem., **20**, 1944 (1952). (Данные, полученные этими исследователями, приведены в скобках.)

Этилвиниловый эфир изоэлектронен этилформиату. Переходные состояния распада этих соединений очень похожи (рис. III.2). Рассчитанное значение $A = 10^{11.6}$ сек $^{-1}$ хорошо согласуется с наблюдаемым, которое равно $10^{11.4}$ сек $^{-1}$.

Тот факт, что распад простого эфира характеризуется более низким значением A , чем распад сложного эфира, обусловлен тем, что в молекуле этилвинилового эфира

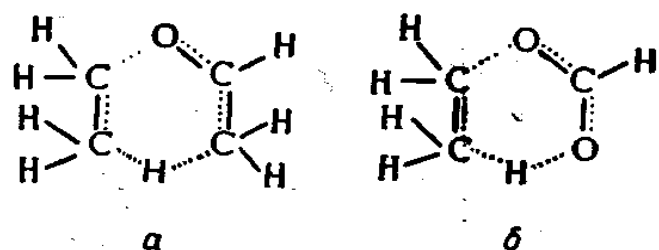
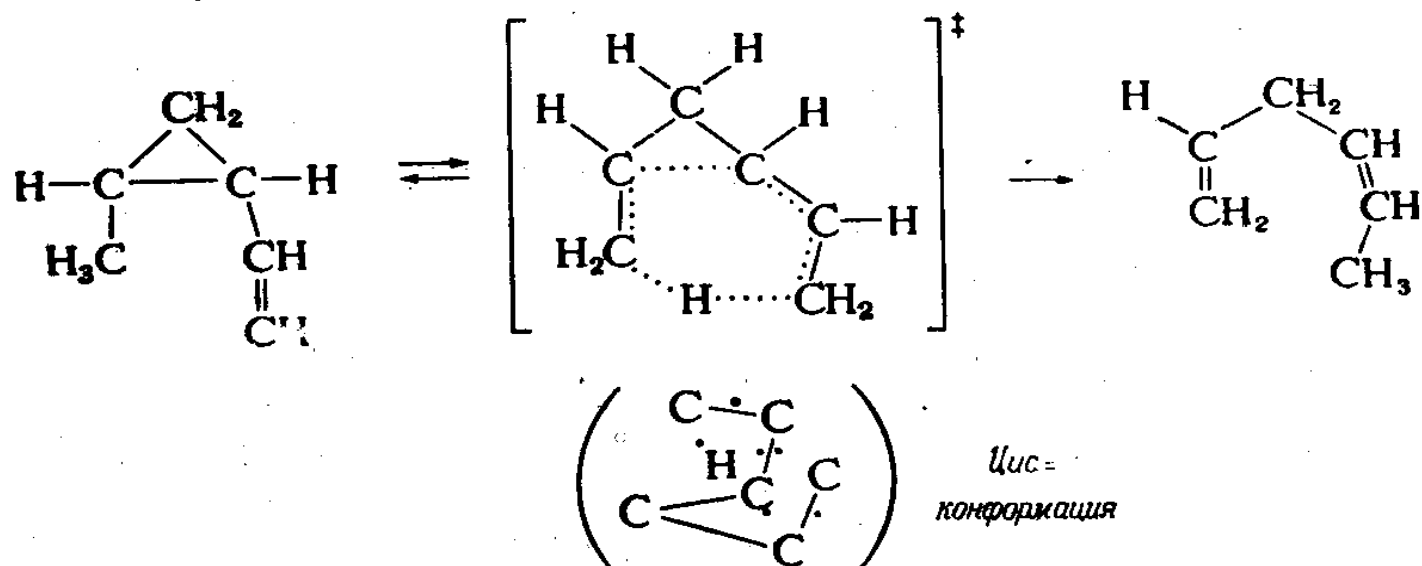


Рис. III.2. Два изоэлектронных переходных состояния: *a* -- пиролиз винилэтилового эфира; *b* -- пиролиз этилформиата.

имеет место почти свободное вращение вокруг связи $\text{C}_2\text{H}_3-\text{O}$, в то время как вращение вокруг связи $\text{CHO}-\text{O}$ невозможно из-за высокого энергетического барьера (табл. V.19). При образовании переходного состояния этилвиниловый эфир теряет примерно на 4 кал/(моль \times град) больше, чем этилформиат.

Измеренный при изучении распада $(\text{CH}_3\text{CO})_2\text{O}$ предэкспонент очень близок к рассчитанному значению $10^{12.3}$ сек $^{-1}$. В сходной реакции распада *цис*-1-метил-2-винилциклогептана при образовании переходного состоя-



ния исчезают только два вращения. Однако наблюдаемая величина A оказывается меньше, чем при распаде

этилвинилового эфира, и ниже, чем рассчитанная ($10^{11.7}$) с учетом связанного с симметрией вклада в ΔS^\ddagger , равного $R \ln 3$. По крайней мере частично, это расхождение обусловлено более низкой температурой реакции (470°K) и тем самым более низкими вкладами крутильных колебаний *.

В противоположность всем шестицентровым реакциям распада, имеющим низкие предэкспоненты, для пиролиза симметрично замещенных триоксанов характерны значения A , примерно на порядок более высокие, чем предполагаемое значение $10^{13.5} \text{ сек}^{-1}$. Для этих реакций $\Delta S^\ddagger \approx \approx 5 \text{ кал}/(\text{моль} \cdot \text{град})$. При образовании переходного состояния циклическая структура, характерная для основного состояния, становится менее жесткой. Этот результат кажется вполне оправданным и непосредственно вытекает из детальной схемы реакции, предложенной О'Нилом и Бенсоном [9].

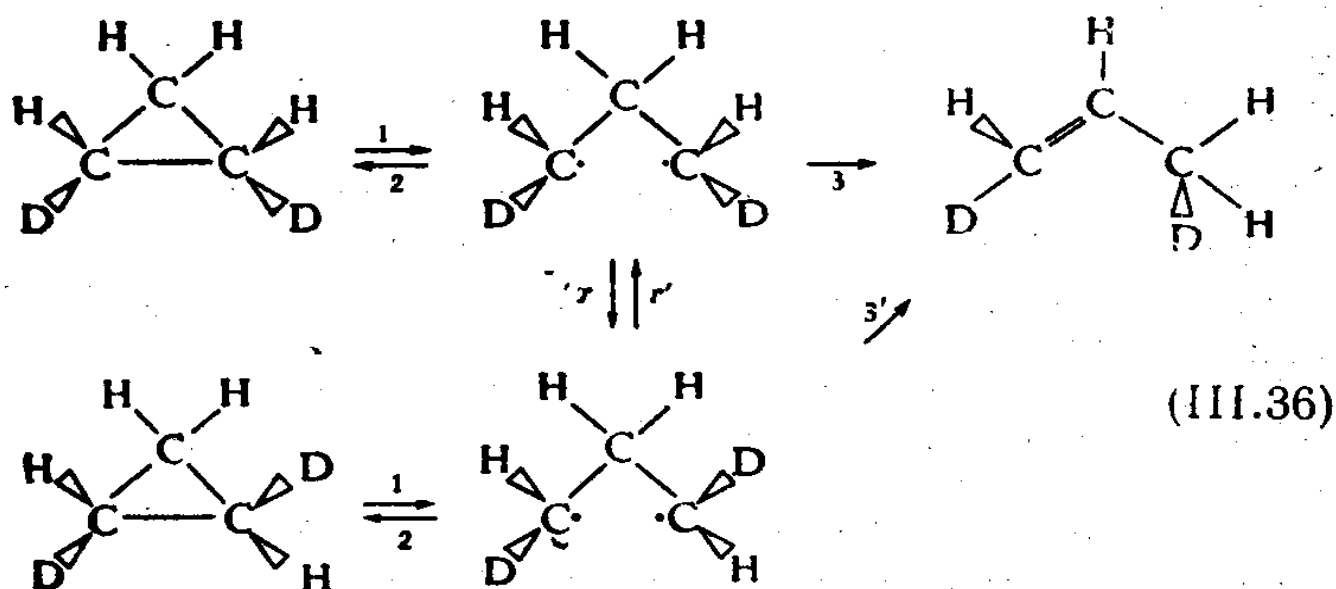
Ретродиеновый распад циклогексенов характеризуется значениями A еще более высокими, чем распад триоксанов, несмотря на то что суммарное изменение энтропии для них меньше, чем для триоксанов. Распад триоксанов почти наверняка протекает по молекулярному механизму с сопряжением электронов, так как энергия активации этой реакции намного ниже величины, которую можно было бы ожидать для бирадикального механизма. Возможность бирадикальных промежуточных продуктов в этих реакциях мы рассмотрим позднее, когда речь будет идти о реакции Дильса — Альдера с участием бутадиена.

III. 10. БИРАДИКАЛЬНЫЕ ПРОМЕЖУТОЧНЫЕ ПРОДУКТЫ В МОНОМОЛЕКУЛЯРНЫХ РЕАКЦИЯХ

Во многих мономолекулярных реакциях образуется не одно переходное состояние. Эти реакции протекают по довольно сложному механизму, в котором могут

* Неожиданным является то обстоятельство, что образующийся при реакции олефин имеет цис-, а не транс-строение, которого можно было бы ожидать. Это свидетельствует о том, что благоприятным оказывается образование более компактной цис-конфигурации, что может являться причиной низкого значения A . Цис-конфигурация оказывается также благоприятной для изомеризации.

участвовать один или несколько бирадикальных промежуточных продуктов. Наиболее известный пример реакции такого типа — изомеризация циклопропана в пропилен. Рабинович и др. [10] обнаружили, что геометрическая изомеризация *цис*-1,2-дидейтероциклопропана в транс-форму протекает примерно в 12 раз быстрее, чем структурная изомеризация в пропилен. Позднее Бенсон показал [11], что ни кинетические, ни термодинамические соображения не позволяют согласовать этот результат с молекулярным механизмом. В то же время его легко интерпретировать, исходя из предположения об участии в процессе короткоживущих (10^{-10} сек) trimетиленовых бирадикалов

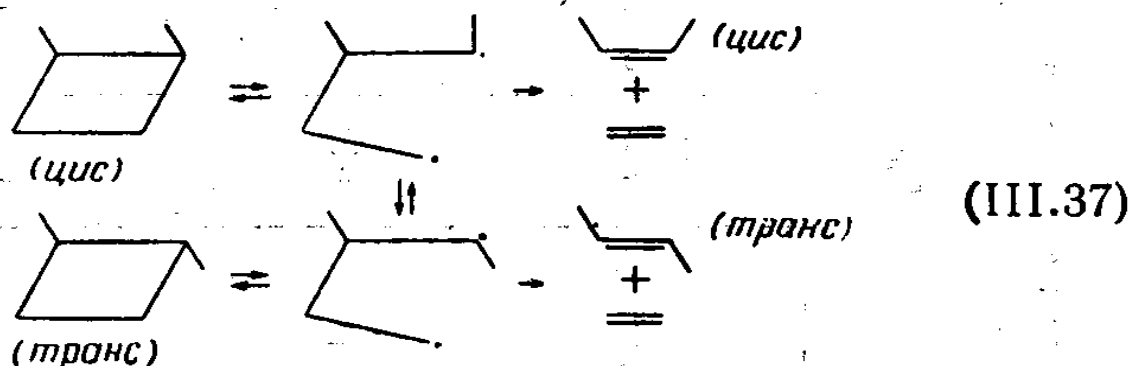


На основании оценок термохимических свойств бирадикала оказалось возможным вывести аррениусовские параметры для реакций (1), (2) и (3) в формуле (III.36). Внутреннее вращение (стадия $r - r'$) протекает при температурах эксперимента настолько быстро, что вращательное равновесие у бирадикалов наступает непосредственно в момент их образования *, поэтому $k_r \approx k'_r > (k_2 + k_3)$.

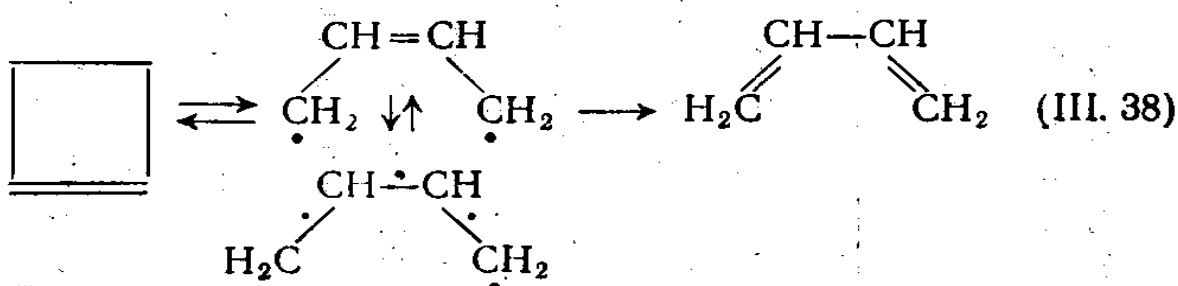
Есть указания на то, что по аналогичному механизму протекает распад производных циклобутана. Геометрическая изомеризация *цис*-1,2-диметилциклобутана про-

* Это не имеет места в случае «горячих» молекул циклопропана, образующихся при присоединении CH_2 к C_2H_4 . Здесь из-за низкого предэкспонента для вращения с последним конкурирует процесс циклизации.

текает примерно в четыре раза быстрее его распада на две молекулы пропилена [12]. В меньшей степени распад может протекать с образованием этилена и бутена-2. В реакции участвует бирадикал, время жизни которого достаточно велико, так что в нем успевает произойти внутреннее вращение, в результате чего наряду с цис-бутеном образуется и транс-бутен



Циклобутен и алкилциклобутины изомеризуются в бутадиен с «нормальным» предэкспонентом 10^{13} сек⁻¹ и энергией активации 32,5—36 ккал/моль. Гипотетический бирадикальный промежуточный продукт в этом случае показан ниже



Строение молекулы циклобутена, по-видимому, не допускает резонанса аллильного типа в переходном комплексе. Образующиеся при разрыве связи π -электронные орбитали направлены под прямым углом к двойной связи, поэтому трудно ожидать сильного взаимодействия между ними. Это дает основание предполагать, что рассматриваемые реакции протекают не по бирадикальному, а по молекулярному механизму. Предэкспоненциальные множители, вычисляемые для обоих механизмов, одинаковы, так как в обоих случаях переходное состояние должно быть очень жестким. Увеличение энтропии в суммарном процессе составляет всего 3,0 кал/(моль·град).

бутадиен с «нормальным» предэкспонентом 10^{13} сек⁻¹ и энергией активации 32,5—36 ккал/моль. Гипотетический бирадикальный промежуточный продукт в этом случае

Таблица III.8

Аррениусовские параметры реакций распада малых циклов

Литера- тура к таблице	Реакция	$T_m, ^\circ\text{K}$	$\lg A (\text{сек}^{-1})$	$E, \text{ккал/моль}$
1	$\text{CH}_2-\text{CH}_2-\overset{ }{\text{CH}_2} \rightarrow \text{CH}_3-\text{CH}=\text{CH}_2$	770	15,2	65
2	<i>цис</i> -Дидейтероциклогептан \rightarrow <i>транс</i> -дидейтероциклогептан	720	16,1 (15,12) ^a	65,1 (65,4)
3	$\text{CH}_3-\overset{ }{\text{CH}}-\overset{ }{\text{CH}_2}-\overset{ }{\text{CH}_2} \rightarrow n\text{-C}_4\text{H}_8$ (<i>цис</i> и <i>транс</i>) ^b \rightarrow <i>изо</i> - C_4H_8	740	15,4 14,62	65,0 66,0
4	$\text{CH}_2=\text{CH}-\overset{ }{\text{CH}}-\overset{ }{\text{CH}_2}-\overset{ }{\text{CH}_2} \rightarrow \text{CH}_2-\overset{ }{\text{CH}}=\overset{ }{\text{CH}}-\overset{ }{\text{CH}_2}-\overset{ }{\text{CH}_2}$ \rightarrow пентадиен-1,4 \rightarrow пентадиен-1,3	640	13,6 14,4 $\left. \begin{array}{l} 13,0 \\ (транс) \\ 13,9 \\ (цис) \end{array} \right\}$	49,7 57,3 $\left. \begin{array}{l} 53,6 \\ 56,2 \end{array} \right\}$
5	$\text{CH}_3-\overset{ }{\text{CH}}-\overset{ }{\text{CH}_2}-\overset{ }{\text{CH}}-\text{CH}_3$ (<i>цис</i>) ^b \rightarrow <i>транс</i>	690	15,25	59,4
6	$\text{C}_6\text{H}_5-\overset{ }{\text{CH}}-\overset{ }{\text{CH}_2}-\overset{ }{\text{CH}}-\text{C}_6\text{H}_5$ (<i>цис</i>) \rightarrow <i>транс</i> (жидк.)	460	11,2	33,5
7	Циклобутан $\rightarrow 2\text{C}_2\text{H}_4$	730	15,6	62,5
8	<i>цис</i> -Диметилциклогептан \rightarrow <i>транс</i> $\rightarrow 2\text{C}_3\text{H}_6$	690 680	14,81 15,48	60,1 60,4

	$\rightarrow C_2H_4 +$ бутен-2	680	15,57	63,4
9	Ацетилцикlobutan $\rightarrow CH_3COCH=CH_2 + C_2H_4$	660	14,53	54,5
10	Метиленцикlobutan $\rightarrow CH_2=C=CH_2 + C_2H_4$	710	15,7	63,0
11	Цикло- $C_4F_8 \rightarrow 2C_2F_4$	830	15,95	74,1
12	$FC(Cl)-CF_2-CF_2-CFCl \rightarrow 2CF_2=CFCl$ <i>цис</i> \rightarrow <i>транс</i> <i>транс</i> \rightarrow <i>цис</i>	740 720 720	15,4 15,1 14,9	65,3 60,2 60,2
13	$CH_2CH_2O \rightarrow CH_3CHO$	670	14,2	57,0
14	$CH_2CH_2CH_2O \rightarrow C_2H_4 + CH_2O$	710	14,8	60,0
15	$CH_2CH_2CH_2-N=N \rightarrow$ циклопропан + $N_2 +$ пропилен	500	15,5	42,4
15, 16	$CH_3CHCH_2CH(CH_3)N=N$ (цис или транс) \rightarrow диметилцикло- пропан + $N_2 +$ пентен-2 (цис или транс)	500	15,2	40,3
17	$CH_2CF_2-O \rightarrow CF_2O + \dot{C}F_2$	360	13,7	31,6
18	Циклобутен \rightarrow бутадиен	390	13,1	32,6

a) В скобках приведены аррениусовские параметры образования пропилена из цикло- $C_3H_4D_2$. Так как реакция проходит через образование бирадикала, при циклизации которого с равной вероятностью образуются цис- и транс-дидейтероциклопропаны, скорость раскрытия цикла вдвое больше скорости цис-транс-изомеризации.

b) В продуктах реакции содержатся бутен-1, цис-бутен-2 и транс-бутен-2 в соотношении 4 : 2 : 1.

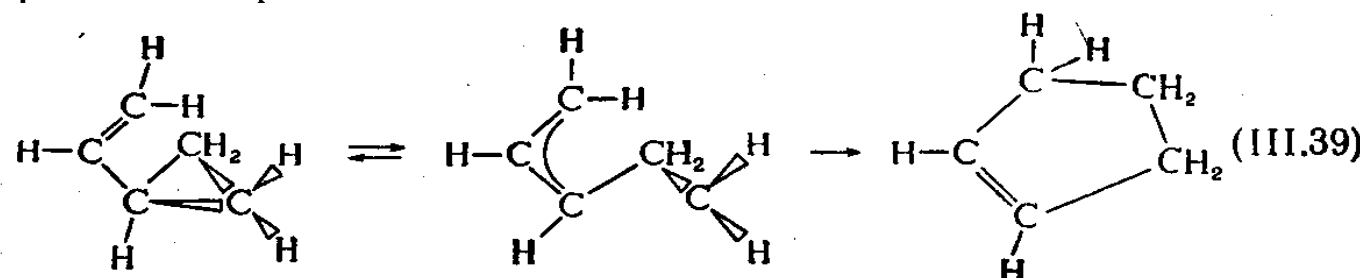
b) Суммарная скорость образования бутенов и пентенов в 100 раз меньше.

Продолжение

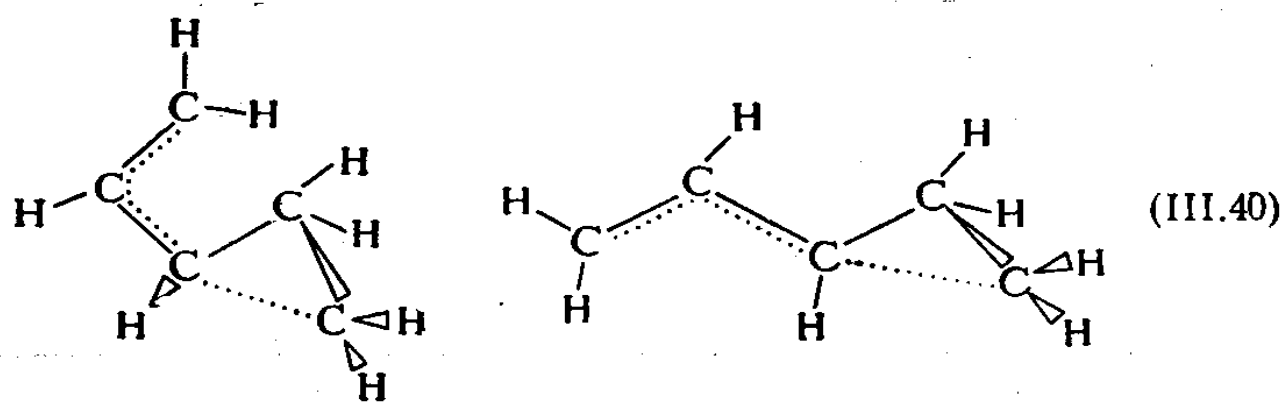
Литера- тура к таблице	Реакция	$T_m, ^\circ\text{K}$	$\lg A(\text{сек}^{-1})$	$E, \text{кал/моль}$
19	3-Метилпентобутен \rightarrow 1,3-пентадиен (<i>транс</i>)	390	13,5	31,6
20	1-Метилпентобутен \rightarrow изопрен	420	13,8	35,1
21	Перфторбутадиен \rightarrow циклобутен	500	12,1	35,4
1.	Chambers T. S., Kistiakowsky G. B., J. Am. Chem. Soc., 56 , 899 (1934).			
2.	Schlag E. W., Rabinovitch B. S., J. Am. Chem. Soc., 82 , 5993 (1960).			
3.	Placzek D. W., Rabinovitch B. S., J. Chem. Phys., 69 , 2141 (1965).			
4.	Wellington C. A., J. Phys. Chem., 66 , 1671 (1962).			
5.	Flowers M. C., Frey H. M., Proc. Roy. Soc., A260 , 424 (1961); A257 , 122 (1960).			
6.	Rodewald L. B., DePuy C. H., Tetrahedron Letters, 40 , 2951 (1964).			
7.	Carr R. W., Jr., Walters W. D., J. Phys. Chem., 67 , 1370 (1963).			
8.	Gerberich H. R., Walters W. D., J. Am. Chem. Soc., 83 , 3935, 4884 (1961).			
9.	Paignault L. G., Walters W. D., J. Am. Chem. Soc., 80 , 541 (1958).			
10.	Chesick J. P., J. Phys. Chem., 65 , 2170 (1961).			
11.	Atkinson B., Trenwith A. B., J. Chem. Soc., 1953 , 2082.			
12.	Atkinson B., Stedman M., J. Chem. Soc., 1962 , 512.			
13.	Neufeld M. L., Blades A. T., Can. J. Chem., 41 , 2956 (1963); Benson S. W., J. Chem. Phys., 40 , 105 (1964).			
14.	Bittker D. A., Walters W. D., J. Am. Chem. Soc., 77 , 1429 (1955).			
15.	Crawford R. J., Dummeil R. T., Mishra A., J. Am. Chem. Soc., 87 , 3024 (1965).			
16.	Crawford R. J., Mishra A., J. Am. Chem. Soc., 87 , 3768 (1965).			
17.	Lenze M., Melle A., J. Chem. Phys., 43 , 1974 (1965).			
18.	Cooper W., Walters W. D., J. Am. Chem. Soc., 80 , 4220 (1958).			
19.	Frey H. M., Trans. Faraday Soc., 60 , 83 (1964).			
20.	Frey H. M., Trans. Faraday Soc., 58 , 957 (1962).			
21.	Schlag E. W., Peatman W. B., J. Am. Chem. Soc., 86 , 1676 (1964).			

Бирадикальный механизм был бы энергетически выгодным, если бы энергия аллильного резонанса в переходном состоянии достигала хотя бы $\frac{2}{3}$ своего обычного значения.

В табл. III.8 дана сводка кинетических данных для распада малых циклов, в том числе гетероциклов. Неожиданным подтверждением гипотезы о бирадикальном механизме является одновременное снижение энергии активации и предэкспонента в тех случаях, когда в молекуле имеются группы, вызывающие сопряжение, например винильная, карбонильная, фенильная. Нужно отметить, что при пиролизе винилциклогептана в качестве основного продукта образуется циклопентен. Механизм реакции приведен ниже:



Следует заметить, что полный аллильный резонанс возможен лишь в том случае, когда винильная группа находится в неблагоприятном цис-положении относительно одной из связей C—C в цикле. Если же винильная группа находится в транс-положении по отношению к центру кольца, геометрия образующегося жесткого аллильного радикала препятствует образованию пятичленного цикла, как показано ниже



Цис-конфигурация переходного состояния

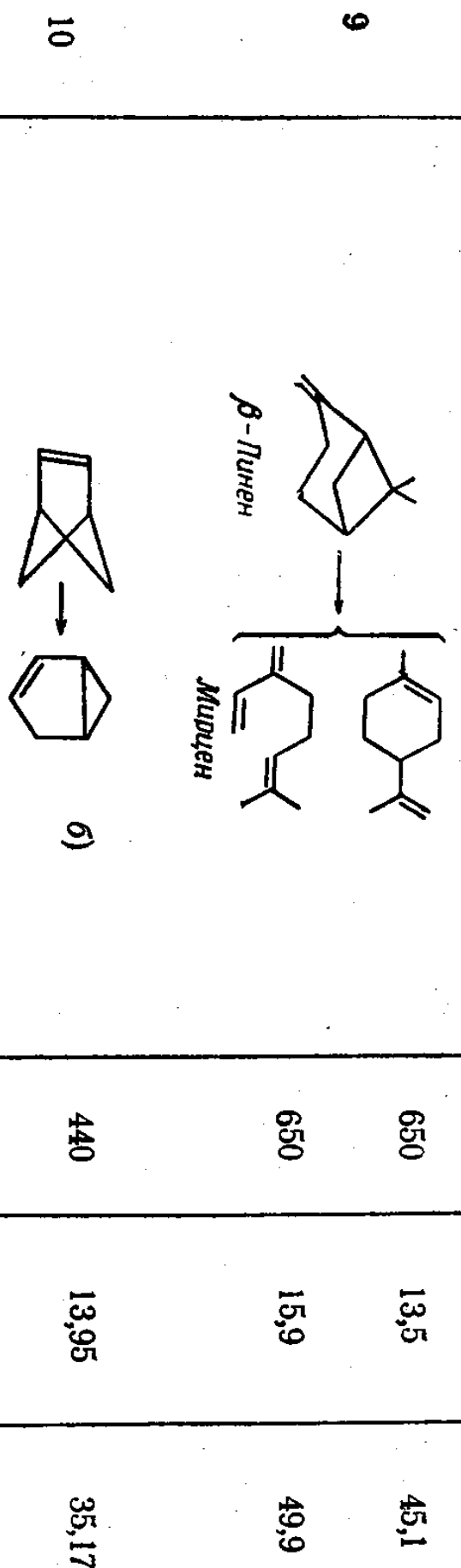
Транс-конфигурация переходного состояния

Образование пентадиена из транс-формы все же возможно, но со значительно большей энергией активации.

Таблица III.9

Аррениусовские параметры пиролиза некоторых бициклических соединений

Литература к таблице	Реакция	T_m , °К	$\lg A$ (сек $^{-1}$)	E, ккал/моль
1		550	14,58 (14,1)	46,6 (46,4)
2	{ → циклопентен → $\text{CH}_2 = \text{CHCH}_2\text{CH} = \text{CH}_2$	600	14,4	52,3
3		450	14,45	38,9
4	→ транс ^{a)} (из)	450	13,4	36,0
5	→ гексадиен-1,5 { → циклогексен → 1-метилциклопентен	630	15,17	55,0
6	→ $\text{CH}_2 = \text{CH}(\text{CH}_3) - \text{CH}(\text{CH}_3) = \text{CH}_2$	700 730	13,29 13,89	57,4 61,17
7	→ $\text{C}_2\text{H}_4 +$ циклопентадиен	500	14,5	43,3
			13,78	42,8



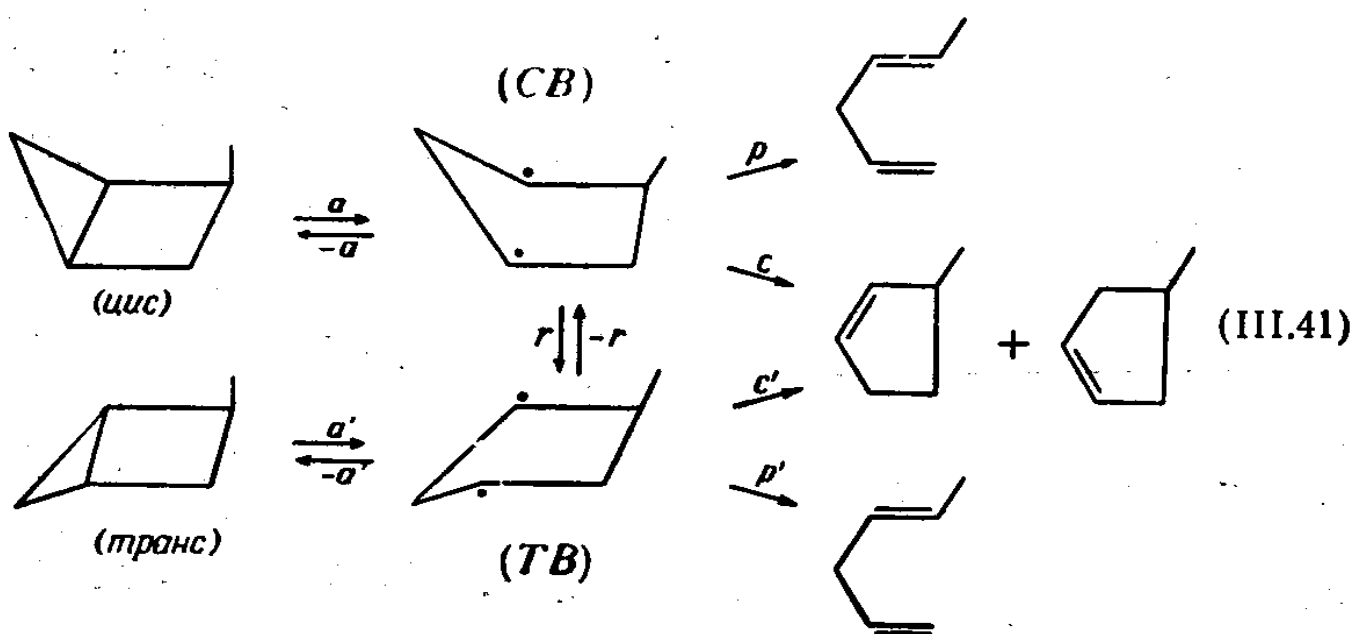
a) $K_{eq} = \frac{чис}{транс} = 0,58$ при 220°C .

б) Сопоставление приведенных экспериментальных значений A и E с оценками для бирадикального и мономолекулярного механизма свидетельствовало в пользу последнего. — Прим. перев.

1. Halberstadt M. L., Chesick J. P., J. Am. Chem. Soc., **84**, 2688 (1962).
2. Steel C., Zand R., Hurwitz P., Cohen S. G., J. Am. Chem. Soc., **86**, 679 (1964).
3. Chesick J. P., J. Am. Chem. Soc., **84**, 3250 (1962).
4. Srinivasan R., Levi A. A., J. Am. Chem. Soc., **85**, 3363 (1963).
5. Frey H. M., Smith R. C., Trans. Faraday Soc., **58**, 697 (1962).
6. Chesick J. P., J. Phys. Chem., **68**, 2033 (1964).
7. Herndon W. C., Cooper W. B., Chambers M. J., J. Phys. Chem., **68**, 2016 (1964).
8. Harkness J. B., Kistiakowsky G. B., Mears W. H., J. Chem. Phys., **5**, 682 (1937).
9. Hawkins J. E., Vogh J. W., J. Phys. Chem., **57**, 902 (1955).
10. Frey H. M., Hopkins R. G., O'Neal H. E., Chem. Commun., **1969**, 1069.

Сравнение реакций алкилзамещенных циклопропанов и цикlobутанов с реакциями соответствующих винилзамещенных соединений показывает, что в последнем случае энергия активации меньше на 13 ккал/моль, а предэкспонент ниже примерно в 10 раз. Именно такого снижения энергии активации можно было бы ожидать в случае, когда скорость процесса контролируется реакцией образования аллильного бирадикала (III.39), так как энергия стабилизации такого радикала составляет $12,6 \pm 1$ ккал/моль. Снижение предэкспонента объясняется потерей заторможенного вращения винильной группы, т. е. снижением ΔS^\ddagger на 6 кал/(моль·град). Аналогично введение в молекулу фенильной группы вызывает уменьшение энергии активации на 13 ккал/моль (энергия резонанса бензильного радикала) и предэкспонента, обусловленное снижением энтропии на 7 кал/(моль·град) при потере вращения фенильной группы. Близкие величины обнаружены для изомеризации цис-дифенилциклоопропана (см. табл. III.7). Более точное сравнение затруднено, поскольку эта реакция жидкофазная (правда, на ее аррениусовские параметры не должен влиять растворитель).

С бирадикальным механизмом того же типа согласуются результаты исследования пиролиза полициклических углеводородов, которые представлены в табл. III.9. По бирадикальному механизму, несомненно, протекает цис-транс-изомеризация 2-метил-2,1,0-бициклопентана:



Энергия активации изомеризации на 7,7 ккал/моль меньше энергии образования циклопентена, являющегося продуктом реакции 2,1,0-бициклопентена. Оказалось, что энергия активации процесса миграции атома Н из положения 1 в положение 2 в 1,3-бирадикале составляет 11 ккал/моль. Из этого в данном случае следует, что реакция инверсии цикла (*r*), так же как обратная реакция (*-a*), должна протекать с энергией активации, на 8 ккал/моль меньшей, чем перенос атомов Н в бирадикалах (реакция *c*).

Используя значение ΔH_f° бициклопентана, можно подсчитать величину ΔH_a для превращения 1,3-бирадикала, которая при 298° К оказывается равной 30 ккал/моль. Для стационарного состояния реакции изомеризации, пренебрегая обратной и побочными более медленными стадиями, можно записать

$$\frac{-d(\text{cis})}{dt} = k'_{-a} (\text{TB}) \quad (\text{III. 42})$$

и

$$\frac{-d(\text{cis})}{dt} = \frac{k_r k_a k'_{-a} (\text{cis})}{k_r k'_{-a} + k_{-a} k_{-r} + k_{-a} k'_{-a}} \quad (\text{III. 43})$$

и для наблюдаемой константы скорости первого порядка

$$k_{\text{obs}} = \frac{1}{(\text{cis})} \frac{d(\text{cis})}{dt} = \frac{k_r K_a}{1 + k_r/k_{-a} + k_r/k'_{-a}}, \quad (\text{III. 44})$$

где $K_a = k_a/k_{-a}$.

Если стадии инверсии цикла (*r*) и (*r'*) медленные по сравнению со стадиями циклизации (*-a*) и (*-a'*), имеем предельный случай медленной инверсии и

$$k_{\text{obs}} \rightarrow k_r K_a. \quad (\text{III. 45})$$

В другом предельном случае, т. е. при быстрой инверсии,

$$k_{\text{obs}} \rightarrow \frac{k_a}{1 + \frac{k'_r k_{-a}}{k_r k'_{-a}}} \approx \frac{k_a}{2}. \quad (\text{III. 46})$$

При медленной инверсии наблюдаемая энергия активации $E_{\text{obs}} = \Delta H_a + E_r$, откуда $E_r = 8,9$ ккал/моль. При быстрой инверсии $E_{\text{obs}} = E_a$, поэтому $E_{-a} = 8,9$ ккал/моль.

Эта величина сравнима со значением 10 ккал/моль, которое необходимо для образования циклопропанового кольца из 1,3-бирадикала. Таким образом, полученное значение кажется вполне приемлемым. Условием быстрой инверсии является неравенство $E_r < 8,9$ ккал/моль. Для циклогексана методом ЯМР получено значение высоты барьера инверсии, равное 10 ккал/моль. Для цикlopентанов эта величина должна быть заметно меньше, так как у них возможно быстрое «псевдовращение», приводящее к инверсии цикла. Применив метод стационарных концентраций для расчета скорости образования цикlopентена, получим, что энергия активации (E_c) миграции водорода в бирадикале (реакция *c*) равна 16,6 ккал/моль, а не 11 ккал/моль, как в триметиленовом бирадикале. Это можно объяснить тем, что в переходном состоянии этой реакции четыре атома углерода, образующие цикл, должны лежать в одной плоскости, и поэтому наблюдаемая величина энергии активации характеризует не только миграцию водорода, но и инверсию цикла. Таким образом, для инверсионного барьера может быть получено вполне допустимое значение 5 ккал/моль.

Количественный анализ бирадикального механизма пиролиза малых циклов на основе представлений о «рыхлых» переходных состояниях [13] позволил определить предэкспоненты с точностью до $10^{\pm 0,3}$ сек⁻¹ и энергии активации с точностью ± 2 ккал/моль. «Рыхлость» переходного состояния реакции раскрытия цикла состоит в том, что оно по своему строению близко к продукту реакции, т. е. к свободному бирадикалу. Это не удивительно, поскольку и при рекомбинации радикалов переходное состояние имеет «рыхлый» характер. Координата реакции различна для циклов разного размера. Так, при циклизации триметиленового бирадикала $\dot{\text{C}}\text{H}_2-\text{CH}_2-\dot{\text{C}}\text{H}_2$ это — низкочастотное (400 см^{-1}) деформационное колебание C—C—C. В случае тетраметиленового радикала координатой реакции является вращение двух групп $\dot{\text{C}}\text{H}_2-\text{CH}_2-$ относительно центральной связи C—C.

В качестве примера вычислим предэкспонент цис-транс-изомеризации цис-дидейтероцикlopропана при 800° К. Вначале определим S° и C_p° для бирадикала

$\dot{\text{C}}\text{H}_2\text{CH}_2\dot{\text{C}}\text{H}_2$ при 298°K . Примем в качестве исходного соединения C_3H_8 и внесем поправки, перечисленные в табл. III.10 (при этом считаем, что триплетных состояний не образуется). Для реакции циклопропан \rightarrow пропан

Таблица III.10
Энтропия и теплоемкость trimетиленового бирадикала

Поправки	ΔS_{298}° , каль/(моль·град)	ΔC_{pT}° , кал/(моль·град)
На симметрию потерю двух валентных колебаний $\text{C}-\text{H}$ (3100 см^{-1})	+ 1,6 0,0	300° 0,0 500° - 0,1 800° - 0,5
потерю четырех деформационных колебаний CH_2 (1450 см^{-1})	0,0	- 0,4 - 2,2 - 4,6
снижение величины двух барьеров с 3 до 2 ккал	+ 0,8	- 0,2 - 0,6 - 0,4
Суммарная величина	+ 2,4	- 0,6 - 2,9 - 5,5

значение ΔS_{298}° составляет $9,9 + R \ln K_\sigma = 7,7 \text{ кал}/(\text{моль} \times \text{град})$, а значения $\Delta C_{pT}^\circ = 4,4, 4,4$ и $5,8 \text{ кал}/(\text{моль} \times \text{град})$ при $300, 500$ и 800°K . Откуда для реакции циклопропан \rightarrow бирадикал $\Delta S_{298}^\circ = 10,1 \text{ кал}/(\text{моль} \cdot \text{град})$, а $\Delta C_{pm}^\circ = 1,6 \text{ кал}/(\text{моль} \cdot \text{град})$. При образовании переходного состояния из бирадикала число симметрии снижается с 8 до 2. Кроме того, исчезает деформационное колебание $\text{C}-\text{C}-\text{C}$ (420 см^{-1}). При 800°K это соответствует снижению в ΔS^\ddagger на $2,6 \text{ кал}/(\text{моль} \cdot \text{град})$. Однако это снижение компенсируется членом $R \ln 4$, в результате чего суммарное значение $\Delta S_{298}^\ddagger = + 0,2 \text{ кал}/(\text{моль} \cdot \text{град})$. Учитывая значение ΔC_{pm}° при 800°K , найдем, что $\Delta S_{800}^\ddagger = 1,8 \text{ кал}/(\text{моль} \cdot \text{град})$. Таким образом, для образования переходного состояния из циклопропана $\Delta S_{800}^\ddagger = 10,1 + 1,8 = 11,9 \text{ кал}/(\text{моль} \cdot \text{град})$, а предэкспонент реакции размыкания цикла

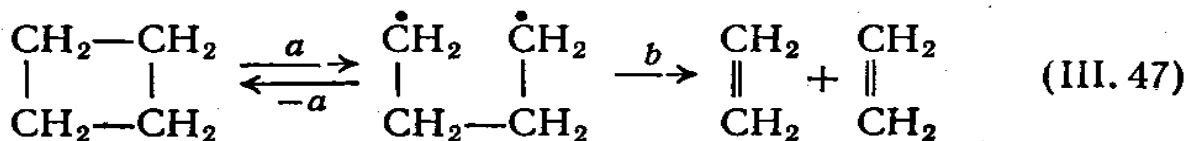
$$A = \left(\frac{ekT}{h} \right) e^{\Delta S^\ddagger / R} = 10^{13,64 + 2,60} = 10^{16,24} \text{ сек}^{-1}.$$

Чтобы сравнить полученное значение с экспериментом, необходимо предположить, что скорость изомеризации контролируется стадией размыкания цикла. Тогда, если считать, что цис- и транс-конфигурации возникают при замыкании цикла с равной вероятностью*, расчетное значение можно сравнить с удвоенной величиной предэкспонента реакции изомеризации, приведенного в табл. III. 7, т. е. с величиной $10^{16,4 \pm 0,3}$ сек⁻¹. Как видим, совпадение очень хорошее.

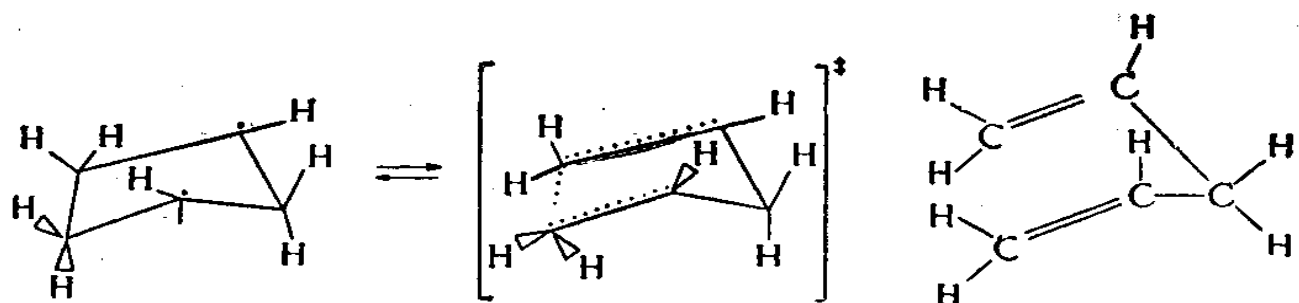
Такое же сравнение возможно и для реакции образования пропилена при распаде замещенных циклов C₃ и C₄. Оно также приводит к хорошему совпадению расчета и эксперимента.

III. 11. ПРОСТРАНСТВЕННЫЕ ЗАТРУДНЕНИЯ И РЕЗОНАНС В ПЕРЕХОДНОМ СОСТОЯНИИ

Возможно, наиболее интересной особенностью пиролиза бицикло(2, 1, 0)пентана является низкая скорость, с которой в циклическом бирадикале происходит раскрытие цикла с образованием диена. Анализ реакций циклобутана позволяет заключить, что энергия активации распада 1,4-бирадикала на две молекулы олефина составляет приблизительно 6 ккал/моль



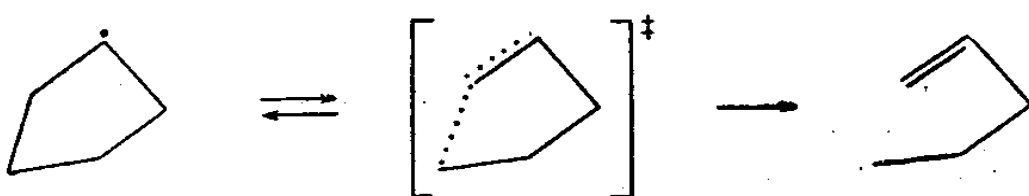
Для цикlopентанового бирадикала энергия активации раскрытия цикла составляет уже около 22 ккал/моль (табл. III. 9). Причину столь заметного возрастания энергии активации можно приписать пространственным затруднениям, которые встречает резонанс. Чтобы переход



* То, что это так, следует из сравнения относительных скоростей замыкания цикла и вращения.

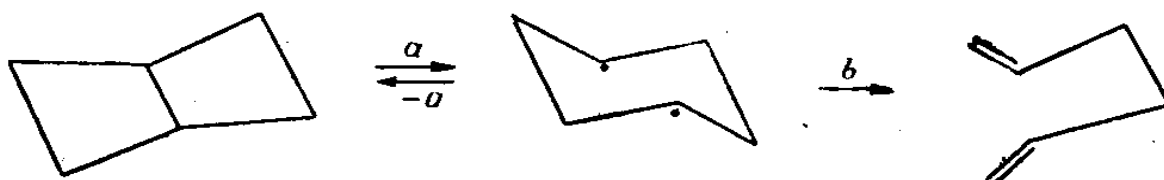
к диену стал возможен в циклопентадиенильном 1,3-бирадикале, вершина цикла должна быть наклонена по отношению к остальной части цикла почти на 90° , чтобы электроны разрываемой связи C—C могли взаимодействовать со свободными электронами бирадикала, образуя π -связи диена.

Аналогичные пространственные затруднения возникают, как было показано [14, 15], при изомеризации циклопентильного радикала



Эндотермичность этой реакции составляет 17 ккал/моль, наблюдаемая энергия активации равна 37 ккал/моль. Поэтому высота энергетического барьера равна около 20 ккал/моль, что очень близко к значению 22 ккал/моль, определенному для бирадикала.

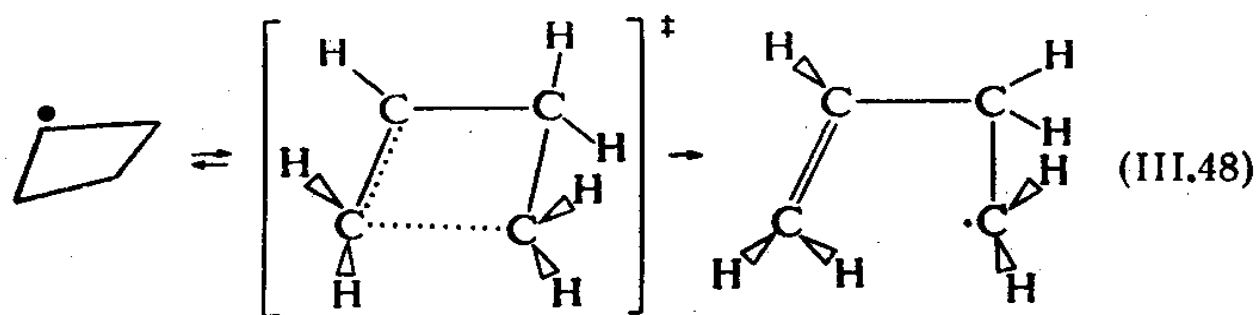
Обратная картина наблюдается при пиролизе бицикло(2,2,0)гексана, который через циклогексадиенильный 1,4-бирадикал дает гексадиен-1,5:



В случае ненапряженной конфигурации шестичленного цикла («кресла») образование π -связей электронами разрываемой связи и неспаренными электронами не сопровождается значительными деформациями структуры переходного состояния. Для бицикло(2,2,0)циклогексана можно определить $\Delta H_f^\circ = 29$ ккал/моль, приняв, что напряжение цикла в нем вдвое больше, чем в циклобутане. Так как для бирадикала $\Delta H_f^\circ \approx 55,5$ ккал/моль, то $\Delta H_a = 27,5$ ккал/моль. Если учесть, что наблюдаемая энергия активации равна 36,0 ккал/моль, то для энергии активации раскрытия цикла получим неравенство $E_b \leq$

$\leq 8,5$ ккал/моль. Сравнивая это значение с величиной 22 ккал/моль, полученной для цикlopентильного бирадикала, и значением 6 ккал/моль, полученным для тетраметиленового бирадикала, можно отметить, что образование переходного состояния в шестичленном цикле требует энергии активации в 2,5 ккал/моль. Более правдоподобным кажется, однако, приписать эти 8,5 ккал/моль стадии ($-a$). В таком случае эта величина будет характеризовать энергию деформации бирадикала, которую необходимо преодолеть при образовании сильно напряженного бицилогексана. Тогда скорость суммарного процесса будет контролироваться реакцией (a).

В качестве последнего примера можно рассмотреть реакцию циклобутильного радикала. Энергия активации раскрытия цикла в этом радикале



составляет 18 ккал/моль [16], несмотря на то что эндо-термичность суммарной реакции равна 3 ккал/моль. В этом радикале разрываемая связь направлена под прямым углом к образующейся π -связи, поэтому взаимодействие π -электронов в переходном состоянии очень мало.

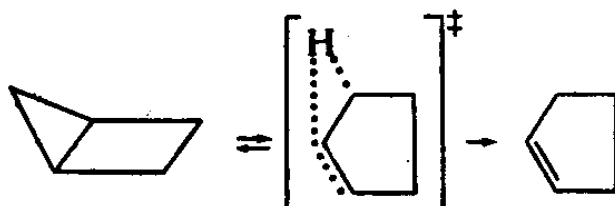
III. 12. РАСЧЕТ ПРЕДЕКСПОНЕНЦИАЛЬНЫХ МНОЖИТЕЛЕЙ РАСПАДА ЦИКЛОВ

Предэкспоненты реакций распада бициклических углеводородов удается рассчитать с меньшей точностью, так как для этих соединений не известны энтропии. Однако, если вычислять энтропии бициклических соединений с помощью эмпирического метода, рассмотренного выше, можно добиться разумного совпадения измеренных и вычисленных значений A .

ПРИМЕР

Определим предэкспонент превращения бицикло(2,1,0)пентана с образованием циклопентена при 550° К.

Как следует из предыдущих разделов, стадия раскрытия цикла с образованием циклопентадиенильного бирадикала не является лимитирующей, так как циклизация происходит быстрее миграции атомов водорода. Именно эта реакция и определяет скорость суммарного процесса и для нее и следует вычислить ΔS^\ddagger . Механизм реакции приведен ниже



Начнем расчет с определения S° для бициклопентана. Будем считать, что его четырехчленный цикл жесткий и напоминает скорее циклобутен, чем циклобутан (т. е. для него невозможны псевдовращения), и воспользуемся приемами, описанными в разделе II.16. Будем исходить из диметилциклогептана, для которого на основании правил аддитивности $S_{int(298)} = 78,2 \text{ кал}/(\text{моль} \cdot \text{град})$. «Замыкая» четырехчленный цикл, вычтем из этой величины $2 \cdot 4,0 \text{ кал}/(\text{моль} \cdot \text{град})$ (в соответствии с табл. II.10), а затем вычтем еще $3,2 \text{ кал}/(\text{моль} \times \text{град})$, учитывая при этом различия между циклобутеном и циклобутаном (табл. II.11). В результате получим S_{298}° (бициклопентан) = = $67,0 \text{ кал}/(\text{моль} \cdot \text{град})$.

В переходном состоянии величина $S_{int(298)}$ должна быть почти такой же, как у циклопентена. Внеся поправку $+1,4 \text{ кал}/(\text{моль} \times \text{град})$, учитывающую существование оптических изомеров, получим $S_{298}^{\ddagger} = 70,6 \text{ кал}/(\text{моль} \cdot \text{град})$. Координатой реакции служит валентное колебание С—Н с частотой 3100 см^{-1} (табл. V.13). Соответствующий ему вклад в энтропию при 550° К равен нулю (табл. V.17). Пренебрегая малыми поправками, зависящими от ΔC_{pm} , получим $\Delta S^\ddagger = 3,6 \text{ кал}/(\text{моль} \cdot \text{град})$. Предэкспонент, определяемый выражением

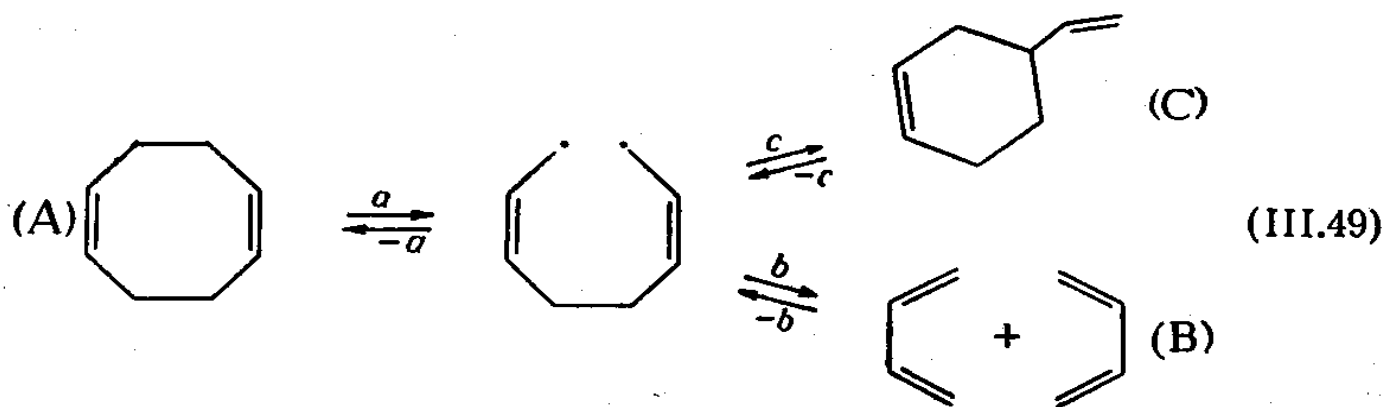
$$A = \left(\frac{ekT_m}{h} \right) e^{\Delta S^\ddagger / R},$$

при 550° К составит $10^{14,3} \text{ сек}^{-1}$. Эта величина прекрасно согласуется с двумя приводимыми в литературе значениями $10^{14,1}$ и $10^{14,6} \text{ сек}^{-1}$ (табл. III.9).

III.13. РЕАКЦИЯ РЕТРОДИЕНОВОГО СИНТЕЗА

Как отмечалось в разд. III.10, имеются достаточно веские экспериментальные доказательства того, что пиролиз циклов C_3 и C_4 протекает по бирадикальному механизму. Последние результаты свидетельствуют о том,

что по такому же механизму протекает распад шестичленных циклов. При пиролизе циклооктадиена-1,5 при низких температурах образуется 4-винилциклогексен, а при более высоких — бутадиен [17]. Тот факт, что 4-винилциклогексен не образует бутадиена при повышенных температурах, является убедительным доводом в пользу того, что оба углеводорода имеют один и тот же промежуточный продукт их образования. Единственным таким промежуточным продуктом может являться бирадикал аллильного типа



В стационарном состоянии

$$\frac{d [C]}{dt} = \frac{k_c k_a [A]}{k_b + k_c + k_{-a}}, \quad (\text{III.50})$$

$$\frac{d [B]}{dt} = \frac{2k_b k_a [A]}{k_b + k_c + k_{-a}} = 2k_B [A]. \quad (\text{III.51})$$

Кажущиеся константы скорости первого порядка равны (в сек^{-1})

$$k_C = 10^{14,45 - 49/0}; \quad k_B \approx 10^{15,7 - 55/0}. \quad (\text{III.52})$$

Если считать, что энергия напряжения циклооктадиена-1,5 такая же, как и циклооктена, то $\Delta H_a^\circ = 49 \pm \pm 1,5 \text{ ккал/моль}$, причем погрешность этой величины обусловлена главным образом неточностью, с которой известна энергия напряжения диена.

Кажется разумным предположение о том, что энергия активации замыкания шести- и восьмичленных циклов равна нулю. В этом случае $k_c \gg k_{-a}$, так как предэкспонент образования шестичленного цикла должен быть по крайней мере в 4 раза выше, чем предэкспонент образования восьмичленного цикла. Это связано с различием

симметрии и числа оптических изомеров для переходных состояний этих реакций. Каждущаяся энергия активации образования винилциклогексана определяется выражением

$$E_C \approx E_a - \left(\frac{k_b}{k_b + k_c} \right) E_b. \quad (\text{III. 53})$$

Разность составляет 6 ккал/моль, что следует из температурной зависимости отношения начальных концентраций этих продуктов. Приравняв $(E_b - E_c) \approx E_b$ и учитывая, что $k_b/(k_b + k_c) \approx 0,10$, находим $E_a = 49,6$ ккал/моль. Поскольку энергия активации E_c , как было предположено, равна нулю, то E_a должна совпадать с $\Delta H_a^\circ = 49 \pm 1,5$ ккал/моль, а это и наблюдается.

В качестве следующего шага можно вычислить $\Delta H_b^\circ = -17,4$ ккал/моль. С помощью величины $E_b = 6$ ккал/моль можно определить $E_{-b} = 24,6$ ккал/моль. Столь близкое совпадение этой величины с наблюдаемой энергией активации образования винилциклогексена из двух молекул бутадиена может свидетельствовать о бирадикальном механизме этой реакции.

На основании экспериментальных значений констант скорости и термохимических данных можно записать температурные зависимости для всех стадий процесса *

$$\begin{aligned} k_a &= 10^{14,6-49,5/\theta} \text{ сек}^{-1}, \\ k_{-a} &= 10^{11,3} \text{ сек}^{-1}, \\ k_b &= 10^{13,3-6/\theta} \text{ сек}^{-1}, \\ k_{-b} &= 10^{8,0-26,0/\theta} \text{ л/(моль · сек)}, \\ k_c &= 10^{12,1} \text{ сек}^{-1}, \\ k_{-c} &= 10^{14,2-55,6/\theta} \text{ сек}^{-1}. \end{aligned} \quad (\text{III. 54})$$

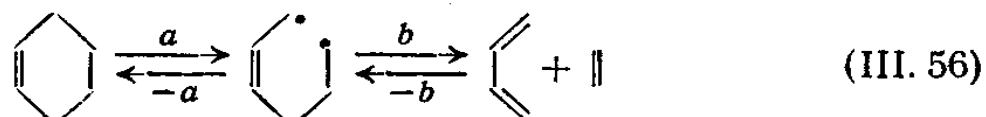
Для реакции пиролиза 4-винилциклогексена константу скорости первого порядка можно представить как

$$\frac{k_{-c} k_b}{k_c + k_b} \approx 10^{15,2-61,0/\theta} \text{ сек}^{-1}, \quad (\text{III. 55})$$

что прекрасно согласуется с наблюдаемым значением $10^{15,2-62,0/\theta}$ сек⁻¹. При определении приведенных выше

* Подробнее см. в работе [18].

величин были оценены изменения энтропий $\Delta S_a = -15,6 \text{ кал}/(\text{моль} \cdot \text{град})$ и $\Delta S_b = 33,4 \text{ кал}/(\text{моль} \cdot \text{град})$. В отличие от диссоциации 4-винилциклогексена, в которой лимитирующей стадией является распад линейного бирадикала, при диссоциации циклогексена лимитирующей является начальная стадия

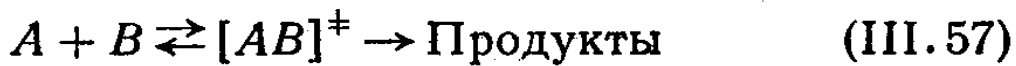


Значение $\Delta H_a^\circ = 66,9 \text{ ккал}/\text{моль}$ близко к наблюдаемой энергии активации $66,2 \text{ ккал}/\text{моль}$, откуда следует неравенство $k_b > k_{-a}$, что согласуется с предыдущим случаем при $k_{-a} \approx 10^{12,5} \text{ сек}^{-1}$ и $k_b \approx 10^{14,6-6/0} \text{ сек}^{-1}$. В результате для данной реакции получаем энергию активации более низкую, чем для реакции дибутадиенильного радикала с двойным сопряжением, что кажется вполне правдоподобным. Из-за различий в симметрии предэкспонент для стадии $-a$ должен быть вдвое ниже, чем для аналогичной реакции дибутадиенильного радикала. В то же время для раскрытия шестичленного цикла можно ожидать значительно более высокого предэкспонента, поскольку при образовании переходного состояния из цикла C_8 энтропия снижается больше, чем в случае цикла C_6 .

На основании наблюдаемого значения $A = 10^{15,2} \text{ сек}^{-1}$ (табл. III. 6) можно определить $\Delta S^\ddagger = 7 \text{ кал}/(\text{моль} \cdot \text{град})$. Такая величина изменения энтропии указывает на то, что переходное состояние является чем-то промежуточным между циклом и свободным бирадикалом.

III. 14. КЛАССИФИКАЦИЯ БИМОЛЕКУЛЯРНЫХ РЕАКЦИЙ

Для предэкспонента бимолекулярной реакции

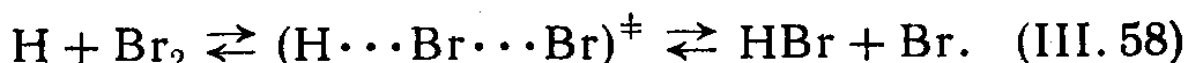


теория переходного состояния дает следующее выражение:

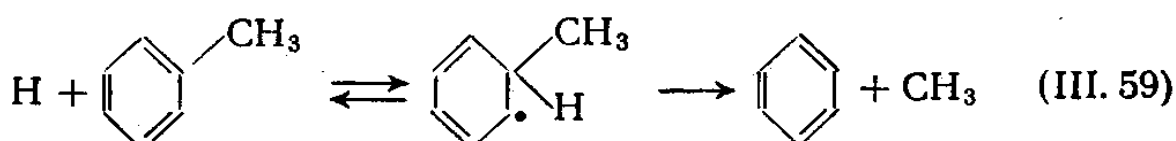
$$A = \frac{ekT}{h} \exp \left(\frac{\Delta S_p^\ddagger}{R} \right),$$

где ΔS_p^\ddagger — мольное изменение энтропии ($\Delta S_p^\ddagger < 0$) при образовании переходного состояния *.

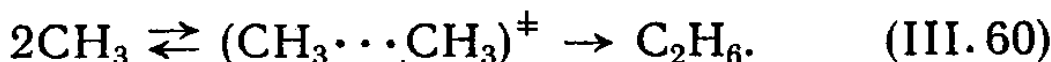
Можно выделить три типа бимолекулярных реакций. Реакцией первого типа является отрыв или замещение, в которой атом переходит от *A* к *B*. Примером такой реакции является хорошо известная стадия продолжения цепного процесса



Ко второму типу бимолекулярных реакций относятся реакции вытеснения или обмена, которые особенно характерны для ненасыщенных молекул, например **



Наконец, к последней категории относятся реакции ассоциации. Их наиболее типичный пример — рекомбинация радикалов



Следует иметь в виду, что реакции вытеснения в действительности являются сложными. Они включают образование промежуточного продукта присоединения радикала или атома к молекуле. Ввиду того что эти реакции обычно экзотермичны, аддукт, как правило, должен находиться в колебательно-возбужденном состоянии и иметь очень короткое время жизни в газовой фазе. Поэтому реакции этого типа протекают через два различных переходных состояния.

Колебательно-возбужденные частицы, образующиеся в реакции ассоциации, которые не успели потерять

* Это определение зависит от выбора стандартных состояний. В данном случае стандартное состояние выражено в единицах давления. Если пользуются величиной ΔS_c^\ddagger , основанной на единицах концентрации, энергия активации будет выше на RT , а в предэкспоненте будет содержаться коэффициент e^2 . То же относится к уравнению Аррениуса для реакций второго порядка.

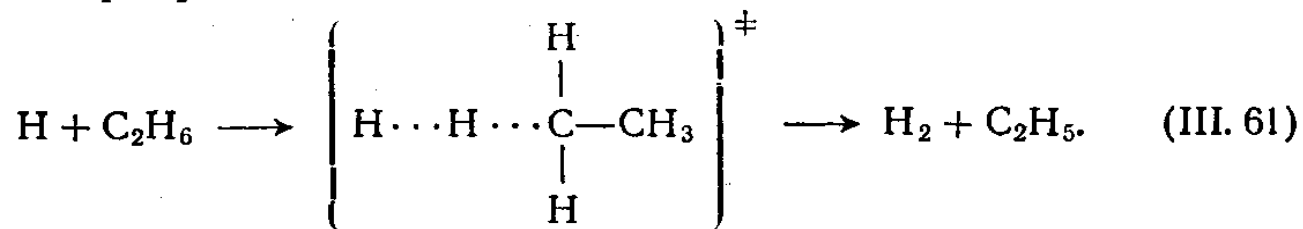
** Их также часто называют реакциями замещения. — Прим. перев.

избыток энергии при столкновениях, неизбежно претерпевают распад с образованием либо исходных, либо более стабильных продуктов. Если скорость этой диссоциации велика по сравнению с частотой столкновений, лимитирующей стадией будет потеря энергии при столкновениях. В этом случае будет наблюдаться переход к третьему порядку. Такие реакции мы будем называть процессами передачи энергии.

Следует отметить, что во всех случаях, когда переходное состояние образуется в результате бимолекулярного процесса, обратная реакция является мономолекулярной диссоциацией, константу скорости которой можно вывести, как это показано в предыдущих разделах.

III. 15. НИЖНИЙ ПРЕДЕЛ ПРЕДЭКСПОНЕНТА БИМОЛЕКУЛЯРНОЙ РЕАКЦИИ

Для расчета ΔS^\ddagger бимолекулярной реакции необходимо знать строение комплекса AB^\ddagger . Нижнюю границу этой величины (которая всегда отрицательна) можно легко получить, предположив, что комплекс AB имеет очень жесткое строение, другими словами, сравнив его с известными стабильными молекулами. Поясним это на примере реакции замещения



Определим S^\ddagger для комплекса ($\text{C}_2\text{H}_7^\ddagger$), сравнив его с C_2H_6 . Легко видеть, что его поступательная и вращательная энтропии заметно не изменяются по сравнению с C_2H_6 в результате присоединения атома водорода. Поэтому основные изменения S^\ddagger будут связаны с симметрией и спином ($\text{C}_2\text{H}_7^\ddagger$), т. е.

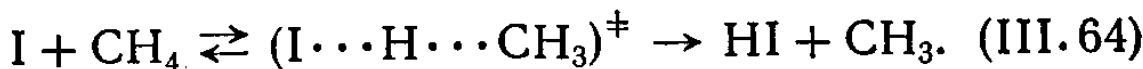
$$S^\ddagger(\text{C}_2\text{H}_7^\ddagger) \geq S^\ddagger(\text{C}_2\text{H}_6) + R \ln 6 + R \ln 2 \quad (\text{III. 62})$$

и

$$\Delta S^\ddagger = S^\ddagger(\text{C}_2\text{H}_7^\ddagger) - S^\ddagger(\text{C}_2\text{H}_6) - S^\ddagger(\text{H}) \geq -S^\ddagger(\text{H}) + R \ln 12. \quad (\text{III. 63})$$

При 400°K $\Delta S^\ddagger(400) \geq -24,1 \text{ кал/(моль} \cdot \text{град)}$ (при этом в качестве стандартного состояния принята 1 атм). Переходя к концентрационным единицам, необходимо добавить член $R \ln(eRT) = 9,0 \text{ кал/(моль} \cdot \text{град)}$, после чего получаем $\Delta S_c^\ddagger(400) \geq -15,1 \text{ кал/(моль} \cdot \text{град)}$ и $A = (ekT/h) \exp(\Delta S^\ddagger/R) \geq 10^{10,1} \text{ л/(моль} \cdot \text{сек)}$. Это значение A довольно хорошо совпадает со всеми приводимыми в литературе для таких реакций величинами, которые, как правило, близки к 10^{11} (табл. III.11). Некоторое расхождение станет понятным, если сделать вполне разумное предположение о том, что в переходном состоянии существуют два деформационных колебания H-H-C с частотами около 400 см^{-1} .

В качестве примера реакции тяжелого атома рассмотрим реакцию



Здесь $S^\ddagger \geq S^\circ(\text{CH}_3\text{I}) + R \ln 2$. В следующем приближении необходимо учесть увеличение вращательной энтропии в переходном комплексе по сравнению с CH_3I , связанное с большим расстоянием $\text{C} \cdots \text{I}$. Это расстояние можно определить, прибавив 1,4 Å к сумме нормальных ковалентных межъядерных расстояний $\text{C}-\text{H}$ и $\text{H}-\text{I}$. Получим $r(\text{C} \cdots \text{I}) = 4,3 \text{ Å}$, в то время как нормальное значение $r(\text{C}-\text{I})$ равно 2,10 Å. Так как энтропия зависит от $\frac{1}{2}(I_A I_B I_C)$, где I_A , I_B и I_C — проекции момента инерции на три оси, и $I \approx \sum m_i r_i^2$, то в результате изменения $r(\text{C}-\text{I})$ две из трех проекций момента инерции возрастают примерно в 4 раза каждая, и к нашей первой оценке S^\ddagger необходимо добавить $R \ln 4$. Таким образом, при 300°K

$$S^\ddagger \geq S^\circ(\text{CH}_3\text{I}) + R \ln 8, \quad (\text{III.65})$$

$$\Delta S^\ddagger \geq S^\circ(\text{CH}_3\text{I}) - S^\circ(\text{CH}_4) - S^\circ(\text{I}) + 4,2$$

и $\Delta S_c^\ddagger > -15,3 \text{ кал/(моль} \cdot \text{град)}$, а $A > 10^{10,1} \text{ л/(моль} \times \text{сек})$. Наблюданное значение (табл. III.11), равное $10^{11,7} \text{ л/(моль} \cdot \text{сек})$, значительно выше вычисленного, что

может служить указанием на наличие очень низкочастотных деформационных колебаний в переходном состоянии. Это различие может быть полностью скомпенсировано при 700° К двумя вырожденными маятниками.

Таблица III.11

Аррениусовские параметры реакций замещения с участием атомов^{a)}

Литература к табл. лице	Реакция	T_m , °К	$\lg A$ (сек ⁻¹)	E , ккал/моль
1	$\text{Br} + \text{H}_2 \rightarrow \text{HBr} + \text{H}$	620	10,8 (11,4) ^{б)}	18,2 (19,7)
2	$\text{I} + \text{H}_2 \rightarrow \text{HI} + \text{H}$	680	11,4	34,1
1	$\text{Cl} + \text{H}_2 \rightarrow \text{HCl} + \text{H}$	500	10,9 (10,7) [8]	5,5(5,3) [8]
3	$\text{O} + \text{O}_3 \rightarrow 2\text{O}_2$	380	10,5	5,7
1	$\text{Br} + \text{C}_2\text{H}_6 \rightarrow \text{HBr} + \text{C}_2\text{H}_5$	500	10,8	13,5
1	$\text{Cl} + \text{C}_2\text{H}_6 \rightarrow \text{HCl} + \text{C}_2\text{H}_5$	500	11,0	1,0
4	$\text{I} + \text{CH}_4 \rightarrow \text{HI} + \text{CH}_3$	630	11,7	33,5
5	$\text{H} + \text{C}_2\text{H}_6 \rightarrow \text{H}_2 + \text{C}_2\text{H}_5$	300— 1100	11,1	9,7
6	$\text{H} + \text{D}_2 \rightarrow \text{HD} + \text{D}$	900	10,6	8,0
4	$\text{I} + \text{CH}_3\text{I} \rightarrow \text{I}_2 + \text{CH}_3$	600	11,4	20,5
7	$\text{O} + \text{NO}_2 \rightarrow \text{O}_2 + \text{NO}$	330	10,3	1,0

^{a)} Подробный обзор по реакциям замещения с участием атомов можно найти в книге: Trotman-Dickenson A. F., Advances in Free Radicals, Academic Press, New York, vol. I, 1967.

^{б)} Данные для реакции $\text{Cl} + \text{H}_2$ см. на стр. 17 работы [1]. В скобках приведены «лучшие» значения, найденные Феттисом и Ноксом.

1. Fettis G. C., Knox J. H., Progress in Reaction Kinetics, Macmillan, New York, vol. 2, 1964.
2. Sullivan J. H., J. Chem. Phys., 30, 1292 (1959).
3. Benson S. W., Axworthy A. E., Jr., J. Chem. Phys., 42, 2614 (1965).
4. Flowers M. C., Benson S. W., J. Chem. Phys., 38, 882 (1963); Golden D. M., Walsh R., Benson S. W., J. Am. Chem. Soc., 87, 4053 (1965).
5. Baldwin R. R., Melvin A. J., J. Chem. Soc., 1964, 1785.
6. Boato G. et al., J. Chem. Phys., 24, 783 (1956).
7. Klein F. S., Herron J. T., J. Chem. Phys., 41, 1285 (1964).
8. Benson S. W., Cruikshank F. R., Shaw R., Int. J. Chem. Kin., 1 (1968).

выми колебаниями с частотой около 200 см^{-1} или учетом внутреннего вращения CH_3 в нелинейном комплексе.

В случае реакции $\text{CH}_3 + \text{I}_2$, у которой нет близкой аналогии для переходного состояния ($\text{CH}_3 \cdots \text{I} \cdots \text{I}$), мы используем $S(\text{I}_2)$, внеся поправку на дополнительную группу CH_3 . При 400°K вращательная энтропия возрастет на $4,0 \text{ кал}/(\text{моль} \cdot \text{град})$. Добавив вклады $1,4, 1,4$ и $2,0 \text{ кал}/(\text{моль} \cdot \text{град})$, связанные со спином, симметрией и увеличением моментов инерции в переходном состоянии соответственно, и вклад $6,4 \text{ кал}/(\text{моль} \cdot \text{град})$, связанный с двумя вырожденными деформационными колебаниями (C—I—I), имеющими частоту 150 см^{-1} , при 400°K получим

$$\Delta S_c^\ddagger \geq -48,8 + 15,2 + 9,1 = -24,5, \quad (\text{III.66})$$

$$A_c \geq 10^{8,0} \text{ л}/(\text{моль} \cdot \text{сек}).$$

Наблюдаемое значение предэкспонента ($10^{9,5}$) снова заметно выше. Мы связываем это с тем, что переходное состояние значительно более рыхлое [на $6,9 \text{ кал}/(\text{моль} \times \text{град})$]. Представляется оправданным приписать $1,5 \text{ кал}/(\text{моль} \cdot \text{град})$ из этой величины дальнейшему снижению частот деформационных колебаний (C—I—I) до 100 см^{-1} , а остаток — двум маятниковым колебаниям CH_3 (200 см^{-1}). Следует иметь в виду, что валентное колебание I—I становится координатой реакции и компенсируется ослаблением валентного колебания $\text{C} \cdots \text{I}$, имеющего примерно ту же частоту. Низкочастотные маятниковые колебания CH_3 почти эквивалентны свободному вращению в переходном состоянии.

В качестве последнего примера рассмотрим реакцию отрыва атома водорода метильным радикалом от C_2H_6 . После внесения поправок, связанных с симметрией и ориентацией спина переходного состояния, имеем

$$S^\ddagger(\text{CH}_3 \cdots \text{H} \cdots \text{CH}_2 - \text{CH}_3) \geq S^\ddagger(\text{C}_3\text{H}_8) + R \ln 4,$$

$$\Delta S_c^\ddagger \geq S^\ddagger(\text{C}_3\text{H}_8) + 11,2 - S^\ddagger(\text{C}_2\text{H}_6) - S^\ddagger(\text{CH}_3) \geq$$

$$\geq -25,4 \text{ кал}/(\text{моль} \cdot \text{град}).$$

При 400°К

$$A_c \geq 10^{8,0} \text{ л/(моль · сек)}, \quad (\text{III. 67})$$

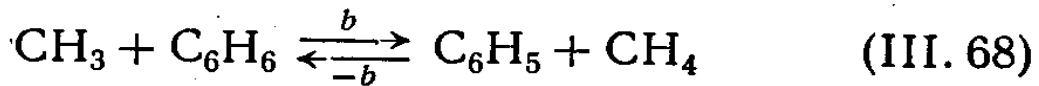
что довольно близко к приводимому значению $10^{8,3} \text{ л/(моль · сек)}$ и может свидетельствовать о том, что переходное состояние довольно жесткое. Действительно, даже если внести только поправку, учитывающую одно свободное внутреннее вращение CH_3 и увеличенный момент инерции, значение A_c станет равным $10^{8,5} \text{ л/(моль · сек)}$, т. е. немного выше измеренного значения.

III. 16. РЕАКЦИИ ЗАМЕЩЕНИЯ

Аррениусовские параметры для ряда реакций замещения с участием атомов приведены в табл. III. 11. Из таблицы видно, что для большинства реакций предэкспоненты лежат в пределах $10^{11,0 \pm 0,5} \text{ л/(моль · сек)}$. Погрешность измеренных величин приблизительно такая же, как и при расчетах предэкспонентов. Минимальные значения A , оцененные в предыдущем разделе, несколько превышают $10^{10} \text{ л/(моль · сек)}$, что находится в согласии со средним значением A , приведенным выше.

В табл. III. 12 представлены аррениусовские параметры для реакций отрыва атома с участием радикала и молекулы или двух молекул. Для большинства реакций радикала с молекулой предэкспоненты составляют $10^{8,5 \pm 0,5} \text{ л/(моль · сек)}$.

В табл. III. 12 можно найти два исключения из этого правила, и оба, по-видимому, вызваны ошибками эксперимента. Для реакции $\text{CH}_3 + \text{C}_6\text{H}_6$ значения A не согласуются с параметрами обратной реакции $\text{C}_6\text{H}_5 + \text{CH}_4$ (ссылка [10], табл. III. 12). Изменение энтропии в реакции



составляет 3,6 кал/(моль · град), поэтому если для обратной реакции предэкспонент равен $10^{8,6} \text{ л/(моль · сек)}$, то для прямой он должен составлять $10^{9,4}$, а не

$10^{7,5}$ л/(моль·сек). По-видимому, обе величины определены с ошибкой. Более приемлемыми представляются следующие значения: $A_b = 10^{8,9}$, $A_{-b} = 10^{8,1}$ л/(моль·сек), $\Delta H_b = 8,0$, $E_b = 19,1$ ккал/моль.

Значение предэкспонента для реакции $\text{CH}_3 + \text{CCl}_4$, вероятно, завышено в $10^{1,5}$ раз. В этой системе возникают осложнения из-за вторичных реакций, что является источником систематической ошибки.

Несомненно, слишком высокое значение A получено для реакции диспропорционирования 2NO_2 . Переходное состояние этой реакции имеет строение $\text{O}_2\text{N}-\text{O}-\text{N}-\text{O}$ и является «квазистабильным» и изомерным молекуле $\text{O}_2\text{N}-\text{NO}_2$. Оценка ΔS^\ddagger при 300°K приводит к величине $A = 10^{8,5}$ л/(моль·сек), откуда для обратной реакции следует $10^{9,2}$ л/(моль·сек).

Сделаем еще несколько замечаний. Энергии активации отрыва атомов водорода органическими радикалами от органических молекул в экзотермических реакциях всегда составляют 8 ± 2 ккал/моль и мало зависят от теплового эффекта реакции. То же относится и к отрыву атомов Cl. Атомы фтора не могут отрываться радикалами, возникающими при пиролизе циклопропана. Это позволяет оценить нижнюю границу энергии активации отрыва F как 16 ккал/моль. Энергии активации отрыва атомов Br, по-видимому, равны 6 ккал/моль, хотя для этих реакций можно найти очень мало количественных данных. На основании неопубликованных результатов опытов, проведенных в лаборатории автора, отрыв атомов I может протекать с энергией активации в интервале от 0 до 6 ккал/моль (см. табл. III.12).

Энергии активации реакций, о которых шла речь выше, изменяются в том же порядке, что и прочность связей H—X: наименьшая энергия активации наблюдается в случае самой слабой связи C—I и наибольшая — для самой прочной связи C—F. Максимальная прочность связи HF (134 ккал/моль); для H—Cl и H—H она примерно одинакова и равна 104 или 103 ккал/моль; $DH^\circ(\text{H—Br}) = 87$ ккал/моль, а $HD^\circ(\text{H—I}) = 71$ ккал/моль. В том же порядке изменяются потенциалы ионизации рассматриваемых атомов. В связи с этим можно представить себе, что отрыв атомов протекает через

Таблица III.12

Аррениусовские параметры реакций замещения с участием радикалов

Литера- тира к таб- лице	Реакция	T_m° , °К	$\lg A [s/(моль·сек)]$	$E, \text{ ккал/моль}$
1	$\text{CH}_3 + \dot{\text{C}}\text{H}_4 \rightarrow \text{CH}_4 + \dot{\text{C}}\text{H}_3$	500	8,8	14,6
2	$\text{CH}_3 + \text{C}_2\text{H}_6 \rightarrow \text{CH}_4 + \cdot\text{C}_2\text{H}_5$	420	8,5	10,8
2 ^{a)}	$\text{CH}_3 + \text{C}(\text{CH}_3)_4 \rightarrow \text{CH}_4 + \cdot\text{CH}_2\text{C}(\text{CH}_3)_3$	420	8,5	10,4
3	$\text{CH}_3 + \text{бензол} \rightarrow \text{CH}_4 + \text{фенил}$	450	7,5	9,6
4	$\text{C}_2\text{H}_5 + \text{C}_2\text{H}_5\text{COCH}_2\text{H}_5 \rightarrow \text{C}_2\text{H}_6 + \dot{\text{C}}_2\text{H}_4\text{COCH}_2\text{H}_5$	450	8,0	7,8
5	$2\text{C}_2\text{H}_5 \rightarrow \text{C}_2\text{H}_4 + \text{C}_2\text{H}_6$	450	9,6	0
6	$\text{C}_2\text{H}_6 + \text{C}_2\text{H}_4 \rightarrow 2\text{C}_2\text{H}_5$	450	11,3	60,0
7	$2\text{NO}_2 \rightarrow (\text{cum}) \text{NO}_3 + \text{NO}$	1300	11,1	62,0
8	$\text{CH}_3 + \text{CCl}_4 \rightarrow \text{CH}_3\text{Cl} + \text{CCl}_3$	800	9,7	23,6
		400	10,2	13,4

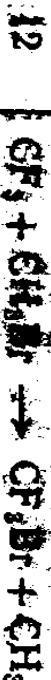
11



9



10

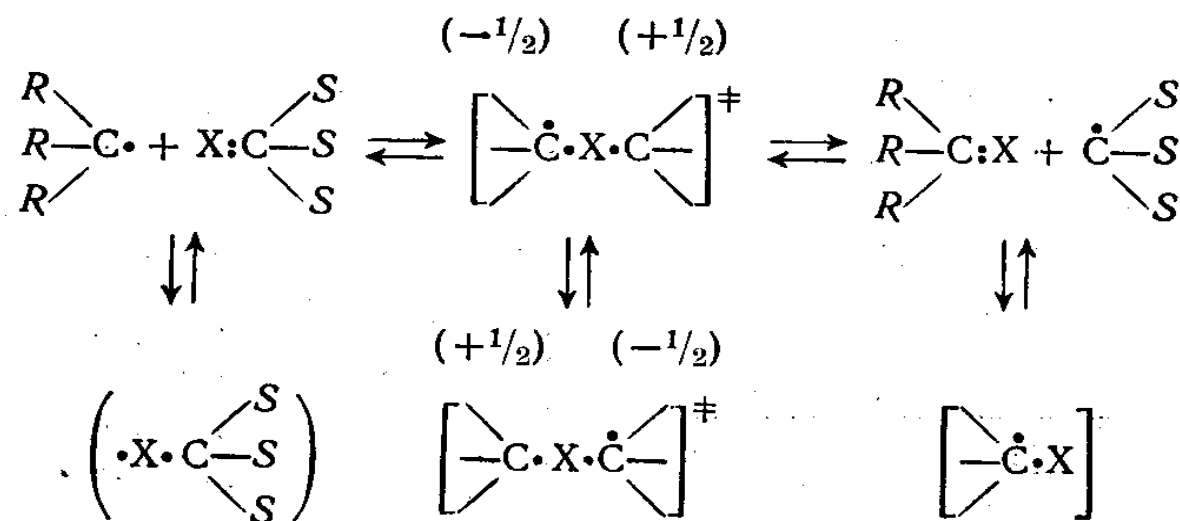


b) Изменение константы равновесия приводимых параметров этой реакции.

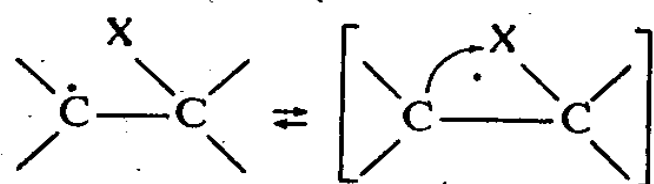
450	8,5	10,4
420	8,1	10,5
	8,5	12,7
450	8,6	11,1
420	7,5	8,1
	—	>17,1
420	6,8	3,3

1. Dalton F. S., Irvin K. J., Wilkinson F., Trans. Faraday Soc., **55**, 929 (1959); Dalton F. S., McElderry D. E., Trans. Faraday Soc., **51**, 657 (1955).
2. Pritchard-Trotman-Dickinson A. F., Steacie E. W. R., J. Chem. Phys., **19**, 329 (1951).
3. Jeppe M. H. J., Steacie E. W. R., J. Chem. Phys., **20**, 205 (1952).
4. Herpp A., Kutschke K. O., J. Chem. Phys., **26**, 1020 (1957).
5. Оценка на базе работы [4].
6. Оценка в работе Benson S. W., Haugen G. R., J. Phys. Chem., **71**, 1735 (1967) на основе квантового приближения C_2H_4 .
7. Ashmore B., Burnett M. G., Trans. Faraday Soc., **58**, 253 (1962).
8. Monkman D. M., Galvin J. P., Pritchard H. O., J. Phys. Chem., **68**, 541 (1964).
9. Sharpt. B., Johnston H. S., J. Chem. Phys., **37**, 1541 (1962).
10. Duncan F. J., Pritchard-Trotman-Dickinson A. F., J. Chem. Soc., **1962**, 4672.
11. Alcock W. G., Whittle E., Trans. Faraday Soc., **62**, 139, 664 (1966).
12. Alcock W. G., Whittle E., Trans. Faraday Soc., **61**, 244 (1965).

полярное переходное состояние, в котором переносимый атом является донором электронов



Отличная от нуля энергия активации отрыва атомов галогена может рассматриваться как убедительный довод против существования слабых стабильных комплексов типа $R-X-R$. Образование подобных комплексов было постулировано для α -галогенрадикалов

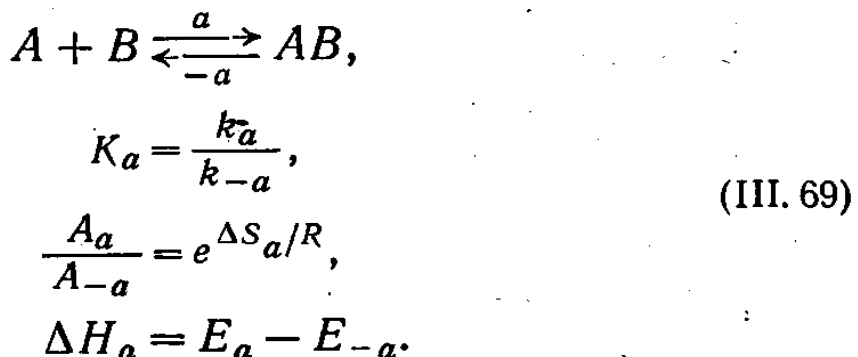


В табл. III. 12 приведены реакции, которые действительно являются исключениями (т. е. определенные для них предэкспоненты не связаны с какой-либо ошибкой эксперимента). Речь идет о реакциях диспропорционирования радикалов и обратных реакциях молекулярного диспропорционирования. Если, например, мы оценим нижний предел предэкспонента для реакции $C_2H_6 + C_2H_4 \rightarrow 2C_2H_5$, сравнивая переходное состояние с молекулой *n*-бутана, и учтем симметрию, прибавив $R \ln 6$, вычисленное значение составит $10^{8,7} \text{ л/(моль·сек)}$, в то время как «наблюдаемая» величина в $10^{2,6}$ раз больше. Различие, достигающее 12 кал/(моль·град) ΔS переходного состояния, связано с появлением дополнительного внутреннего вращения и четырех слабых маятниковых колебаний (по два на каждую тяжелую группу). Частоты этих колебаний должны быть равны приблизи-

тельно 250 см^{-1} . Это значение кажется вполне приемлемым для ослабленных C—H—C деформационных колебаний в процессе разрыва связи. Структурные особенности образования такого рыхлого комплекса рассмотрены в работе [6].

III. 17. РЕАКЦИИ АССОЦИАЦИИ

Реакции ассоциации являются обратными процессами рассмотренных выше реакций сложного распада. Для них уже были описаны простые приемы определения кинетических параметров для реакций распада; параметры реакций ассоциации можно определять с помощью констант равновесия

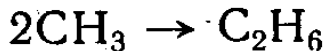


Напомним, что, если k_a измерена в единицах концентрации, к ΔH_a необходимо прибавить RT (см. раздел I. 5).

$$\Delta H_a(p) = \Delta H_a(c) + RT(\Delta n) = \Delta H_a(c) - RT. \tag{III. 70}$$

Мы не будем подробнее обсуждать реакции ассоциации молекул, а рассмотрим два типа ассоциации с участием радикалов.

К первому типу относится ассоциация или рекомбинация радикалов. Используя для сравнения углеводород, образующийся при рекомбинации, получим значения $10^{8,5} \text{ л}/(\text{моль} \cdot \text{сек})$ для предэкспонента рекомбинации. Так, для реакции



$\Delta S^\circ = -37,1 \text{ кал}/(\text{моль} \cdot \text{град})$, $\Delta S^\circ(c) = 28,7 \text{ кал}/(\text{моль} \times \text{град})$ при 400°K . Отсюда нижняя граница A составит $10^7 \text{ л}/(\text{моль} \cdot \text{сек})$, что значительно меньше наблюдаемого значения $10^{10,5} \text{ л}/(\text{моль} \cdot \text{сек})$. Это различие соответствует 16 кал/(\text{моль} \cdot \text{град}) при 400°K и может быть

Таблица III.13

Аррениусовские параметры реакций ассоциации с участием радикалов

Литера- тура к таблице	Реакция	$T_m, ^\circ\text{K}$	$\lg A [\text{моль} \cdot \text{сек}]$	$E, \text{ккал/моль}$
1	$2\text{CH}_3 \rightarrow \text{C}_2\text{H}_6$	400	10,5 (10,35) а)	0
2	$2\text{C}_2\text{H}_5 \rightarrow \text{C}_4\text{H}_{10}$	400	10,4	0
3	$\text{CH}_3 + \text{C}_2\text{H}_5 \rightarrow \text{C}_3\text{H}_8$	400	10,7	0
4	$\text{CH}_3 + \mu\text{-C}_3\text{H}_7 \rightarrow \mu\text{-C}_4\text{H}_{10}$	400	(10,7) б)	(0)
5	$2 \text{изо-}\text{C}_3\text{H}_7 \rightarrow (\text{изо-}\text{C}_3\text{H}_7)_2$ в)	400	10,8 (9,9)	0
6	$2 \text{трет-}\text{C}_4\text{H}_9 \rightarrow (\text{трет-}\text{C}_4\text{H}_9)_2$	373	9,5	0
7	$2 \text{трет-}\text{C}_4\text{H}_9\text{O} \rightarrow (\text{трет-}\text{C}_4\text{H}_9\text{O})_2$ г)	420	8,8	0
8	$2 \text{CF}_3 \rightarrow \text{C}_2\text{F}_6$	420	10,4	0
9	$\text{CH}_3 + \text{O}_2 \rightarrow \text{CH}_3\text{O}_2^\bullet$ д)	300	9,5	0
10	$\text{C}_2\text{H}_5 + \text{O}_2 \rightarrow \text{C}_2\text{H}_5\text{O}_2^\bullet$	400	9,6	0
9	$\text{CH}_3 + \text{NO} \rightarrow \text{CH}_3\text{NO}$	300	8,8	0
11	$\text{CH}_3 + \text{C}_2\text{H}_4 \rightarrow \mu\text{-C}_3\text{H}_7$	400	8,1 (7,3) [15]	8,6 (7,0) [15]

[2]	$\text{CH}_3 + \mu\text{-C}_3\text{H}_6 \rightarrow$ втор- C_4H_9 e)	400	8,9 (8,0) [15]	8,8 (6,0) [15]
13	$\text{H} + \text{C}_2\text{H}_4 \rightarrow \text{C}_2\text{H}_5$	300	10,5	4,1
14	$\text{CH}_3 + \text{бутадиен} \rightarrow \text{CH}_3 - \text{CH}_2 - \dot{\text{C}}\text{H} - \text{CH} = \text{CH}_2$	400	6,9	2,5
15	$2\text{CF}_2 \rightarrow \text{C}_2\text{F}_4$	300	8,4	1,6

а) В работе Shepp A. J., Chem. Phys., 24, 939 (1956) с помощью уточненной теории были вычислены приводимые скобках значения. Там же для реакции $\text{CD}_3 + \text{CD}_3$ получено значение $A = 10^{10,6}$.
 б) Эти данные получены [4] на основании данных для рекомбинации $\text{CH}_3 + \text{CH}_3$ и $\mu\text{-C}_3\text{H}_7 + \mu\text{-C}_3\text{H}_7$. При этом принятось, что скорость рекомбинации $2\text{C}_2\text{H}_6$ и $2 \mu\text{-C}_3\text{H}_7$ одинакова.
 в) Полученное в работе [5] значение несомненно завышено, поэтому следует отдать предпочтение приведенной в скобках величине, оцененной на основе правил аддитивности.
 г) Значения получены в работе [7], исходя из предэкспонента обратной реакции и величины ΔS .
 д) При 75°C реакция протекает по третьему порядку.
 е) Примерно на 10% присоединение идет с образованием изобутильного радикала.

1. Kistiakowsky G. B., Roberts E. K., J. Chem. Phys., 21, 1637 (1953).
2. Shepp A., Kutschke K. O., J. Chem. Phys., 26, 1020 (1957).
3. Thynne J. C. J., Trans. Faraday Soc., 58, 676 (1962).
4. Crotewald J., Kerr J. A., J. Chem. Soc., 1963, 4337.
5. Metcalfe E. L., Trotman-Dickenson A. F., J. Chem. Soc., 1962, 4620.
6. Metcalfe E. L., J. Chem. Soc., 1963, 3560.
7. Batt L., Benson S. W., J. Chem. Phys., 36, 895 (1962).
8. Ascough P. B., J. Chem. Phys., 24, 944 (1956).
9. Sleppy W. C., Calvert J. G., J. Am. Chem. Soc., 81, 769 (1959).
10. Dingledy D. P., Calvert J. G., J. Am. Chem. Soc., 85, 856 (1963).
11. Brinton R. K., J. Chem. Phys., 28, 781 (1958).
12. Miyoshi M., Brinton R. K., J. Chem. Phys., 36, 3019 (1962).
13. Darwent B. de B., Roberts R., Disc. Faraday Soc., 14, 55 (1953).
14. Mandelcorn L., Steacie E. W. R., Can. J. Chem., 32, 79, 474 (1954).
15. Dalby F. W., J. Chem. Phys., 41, 2297 (1964).

объяснено наличием очень слабых маятниковых колебаний групп CH_3 , частота которых составит около 100 см^{-1} . Этот результат очень напоминает полученный выше для реакций диспропорционирования. В соответствии с ним силовые постоянные маятниковых колебаний CH_3 в комплексе должны быть приблизительно в 100 раз ниже, чем обычно. Этот результат можно интерпретировать и иначе, считая, что в переходном состоянии имеются почти свободно вращающиеся группы. Поэтому его образование сопровождается снижением только поступательной энтропии.

Как легко видеть из табл. III. 13, сказанное выше является типичным для рекомбинации радикалов.

Для быстрых реакций ассоциации, протекающих с низкой или равной нулю энергией активации, верхний предел предэкспоненциального множителя можно определить на основе теории столкновений. Константу скорости [выраженную в $\text{l}/(\text{моль} \cdot \text{сек})$] можно представить как

$$k_Z = \frac{\pi d_{AB}^2}{\sigma_{AB}} \left(\frac{8RT}{\pi \mu_{AB}} \right)^{1/2} \frac{N_A}{1000}, \quad (\text{III. 71})$$

где d_{AB} — диаметр столкновений, $\mu_{AB} = M_A M_B / (M_A + M_B)$, а σ_{AB} — число симметрии для сталкивающейся пары ($\sigma_{AB} = 1$ при $A \neq B$ и $\sigma_{AB} = 2$ при $A = B$). Приняв $D_{AB} = 3,5 \cdot 10^{-8} \text{ см}$, найдем $k_Z(\text{CH}_3)_{400} = 10^{11,0} \text{ л}/(\text{моль} \times \text{сек})$ при 400° К . Если далее предположить, что к образованию C_2H_6 приводят только те столкновения, в которых спин радикалов комбинируется, давая суммарный спин, равный нулю (другими словами, будем считать, что стабилизации триплетного состояния C_2H_6 препятствуют силы отталкивания), то полученную константу нужно поделить на 4, а это значит, что верхний предел предэкспонента рекомбинации CH_3 радикалов составит $10^{10,4} \text{ л}/(\text{моль} \cdot \text{сек})$. В действительности эта величина на 25% меньше приведенного в литературе значения, что заставляет отнести к экспериментальному значению с некоторым недоверием. Однако можно увеличить и предельное значение, если принять диаметр столкновений равным 4,0—4,5 Å или считать, что рекомбинация частично идет через триплетное состояние. Последнее пред-

положение несколько сомнительно, а первое кажется более разумным. Однако, в чем бы ни состояла причина этого небольшого различия, вывод ясен: каждое газокинетическое столкновение двух радикалов CH_3 (при котором суммарный спин пары равен нулю) приводит к образованию C_2H_6 . Если даже измеренное значение константы скорости рекомбинации завышено вдвое, результат этот кажется очень интересным.

Из него, в частности, следует, что на расстояниях 3,5—4,0 Å взаимодействие двух радикалов CH_3 достаточно велико по сравнению с RT (0,8 ккал/моль) и что метильные группы имеют достаточно времени, чтобы, повернувшись, приобрести необходимую для образования C_2H_6 ориентацию, прежде чем они разлетятся. Если для энергии связи CH_3-CH_3 мы воспользуемся потенциалом Леннарда-Джонса, на больших расстояниях нам необходимо будет учитывать только член $-2V_0(r_0/r)^6$, характеризующий притяжение. Отталкивание вызвано центробежной энергией, которую можно представить как $p_\theta^2/2\mu r^2$, где p_θ — постоянный момент количества движения сталкивающейся пары, $\mu = M_{\text{CH}_3}/2$, r — межъядерное расстояние, $r_0 = 1,54$ Å — равновесное расстояние С—С в C_2H_6 , а V_0 — энергия диссоциации связи С—С в C_2H_6 , исправленная на энергию нулевого уровня. Этую последнюю величину можно считать равной 6 ккал/моль, и тогда $V_0 = 94$ ккал/моль.

Следовательно, полная энергия сталкивающейся пары радикалов, рассматриваемой как двухатомная молекула, на больших расстояниях будет иметь вид

$$E = -2V_0 \left(\frac{r_0}{r} \right)^6 - \frac{p_\theta^2}{2\mu r^2}. \quad (\text{III. 72})$$

Продифференцировав и положив $\partial E/\partial r = 0$, найдем координаты, соответствующие вершине центробежного барьера

$$\left(\frac{r_m}{r_0} \right) = \left(\frac{6V_0}{p_\theta^2/2\mu r_m^2} \right)^{1/6} = \left(\frac{6V_0}{E_{\text{rot}}} \right)^{1/6}, \quad (\text{III. 73})$$

где $E_{\text{rot}} = p_\theta^2/2\mu r_m^2$.

При заданной величине E_{rot} только столкновения с прицельным параметром, меньшим r_m , приводят к

эффективному контакту реагентов. При больших же прицельных параметрах партнеры оказываются вне сферы действия сил взаимного притяжения. Таким образом, r_m можно рассматривать, как диаметр столкновения. Если считать, что $E_{\text{rot}} = RT$, то при 400°K $E_{\text{rot}} = 0,8 \text{ ккал/моль}$, а отношение $(r_m/r_0) \approx 3,0$ и довольно слабо зависит от температуры. Для другого вида потенциала взаимодействия, например для функции Морзе, получаются качественно те же результаты, но несколько меньшие параметры потенциальной функции.

Если аналогичный расчет провести для других алкильных радикалов, например для этильного, пропильного или бутильного, можно обнаружить, что V_0 слабо изменяется даже для изомерных радикалов, что же касается r_m/r_0 , то эта величина остается почти постоянной, и единственным различием, которое может вызвать изменение k_z , является увеличение массы радикала. Так $k_z(\text{C}_2\text{H}_5) \approx 0,71 k_z(\text{CH}_3)$, а $k_z(\text{n-C}_4\text{H}_9) \approx 0,5 k_z(\text{CH}_3)$. Значения эти в первом приближении согласуются с экспериментом. В то же время $k_z(\text{трет-C}_4\text{H}_9) \approx 0,1 k_z(\text{CH}_3)$. Это объясняется тем, что скорость диспропорционирования двух трет-бутильных радикалов примерно в 3,2 раза больше скорости рекомбинации. Это означает, что при определенной ориентации двух радикалов трет- C_4H_9 могут образоваться изобутилен + изобутан, прежде чем комплекс успеет претерпеть внутреннее вращение и приобрести необходимую для рекомбинации конфигурацию. Для радикалов C_2H_5 скорость диспропорционирования составляет всего $1/7$ скорости рекомбинации, поэтому в данном случае конкуренцию диспропорционирования можно не учитывать.

Перейдем теперь к рассмотрению эффективного времени столкновения и времени ориентации. Приближенное время столкновения радикалов CH_3 можно определить как полупериод вращения, т. е.

$$\tau_{\text{coll}} \approx \frac{1}{2v_{\text{rot}}} = \pi \left(\frac{\mu r_m^2}{2E_{\text{rot}}} \right)^{1/2} \quad (\text{III. 74})$$

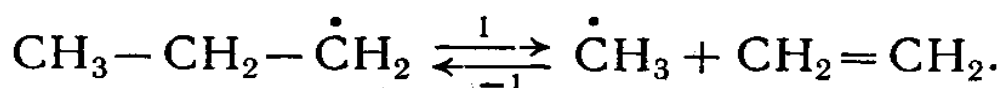
и при 400°K $\tau_{\text{coll}} \approx 1,3 \cdot 10^{-12}$ сек. Эту величину следует сравнить с относительной скоростью внутренней пере-

ориентации радикалов CH_3 , которая им необходима, чтобы расположиться под определенным углом друг к другу. Вследствие того, что радикалы имеют меньший момент инерции, чем образованный при их столкновении комплекс, последняя величина приблизительно в 6 раз меньше. Такое же соотношение характерно и для более тяжелых радикалов. Проделанный выше грубый расчет частично объясняет существенно более низкие значения скорости рекомбинации алкокси-радикалов. При рекомбинации *трет*- $\text{C}_4\text{H}_9\text{O}$ скорость должна быть вдвое ниже из-за большей массы, и еще в $(2,5)^{1/3} = 1,35$ раза меньше из-за того, что образующаяся связь в 2,5 раза слабее. Однако основной причиной низкой скорости, вероятно, является отталкивание, которое возникает между радикалами, неблагоприятным образом ориентированными при столкновении. Если справедливы приведенные выше соображения, скорость рекомбинации радикалов должна лишь слабо зависеть от температуры.

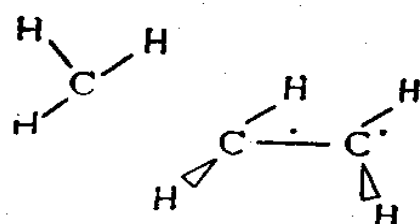
Если ассоциация двух радикалов, по всей вероятности, протекает без энергии активации, то присоединение радикала к стабильной ненасыщенной молекуле, как правило, требует небольшой энергии активации, около 6 ± 2 ккал/моль, в случае когда реакция экзотермическая. Предпосылкой для этого результата является то, что электронные состояния реагентов и продукта (аддукта) различны, и энергия активации определяется пересечением двух потенциальных кривых. (Аналогичными рассуждениями можно воспользоваться и при анализе реакции отрыва.) Указанное изменение электронного состояния обычно включает изменение характера гибридизации орбиталей.

При присоединении радикала CH_3 к C_2H_4 необходимо изменить характер гибридизации электронов одного из атомов С олефина с sp^2 на sp^3 , и то же необходимо для радикала. Можно предполагать, что подобные процессы могут происходить лишь при сравнительно близком контакте между партнерами. Это наталкивает на мысль о «жестком» характере переходного состояния, таком же, как и в случае реакций отрыва.

Обратным процессом реакции присоединения радикала является мономолекулярный распад. Например, в случае *n*-пропильного радикала



Для этой реакции $\Delta H^\circ = 25,5$ ккал/моль и $\Delta S^\circ = -31,6$ кал/(моль·град). Если считать, что в переходном состоянии атомы углерода в C_2H_4 связаны «пультурной» связью

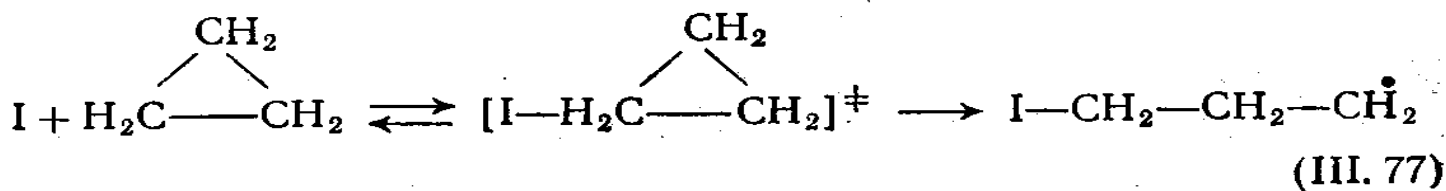
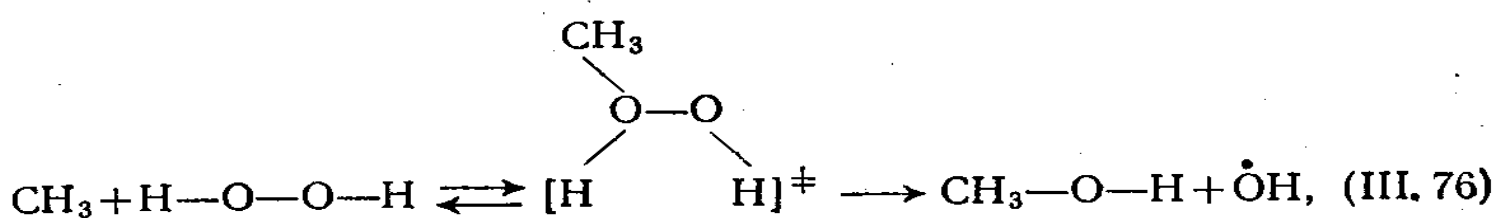
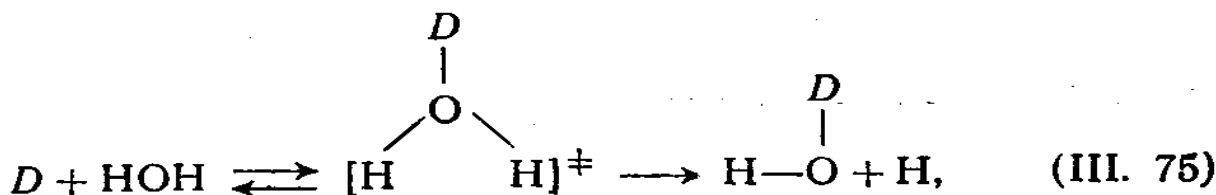


то величина ΔS^\ddagger будет существенно зависеть от вкладов, обусловленных: а) двумя ослабленными маятниковоими колебаниями CH_3 (500 см^{-1} вместо 950 см^{-1}); б) изменением внутренней симметрии для групп $\text{CH}_2(R \ln 2)$; в) ослабленным деформационным колебанием $\text{C}-\text{C}-\text{C}$ (175 см^{-1} вместо 350 см^{-1}); г) ослабленным деформационным колебанием $\text{H}-\text{C}-\text{C}$ (475 см^{-1} вместо 950 см^{-1}); д) жестким крутильным колебанием CH_2 (500 см^{-1}) по сравнению с почти свободным вращением в радикале. Координатой реакции является валентное колебание $\text{C}-\text{C}$ (900 см^{-1} для основного состояния); его вклад равен $-0,4$ кал/(моль·град). При 400°K все эти вклады в сумме дают $\Delta S^\ddagger = +0,5$ кал/(моль·град), так что $A_1 \approx 10^{13,6} \text{ сек}^{-1}$, а для реакции присоединения $A_{-1} \approx 10^{8,5} \text{ л/(моль·сек)}$, что удовлетворительно согласуется с приводимыми значениями.

III. 18. РЕАКЦИИ ВЫТЕСНЕНИЯ

Существуют реакции, родственные реакциям ассоциации, промежуточный продукт которых не является стабильной частицей. Речь идет о реакциях вытеснения,

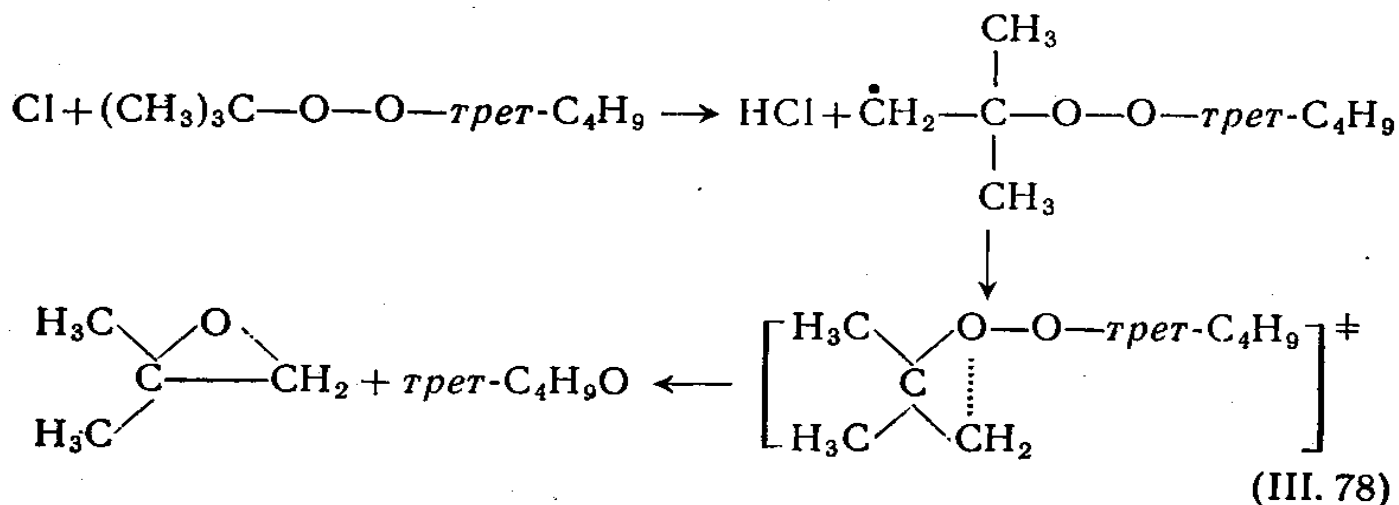
среди которых перенос (или замещение) атома можно рассматривать как особый случай. Ниже приведены некоторые примеры.



Для этих реакций имеется очень мало количественных данных. Для реакций присоединения к элементам первого ряда периодической таблицы (от С до F) энергии активации, как можно ожидать, будут довольно высокими, потому что в этом случае число электронов, окружающих атом, превышает их число на заполненной валентной оболочке (т. е. углерод при этом должен стать пятивалентным, кислород — трехвалентным и т. д.), что энергетически крайне невыгодно. С этой точки зрения можно ожидать, что у соединений бора реакции этого типа будут протекать с низкой энергией активации, что в действительности и наблюдается.

Для реакции III. 77, которая является термонейтральной, $E \approx 18$ ккал/моль. Это, пожалуй, единственная известная с некоторой определенностью величина, с помощью которой можно попытаться оценить энергию активации других реакций этого типа. Можно ожидать, что атомы элементов следующих периодов (P, S, Si, Pb и т. д.) будут принимать «лишние» электроны в свои оболочки с большей легкостью и иметь поэтому более низкие энергии активации, однако надежные данные, необходимые для сравнения, отсутствуют.

Другим известным примером реакций этого типа является эпоксидирование, протекающее при катализируемом HCl пиролизе (*трит*-C₄H₉O)₂:



Установлено, что энергия активации этой очень быстрой экзотермической стадии $\leqslant 17$ ккал/моль. Это не удивительно, если вспомнить, что только для циклизации trimетиленового бирадикала в циклопропан требуется энергия активации 11 ккал/моль.

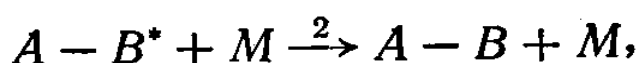
Другие реакции вытеснения радикалами при насыщенных атомах С, О и N, кроме приведенных выше, не наблюдались. Сообщалось о таких реакциях с участием соединений, содержащих серу, фосфор и кремний, однако количественные данные отсутствуют.

III. 19. ПРОЦЕССЫ ПЕРЕДАЧИ ЭНЕРГИИ

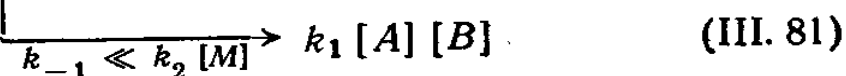
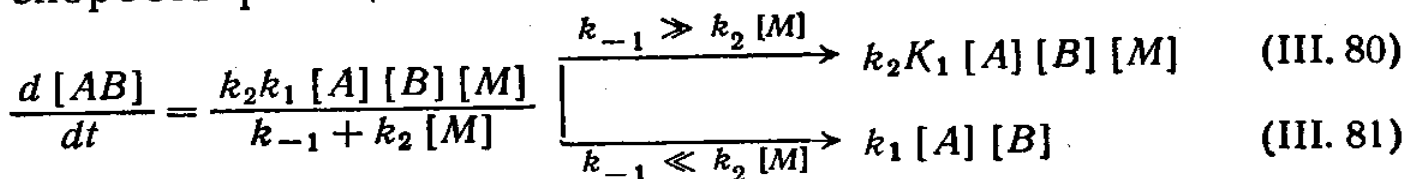
Как уже отмечалось, в реакциях ассоциации образуются богатые энергией продукты, которые, если их изолировать, неизбежно должны распасться. Единственную возможность стабилизации для этих соединений представляют соударения с химически инертными частицами, при которых они могут потерять достаточное количество энергии. Если полная энергия аддукта велика и имеется много внутренних степеней свободы, по которым эта энергия может распределиться, время жизни аддукта возрастает и столкновения, которые необходимы для его стабилизации, могут быть достаточно редкими. Наоборот, если эти условия не выполняются, скорость химической реакции может лимитироваться процессами

дезактивации при столкновениях. В таких случаях говорят, что процесс лимитируется скоростью передачи энергии.

Можно записать следующую схему реакции:



которая не учитывает того обстоятельства, что между основным состоянием AB и AB^* могут существовать промежуточные энергетические состояния. Применяя метод стационарных концентраций для AB , найдем суммарную скорость реакции



Как видно из уравнений (III.80) и (III.81), при высоких давлениях $k_2[M] \gg k_{-1}$ и реакция протекает по второму порядку, в то время как при достаточно низких давлениях $k_2[M] \ll k_{-1}$ и наблюдается переход к третьему порядку. Линдемановский анализ обратного процесса мономолекулярного распада $A - B$ требует первого порядка при высоких давлениях и второго при низких. В принципе при достаточно сильном изменении давления любая реакция ассоциации и обратная ей реакция мономолекулярного распада изменяют порядок. Однако до сих пор ни одна из реакций не была изучена во всем интервале давлений, в котором происходит смена порядка от одного предельного значения до другого.

Теория Райса — Рамспергера — Касселя (PPK) достаточно хорошо описывает эти реакции. Отметим здесь некоторые следствия этой теории. Прежде всего рассмотрим, когда необходимо принимать во внимание влияние давления.

Теория PPK дает следующее классическое выражение для средней константы скорости разложения активированной частицы $A - B$:

$$k_{-1}(E) = A_{-1} \left(\frac{E - E^*}{E} \right)^{s-1}, \quad (\text{III.82})$$

где A_{-1} — обычный предэкспонент реакции мономолекулярного разложения $A \rightarrow B$; E — полная энергия комплекса; E^* — энергия активации, необходимая для разложения $A \rightarrow B$; s — число эффективных внутренних степеней свободы, по которым распределяется энергия $A \rightarrow B$, причем $s \leq 3N - 6$, где N — число атомов, образующих $A + B$. Есть основания предполагать, что при реакции, когда A и B являются большими группами и комплекс имеет «рыхлое» строение, энергия будет распределяться не только по колебательным, но и по некоторым вращательным степеням свободы *.

В качестве примера определим время жизни молекулы NO_2^* , полученной присоединением атома О к NO в газовой фазе при 1000° .

ПРИМЕР

Будем предполагать, что переходный комплекс имеет рыхлое строение. Предэкспонент реакции равен $A = (ekT/h)\exp(\Delta S^\ddagger / R)$, причем ΔS^\ddagger мы будем рассчитывать для процесса $\text{NO}_2 \rightarrow \text{NO}_2^*$. Если образование переходного комплекса состоит в простом удлинении связи N—O в 2,5 раза, то можно показать, что произведение трех моментов инерции изменится примерно в 4 раза. Если деформационные колебания ослабляются в 5 раз, то с учетом поправки на симметрию ($R \ln 2$) вклад в ΔS^\ddagger составит 6,0 кал/(моль·град). Частота валентного колебания, ставшего координатой реакции, равна 1100 см^{-1} , что эквивалентно снижению энтропии на 1,3 кал/(моль·град). Таким образом, $\Delta S^\ddagger = 4,7 \text{ кал}/(\text{моль}\cdot\text{град})$ и $A = 10^{14,9} \text{ сек}^{-1}$. Так как при $1000^\circ \Delta S_p \approx 34,3 \text{ кал}/(\text{моль}\cdot\text{град})$, а $\Delta S_c \approx 23,8 \text{ кал}/(\text{моль}\cdot\text{град})$, то для реакции присоединения O + NO получаем $A = 10^{9,7} \text{ л}/(\text{моль}\cdot\text{сек})$. Это значение разумно согласуется с приводимым для этой реакции в литературе [20] значением $10^{9,4} \text{ л}/(\text{моль}\cdot\text{сек})$ (при 300°K). Некоторое различие, вероятно, вызвано тем, что в действительности строение переходного комплекса более жесткое, чем мы предполагали.

* Другими словами, вращательные степени свободы могут принимать участие в разрыве связи. Однако прямая передача энергии от вращательных к колебательным степеням свободы невозможна из-за требования сохранения момента количества движения. Поэтому в полной энергии, необходимой для разрыва связи, можно выделить два слагаемых: $E_{\text{rot}} + E_{\text{vib}} = E$. В выражение (III.82) должна входить только E_{vib} , а величина E^* снижается на E_{rot} , если большая часть вращательной энергии участвует в разрыве связи. Исследование фотолиза NO_2 [19] показало, что около 90% энергии трех вращательных степеней свободы участвует в разрыве связи.

При реакции $O + NO \rightarrow NO_2^*$ энергия трех поступательных степеней свободы ($\frac{3}{2} RT$) и двух вращательных степеней свободы (RT) переходит на внутренние степени свободы NO_2^* . Точнее, на внутренние степени свободы благодаря сохранению момента количества движения переходит не вся вращательная энергия NO , а ее значительная часть, равная $I_{NO}/(I_{NO} + I_{AB(NO_2)}) \approx \frac{3}{4} E_{\text{rot}}(NO)$. В этом выражении I_{NO} — момент инерции NO , а $I_{AB(NO_2)}$ — произведение двух больших проекций момента инерции NO_2 . Далее, не вся энергия поступательного движения $\frac{3}{2} RT$ переходит на колебательные степени свободы, а только RT . Остаток снова из-за действия правила сохранения момента количества движения переходит во вращательную энергию. Итак, на внутренние степени свободы активной частицы NO_2 переходит $\frac{3}{4} RT + RT = 1,75 RT$, что составляет 3,5 ккал/моль при $1000^\circ K$. Далее не вся энергия 72 ккал/моль, выделяемая при образовании новой связи, оказывается на внутренних степенях свободы. Из-за сильного изменения (в 4 раза) момента инерции при превращении переходного в основное состояние возрастает вращательная энергия, которая в переходном состоянии равнялась $\frac{1}{2} RT$, а в основном состоянии будет равна $4 \cdot \frac{1}{2} RT = 4$ ккал/моль (при $1000^\circ K$). Таким образом, разница энергии $2RT - \frac{1}{2} RT = 3$ ккал/моль идет на «закручивание» молекулы.

Отсюда вытекает, что молекулы в момент образования из «рыхлых» переходных комплексов имеют большой избыток вращательной энергии, который в данном случае равен $\frac{1}{4} RT + 4 \cdot \frac{1}{2} RT = 2,25 RT = 4,5$ ккал/моль. Вероятность образования таких вращательно «горячих» частиц возрастает еще и благодаря статистическому фактору $(E_R/RT)^{\frac{1}{2}} \approx 1,5$. Таким образом,

$$k_{1000}(NO_2) = 10^{14,9} \left(\frac{3,5}{72,5} \right)^2 = 10^{12,3} \text{ сек}^{-1}$$

и

$$\tau_{NO_2} \approx \frac{1}{k(NO_2)} = 10^{-12,3} \text{ сек.}$$

При $1000^\circ K$ и 1 атм молекула в газе претерпевает газоинефтические столкновения каждые $10^{-9,3}$ сек, т. е.

вероятность распада NO_2^* в 10^3 раз больше вероятности того, что возбужденная молекула успеет принять участие хотя бы в одном столкновении. Поэтому при 1000°K давление 1 *атм* попадает в область низких давлений для реакции ассоциации.

Если в результате реакций $\text{O} + \text{NO}$ образуется электронно-возбужденное состояние, энергия диссоциации связи в котором составляет всего 40 ккал/моль, время жизни возбужденной молекулы будет еще в 4 раза меньше.

При 300°K $A \approx 10^{14,2} \text{ сек}^{-1}$ и $\tau \approx 10^{-10,5} \text{ сек}$. Рекомбинация при 1 *атм* происходит все еще в тримолекулярной области, так как дезактивация при столкновениях в этих условиях происходит в $10^{1,2}$ раз медленнее, чем распад.

При низких температурах (например, при 300°K) возникают дополнительные трудности определения времени жизни, связанные с малым запасом энергии соединяющихся частиц. Классическая формула (III.92) должна быть заменена формулой Маркуса — Райса

$$k(E) = \frac{kT}{h} \frac{\rho^+(E - E^*)}{\rho(E)} \left(\frac{I_{ABC}^+}{I_{ABC}} \right)^{1/2}, \quad (\text{III.83})$$

где $\rho(E)$ — число способов распределения энергии E в молекуле в основном состоянии, а аналогичная величина, характеризующая переходное состояние, обозначена $\rho^+(E - E^*)$. Количество энергии, которое должно быть распределено, в данном случае меньше, потому что энергия активации E^* при образовании переходного состояния должна перейти в потенциальную энергию молекулы. Поэтому можно считать, что энергия перераспределяется по внутренним степеням свободы молекулы быстрее, нежели образуется переходное состояние. Величина I_{ABC}^+/I_{ABC} представляет собой отношение моментов инерции переходного и основного состояний и значительно отличается от единицы только для «рыхлых» комплексов, подобных NO_2 .

Для *s* гармонических осцилляторов

$$\rho(E) \approx \frac{1}{(s-1)!} \left(\frac{E}{h\nu_m} \right)^{s-1}, \quad (\text{III.84})$$

где $v_m^s = v_1 \cdot v_2 \dots v_s$ — средняя геометрическая частота осцилляторов. Учитывая это соотношение, формулу (III.83) можно привести к виду (III.82). Если полный избыток энергии молекулы ($E - E^*$) по порядку величины близок к энергии одного колебательного кванта, использование формулы (III.84) приводит к грубым ошибкам. В этом случае желательно прямо подсчитывать число различных распределений. Для NO_2^* при 300°K избыток энергии (1,0 ккал/моль) меньше одного кванта валентных колебаний, поэтому энергия может быть передана либо ослабленным деформационным колебаниям, либо распределиться по вращательным степеням свободы. Основные частоты NO_2 равны 1800, 1100 и 600 см^{-1} (среднее геометрическое 1100 см^{-1}). Для $E = 73,5 \text{ ккал/моль}$ ($E/hv_m \approx 24$, поэтому $\rho(E) \approx 280$). Положим частоты возбужденного состояния равными 1800, 400 и 120 см^{-1} . И в этом случае избыток энергии достаточен лишь для передачи одного колебательного кванта. Поэтому, согласно формуле (III.83),

$$k_{300} = 2 \cdot 2 \cdot 10^{12,8} \cdot \left(\frac{1}{280} \right) = 10^{11} \text{ сек}^{-1},$$

$$\tau_{300} = \frac{1}{k_{300}} = 10^{-11} \text{ сек.}$$

Таким образом, в данном случае два метода дают почти идентичные результаты.

ПРИМЕР

Определить время жизни молекулы C_2H_6^* , распадающейся при 800°K на 2CH_3 при условии, что она получена по реакции $\text{H} + \text{C}_2\text{H}_5$.

Примем $A = 10^{17} \text{ сек}^{-1}$ (среднее значение из табл. III.3) и будем считать $2/3$ степеней свободы активными, тогда $s = 2/3 (3N - 6) = 12$. Отметим, что если бы мы стали считать активными все степени свободы, кроме внутреннего вращения и валентных колебаний $\text{C}-\text{H}$, то величина s оказалась бы равной 11. Внутреннюю энергию C_2H_5 можно определить, интегрируя $C_v(\text{int})\Delta T$ от 0 до 800°K . Воспользовавшись приведенными в приложении таблицами, можно найти, что $C_p^\circ(300) = 11,1$; $C_p(500) = 16,5$, а $C_p(800) = 23 \text{ кал/(моль \cdot град)}$. Вычтя $5/2R$ (поступательная энергия и производимая работа), $1/2R$ (внутреннее вращение) и $5/2R$ (внешнее вращение), найдем $C_v(300) = 2,1$; $C_v(500) = 7,5$ и $C_v(800) = 14 \text{ кал/(моль \cdot град)}$, откуда $E_v(\text{int}) = 4,6 \text{ ккал/моль}$. Добавим вклад поступательной энергии $3/2RT = 2,4 \text{ ккал/моль}$ и получим $E_v(\text{C}_2\text{H}_6) = 7,0 \text{ ккал/моль}$.

Прочность связи С—Н равна 98 ккал/моль, прочность связи С—С — 88 ккал/моль. Следовательно, $E - E^* = 10,0 + 7,0 = 17,0$ и $E = 98 + 7,0 = 105,0$ ккал/моль. Таким образом, $\tau(C_2H_6)^* \approx 10^{-17,0} \times \times (105,0/17,0)^{11} \approx 10^{-8,2}$ сек. Сравнив полученное значение со средним временем между столкновениями в газе при 1 атм, равным $10^{-9,3}$ сек, можем прийти к выводу, что менее 10% комплексов $C_2H_6^*$ сумеют распасться, ни разу не столкнувшись с другими молекулами газовой фазы.

Еще одно характеристическое время жизни, которое нам предстоит подсчитать, относится к обычным молекулам, находящимся в тепловом равновесии. В этом случае, при определении среднего запаса энергии мы будем исходить из предположения, что переходное состояние также находится в тепловом равновесии. Как и раньше, будем считать лишь $2/3$ всех осцилляторов эффективными. Число эффективных осцилляторов s можно, кроме того, оценить по формуле $s = C_V/R$.

ПРИМЕР

Вычислить среднее время жизни богатой энергией молекулы C_2H_6 при $1000^\circ K$.

Решение

$s = \frac{C_V}{R}$; из предыдущего примера известно, что $C_p - C_v = 9$ кал/(моль·град), поэтому $s = (29,5 - 9)/2 = 10,3$;

$$E_V = \int_0^{1000} C_V dT \approx 9,4 \text{ ккал},$$

$$\tau \approx 10^{-17} \left(\frac{97,4}{9,4} \right)^{9,3} \approx 10^{-7,4} \text{ сек.}$$

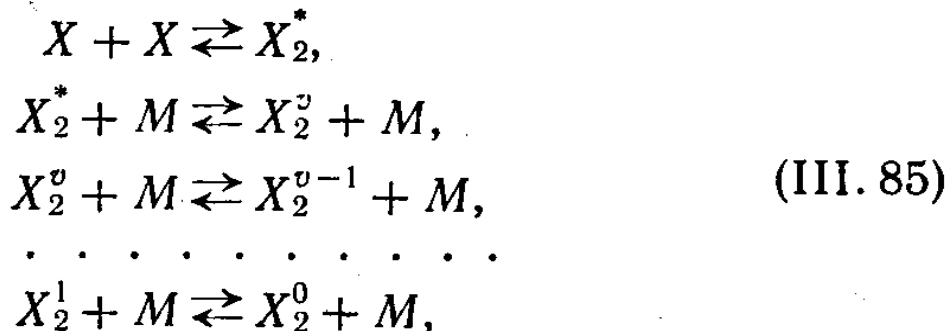
Мы определили τ , считая, что внутренние вращения не участвуют в передаче энергии. Величина τ довольно высока, так как избыток энергии, для которого она определена, мал. Определим вероятность дезактивации при столкновении как $1/3$. Учитывая, что $k_2 \approx 10^9$ сек $^{-1}$ для C_2H_6 при $1000^\circ K$ и 1 атм, приходим к выводу, что в этих условиях отклонения от мономолекулярности пиролиза C_2H_6 будут очень малы.

Если необходимо более точно учесть влияние давления, следует воспользоваться более сложным методом Маркуса (РРКМ), обсуждение которого можно найти, например, в работе [21]. Он требует знания всех частот основного и переходного состояний, и для сложных молекул расчет возможен только с помощью ЭВМ.

Для быстрых оценок метод РРК при очень высоких температурах дает результат, правильный с точностью до порядка, при условии, что $sRT > E_v > 1/sRT$ и E_v превышает энергию двух колебательных квантов. В противном случае предпочтительнее подсчитывать число распределений энергии по осцилляторам и использовать метод РРК для основного состояния.

III. 20. РЕКОМБИНАЦИЯ АТОМОВ

Рекомбинацию двух атомов X в присутствии простой третьей частицы M (например, Ar , Ne , H_2 и т. д.) можно рассматривать как последовательность бимолекулярных стадий:



где X_2^* — нестабильный комплекс, образованный парой атомов, а X_2^v — одно из высших колебательных состояний молекулы X_2 . Было показано [22], что такая схема приводит к очень хорошему согласию с результатами экспериментов в широком интервале температур.

Метод стационарных концентраций для колебательно-возбужденных состояний X_2 дает следующее значение кажущейся константы скорости третьего порядка:

$$\frac{d[X_2]}{dt} = r = k_r [X]^2 [M],$$

$$k_r = K^* k_z^* \lambda G[T]. \tag{III. 86}$$

В этом выражении K^* — константа равновесия между X и X_2^* , k_z^* — константа скорости взаимодействия X_2^* с M , λ — вероятность дезактивации X_2^* в одно из связанных состояний, величина же $G(T) = 1$ — вероятность реактивации $X_2^{(v)}$ в X^* . Значение $G(T)$ приближенно равно

$(N + 1)^{-1}$, где N — число колебательных уровней X_2 в интервале RT вблизи порога диссоциации. Можно показать, что $K^* \approx \frac{4}{3} \pi r_m^3 Q^*/Q_x^2$, где Q^*/Q_x^2 — отношение электронных сумм по состояниям для определенных основных состояний, принятых для X_2 и X . Так, для реакции $H + H \rightarrow H_2^*$, $Q^*/Q_x^2 = 1/4$, а для реакции $2I \rightleftharpoons I_2^*$, $Q^*/Q_x^2 = 1/16$, т. е. предполагается, что X_2^* образуются только в основном состоянии ${}^1\Sigma$.

Вероятность дезактивации λ обычно близка к единице, но может снижаться, если массы X и M сильно различаются [23]. Величину r_m можно рассчитать так же, как это сделано при рассмотрении рекомбинации радикалов [формула (III. 73)]. Если при определении вращательной энергии сталкивающихся частиц предполагается Больцмановское распределение, то для r_m должен наблюдаться отрицательный температурный коэффициент.

Константа скорости k_z^* имеет различные значения для симметричных и несимметричных молекул. В возбужденных несимметричных молекулах, атомы которых имеют заметно различающиеся массы, например в HCl^* или SO^* , большая часть колебательной энергии приходится на колебание более легкого атома. Следовательно, эффективная дезактивация будет происходить только в тех столкновениях, в которых M подлетает к молекуле со стороны легкого атома. В случае HCl и HF это равносильно утверждению, что лишь менее половины столкновений оказывается эффективными.

Хотя измерения скорости рекомбинации атомов не являются очень точными, все же хорошо установлено, что константа скорости имеет отрицательный температурный коэффициент. Согласно теории, развитой в работе [22], это является следствием снижения K^* и $G(T)$ при увеличении температуры. Температурная зависимость K^* приблизительно компенсируется членом $T^{1/2}$ в k_z^* , в то время как $G(T) \propto \frac{1}{T}$ для большинства молекул, кроме H_2 и $H - X$ при низких температурах. Экспериментальные данные свидетельствуют о том, что константы скорости рекомбинации действительно пропорциональны T^{-1} .

Наличие отрицательной энергии активации порядка RT указывает на то, что энергия активации обратной реакции (диссоциации X_2) меньше энергии диссоциации X_2 на RT при средней в рассматриваемом интервале температуре. При 3500°K $RT = 7 \text{ ккал/моль}$. В большинстве исследований диссоциации в ударных трубах были определены энергии активации, заметно меньшие по сравнению с ΔE_T° для данной реакции. Многие исследователи склонны рассматривать измеренные ими значения, как энергии диссоциации при абсолютном нуле ΔE_0° . Однако $\Delta E_T^{\circ} = \Delta E_0^{\circ} + + \langle C_v \rangle T$, причем величина $\langle C_v \rangle$, равная $+1,0 \text{ кал/(моль} \times \text{град)}$ при низких температурах, меняет знак при повышении T и при высоких температурах становится равной $-1,0 \text{ кал/(моль} \cdot \text{град)}$. Смена знака происходит приблизительно при $T = h\nu/3k$, где ν — частота колебаний. Для I_2 эта температура равна 70°K , для Cl_2 140°K , для H_2 2000°K . Практически для всех молекул, кроме H_2 и NX , $\langle C_v \rangle \approx -1 \text{ кал/(моль} \cdot \text{град)}$ выше 500°K и $\Delta E < \Delta E_0^{\circ}$. В случае H_2 это неравенство справедливо выше 3000°K , и если константа скорости рекомбинации атомов H при высоких температурах изменяется пропорционально T^{-1} , то энергия активации распада H_2 должна равняться $\Delta E_0^{\circ} - \frac{3}{2}RT$.

Некоторые характерные константы скорости рекомбинации атомов приведены в табл. III.14. Можно отметить, что они все, по-видимому, лежат вблизи $10^{9,5 \pm 0,5} \text{ л}^2/(\text{моль}^2 \cdot \text{сек})$ при 300°K и примерно на порядок ниже при 3000°K .

Возможен и другой механизм рекомбинации в случае, если третье тело M является многоатомной молекулой, способной образовывать долгоживущий комплекс с одним из рекомбинирующих атомов X . Так, известно, что n -пентан является в десятки раз более эффективной третьей частицей, чем Ar , при рекомбинации атомов (табл. III.14). В этом случае имеет место следующий механизм рекомбинации:

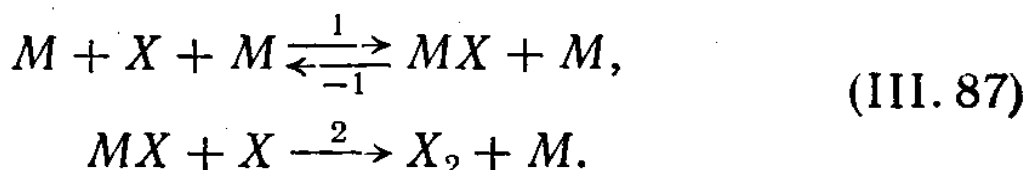


Таблица III. 14

Тримолекулярные константы скорости рекомбинации атомов

Литера- тура к таблице	Реакция	$T_m, ^\circ\text{K}$	$\lg k (M)^a)$
1	$\text{H} + \text{H} + M \rightarrow \text{H}_2 + M$	1072	9,5 (H_2) 9,3 ($\text{N}_2, \text{H}_2\text{O}$)
2		3500	9,3 (H_2), 8,3 (Ar)
3		4500	8,6 (Ar)
4		300	10,0 (H_2)
5		300	10,1 (H_2)
6	$\text{D} + \text{D} + M \rightarrow \text{D}_2 + M$	3500	8,5 (D_2), 9,3 (D)
5	$\text{O} + \text{O} + M \rightarrow \text{O}_2 + M$	300	8,9 (O_2), 9,0 (N_2), 8,5 (Ar, He), 9,2 (N_2O)
8		2200	8,85 (O_2)
9		2000	7,4 (Ar)
10		4000	7,3 (Ar), 7,6 (Kr), 8,1 (Xe)
4	$\text{N} + \text{N} + M \rightarrow \text{N}_2 + M$	300	8,9 (N_2)
5		300	9,5 (N_2)
11		300	9,3 (N_2)
12	$\text{I} + \text{I} + M \rightarrow \text{I}_2 + M$	300	9,3 (Ne), 9,5 (He), 9,64 (Ar)
13			
14			10,82 ($n\text{-C}_5\text{H}_{12}$), 9,36 ($n\text{-C}_4\text{H}_{10}$)
3	$\text{H} + \text{F} + M \rightarrow \text{HF} + M$	4500	8,7 (Ar)
15	$\text{H} + \text{Cl} + M \rightarrow \text{HCl} + M$	3500	(Ar)
4	$\text{N} + \text{O} + M \rightarrow \text{NO} + M$	300	9,5 (N_2)

^{a)} Константы скорости выражены в $\text{л}^2/(\text{моль}^2 \cdot \text{сек})$.

1. Dixon-Lewis G., Sutton M. M., Williams A., Disc. Faraday Soc., **33**, 205 (1962).
2. Patch R. W., J. Chem. Phys., **36**, 1919 (1962).
3. Jacobs T. A., Giedt R. R., Cohen N., J. Chem. Phys., **43**, 3688 (1965).
4. Kretschmer C. B., Peterson H. L., J. Chem. Phys., **39**, 1772 (1963).
5. Marshall T. C., Phys. Fluids, **5**, 743 (1962).
6. Rink J. P., J. Chem. Phys., **36**, 1398 (1962).
7. Morgan J. E., Schiff H. I., J. Chem. Phys., **38**, 1495 (1963).
8. Kieffer J. H., Lutz R. W., J. Chem. Phys., **42**, 1709 (1965).
9. Wray K. L., J. Chem. Phys., **38**, 1518 (1963).
10. Rink J. P., J. Chem. Phys., **36**, 572 (1962).
11. Авраменко Л. И., Красненков В. М., Изв. АН СССР, серия хим., **1963**, 1196.
12. Porter G., Szabo Z. G., Townsend M. G., Proc. Roy. Soc., **A270**, 493 (1962).
13. Christie M. I. et al., Proc. Roy. Soc., **A216**, 152 (1953).
14. Marshall R., Davidson N., J. Chem. Phys., **21**, 659 (1953).
15. Jacobs T. A., Cohen N., Giedt R. R., J. Chem. Phys., **46**, 1958 (1967).

В нем образование комплекса MX является тримолекулярным процессом. При условии стационарности концентрации MX суммарную скорость реакции можно представить уравнением

$$\frac{d[X_2]}{dt} = \frac{k_1 k_2 [X]^2 [M]^2}{k_{-1} [M] + k_2 [X]} \approx K_1 k_2 [X]^2 [M], \quad (\text{III. 88})$$

где $K_1 = k_1/k_{-1}$. Тогда кажущаяся константа скорости

$$k_r = K_1 k_2. \quad (\text{III. 89})$$

Можно ожидать, что если MX является довольно жестким комплексом, то $\Delta S_{1p}^\circ \approx -29 \text{ кал}/(\text{моль}\cdot\text{град})$ или $\Delta S_{1c}^\circ = -20,5 \text{ кал}/(\text{моль}\cdot\text{град})$. Если k_2 имеет величину, характерную для реакций отрыва атома, т. е. $A_2 \approx \approx 10^{10,5} \text{ л}/(\text{моль}\cdot\text{сек})$, то

$$\lg(k_r) \approx 16 - \frac{E_2 + \Delta H_1}{2,3RT} [\text{л}^2/(\text{моль}^2 \cdot \text{сек})]. \quad (\text{III. 90})$$

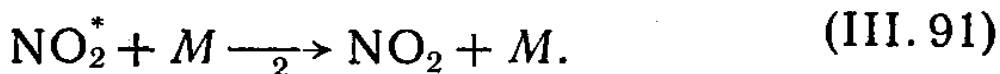
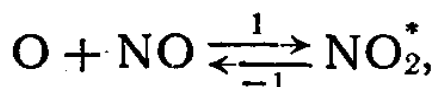
Константа скорости k_r имеет необычно низкий предэкспонент. Если величина E_2 невелика или близка к нулю, должна наблюдаться довольно большая отрицательная энергия активации, поскольку для экзотермической реакции значение ΔH_1 отрицательно. Это имеет место при рекомбинации атомов О при низких давлениях, катализируемой O_2 или NO . В обоих случаях очень быстрыми стадиями являются реакции $O + NO_2 \rightarrow O_2 + NO$ и $O + O_3 \rightarrow 2O_2$ (табл. III. 11). По аналогичному механизму NO катализирует рекомбинацию атомов I.

Большинство слабо связанных комплексов — комплексов с переносом заряда и вандерваальсовых комплексов, подобных тем, которые атомы иода образуют с большими или ненасыщенными молекулами, — имеют исключительно «рыхлую» структуру. Для реакции их образования $\Delta S_{1c}^\circ \approx -6 \text{ кал}/(\text{моль}\cdot\text{град})$ [24], а предэкспонент, по-видимому, имеет нормальную величину, т. е. $\sim 10^{9,8} \text{ л}^2(\text{моль}^2 \times \text{сек})$. На своеобразие механизма этого процесса указывает только величина отрицательного температурного коэффициента для этой реакции, которая соответствует «энергии активации» от -1 до $-3 \text{ ккал}/\text{моль}$, а не $-RT$.

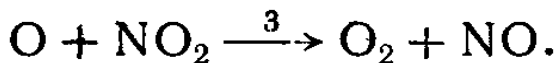
III. 21. ПРОЦЕССЫ ПЕРЕДАЧИ ЭНЕРГИИ ПРИ НИЗКИХ ДАВЛЕНИЯХ

Когда лимитирующей стадией становится процесс передачи энергии, реакции разложения начинают протекать по второму порядку, а реакции ассоциации — по третьему порядку. На основании результатов, изложенных в разд. III. 19, можно заключить, что при 1 атм так будет себя вести большинство трех- и четырехатомных молекул при температуре выше 300° К и пяти- и семиатомных молекул при температуре выше 1000° К. Константы скорости таких процессов мы рассмотрим для случая ассоциации. Чтобы перейти к константам скорости разложения, нам достаточно будет воспользоваться полученными для ассоциации значениями констант равновесия.

Рассмотрим реакцию ассоциации NO и O.



Реакция осложняется протеканием быстрой стадии



Стационарная скорость исчезновения атомов O

$$\frac{-d [O]}{dt} = \frac{2k_1 k_2 [M] [O] [NO]}{k_{-1} + k_2 [M]} \quad (\text{III. 92})$$

и при низких давлениях, когда $k_{-1} \gg k_2 [M]$,

$$\frac{-d [O]}{dt} = 2K_1^* k_2 [O] [NO] [M] = 2k_r [O] [NO] [M], \quad (\text{III. 93})$$

где $K_1^* = k_1/k_{-1}$, а k_r — константа скорости тримолекулярной рекомбинации.

Константу равновесия K_1^* можно определить с помощью констант скорости k_1 и k_{-1} , предполагая, что существует только одно состояние NO_2^* с некоторой средней энергией. Еще проще определить K_1^* , постулируя, что при 1000° К существует только одно состояние возбужденных молекул NO_2^* со средней энергией E . NO_2^* на-

ходится в равновесии с NO и O, поэтому нет необходимости рассматривать переходное состояние этой реакции. Выражение для константы равновесия K^* можно представить в виде

$$K_1^* = e^{\Delta S_1^\circ / R} \cdot \rho(E) \cdot \left(\frac{I_{\text{NO}_2}^\pm}{I_{\text{NO}_2}} \right)^{1/2}. \quad (\text{III. 94})$$

Последним членом в формуле (III. 94), равным 1,5, вносится поправка на избыток вращательной энергии NO_2^* , ΔS_1° — изменение энтропии при ассоциации, измеренное по отношению к основному состоянию NO_2 ,

Таблица III. 15

Аррениусовские параметры некоторых реакций присоединения третьего порядка с участием молекул

Литера- тура к таблице	Реакция	$T_m, ^\circ\text{K}$	$\lg k_1 [\text{л}^2 /(\text{моль}^2 \cdot \text{сек})]$
1	$\text{O} + \text{O}_2 + M \rightarrow \text{O}_3 + M$	380	8,1 (O_2), 8,2 (N_2), 8,5 (O_3)
2		300	8,1 (O_2)
3	$\text{O} + \text{NO} + M \rightarrow \text{NO}_2 + M$	300—500	$9,16 + 1,9/(\theta) \cdot (\text{O}_2)$
4		200—300	$8,9 + 1,8/(\theta) \cdot (\text{O}_2)$
5		300	10,46 (O_2)
6	$\text{H} + \text{NO} + M \rightarrow \text{HNO} + M$	300	10,17 (H_2)
7	$\text{H} + \text{O}_2 + M \rightarrow \text{HO}_2 + M$	300 и выше	$8,67 + 1,6/(\theta)$
8	$\text{Cl} + \text{NO} + M \rightarrow$ $\rightarrow \text{NOCl} + M$	245 ± 50	9,7 + 1,1/(\theta) (Ar), 10,5 (He), 10,5 (N_2), 10,6 (O_2), 10,5 (Cl_2), 10,5 (SF_6)

1. Benson S. W., Axworthy A. E., Jr., J. Chem. Phys., **42**, 2614 (1965).
2. Basco N., Proc. Roy. Soc., **A283**, 302 (1965).
3. Klein F. S., Herron J. T., J. Chem. Phys., **41**, 1285 (1964).
4. Clyne M. A. A., Thrush B. A., Proc. Roy. Soc., **A269**, 404 (1962).
5. Westenberg A. A., DeHass N., J. Chem. Phys., **40**, 3087 (1964).
6. Clyne M. A. A., Thrush B. A., Disc. Faraday Soc., **33**, 139 (1962).
7. Clyne M. A. A., Thrush B. A., Proc. Roy. Soc., **A275**, 559 (1963).
8. Clark T. R., Clyne M. A. A., Stedman D. H., Trans. Faraday Soc., **62**, 3354 (1966).

$\rho(E)$ — число способов, которыми внутреннюю энергию NO_2 можно распределить по трем колебательным степеням свободы, средняя частота которых принята равной 1100 см^{-1} . Полная энергия $E = E^\circ + RT$, где $E^\circ = 72 \text{ ккал/моль}$ — энергия диссоциации связи. Используя формулу (III. 84) и учитывая, что $\Delta S_{p300}^\circ = -31,3 \text{ кал/(моль} \cdot \text{град)}$ и $\Delta S_{c300}^\circ = -23,0 \text{ кал/(моль} \times \text{град})$, а $\langle \Delta C_v \rangle = 0$, имеем

$$K_1^* = 10^{-5,0} \cdot \frac{1,5}{2} \left(\frac{72,5}{3,2} \right)^2 = 10^{-2,4} \text{ л/моль.} \quad (\text{III. 95})$$

Приняв диаметр столкновений равным $4,0 \text{ \AA}$ и считая, что дезактивация происходит при каждом столкновении с N_2 , являющимся третьим телом можно найти, что $k_2 = 10^{11,6} \text{ л/(моль} \cdot \text{сек)}$, а $k_r(1000^\circ) \approx 10^{9,2} \text{ л}^2 / (\text{моль}^2 \cdot \text{сек})$. Эта величина очень близка к приведенному в табл. III. 15 значению $10^{9,3 \pm 0,3}$, которое получено экстраполяцией.

III. 22. РЕАКЦИИ ИОНОВ

Среди наиболее интересных ионных и ионно-молекулярных реакций, которые изучались в газовой фазе, можно отметить диссоциативную рекомбинацию $A^+ + B^- \rightarrow A + B$, реакции отрыва, например $\text{H}_2^+ + \text{H}_2 \rightarrow \text{H}_3^+ + \text{H}$, и реакции перезарядки $\text{N}_2^+ + \text{NO} \rightarrow \text{N}_2 + \text{NO}^+$.

Не вдаваясь в детали *, уместно сделать несколько замечаний. Для экзотермических реакций отрыва или замещения, например для $\text{CH}_4^+ + \text{CH}_4 \rightarrow \text{CH}_5^+ + \text{CH}_3$, константы скорости очень близки к частоте столкновений. Однако для процессов диссоциативной рекомбинации константы скорости примерно в $10^{2,5 \pm 0,5}$ раз выше, чем частота соударений. Это связано с большими эффективными радиусами кулоновского взаимодействия противоположных зарядов [26]. Согласно теории Дж. Дж. Томсона, A^+ и B^- могут образовывать пару на очень больших расстояниях $r \approx kT/e^2$; при 300° K $r \approx 500 \text{ \AA}$. Однако,

* Исчерпывающий обзор последних результатов в этой области дан в работе Маана [25].

как было показано, для протекания реакции необходимо, чтобы партнеры, образующие пару, сблизились до меньших расстояний, так как при больших r вероятность диссоциации очень велика.

У нас нет оснований предполагать, что экзотермические ионно-молекулярные реакции протекают с энергией активации, поскольку энергия поляризации партнеров соударения $E_p \approx (e^2\alpha/2r)$ обычно значительно превышает энергию активации, которую можно было бы ожидать для аналогичной реакции нейтральных частиц. У ионов (точнее, у ион-радикалов, таких, как H^+ , H_2^+ , CH_4^+ и др.) имеются незаполненные низко расположенные орбитали, и поэтому реакции между такими частицами будут протекать без энергии активации. Это не относится к ионам с заполненными электронными оболочками, например HeH^+ , H_3^+ , CH_5^+ .

ЛИТЕРАТУРА

- Глесстон С., Лейдлер К., Эйринг Г., Теория абсолютных скоростей реакций, Издатинлит, М., 1948.
- Бенсон С., Основы химической кинетики, изд-во «Мир», М., 1964.
- Benson S. W., Axworthy A. E., Jr., J. Chem. Phys., 21, 428 (1953).
- Benson S. W., J. Am. Chem. Soc., 80, 5151 (1958).
- Benson S. W., DeMore W. B., Ann. Rev. Phys. Chem., 16, 433 (1965).
- Benson S. W., Advances in Photochemistry, Interscience, N. Y., vol. 2, 1964.
- Benson S. W., Golden D. M., Egger K., J. Am. Chem. Soc., 87, 468 (1965).
- Arnett R. L., Crawford B. L., Jr., J. Chem. Phys., 18, 118 (1950).
- O'Neal H. E., Benson S. W., J. Phys. Chem., 71, 2903 (1967).
- Rabinovitch B. S., Schlag E., Wiberg K., J. Chem. Phys., 23, 315, 2439 (1955).
- Benson S. W., J. Chem. Phys., 34, 521 (1961).
- Gerberich R., Walters W. D., J. Am. Chem. Soc., 83, 3935 (1960); 84, 4884 (1961).
- Benson S. W., O'Neal H. E., J. Phys. Chem., 72, 1866 (1968).
- Gunning H. E., Stock R. L., Can. J. Chem., 42, 357 (1964).
- Gordon A. S., Can. J. Chem., 43, 570 (1965).
- Gordon A. S., Ruthven-Smith S., Drew C. M., J. Chem. Phys., 36, 824 (1963).

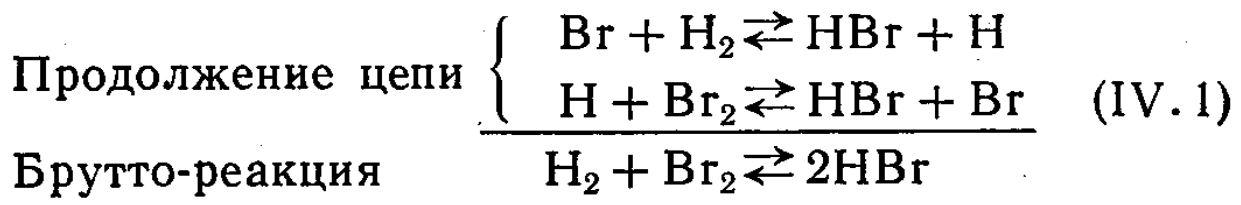
17. Srinivasan R., Levi A. A., J. Am. Chem. Soc., 86, 3756 (1964).
18. Benson S. W., J. Chem. Phys., 46, 4920 (1967).
19. Pitts J. N., Sharp J. H., Chan S. I., J. Chem. Phys., 40, 3655 (1964).
20. Herron J. T., Klein F. S., J. Chem. Phys., 40, 2731 (1964).
21. Rabинович B. S., Setzer D. W., Advances in Photochemistry, vol. 3, N. Y., 1964.
22. Benson S. W., Fueno T., J. Chem. Phys., 36, 1597 (1962).
23. Benson S. W., Berend G., J. Chem. Phys., 40, 1289 (1964); 44, 470 (1966).
24. Rice O. K., Attack D., J. Phys. Chem., 58, 1017 (1954).
25. Mahan B., Ann. Rev. Phys. Chem., 17, 173 (1966).
26. Mahan S. H., Person J. C., J. Chem. Phys., 40, 285 (1964).

ГЛАВА IV

АНАЛИЗ СЛОЖНЫХ РЕАКЦИЙ

IV. 1. ЦЕПНЫЕ РЕАКЦИИ

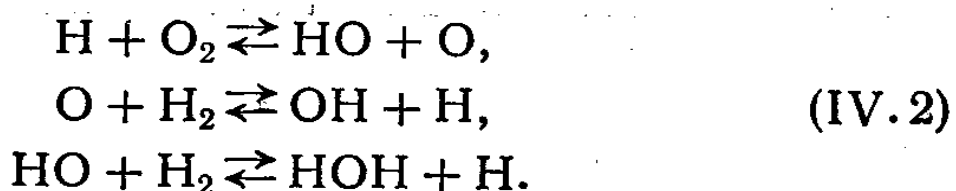
В гл. III речь шла преимущественно о кинетике реакций, которые можно рассматривать как элементарные. В таких реакциях продукты и реагенты разделены единственным энергетическим барьером. Однако таких простых реакций очень мало, большинство же являются сложными и включают, как можно показать, две или более элементарных стадий. Наиболее общий тип усложнения химической реакции состоит в следующем. В процессе реакции могут возникать реакционноспособные промежуточные продукты — атомы или свободные радикалы, которые выступают в роли катализаторов. Реакция протекает путем повторяющихся циклов элементарных стадий, особенностью которых является то, что участвующие в этих реакциях свободные радикалы регенерируются в пределах каждого цикла (звена цепи). В итоге элементарные реакции каждого звена можно суммировать молекулярной брутто-реакцией, и таким образом концентрация свободных радикалов (активных центров) остается неизменной. Классическим примером цепной реакции является реакция



В каждой элементарной стадии продолжения цепи происходит замена одного активного центра (например, H) на другой (Br), но общая концентрация их, равная $[\text{H}] + [\text{Br}]$, остается неизменной.

Реакции, в которых общая концентрация активных центров возрастает по мере продолжения цепи,

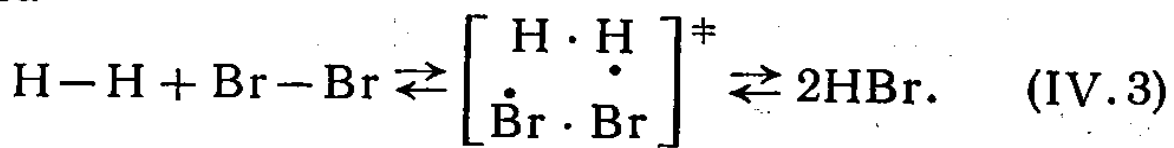
называются разветвленными цепными реакциями. Примером такого процесса является реакция $\text{H}_2 + \text{O}_2$.



Эти уравнения нельзя просуммировать, получив молекулярную брутто-реакцию. В первых двух стадиях один активный центр заменяется на два новых ($\text{H} \rightarrow \text{HO} + \text{O}$ или $\text{O} \rightarrow \text{OH} + \text{H}$), в результате чего после начала реакции в системе должен наблюдаться экспоненциальный рост концентрации радикалов. Мы ограничимся рассмотрением только неразветвленных цепных процессов.

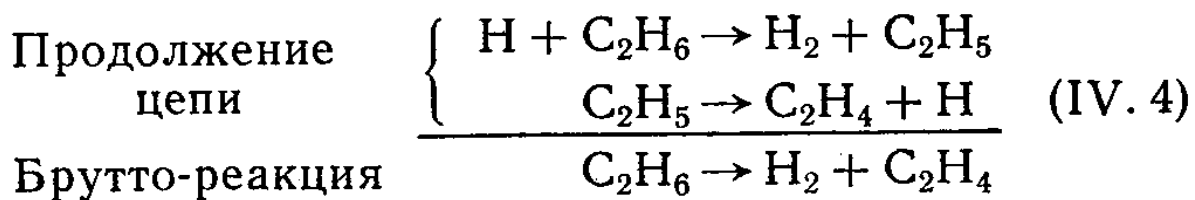
IV. 2. КРИТЕРИИ ДЛЯ ОЦЕНКИ РОЛИ ЦЕПНЫХ РЕАКЦИЙ

В принципе может существовать множество путей, по которым заданный набор реагентов превращается в определенные продукты. Число таких возможных путей или механизмов ограничено только воображением исследователя, который изучает данную реакцию. Однако из всего разнообразия механизмов практически удается наблюдать лишь те, по которым в условиях эксперимента реагенты превращаются в продукты с наибольшей скоростью. Если же заранее попытаться предсказать наиболее благоприятный механизм реакции, т. е. обеспечивающий максимальную скорость, то необходимо сопоставить все возможные механизмы. В качестве одного из таких механизмов можно рассматривать молекулярный процесс с единственным переходным состоянием. Так, в реакции $\text{H}_2 + \text{Br}_2 \rightarrow 2\text{HBr}$ простейший механизм такого рода будет включать образование четырехцентрового комплекса



По такому механизму с участием стабильных молекул реакция должна протекать с высокими энергиями активации. Для бимолекулярных реакций можно ожидать низких значений предэкспонентов. Радикально-цепной

процесс будет успешно конкурировать с молекулярной реакцией, только если стадии продолжения цепи протекают достаточно быстро. Обычно условием этого являются низкие энергии активации. При рассмотрении сложных реакций мы все время будем сравнивать скорости молекулярного и радикального процессов. При пиролизе больших, особенно ненасыщенных, молекул процессы обоих типов могут протекать параллельно. Не для всех молекул возможен механизм распада с участием быстрых и простых цепей. Например, пиролиз C_2H_6 протекает по следующему простому цепному механизму:

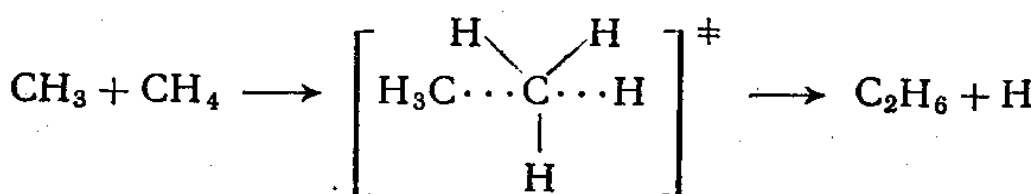


В то же время не существует простого цепного механизма термического разложения CH_4 до $C_2H_6 + H_2$ или $C_2H_2 + 3H_2$. Рассмотрим, с чем это связано.

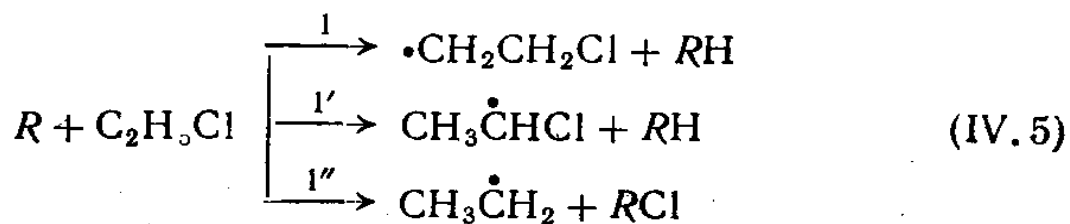
Чтобы решить, может ли некоторая молекула претерпевать цепное разложение, необходимо рассмотреть, будет ли протекать бимолекулярная реакция молекулы X с некоторым радикалом R , за которой должны следовать другие стадии, приводящие к регенерации R . В качестве возможных стадий продолжения цепи могут выступать реакции присоединения, отрыва атома и мономолекулярного распада. Чтобы бимолекулярные стадии были достаточно быстрыми, их энергии активации должны удовлетворять следующему неравенству: $E/\theta \leq 5,5$, в то время как для мономолекулярных стадий аналогичное неравенство примет вид $E/\theta \leq 14^*$. Эти неравенства являются выражением условия, что скорость продолжения цепи должна быть намного больше (в 10—100 раз) скорости зарождения активных центров. В противном случае в системе будут преобладать реакции инициирования, а цепной процесс не будет играть важной роли. С другой стороны, очень быстрый цепной процесс имеет слишком большую длину цепи, так что система может не достичь стационарного состояния.

* Напомним, что $\theta = 2,303 RT$ (ккал/моль).

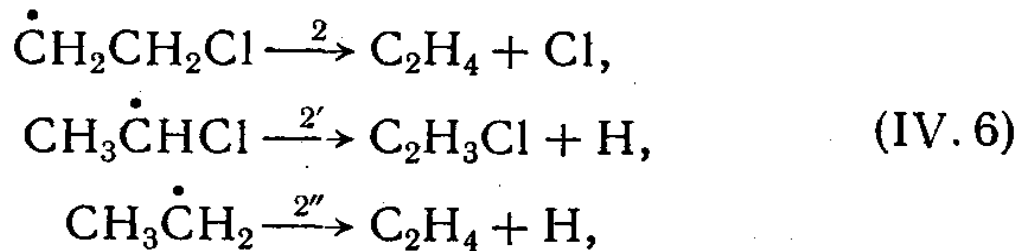
Наложенные на энергию активации ограничения обычно исключают реакции, в переходных состояниях которых валентно-насыщенные атомы C, N, O, F и другие присоединяют дополнительные электроны (например, реакции образования пятивалентного C и трехвалентного O в переходном состоянии). Поэтому реакция



не может играть важной роли в качестве стадии продолжения цепи при пиролизе CH_4 . Рассмотрим теперь цепной распад $\text{C}_2\text{H}_5\text{Cl}$. Единственной реакцией радикала R может быть отрыв атома, поэтому все три реакции



являются возможными стадиями продолжения цепи. Далее следуют:



причем либо H, либо Cl должны выступать в качестве радикала R .

Из приведенных в конце книги данных о прочности связей можно заключить, что реакция отрыва Cl с участием атома Cl будет эндотермична (22 ккал/моль) и потому должна иметь слишком высокую энергию активации, чтобы быть достаточно быстрой. Таким образом, продуктами реакций (IV.5) могут быть только HCl и H_2 . При $R = \text{Cl}$ по реакциям (1) и (2) будут получаться $\text{C}_2\text{H}_4 + \text{HCl}$; при $R = \text{H}$ реакции (1') и (2') дадут $\text{C}_2\text{H}_3\text{Cl} + \text{H}_2$, а реакции (1'') и (2'') — $\text{C}_2\text{H}_4 + \text{HCl}$. Используя энергию диссоциации связей, можно снова по-

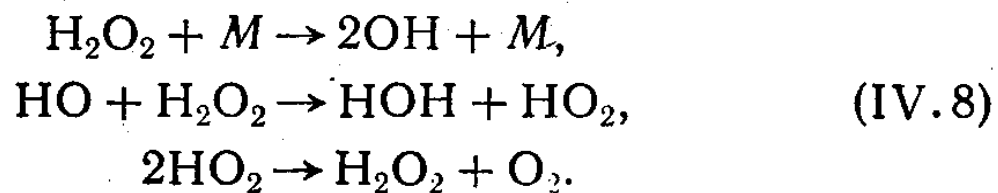
казать, что реакции (2') и (2'') эндотермичны (примерно 39 ккал/моль), тогда как эндотермичность реакции (2) всего 20 ккал/моль. Таким образом, быструю цепь может дать только последовательность реакций (1) и (2), в которых активные центры Cl^{\cdot} и $\cdot\text{C}_2\text{H}_4\text{Cl}$ дают продукты C_2H_4 и HCl .

Молекула Cl_2O не может распадаться по простому цепному механизму. В результате отрыва атома Cl от Cl_2O образуется малоактивный радикал ClO^{\cdot} , который не может быстро продолжать цепь. То же относится к распаду F_2O , N_2O и ClO_2^* .

При разложении перекиси водорода не могут возникать быстрые цепи, поскольку при отрыве атома H образуется радикал HO_2^{\cdot} :



в котором обе связи достаточно прочны: $DH^\circ(\text{H} - \text{O}_2) = 47$ ккал/моль, а $DH^\circ(\text{HO} - \text{O}) = 67$ ккал/моль. И действительно, разложение H_2O_2 происходит по радикальному, а не по цепному механизму даже при 550°C

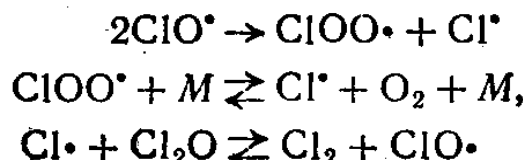


IV.3. СКОРОСТЬ ПРОДОЛЖЕНИЯ ЦЕПИ

Скорость продолжения цепи измеряется обратной величиной времени, необходимого для протекания каждой стадии в пределах одного звена цепи. В случае $\text{H}_2 + \text{Br}_2$ (IV.1) среднее время, необходимое для реакции атома H, τ_{H} определяется выражением

$$\tau_{\text{H}} = \frac{[\text{H}]}{d[\text{H}]/dt} = \left[\frac{d(\ln [\text{H}])}{dt} \right]^{-1} = \frac{1}{k_a [\text{Br}_2]}, \quad (\text{IV.9})$$

* Однако возможно продолжение цепи с участием двух радикалов:

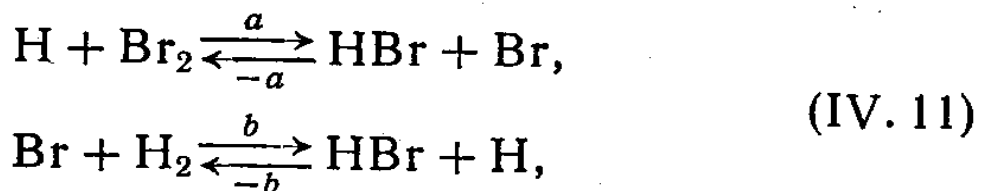


в котором не учтена обратная реакция $\text{Br} + \text{HBr} \rightarrow \text{H} + \text{Br}_2$. Аналогично для атомов Br

$$\tau_{\text{Br}} = \frac{1}{k_b [\text{H}_2]}. \quad (\text{IV. 10})$$

Чтобы внести поправку на протекание обратной реакции, необходимо умножить эту величину на $1/(1 - \alpha)$, где α — доля атомов Br, регенерируемых благодаря обратной реакции. Общее время протекания одного звена цепи равно $\tau = \tau_{\text{Br}} + \tau_{\text{H}}$. Если цепь состоит из звеньев с m стадиями, то τ можно представить как сумму m членов, причем если k -я стадия заметно медленнее других, тогда $\tau \approx \tau_k$, и эта стадия становится лимитирующей. Столь простые соотношения справедливы для многих, но не для всех цепных реакций.

Хотя стадии продолжения цепи не влияют на общую концентрацию радикалов, соотношения концентраций радикалов в условиях квазистационарного состояния определяются только скоростями отдельных стадий продолжения цепи. Так, для реакции $\text{H}_2 + \text{Br}_2$



при условии длинных цепей ($\lambda \geq 10$) самая медленная стадия продолжения цепи по крайней мере на порядок быстрее реакций инициирования или исчезновения радикалов в системе. Следовательно, предположение о квазистационарном состоянии как для H, так и для Br приводит к одному и тому же уравнению

$$\begin{aligned} \frac{d[\text{H}]}{dt} &= \frac{d[\text{Br}]}{dt} \approx 0, \\ k_a [\text{H}][\text{Br}_2] + k_{-b} [\text{HBr}][\text{H}] &= \\ &= k_{-a} [\text{Br}][\text{HBr}] + k_b [\text{Br}][\text{H}_2] \end{aligned} \quad (\text{IV. 12})$$

или, если пренебречь медленной сильно эндотермичной стадией $-a$, к

$$\frac{[\text{H}]}{[\text{Br}]} = \frac{k_b [\text{H}_2]}{k_a [\text{Br}_2] + k_{-b} [\text{HBr}]} \quad (\text{IV. 13})$$

Скорость реакции $R(\text{HBr})$ определяется формулой

$$R(\text{HBr}) = R_a - R_{-a} + R_b - R_{-b}, \quad (\text{IV. 14})$$

которая с учетом соотношения (IV. 12) принимает вид

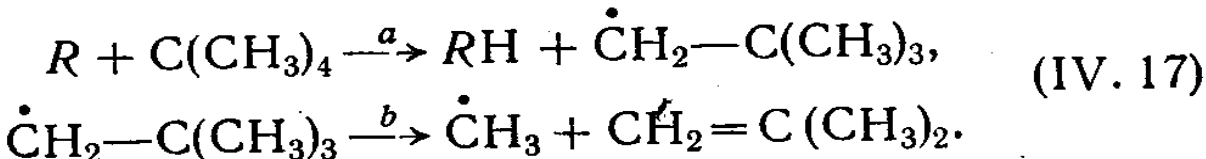
$$R(\text{HBr}) = 2(R_a - R_{-a}) \approx 2R_a = 2k_a[\text{H}][\text{Br}_2], \quad (\text{IV. 15})$$

или, если использовать соотношение (IV. 13) и перейти к $[\text{Br}]$,

$$R(\text{HBr}) = \frac{2k_a k_b [\text{H}_2][\text{Br}_2][\text{Br}]}{k_a[\text{Br}_2] + k_{-b}[\text{HBr}]} \quad (\text{IV. 16})$$

С помощью подобных преобразований всегда оказывается возможным при условии длинных цепей выразить стационарную скорость цепного процесса с помощью концентраций любого из активных центров. Как мы увидим в дальнейшем, абсолютные концентрации активных центров определяются реакциями инициирования и обрыва.

В качестве еще одного примера рассмотрим цепной пиролиз неопентана (NpH), продуктами которого являются изобутилен и метан:



Если $R = \text{CH}_3$, имеем цепь с двумя активными центрами — метильным и неопентильным радикалом $[\text{Np}]$ и $[\dot{\text{C}}\text{H}_3]$. При наличии длинных цепей в стационарном состоянии

$$\frac{[\text{Np}]}{[\dot{\text{C}}\text{H}_3]} = \frac{k_a[\text{NpH}]}{k_b} \quad (\text{IV. 18})$$

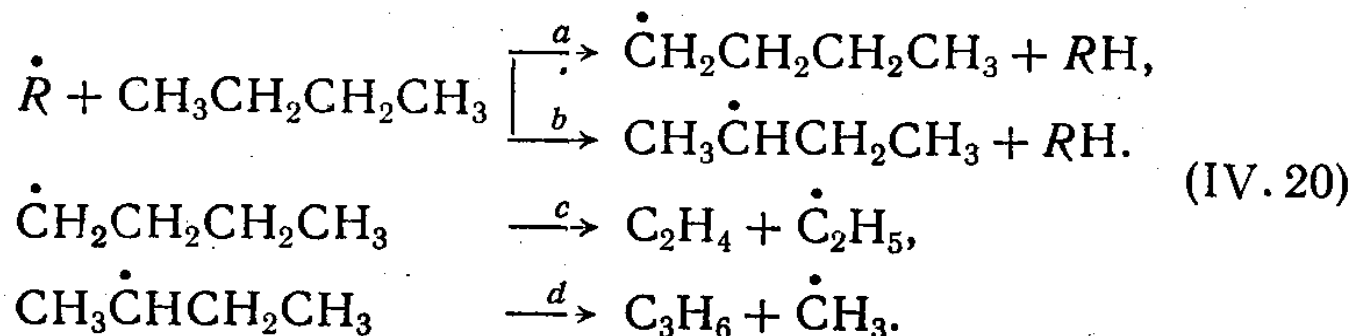
и

$$\frac{-d[\text{NpH}]}{dt} = R_a = R_b = k_a[\text{CH}_3][\text{NpH}] = k_b[\dot{\text{C}}\text{H}_3]. \quad (\text{IV. 19})$$

IV. 4. ПРОДУКТЫ КОНКУРИРУЮЩИХ ЦЕПНЫХ РЕАКЦИЙ

Для более сложных молекул оказываются возможными несколько различных типов циклов цепного процесса, как мы уже убедились при анализе распада $\text{C}_2\text{H}_5\text{Cl}$. Если

для каждого из них длина цепи достаточно велика, относительное распределение продуктов будет определяться только стадиями продолжения цепей. Так, в случае крекинга *n*-бутана существуют следующие возможности:



Таким образом, при отрыве вторичного атома Н образуются $\text{CH}_4 + \text{C}_3\text{H}_6$, а при отрыве первичного атома Н образуются $\text{C}_2\text{H}_6 + \text{C}_2\text{H}_4$. Так как каждый из двух активных центров ($\dot{\text{C}}\text{H}_3$ и $\dot{\text{C}}_2\text{H}_5$) может отрывать атомы Н из обоих положений

$$\frac{R(\text{C}_2\text{H}_4)}{R(\text{C}_3\text{H}_6)} = \frac{k_c [\text{n-C}_4\text{H}_9\cdot]}{k_d [\text{втор-}\text{C}_4\text{H}_9\cdot]} = \frac{R_a + R'_a}{R_b + R'_b}, \quad (\text{IV. 21})$$

где значения, отмеченные штрихом, относятся к реакциям $\dot{\text{C}}_2\text{H}_5$. В стационарном состоянии для всех радикалов $\dot{\text{C}}\text{H}_3$, $\dot{\text{C}}_2\text{H}_5$ и $\dot{\text{C}}_4\text{H}_9$ справедливы уравнения

$$\begin{aligned} R_c &= R_a + R'_a = R'_a + R'_b, \\ R_d &= R_b + R'_b = R_a + R_b, \end{aligned} \quad (\text{IV. 22})$$

откуда

$$\frac{[\text{CH}_3]}{[\text{C}_2\text{H}_5]} = \frac{k'_b}{k_a}$$

и

$$\frac{R(\text{C}_2\text{H}_4)}{R(\text{C}_3\text{H}_6)} = \frac{k'_b + k'_a}{k_b + k_a}. \quad (\text{IV. 23})$$

Конечно, здесь мы пренебрегаем всеми вторичными реакциями, поэтому данное простое соотношение отно-

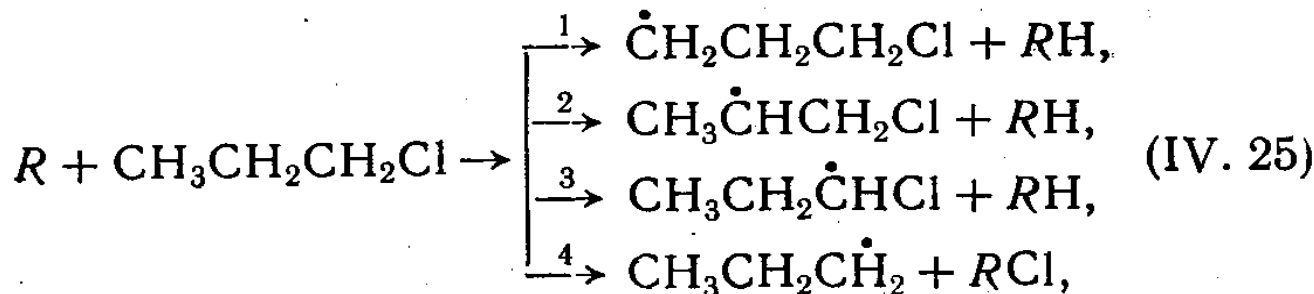
сится только к начальным стадиям реакции.

$$\frac{R(C_4H_{10})}{[C_4H_{10}]} = \frac{-d[C_4H_{10}]}{[C_4H_{10}] dt} = \frac{(R_a + R'_a + R_b + R'_b)}{[C_4H_{10}]} = \quad (\text{IV. 24})$$

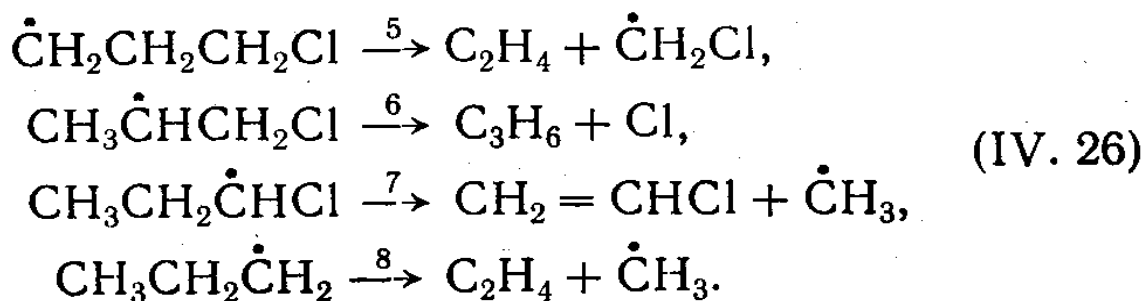
$$= \{(k_a + k_b)[\dot{C}H_3] + (k'_a + k'_b)[\dot{C}_2H_5]\} =$$

$$= \left[(k_a + k_b) \frac{k'_b}{k_a} + (k'_a + k'_b) \right] [\dot{C}_2H_5].$$

Рассмотрим последний пример — цепной пиролиз *n*-C₃H₇Cl. Как обычно, начнем наш анализ с рассмотрения реакций



за которыми следуют



Здесь мы пренебрегаем обратными реакциями — реакциями отрыва атомов с участием больших радикалов, вторичными реакциями с продуктами и более эндотермическими стадиями продолжения цепи с отщеплением атомов H, например $\dot{C}H_2CH_2CH_2Cl \rightarrow CH_2 = CHCH_2Cl + H$. Можно отметить три конкурирующих типа элементарных стадий, продуктами которых являются C₃H₆ + HCl ($R = Cl$), C₂H₄ + CH₃Cl ($R = \dot{C}H_2Cl$ и CH_3) и C₂H₃Cl +

$+ \text{CH}_4$ ($R = \text{CH}_3$). Соотношения для стационарного состояния имеют вид

$$R'_1 + R'_2 + R'_3 + R'_4 = R_1 + R'_1 + R''_1 = R_5,$$

$$R_1 + R_2 + R_3 = R_2 + R'_2 + R''_2 = R_6,$$

$$R_3 + R'_3 + R''_3 = R_7, \quad (\text{IV. 27})$$

$$R'_4 + R''_4 = R_8,$$

$$R''_1 + R''_2 + R''_3 + R''_4 = R_7 + R_8,$$

где R_i относится к Cl , R'_i — к $\dot{\text{C}}\text{H}_2\text{Cl}$, а R''_i — к $\dot{\text{C}}\text{H}_3$. Система уравнений (IV. 27) совместна, поэтому ее решение позволяет получить связь между соотношением скоростей и концентрациями радикалов

$$\frac{R(\text{C}_2\text{H}_4)}{R(\text{C}_3\text{H}_6)} = \frac{R_1 + R'_1 + R''_1 + R'_4 + R''_4}{R_1 + R_2 + R_3},$$

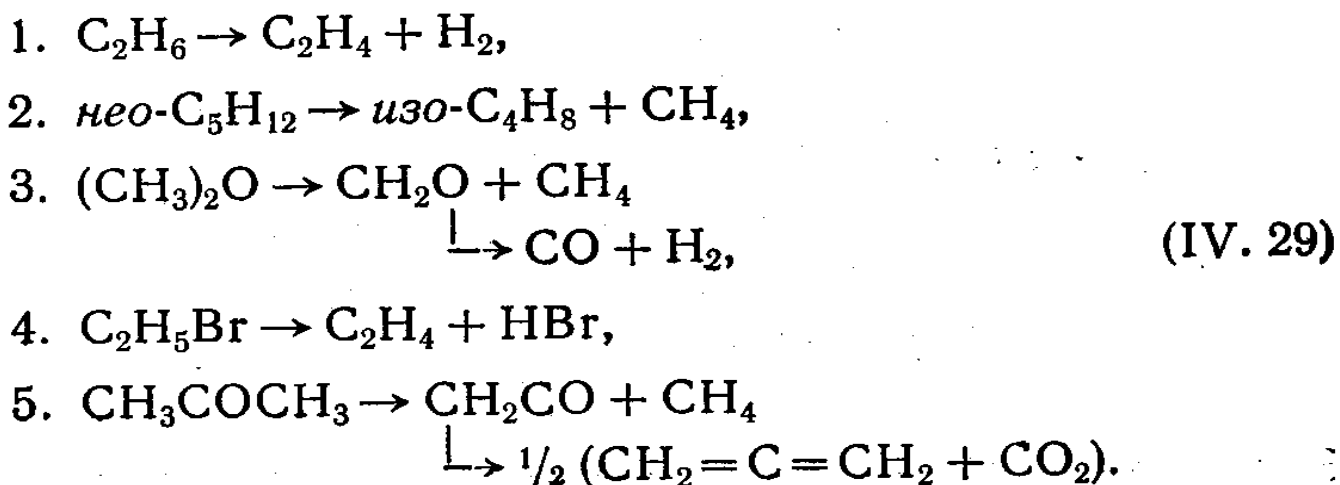
$$\frac{R(\text{CH}_2\text{CHCl})}{R(\text{C}_3\text{H}_6)} = \frac{R_3 + R'_3 + R''_3}{R_1 + R_2 + R_3}. \quad (\text{IV. 28})$$

Более тщательный анализ показывает, что некоторые из приведенных выше стадий протекают лишь в незначительной степени по сравнению с обратными реакциями. Так, разрыв связи $\text{C}-\text{C}$ происходит медленнее обратной реакции радикала с HCl , поэтому даже при глубине превращения в несколько процентов все направления цепной реакции, кроме приводящего к $\text{C}_3\text{H}_6 + \text{HCl}$, оказываются подавленными.

IV. 5. НЕКОТОРЫЕ ТИПЫ ЦЕПНЫХ РЕАКЦИЙ

Три типа реакций могут иметь механизм неразветвленного цепного процесса — реакции замещения, присоединения и термического разложения. Если последняя реакция включает обычно превращения одного реагента, то две другие происходят при взаимодействии двух реагентов.

Приведем некоторые примеры изученных реакций термического разложения:

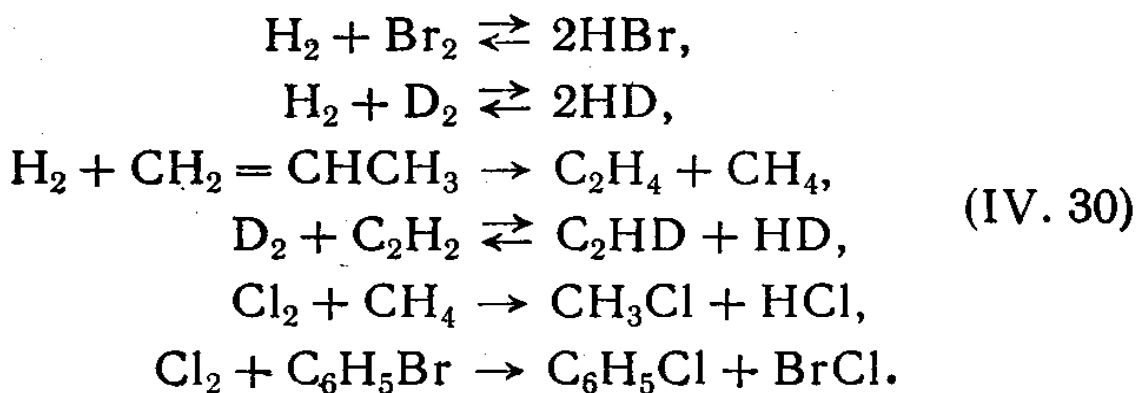


Все перечисленные реакции объединяет то, что они являются эндотермическими и сопровождаются увеличением энтропии, поэтому протекание их часто ограничено равновесием, т. е. существует такая предельная температура, ниже которой равновесие благоприятствует протеканию обратных реакций.

Такими обратными процессами являются реакции присоединения, которые должны иметь тот же цепной механизм. На практике, однако, часто оказывается иначе. Обычно скорости реакций присоединения слишком малы, чтобы наблюдаваться ниже этой предельной температуры, тогда как при несколько более высоких концентрациях и температурах значительные осложнения возникают из-за вторичных реакций. Например, при взаимодействии H_2 с C_2H_4 наряду с образованием C_2H_6 происходит полимеризация C_2H_4 *. Реакции присоединения CH_4 к CH_2O с образованием $(\text{CH}_3)_2\text{O}$ и H_2 к CO с образованием CH_2O являются термонейтральными, и потому даже при давлении 1000 атм температуры, при которых эти реакции могут идти с ощутимой скоростью по гомогенному механизму, оказываются значительно выше их предельных температур.

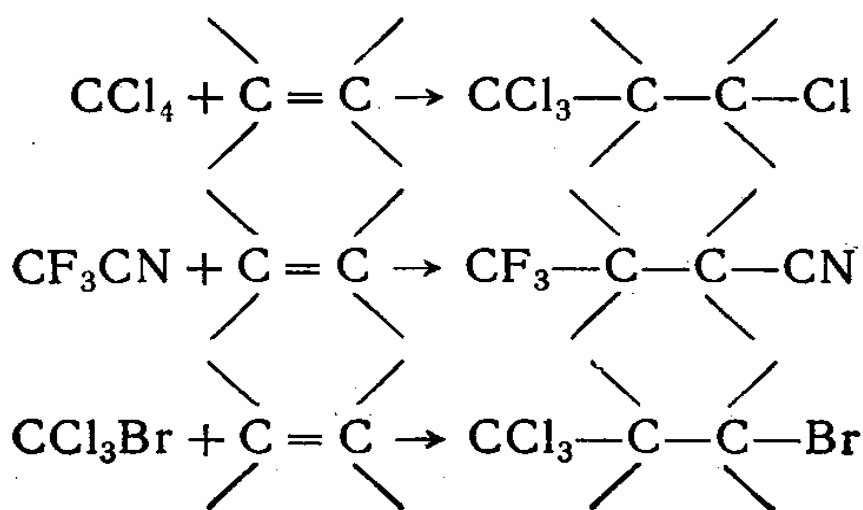
* Вероятно, это не должно было бы иметь места при достаточно высоких отношениях $[\text{H}_2]/[\text{C}_2\text{H}_4] > 20$, однако в этих условиях реакция не изучалась.

Приведем некоторые примеры изученных цепных реакций замещения:

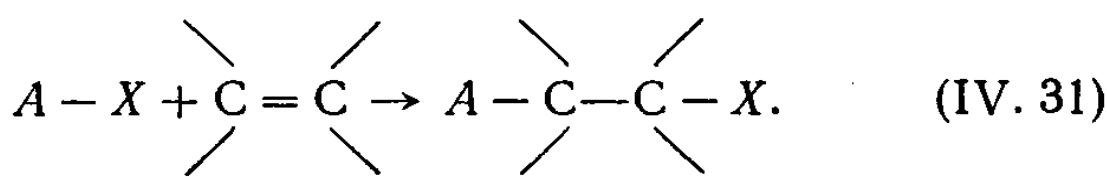


Эти реакции обычно экзотермические, иногда термонейтральные и сопровождаются очень незначительным изменением энтропии. Поэтому для них часто удается наблюдать достижение равновесия, и обратные реакции могут быть изучены независимо.

Реакции присоединения, обратные реакциям термического разложения, обычно являются экзотермическими и сопровождаются уменьшением энтропии. Для них существуют предельные температуры T_c , выше которых суммарная скорость может заметно снижаться из-за протекания обратных реакций. Кроме того, реакции эти могут обладать необычно низкой энергией активации, связанной с наличием обратимых экзотермических стадий. Теломеризация является особым типом реакций присоединения и простейшим процессом полимеризации. В реакции теломеризации CCl_4 , CF_3CN или CCl_3Br присоединяются к двойной связи



или в общем случае



Если концентрация олефина достаточно велика, могут образовываться полимерные продукты с различной длиной цепи, имеющие общую формулу $CCl_3-(>C-C<)_n-Cl$, где $n = 1, 2, \dots$. Возникающие обычно при количественных исследованиях этих реакций присоединения трудности вынуждают ограничиваться очень низкими концентрациями олефинов.

Для каждого из рассмотренных выше типов цепных реакций общим является наличие определенной стадии продолжения цепи. Для реакций термического разложения это стадия мономолекулярного распада радикала. Например, при пиролизе этана происходит распад этильного радикала



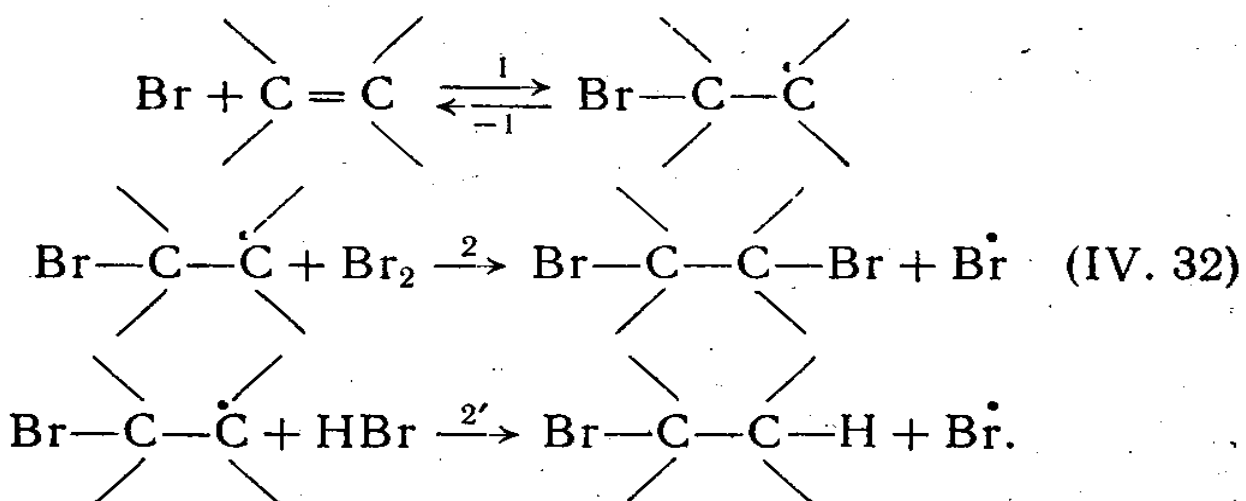
Такие стадии обычно являются главными источниками эндотермичности суммарного процесса и характеризуются довольно высокими энергиями активации *. Благодаря этой эндотермичности обратные реакции протекают быстро и их вклад оказывается заметным даже при образовании небольших количеств продукта.

Как мы отмечали в гл. III, для констант скорости этих реакций имеются очень немногочисленные экспериментальные данные, и оценки, сделанные с помощью наших обычных приемов, оказываются столь же надежными, как и некоторые из приводимых значений. Наибольшая неопределенность в константах скорости этих

* Терплота реакции распада C_2H_5 равна 39 ккал/моль. Обратная реакция присоединения имеет энергию активации около 3,5 ккал/моль и для реакции распада $E = 42,5$ ккал/моль. При типичной температуре пиролиза C_2H_6 900° К время жизни радикала \dot{C}_2H_5 в области высоких давлений составляет 10^{-4} сек. Однако, поскольку соотношение $E/RT \approx 23$ невелико и соответствует сравнительно небольшому числу колебательных квантов, даже при полном давлении 1 атм эта реакция, несомненно, попадает в область промежуточных давлений.

реакций связана с зависимостью от давления. Обычно измерения проводятся в промежуточной области, т. е. удаленной как от верхнего, так и от нижнего предела по давлению, поэтому измеряемые аррениусовские параметры нельзя рассматривать, как относящиеся к верхнему пределу.

Обратная реакция присоединения радикала или атома является характерной для цепных реакций присоединения. И для этих реакций оказывается неизвестной зависимость константы скорости от давления. Рассмотрим, например, присоединение HBr или Br₂ к олефинам.



В данном случае стадия (2), экзотермичность которой равна 35 ккал/моль, является необратимой (экзотермичность реакции (2') составляет всего лишь 11 ккал/моль). Стационарная скорость исчезновения Br₂ определяется формулой

$$-\frac{d[\text{Br}_2]}{dt} = \frac{k_1 k_2 [\text{Br}_2] [\text{C}_n\text{H}_{2n}] [\text{Br}]}{k_{-1} + k_2 [\text{Br}_2]}. \quad (\text{IV. 33})$$

В пределе при $k_{-1} \ll k_2 [\text{Br}_2]$

$$-\frac{d[\text{Br}_2]}{dt} = k_1 [\text{Br}] [\text{C}_n\text{H}_{2n}], \quad (\text{IV. 34})$$

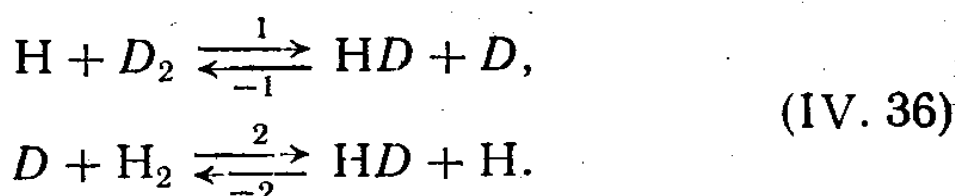
а при $k_{-1} \gg k_2 [\text{Br}_2]$

$$-\frac{d[\text{Br}_2]}{dt} = K_1 k_2 [\text{Br}_2] [\text{C}_n\text{H}_{2n}] [\text{Br}], \quad (\text{IV. 35})$$

где $K_1 = k_1/k_{-1}$. Следует отметить, что константы k_1 и k_{-1} могут зависеть от давления. В последнем случае, когда реакция лимитируется равновесием, энергия активации

процесса продолжения цепи составит $\Delta E_1 + E_2$. Так как $\Delta E_1 \approx -12$ ккал/моль (см. гл. V), а $E_2 \approx 1,5$ ккал/моль, то суммарная энергия активации продолжения цепи будет отрицательной и равной $-10,5$ ккал/моль. И действительно, скорость фотобромирования этилена, при которой стационарная концентрация атомов Br не зависит от температуры, заметно снижается при увеличении температуры [1].

В цепных реакциях замещения, которые могут достигать равновесия и почти термонейтральны, как прямые, так и обратные стадии продолжения цепи являются элементарными реакциями замещения. Эти реакции в принципе всегда обратимы. Например,



Скорость дейтерообмена в условиях стационарного состояния можно представить соотношением

$$\begin{aligned} \frac{d[\text{HD}]}{dt} &= (R_1 - R_{-1}) + (R_2 - R_{-2}) = 2(R_1 - R_{-1}) = \\ &= 2k_1[\text{H}][D_2] \left\{ 1 - K_{-1} \frac{[\text{HD}][D]}{[D_2][\text{H}]} \right\}, \end{aligned} \quad (\text{IV. 37})$$

где

$$\frac{[D]}{[\text{H}]} = \frac{k_1[D_2] + k_{-2}[\text{HD}]}{k_2[\text{H}_2] + k_{-1}[\text{HD}]} \quad (\text{IV. 38})$$

В итоге получим

$$\frac{d[\text{HD}]}{dt} = \frac{2k_1[\text{H}][D_2]}{1 + \left(\frac{k_{-1}}{k_2} \right) \frac{[\text{HD}]}{[\text{H}_2]}} \left\{ 1 - \frac{[\text{HD}]^2}{K_{\text{eq}}[\text{H}_2][D_2]} \right\}, \quad (\text{IV. 39})$$

где K_{eq} — константа равновесия реакции $\text{H}_2 + D_2 \rightleftharpoons 2\text{HD}$. Так как k_{-1} и k_2 имеют сопоставимые значения, можно отметить, что эффект ингибиции HD обнаруживается задолго до того, как суммарная обратная реакция станет существенной. Так, при $[\text{HD}]/[D_2] = 0,2$ (глубина реакции $\sim 9\%$) знаменатель в формуле (IV.39) будет равен 1,2, в то время как член в скобках практически не будет отличаться от 1 (0,99 при $[\text{H}_2] = [D_2]$).

IV. 6. СТАДИИ ИНИЦИРОВАНИЯ

Мы уже убедились, что скорость реакций, в которых длина цепи велика, может быть выражена с помощью констант скорости стадий продолжения цепи и концентраций активных центров. Абсолютные концентрации этих активных центров определяются скоростями процессов инициирования и обрыва. Если ограничиться рассмотрением гомогенных систем, то легко видеть, что монорадикалы могут возникать из стабильных молекул только парами и исчезать также только парами.

Источниками радикалов могут быть разнообразные реакции, но наблюдаемыми будут только самые быстрые. То же относится и к реакциям обрыва. Наш критерий для выбора стадий инициирования будет основан на величине энергии активации и порядке реакции. Поскольку реакции мономолекулярного распада обычно обладают высокими предэкспонентами (порядка $10^{16 \pm 1} \text{ сек}^{-1}$), они будут иметь преимущество перед бимолекулярным инициированием, для которого предэкспонент, вероятно, должен быть близок к значению $A = 10^{9 \pm 1} \text{ л}/(\text{моль} \times \text{сек})$, характерному для диспропорционирования радикалов.

Рассмотрим цепную реакцию, в которой возможна конкуренция инициирования по мономолекулярному и бимолекулярному механизмам



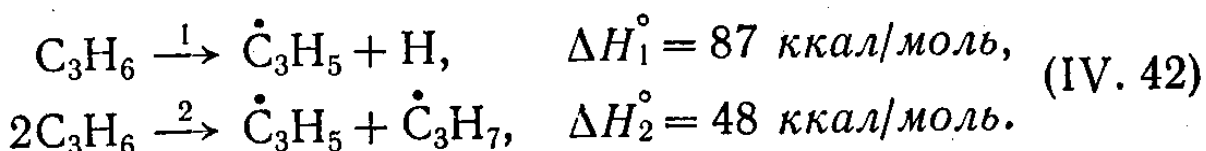
При давлении 100 мм рт. ст. (т. е. при $[A] = 10^{-2,4} \text{ моль/л}$) соотношение этих скоростей будет равно

$$\frac{R_1}{R_2} = \frac{k_1 [A]}{k_2 [A]^2} \approx \frac{10^{16 \pm 1 - E_1/\theta}}{10^{9 \pm 1 - E_2/\theta} A} \approx 10^{9,4 \pm 2 - (E_1 - E_2)/\theta}. \quad (\text{IV. 41})$$

Реакции 1 и 2 могут конкурировать, если $E_1 - E_2 = (9,4 \pm 2)\theta$. При 2000° К (это типичная температура экспериментов с ударными трубами) $\theta = 9,2 \text{ ккал/моль}$, что соответствует разнице энергий активации $88 \pm 18 \text{ ккал/моль}$. Это слишком большая величина, и, таким образом, можно утверждать, что бимолекулярное иницииро-

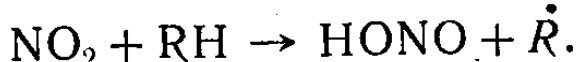
вание никогда не сможет конкурировать с мономолекулярным при 2000°K . При типичной температуре пиролиза углеводородов $\theta = 4,6 \text{ ккал/моль}$ и $E_1 - E_2 = 44 \pm 9 \text{ ккал/моль}$. Эта разность все еще достаточно высока, так что несомненно можно отдать предпочтение мономолекулярному инициированию при 1000°K . Бимолекулярное инициирование, протекающее с энергией активации на 44 ккал/моль ниже, чем соответствующая мономолекулярная реакция, должно рассматриваться как редкое исключение.

Такие исключения, однако, возможны при пиролизе олефинов. Так, при пиролизе C_3H_6 могут конкурировать две реакции инициирования



При 900°K $\Delta E_1^\circ = \Delta H_1^\circ - RT \approx 85 \text{ ккал/моль}$, откуда разность энергий активации равна $\sim 37 \text{ ккал/моль}$, что соответствует фактору $10^{9,0}$ в отношении скоростей. Это достаточно близко к соотношению предэкспонентов, так что обе реакции будут протекать с соизмеримыми скоростями. К сожалению, реакция пиролиза слишком сложна, что затрудняет детальное исследование процессов инициирования.

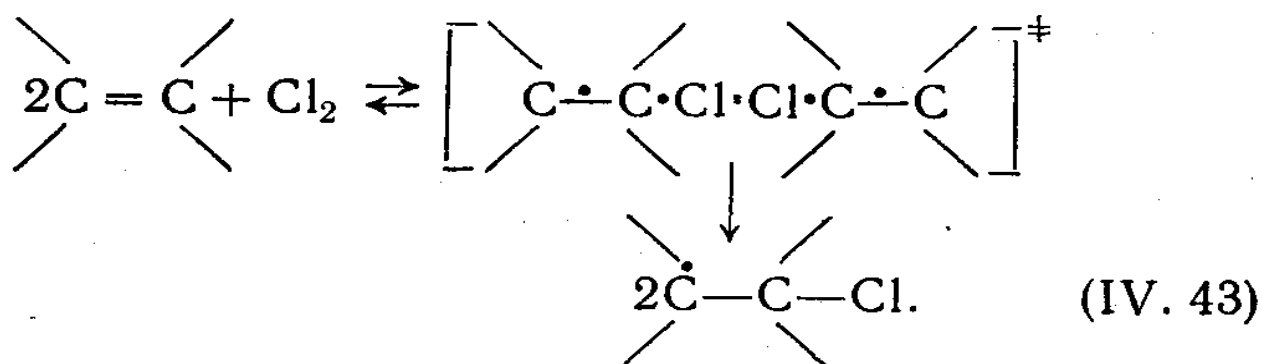
В ряде случаев были получены убедительные количественные доказательства бимолекулярных реакций инициирования. Стабильные радикалы, такие, как NO или NO_2 , способны отрывать атомы от молекул и тем самым инициировать цепные реакции. Так, например, найдено, что NO_2 является очень эффективным инициатором цепных реакций распада углеводородов. Реакцией инициирования является



Поскольку прочность связи $\text{H}-\text{ONO}$ составляет 78 ккал/моль , а $\Delta H^\circ(\text{R}-\text{H})$ лежит в пределах $85-100 \text{ ккал/моль}$, подобные реакции инициирования обладают исключительно низкими энергиями активации, всего на $2-5 \text{ ккал/моль}$ превышающими эндотермичность реакции и, следовательно, равными $10-25 \text{ ккал/}$

/моль. Значение $DH^\circ(\text{H}-\text{NO}) \approx 49$ ккал/моль, поэтому можно ожидать, что NO будет выступать в качестве инициатора цепных реакций при достаточно высоких концентрациях. На это можно найти многочисленные указания в литературе [2] *.

В последние годы высказывались суждения о возможности тримолекулярных реакций инициирования. Примером такого процесса может являться реакция олефина с двухатомной молекулой



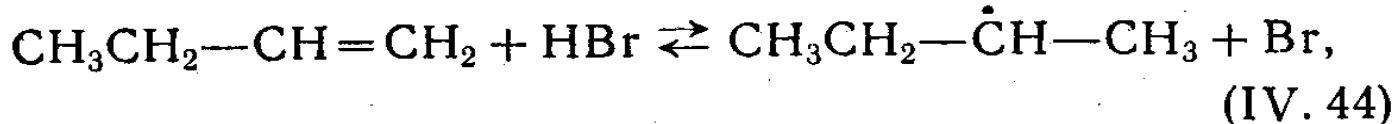
Эндотермичность такой реакции составляет всего 20 ккал/моль. Однако из-за того, что промежуточный продукт не является стабильной частицей, можно ожидать, что энергия активации будет значительно превышать ΔH° для этой реакции и окажется слишком высокой, чтобы подобный процесс мог иметь место **.

Еще более неблагоприятным для протекания реакции является низкое значение предэкспонента. Изменение энтропии ΔS_p^\ddagger , которое сопровождает образование переходного комплекса из трех молекул, составляет около -60 ± 10 кал/(моль·град). Переходя к другому стандартному состоянию, получим $\Delta S_v^\ddagger \approx -46$ кал/(моль·град) и $A \approx 10^{4 \pm 2} \text{ л}^2/(\text{моль}^2 \cdot \text{сек})$, причем одновременно на $2RT$ должна возрасти энергия активации.

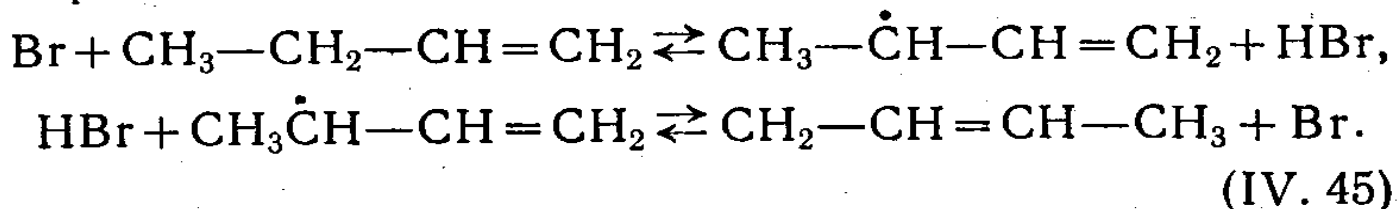
* Как известно, NO является типичным ингибитором радикальных процессов. Инициирующее действие NO в реакциях окисления объясняется не протеканием реакции $\text{NO} + \text{RH} \rightarrow \text{HON} + \text{R}$, а быстро устанавливающимся равновесием $\text{O}_2 + 2\text{NO} \rightleftharpoons 2\text{NO}_2$. — Прим. ред.

** Из этого следует, что экзотермическая обратная реакция двух хлоралкильных радикалов с образованием двух молекул олефина и Cl_2 должна протекать с заметной энергией активации. Аналогичная наблюдаемая реакция $2\text{ROO} \cdot \rightleftharpoons [\text{ROOOOR}] \rightarrow 2\text{RO} \cdot + \text{O}_2$ отличается от рассматриваемой тем, что протекает с образованием сравнительно стабильного промежуточного продукта.

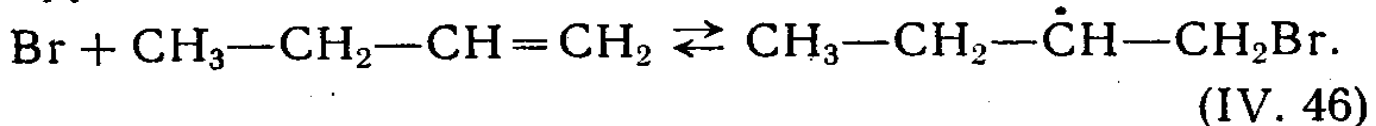
Другим примером цепной реакции с бимолекулярным инициированием является изомеризация олефинов, катализируемая HBr. Бутен-1 изомеризуется [3] по цепному механизму со стадией изомеризации *



для которой $\Delta H^\circ = +48$ ккал/моль. Самой быстрой конкурирующей мономолекулярной реакцией инициирования является разрыв связи C—C с образованием метильного и аллильного радикалов — энергия активации этого процесса 74 ккал/моль. При 550°K $\theta = 2,5$ ккал/моль, поэтому при различии в энергиях активации, равном 26 ккал/моль, бимолекулярное инициирование будет в $10^{26}/2,5 = 10^{10,2}$ раз быстрее мономолекулярного **. Продолжение цепи протекает следующим образом:



Обе эти реакции очень быстрые и имеют энергию активации 3—8 ккал/моль. Можно было бы себе представить конкуренцию реакции гидробромирования бутена, однако эта реакция значительно медленнее, так как она лимитируется равновесием ***



* В работе [3] предложен молекулярный механизм изомеризации, однако экспериментальные данные очень хорошо соответствуют радикально-цепному механизму.

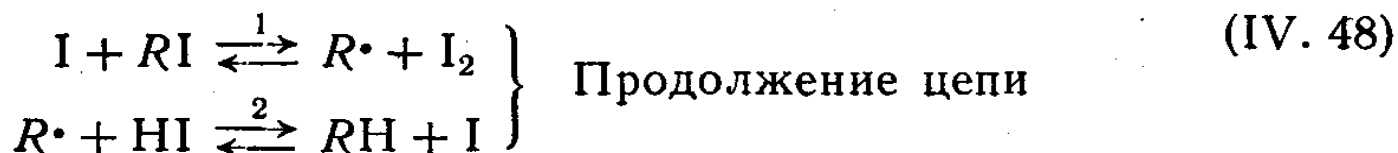
** Приводимое автором значение $10^{10,2}$ является отношением экспоненциальных членов, характеризующих константы скорости обеих реакций. Чтобы определить соотношение скоростей, необходимо учесть, кроме того, отношение предэкспонентов и давление: $R_2/R_1 = (A_2/A_1)10^{10,2/\theta}[\text{HBr}]$. Приняв, в соответствии с таблицами III. 12 и III. 3, $A_2 \approx 10^{11,3}$ и $A_1 = 10^{16}$, а $[\text{HBr}] = 2 \cdot 10^{-4}$ моль/л, что приблизительно соответствует парциальному давлению HBr 0,01 атм, при 600°K получим $R_2/R_1 = 10^{1,8}$. — Прим. перев.

*** Для него можно определить $K \approx 10^{-6,3+10/\theta}$ атм⁻¹.

Для многих реакций обнаруживаются совершенно неожиданные стадии инициирования. Так, например, в инициировании могут принимать участие продукты реакции, которая тем самым становится автокаталитической. Хорошим примером такого процесса может служить реакция взаимодействия HI с органическим иодидом



являющаяся обратной реакцией обычного иодирования углеводородов. Особенностью этой реакции по сравнению с другими реакциями галогенирования является то, что равновесие в ней сдвинуто вправо. В реакции (IV. 47) очень быстрое инициирование осуществляется при диссоциации иода *



Суммарная скорость реакции определяется формулой

$$\frac{d [I_2]}{dt} = - \frac{d [RI]}{dt} = \frac{k_2 k_1 [I] [RI] [HI]}{k_{-1} [I_2] + k_2 [HI]} = \frac{k_1 K_{I_2}^{1/2} [I_2]^{1/2} [RI]}{1 + k_{-1} [I_2]/k_2 [HI]} \quad (\text{IV. 49})$$

или при $k_{-1} [I_2] < k_2 [HI]$

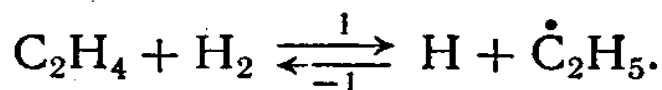
$$\frac{d [I_2]}{dt} = k_1 K_{I_2}^{1/2} [I_2]^{1/2} [RI]. \quad (\text{IV. 50})$$

Из уравнения (IV. 50) следует, что в начальной стадии процесса, когда $[I_2] \rightarrow 0$, скорость реакции близка к нулю. В результате должен наблюдаться период индукции, в течение которого инициирование будет осуществляться с помощью другой, более медленной реакции, например $RI \rightarrow R + I$. Эта реакция настолько медленнее

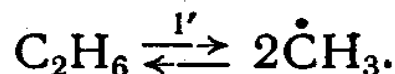
* Следует отметить, что в этих системах длина цепи $\lambda \ll 1$. В обычных условиях эксперимента λ лежит в пределах 10^{-2} — 10^{-3} . Это не совсем соответствует нашему обычному представлению о цепной реакции.

диссоциации I_2 , что даже при глубине превращения 0,01%, когда $[I_2]/[RI] = 10^{-4}$, инициирование при диссоциации I_2 оказывается более быстрым. Наблюдать реакцию в режиме, соответствующем периоду индукции, практически никогда не удается, так как невозможно избежать присутствия следов I_2 в этих системах. Образование I_2 может, в частности, происходить на стенках с малой скоростью.

Не менее интересным примером является гидрирование C_2H_4 при высоких температурах ($800—1200^{\circ}K$). В начальных стадиях процесса ответственной за инициирование является реакция



Однако в зависимости от условий эксперимента с ней может конкурировать реакция мономолекулярного распада продукта реакции



Скорости этих реакций будут относиться как

$$\frac{R'_1}{R_1} = \frac{k'_1 [C_2H_6]}{k_1 [C_2H_4] [H_2]} \approx \frac{10^{16,5-87/\theta} [C_2H_6]}{10^{10,1-64/\theta} [C_2H_4] [H_2]} \quad (IV. 51)$$

и при $[H_2] = 10^{-2}$ моль/л при $750^{\circ}K$ ($\theta = 3,4$ ккал/моль)

$$\frac{R'_1}{R_1} \approx 10^{8,5-23/\theta} \frac{[C_2H_6]}{[C_2H_4]}, \quad (IV. 52)$$

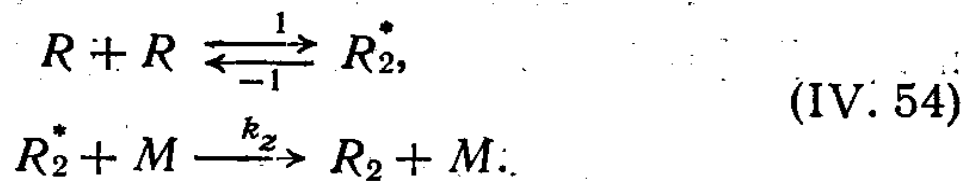
$$\frac{R'_1}{R_1} = 10^{1,7} \frac{[C_2H_6]}{[C_2H_4]}. \quad (IV. 53)$$

Как видим, $R_1 = R'_1$ при $[C_2H_6]/[C_2H_4] = 0,02$, в то время как при более высоких температурах (например, при $1000^{\circ}K$) или более низких концентрациях H_2 скорости совпадают при $[C_2H_6]/[C_2H_4] = 3 \cdot 10^{-4}$.

При оценке R_1 мы принимали константу скорости обратной реакции диспропорционирования H и \dot{C}_2H_5 равной 10^{10} л/(моль · сек) и не зависящей от температуры.

IV. 7. РЕАКЦИИ ОБРЫВА

Как мы уже могли убедиться в гл. III, скорости рекомбинации больших радикалов не слишком сильно зависят от их строения. Для большинства радикалов константы скорости рекомбинации, а также диспропорционирования можно принять равными $10^{9.8 \pm 0.5}$ л/(моль · сек). При этих условиях обрыв в сложных цепных процессах будет осуществляться преимущественно радикалами, присутствующими в наибольших концентрациях. Поскольку их концентрации определяются скоростями соответствующих стадий продолжения цепи, то часто возможен вполне обоснованный выбор реакции или реакций обрыва цепи. Трудности возникают, если речь идет о небольших радикалах или атомах, для которых скорость рекомбинации может зависеть от давления. Так, например, для только что рассмотренной реакции $2\text{CH}_3 \rightarrow \text{C}_2\text{H}_6$ при 1000°K константа скорости зависит от давления ниже 400 мм рт. ст. [4]. Это означает, что мы обязаны вносить поправки в значения скорости реакции, учитывающие эту зависимость. Довольно простой, хотя и приближенный метод внесения подобных поправок рассмотрен ниже. Будем считать процесс рекомбинации двухстадийным



В стационарном состоянии для скорости рекомбинации имеем

$$\frac{-d[R]}{dt} = \frac{2d[R_2]}{dt} = \frac{2k_1 k_2 [R]^2 [M]}{k_2 [M] + k_{-1}}. \quad (\text{IV. 55})$$

В первом приближении положим константу скорости k_2 равной 0,3 частоты газокинетических столкновений, а k_{-1} определим, как описано в разделе III. 19. Величину k_1 будем рассматривать как нормальную, т. е. не зависящую от давления константу скорости. Для рекомбинации CH_3 при 1000°K и 100 мм рт. ст. (т. е. $[M] =$

$= 10^{-2,8}$ моль/л) примем следующие значения: $k_1 = 10^{10,5}$ л/(моль · сек); $k_z = 10^{10,5}$ л/(моль · сек);

$$k_{-1} = 10^{16,5} \left(\frac{E - E^*}{E} \right)^{s-1} \text{сек}^{-1},$$

где $s = [C_p]_{1000} (C_2H_6) - 9]/R = 10,2$; $E^* = 87$ ккал/моль,

$$E - E^* = \int_0^{1000} (C_p - 9) dT \approx 9,4 \text{ ккал/моль},$$

откуда $k_{-1} = 10^{16,5} (9,4/96,4)^{9,2} \approx 10^{7,2} \text{ сек}^{-1}$.

В условиях, когда скорость рекомбинации не зависит от давления, соотношение (IV. 55) принимает вид $2k_1[R]^2$. Поделив выражение для скорости (IV. 55) на $2k_1[R]^2$ и произведя сокращения, получим поправку, учитывающую зависимость от давления,

$$\frac{k_z[M]}{k_z[M] + k_{-1}} = \frac{10^{7,7}}{10^{7,7} + 10^{7,2}} \approx 0,83. \quad (\text{IV. 56})$$

Учитывая неточность сделанных оценок, поправкой этой можно пренебречь. Однако при давлении 10 мм рт. ст. поправочный коэффициент снижается уже до 0,25. Необходимо учитывать также кажущуюся отрицательную энергию активации рекомбинации. Особый случай представляет атом-атомная рекомбинация, которая всегда тримолекулярна и имеет константу скорости порядка $10^{9,5 \pm 0,5}$ л²(моль² · сек). При $[M] = 10^{-2,8}$ моль/л скорость ее относительно мала, если только концентрация атомов не превышает более чем в 1000 раз концентрацию сложных радикалов. Это справедливо лишь для очень немногих систем, в частности для реакций, в которых участвуют I₂ и I.

Активными центрами цепного процесса $C_2H_6 \rightleftharpoons C_2H_4 + H_2$ являются радикалы C_2H_5 , CH_3 и H . При любых условиях можно пренебречь рекомбинацией $H + H + M$. При исследовании реакции $CHCl_3 + Br_2 \rightleftharpoons CBrCl_3 + HBr$, наоборот, можно пренебречь обрывом с участием радикалов CCl_3 , поскольку их концентрация меньше чем 10^3 [Br].

Для всех радикалов, кроме небольших, таких, как CH_3 , обрыв не должен быть обязательно связан с той-

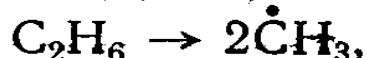
ными соударениями, так как наряду с рекомбинацией возможно диспропорционирование, скорость которого не зависит от давления. Радикалы C_2H_5 диспропорционируют со скоростью, в 7 раз меньшей скорости их рекомбинации, тогда как разветвленные и полярные радикалы диспропорционируют с большей легкостью. Так, константа скорости диспропорционирования двух радикалов $\text{CH}_3\dot{\text{O}}$ равна $10^{10,5}$ л/(моль·сек), константа скорости их рекомбинации составляет всего $10^{9,0}$ л/(моль·сек). Подобным же образом трет-бутильные радикалы диспропорционируют примерно в 3,5 раза быстрее, чем рекомбинируют.

IV. 8. РЕАКЦИИ ПЕРЕДАЧИ ЦЕПИ И ИНИЦИРОВАНИЕ ЦЕПНЫХ РЕАКЦИЙ

Преобладающей реакцией инициирования всегда является наиболее быстрая из всех возможных подобных процессов в системе, причем в результате нее далеко не всегда образуются именно те радикалы или атомы, которые в дальнейшем ведут цепь. Возникающие при инициировании радикалы могут генерировать активные центры цепной реакции в результате реакций замещения*. Подобные явления играют важную роль в цепных реакциях.

Хорошой иллюстрацией сказанному является механизм крекинга этана. В этой реакции при инициировании возникают 2 радикала CH_3 , а цепь ведут H и C_2H_5 :

Инициирование

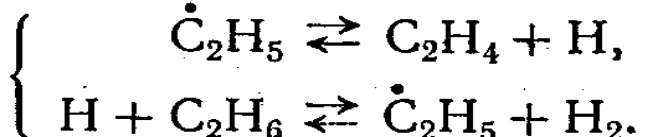


Реинициирование

(передача цепи)

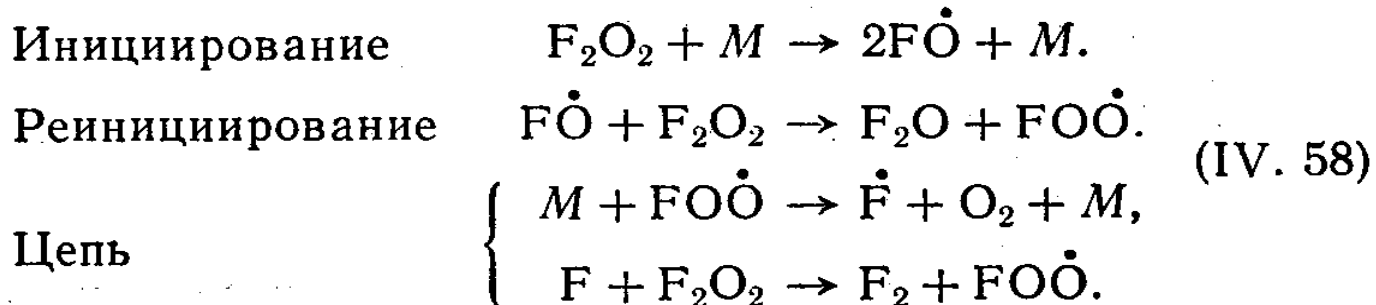


Цепь

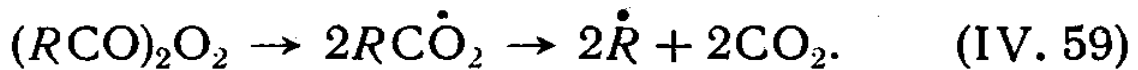


* Эти реакции иногда называют реакциями реинициирования, а иногда не совсем точно — реакциями передачи цепи (по английской терминологии — transfer reactions). Однако надо помнить, что передача цепи особенно характерна для процессов полимеризации, при которых одна материальная цепь перестает расти, а взамен ее инициируется другая. — Прим. ред.

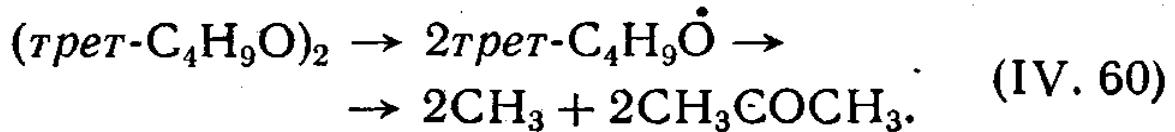
Во многих случаях реакции, приводящие к замене одного радикала другим, столь быстры и необратимы, что первый радикал больше вообще не появляется в системе. Это имеет место, например, при термическом разложении F_2O_2 . Почти единственными продуктами реакции от -80 до $0^\circ C$ являются $F_2 + O_2$. Инициирование происходит при разрыве связи $O-O$.



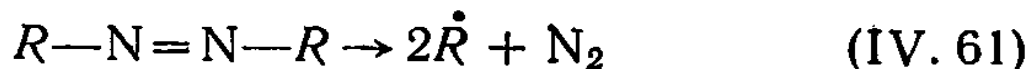
Механизм обрыва неизвестен. Длина цепи в этой реакции очень велика, поэтому относительный выход F_2O очень мал. Во многих системах удается инициировать цепные реакции с помощью радикалов, генерированных фотохимически или при распаде термически нестабильных добавок. Очень удобными инициаторами при температурах $40-80^\circ C$ являются диацилперекиси (в частности, перекись ацетила $(CH_3CO)_2O_2$). При их термическом разложении образуются ацильные радикалы, которые затем распадаются на алкильный или арильный радикал и CO_2 :



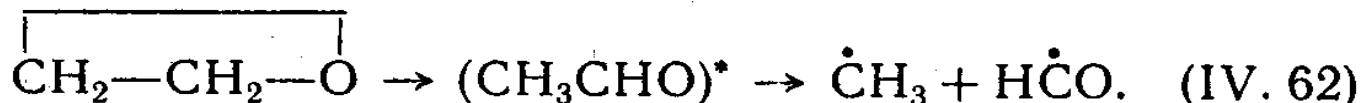
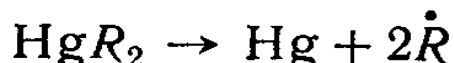
Эти радикалы могут затем вступать в реакции передачи цепи. При более высоких температурах $100-150^\circ C$ такую же роль могут играть диалкилперекиси. Они образуют алcoxси-радикалы, которые в дальнейшем распадаются на алкильные радикалы и карбонильные соединения. Хорошо известным примером инициатора такого рода является ди-*трет*-бутилперекись



Генерирование радикалов в интервале температур 250—350° С удобно осуществлять с помощью азо-соединений



Выше 300° С очень многие вещества (в том числе алкильные производные металлов и окись этилена) могут являться источниками радикалов



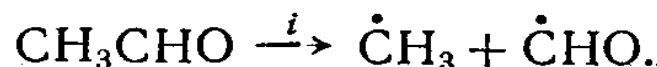
В последнем случае промежуточный продукт реакции — ацетальдегид — колебательно возбужден, и с реакцией образования радикалов конкурирует процесс его дезактивации в основное состояние.

IV. 9. ПИРОЛИЗ АЦЕТАЛЬДЕГИДА

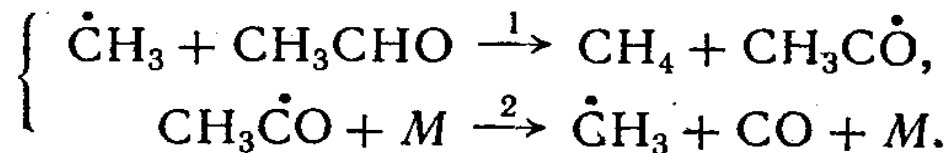
Одной из наиболее подробно изученных реакций термического разложения, протекающих по простому цепному механизму, является пиролиз CH₃CHO. Реакция эта легко поддается исследованию при температурах 450—550° С. Ее основными продуктами являются CH₄ + CO, а H₂, CH₃COCH₃ и C₂H₆ образуются в меньших количествах. Результаты исследования этой реакции можно найти в недавних работах [5].

Основные особенности цепного механизма хорошо согласуются с соображениями, изложенными выше.

Инициирование



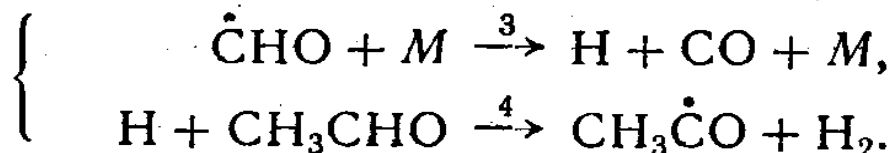
Цепь



Обрыв



Передача цепи



(IV. 63)

В приближении длинных цепей

$$\frac{[\text{CH}_3\dot{\text{C}}\text{O}]}{[\dot{\text{C}}\text{H}_3]} \approx \frac{k_1 [\text{CH}_3\text{CHO}]}{k_2 [M]} \quad (\text{IV. 64})$$

и при

$$\begin{aligned} [\text{CH}_3\text{CHO}] = (M) &\approx 10^{-2,5} \text{ моль/л} \\ [\text{CH}_3\dot{\text{C}}\text{O}]/[\dot{\text{C}}\text{H}_3] &\approx \frac{10^{8,0-8,0/0}}{10^{11,0-10,0/0}} \approx 10^{-3,0+2,0/0} \approx \\ &\approx 10^{-2,3} \text{ при } 700^\circ \text{ К,} \\ [\dot{\text{C}}\text{HO}] &= \frac{k_t}{k_3} = \frac{10^{16-80/0}}{10^{11,5-20/0}} = 10^{4,5-60/0} \approx \\ &\approx 10^{-14,5} \text{ моль/л при } 700^\circ \text{ К,} \\ [\dot{\text{H}}] &= \frac{k_t}{k_4} \approx \frac{10^{16-80/0}}{10^{10,3-5/0}} = 10^{5,7-75/0} \approx \\ &\approx 10^{-17,7} \text{ моль/л при } 700^\circ \text{ К,} \\ [\text{CH}_3] &= \left[\frac{k_t [\text{CH}_3\text{CHO}]}{k_t} \right]^{1/2} \approx \left[\frac{10^{16-80/0} (10^{-2,5})}{10^{10,5}} \right]^{1/2} \approx \\ &\approx 10^{-11,3} \text{ моль/л при } 700^\circ \text{ К.} \end{aligned} \quad (\text{IV. 65})$$

В наибольших концентрациях присутствуют метильные радикалы, и, таким образом, преобладающей реакцией обрыва действительно должна быть рекомбинация 2CH_3 . Выражение для суммарной скорости цепной реакции имеет вид

$$\frac{-d[\text{CH}_3\text{CHO}]}{dt} = k_1 [\text{CH}_3] [\text{CH}_3\text{CHO}] = k_1 \left(\frac{k_t}{k_t} \right)^{1/2} [\text{CH}_3\text{CHO}]^{3/2}. \quad (\text{IV. 66})$$

Это уравнение прекрасно согласуется с экспериментом, который подтверждает порядок реакции, равный $3/2$. При подстановке принятых значений констант скорости можно получить хорошее согласие с экспериментально найденной величиной

$$k_{\text{obs}} = 10^{10,8-48/0} (\text{л/моль})^{1/2} \text{ сек}^{-1}.$$

Скорость образования H_2 должна совпадать со скоростью инициирования, так что длину цепи λ можно найти из соотношения *

$$\begin{aligned}\lambda &= \frac{d [CH_4]/dt}{d [H_2]/dt} = \frac{k_1 [CH_3CHO]^{1/2}}{(k_i k_t)^{1/2}} = \\ &= \frac{10^{8,0-8,0/0} (10^{-2,5})}{10^{13,3-40/0}} = 10^{-7,8+32/0} = \\ &= 10^{2,2} \text{ при } 700^\circ \text{ К} \\ &= 10^{0,95} \text{ при } 800^\circ \text{ К.}\end{aligned}\quad (\text{IV. 67})$$

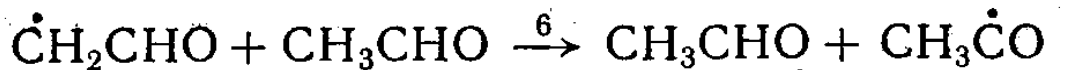
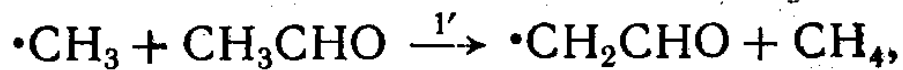
Эта реакция очень чувствительна к следам O_2 . Реакции на стенках сосуда могут помешать получению воспроизводимых результатов. Сенсибилизированный окисью этилена, иодом и диметилртутью пиролиз ацетальдегида начинается приблизительно на 60°C ниже, чем пиролиз без добавок.

IV. 10. МАЛОАКТИВНЫЕ РАДИКАЛЫ

Как мы уже отмечали, благодаря наличию в молекуле нескольких атомов, которые способны отрываться при радикальной атаке, могут возникать несколько разных радикалов, играющих различную роль в цепном процессе. Поясним сказанное на примере реакции пиролиза ацетальдегида. При отрыве атома Н от метильной группы ацетальдегида образуется сравнительно инертный радикал $\cdot CH_2CHO$. Скорость продолжения цепи при распаде этого радикала



мала из-за эндотермичности реакции. Если энергию активации присоединения Н к кетену по аналогии с другими подобными реакциями принять равной 3 ккал/моль, то $E_5 \approx 39$ ккал/моль. При стационарном протекании реакций

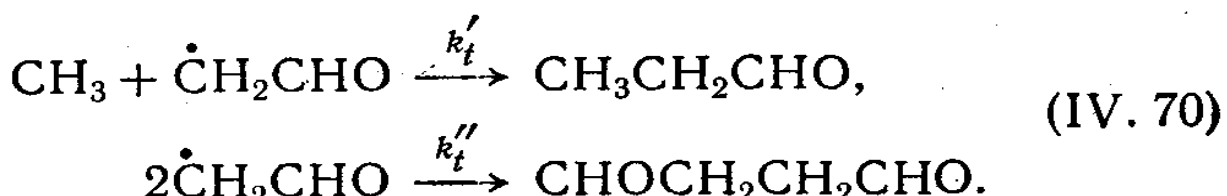


* См., однако, раздел IV.10.

соотношение концентраций радикалов определяется формулой

$$\frac{[\cdot\text{CH}_2\text{CHO}]}{[\cdot\text{CH}_3]} = \frac{k'_1 [\text{CH}_3\text{CHO}]}{k_6 [\text{CH}_3\text{CHO}] + k_5} \approx \frac{k'_1}{k_6} \approx 1. \quad (\text{IV. 69})$$

Этот результат получен исходя из того, что $A_5 = 10^{13} \text{ сек}^{-1}$, k'_1 и k_6 равны $10^{8,0-10/0} \text{ л}/(\text{моль} \cdot \text{сек})^*$. Поэтому при $[\text{CH}_3\text{CHO}] = 10^{-2,5} \text{ моль/л}$, $k_6[\text{CH}_3\text{CHO}]/k_5 \approx 10^{1,5}$ при 700°K , и всего лишь $10^{0,5}$ при 800°K . В таком случае в качестве реакций обрыва необходимо учитывать реакции малоактивного радикала CH_2CHO



В результате получаем

$$\frac{-d[\text{CH}_3\text{CHO}]}{dt} = \frac{k_1 k_t^{1/2} [\text{CH}_3\text{CHO}]^{3/2}}{[k_t + (k'_1/k_6) k_t' + (k''_1/k_6)^2 k_t'']^{1/2}}. \quad (\text{IV. 71})$$

Считая, что $k'_t = 2(k_1 k_t'')^{1/2}$, а это обычно выполняется, имеем

$$\frac{-d[\text{CH}_3\text{CHO}]}{dt} = k_1 \left(\frac{k_t}{k_t'} \right)^{1/2} \frac{[\text{CH}_3\text{CHO}]^{3/2}}{\left[1 + (k'_1/k_6) (k_t''/k_t)^{1/2} \right]}$$

или при условии $k'_1 \approx k_6$, $k_t'' \approx k_t$

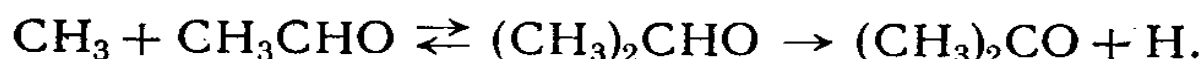
$$\frac{-d[\text{CH}_3\text{CHO}]}{dt} \approx \frac{k_1}{2} \left(\frac{k_t}{k_t'} \right)^{1/2} [\text{CH}_3\text{CHO}]^{3/2}. \quad (\text{IV. 72})$$

Только что рассмотренные реакции являются дополнительным источником водорода. Скорость этого канала образования H_2 почти совпадает со скоростью инициирования при $[\text{CH}_3\text{CHO}] = 10^{-2,5} \text{ моль/л}$. Общая скорость образования водорода

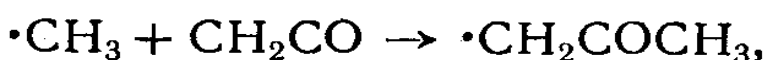
$$\frac{d[\text{H}_2]}{dt} = k_1 [\text{CH}_3\text{CHO}] + \left(\frac{k_t}{k_t'} \right)^{1/2} \left(\frac{k'_1}{k_6} \right) k_5 [\text{CH}_3\text{CHO}]^{1/2}. \quad (\text{IV. 73})$$

* Лейдлер и Лин [5] получили примерно ту же величину другим способом. Они пренебрегли реакцией (6) и занизили скорость реакции (1').

С учетом этого соотношения должны быть изменены наши прежние выводы о скорости образования H_2 и о длине цепи. Можно отметить, что выход C_2H_5CHO должен быть близок к выходу H_2 , в то время как выход CH_2CO должен быть вдвое меньше. Скорость образования ацетона также мала по сравнению со скоростью образования H_2 [5]. Ацетон может получаться по двум реакциям. Основным путем его образования является, по-видимому, эндотермическая реакция



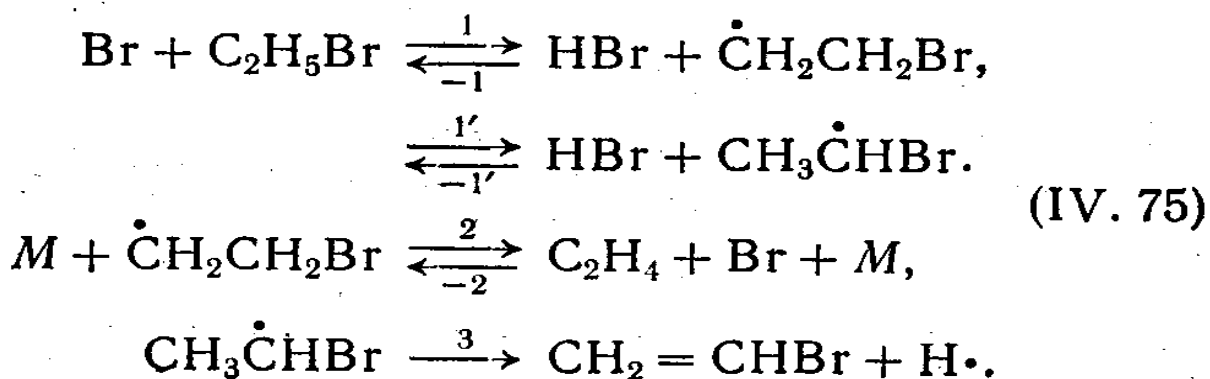
Кроме того, он образуется в результате присоединения CH_3 к кетену и последующих реакций малоактивного радикала \dot{CH}_2COCH_3 :



Возможная реакция образования ацетона при рекомбинации $CH_3\dot{C}O$ и CH_3 играет незначительную роль, так как радикал $CH_3\dot{C}O$ присутствует в низких концентрациях.

Таким образом, в данном случае появление инертного или малоактивного радикала существенно не сказывается на кинетике реакции. В других случаях кинетическое уравнение и аррениусовские параметры константы скорости могут заметно изменяться благодаря реакциям таких радикалов.

В качестве примера подобного процесса рассмотрим цепной пиролиз C_2H_5Br , при котором малоактивным радикалом является $CH_3\dot{C}HBr$:



Эндотермичность стадии (3) равна 35 ккал/моль, а энергия активации 39 ккал/моль. Реакция эта очень медленная по сравнению с бимолекулярной реакцией ($-1'$), константа скорости которой равна около $10^{9,5-6/0}$ л/(моль · сек). Даже при $[HBr] = 10$ мм рт. ст. = $10^{-3,5}$ моль/л реакция ($-1'$) будет протекать в 10^3-10^4 раз быстрее, чем реакция (3).

Используя метод стационарных концентраций для $\dot{CH}_3\dot{CH}Br$, можно получить

$$\frac{[\dot{CH}_3\dot{CH}Br]}{[Br \cdot]} = K_1' \frac{[C_2H_5Br]}{[HBr]} \approx \quad (IV. 76)$$

$$\begin{aligned} &\approx 10^{-1,3-7/0} \frac{[C_2H_5Br]}{[HBr]} \approx \\ &\approx 10 \text{ (700°K и глубина реакции 1%)} \approx \quad (IV. 77) \\ &\approx 1 \text{ (700°K и глубина реакции 10%).} \end{aligned}$$

Здесь малоактивный радикал является преобладающим промежуточным продуктом в начальных стадиях реакции. Основная часть реакций обрыва происходит с участием $\dot{CH}_3\dot{CH}Br$, так как радикал \dot{CH}_2CH_2Br присутствует в равных (при глубине реакции выше 10%) или меньших концентрациях. Если считать, что устанавливается равновесие (2) — (-2), можно определить стационарную концентрацию радикала \dot{CH}_2CH_2Br *

$$\frac{[\dot{CH}_2CH_2Br]}{[Br]} = \frac{k_{-2}[C_2H_4][M] + k_1[C_2H_5Br]}{k_2[M] + k_{-1}[HBr]} \approx \quad (IV. 78)$$

$$\approx \frac{k_{-2}[C_2H_4]}{k_2} = K_{-2}[C_2H_4]. \quad (IV. 79)$$

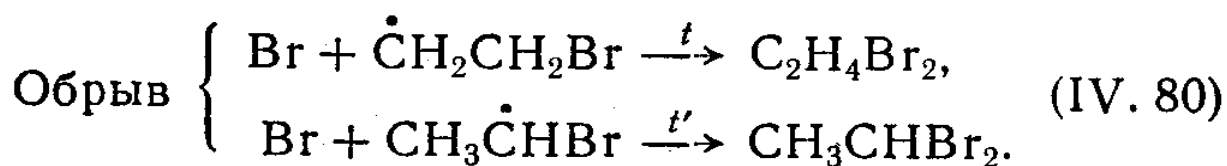
При 700°K и давлении этилена 10 мм рт. ст. $[\dot{CH}_2CH_2Br]/[Br] \approx 10^{-3,4}$. При температуре 650°K, которая лежит как раз в середине температурного интервала,

* При этом принимаются следующие значения констант скорости:

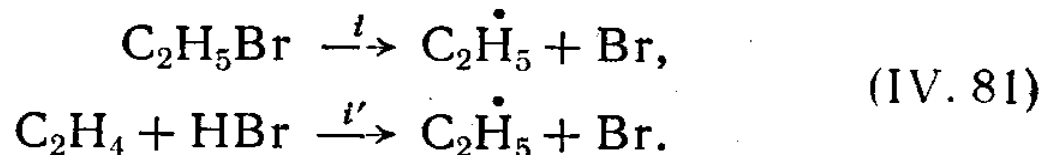
$k_{-2} \approx 10^{10-2/3}$ л²/(моль² · сек); $k_1 = 10^{10,5-13/0}$ л/(моль · сек);

$k_{-1} = 10^{9,5-2/0}$ л/(моль · сек); $k_2 = K_2 k_{-2}$, где $K_2 \approx 10^{3-9/0}$ моль/л.

в котором изучают данную реакцию, и при парциальном давлении добавленного этилена, равном 100 мм рт. ст., это отношение становится равным $10^{-2,6}$. При этом концентрации $\dot{\text{C}}\text{H}_2\text{CH}_2\text{Br}$ и $\text{CH}_3\dot{\text{C}}\text{HBr}$ по порядку величины совпадают. Тримолекулярная реакция обрыва $\text{Br} + \text{Br} + M$ протекает значительно медленнее двух других реакций обрыва:



Абсолютная концентрация атомов Br определяется скоростью инициирования, которое осуществляется либо при разрыве слабейшей связи C—Br, либо бимолекулярно



Отношение скоростей этих двух реакций

$$\frac{R_i}{R'_i} = \frac{10^{14,8-68/\theta} [\text{C}_2\text{H}_5\text{Br}]}{10^{10-46/\theta} [\text{C}_2\text{H}_4] [\text{HBr}]} = 10^{14,8-22/\theta} \frac{[\text{C}_2\text{H}_5\text{Br}]}{[\text{C}_2\text{H}_4] [\text{HBr}]} \quad (\text{IV. 82})$$

При 650°K , начальной концентрации $[\text{C}_2\text{H}_5\text{Br}] = 10^{-2,5}$ моль/л и глубине реакции 10% это отношение составляет 10^2 . Однако в присутствии больших добавок HBr или C_2H_4 при 600°K или при больших глубинах превращения (50%) отношение это может стать меньше единицы, т. е. преобладающим сделается бимолекулярный механизм инициирования. При условии $R_i \gg R'_i$ имеем

$$\begin{aligned} [\text{Br}]^2 &= \frac{k_t [\text{C}_2\text{H}_5\text{Br}]}{k_t K'_1 \frac{[\text{C}_2\text{H}_5\text{Br}]}{[\text{HBr}]} + k'_t K_{-2} [\text{C}_2\text{H}_4]} = \\ &= \frac{k_t [\text{HBr}]}{k_t K'_1} / \left\{ 1 + \frac{k'_t K_{-2}}{k_t K'_1} \cdot \frac{[\text{C}_2\text{H}_4] [\text{HBr}]}{[\text{C}_2\text{H}_5\text{Br}]} \right\}. \quad (\text{IV. 83}) \end{aligned}$$

Если параллельно цепному протекает молекулярный распад C_2H_5Br с константой скорости k_A , то выражение для суммарной скорости распада имеет вид

$$\frac{-d [C_2H_5Br]}{dt} = k_A [C_2H_5Br] + k_1 [Br] [C_2H_5Br], \quad (IV. 84)$$

$$\begin{aligned} \frac{-d [C_2H_5Br]}{[C_2H_5Br] dt} &= k_A + \\ &+ k_1 \left(\frac{k_t}{k_t K'_1} \right)^{1/2} \frac{[HBr]^{1/2}}{\left[1 + k'_t K_{-2} ([C_2H_4] [HBr]/[C_2H_5Br]) \right]^{1/2}} \approx \\ &\approx k_A + k_1 \left(\frac{k_t}{k_t K'_1} \right)^{1/2} [HBr]^{1/2}. \end{aligned} \quad (IV. 85)$$

При парциальном давлении $HBr = 10 \text{ мм рт. ст.}$ (или $[HBr] = 10^{-3,6} \text{ моль/л}$) кажущаяся константа скорости первого порядка, характеризующая цепной процесс [т. е. второе слагаемое в уравнении (IV. 85)], равна $10^{10,5-43,5/0} \text{ сек}^{-1}$.

Это вычисленное нами значение хорошо совпадает с данными работы [6], в которой была получена следующая температурная зависимость константы скорости суммарного превращения при $310-476^\circ\text{C}$: $10^{11,8-46,4/0} \text{ сек}^{-1}$.

Как и следовало ожидать на основании формулы (IV. 84), Голдберг и Дэниэлс [6] наблюдали катализическое действие HBr , ингибирование в присутствии больших количеств C_2H_4 и наличие периода индукции, который был особенно отчетливым при низких температурах и величина которого заметно снижалась при добавлении HBr . Было подтверждено также и автокаталитическое поведение в этой системе. Однако авторы приписали его катализическому действию Br_2 , образующегося при взаимодействии HBr с C_2H_5Br . Это представляется маловероятным. Наоборот, как следует из анализа механизма цепной реакции, при малых концентрациях HBr преобладают инертные радикалы $CH_3\dot{C}HBr$ [формула (IV. 76)] и длина цепи резко снижается. Добавки HBr снижают концентрацию этих радикалов,

хотя одновременно несколько снижаются и концентрации активных радикалов $\dot{\text{C}}\text{H}_2\text{CH}_2\text{Br}$.

Аналогичные закономерности в основных чертах должны выполняться и при пиролизе других алкилбромидов и алкилхлоридов.

IV. 11. СЕЛЕКТИВНОСТЬ РАДИКАЛОВ

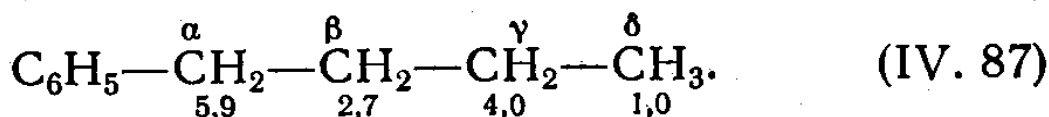
Экзотермические радикальные реакции замещения имеют весьма низкие энергии активации, поэтому можно ожидать, что они не будут селективными, т. е. будут протекать по разным направлениям со сравнимыми скоростями. Рассмотрим, например, радикальное хлорирование углеводородов



Эта реакция протекает с заметным выделением тепла: при разрыве первичной связи $\text{C}-\text{H}$ $\Delta H_r^\circ = -5 \text{ ккал/моль}$; при разрыве вторичной связи $\Delta H_r^\circ = -9 \text{ ккал/моль}$; при разрыве третичной связи $\Delta H_r^\circ = -12 \text{ ккал/моль}$. Наконец, при разрыве аллильных и бензильных связей $\text{C}-\text{H}$ $\Delta H_r^\circ \approx -22 \text{ ккал/моль}$. Однако энергия активации замещения даже первичной связи $\text{C}-\text{H}$ столь мала ($\sim 1 \text{ ккал/моль}$), что трудно ожидать заметного ее изменения в реакциях замещения различных связей. Поэтому, по всей вероятности, атомы Cl будут отрывать первичные, вторичные и третичные атомы водорода от органических соединений почти с одинаковой скоростью. Действительно, при газофазном радикальном хлорировании бутана отношение *втор*-бутилхлорид/бутилхлорид = 2,4 и почти не зависит от температуры. Если учесть статистический фактор, т. е. соотношение «концентраций» первичных и вторичных связей $\text{C}-\text{H}$, то отношение скорости отрыва вторичного атома H окажется в 3,6 раза выше, чем первичного H.

Подобные же закономерности можно обнаружить и при жидкофазном хлорировании *n*-бутилбензола в разбавленном растворе CCl_4 [7]. После внесения статистической поправки относительные скорости замещения

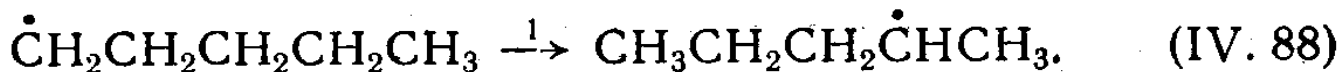
при различных связях C—H изменяются в такой последовательности *:



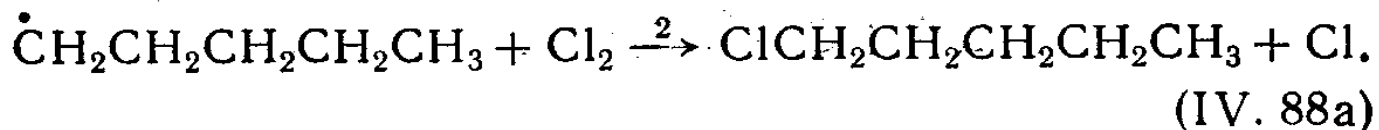
Можно ожидать, что в случае эндотермических реакций замещения, наоборот, будет наблюдаться сильная зависимость энергии активации и скорости реакции от прочности разрываемой связи. Отрыв водорода атомами Br обычно эндотермичен. Термодиаграмма в случае CH_4 равна 17 ккал/моль, в случае первичной связи C—H 11 ккал/моль, вторичной — 7,5 ккал/моль, третичной — 4,5 ккал/моль. Обратные эндотермические реакции с HBr любого образующегося при этом радикала имеют приблизительно равные энергии активации $1,5 \pm 0,5$ ккал/моль.

Как и следовало ожидать, отношение выходов вторичных и первичных бутилбромидов, образующихся при парофазном бромировании *n*-бутана при 160°C, равно около 55 (ср. с величиной 2,4, приведенной для хлорирования).

В то же время на наблюдаемую величину отношения должны оказывать влияние мономолекулярные реакции изомеризации радикалов или внутримолекулярного переноса водорода. Например, образующийся при отрыве атома водорода от *n*-пентана первичный радикал может изомеризоваться



С этой реакцией конкурирует реакция замещения



Отношение скоростей обоих процессов равно

$$\frac{R_1}{R_2} = \frac{k_1}{k_2 [\text{Cl}_2]} \approx \frac{10^{11-15/0}}{10^{9,5-1/0}(10^{-2,5})} = 10^{4-14/0} \quad (\text{IV. 89})$$

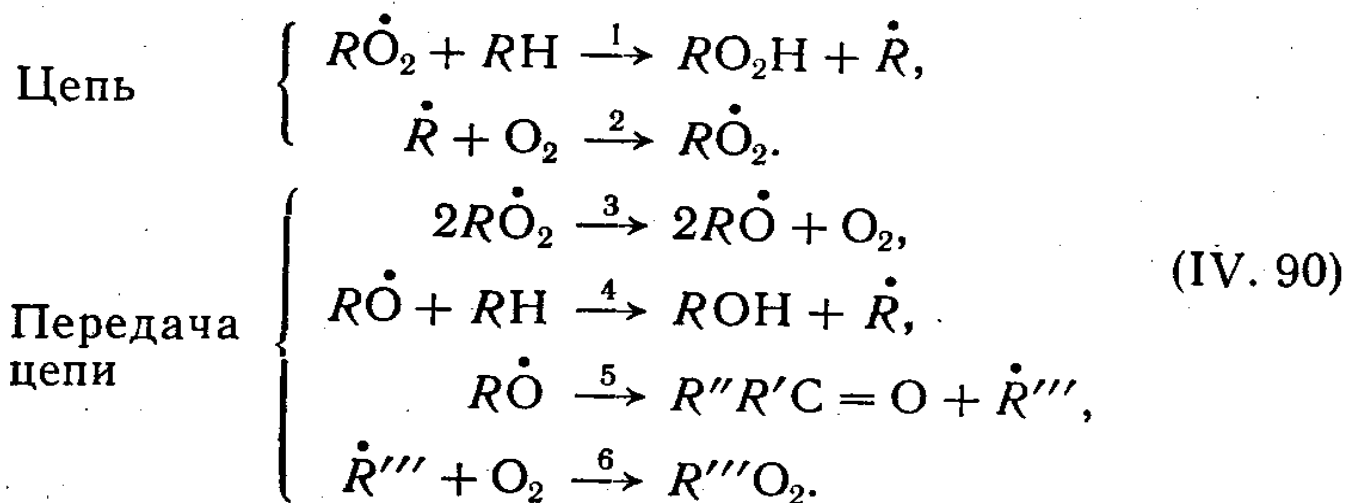
* Наблюдаемые выходы α -, β -, γ - и δ -хлоридов относились как 5,9 : 2,7 : 4,0 : 1,0.

Ниже 450° К эта величина очень мала (10^{-3}), однако она становится значительной при температурах выше 700° К или при низких концентрациях Cl₂.

При определении R_1/R_2 для предэкспонента реакций внутримолекулярного отрыва атома водорода принято значение, характерное для реакций с образованием пятичленных циклов. Чтобы определить энергию активации, к значению, характерному для отрыва атома H радикалом (8 ккал/моль), добавляли энергию напряжения пятичлененного цикла (7 ккал/моль).

IV. 12. ОКИСЛЕНИЕ

Одним из наиболее интересных и сложных цепных процессов является окисление органических веществ. При низких температурах (<190° С) в основном образуются гидроперекиси и продукты их дальнейших превращений — спирты, альдегиды, кетоны, кислоты, а также CO и CO₂. Механизм образования этих соединений приведен ниже *

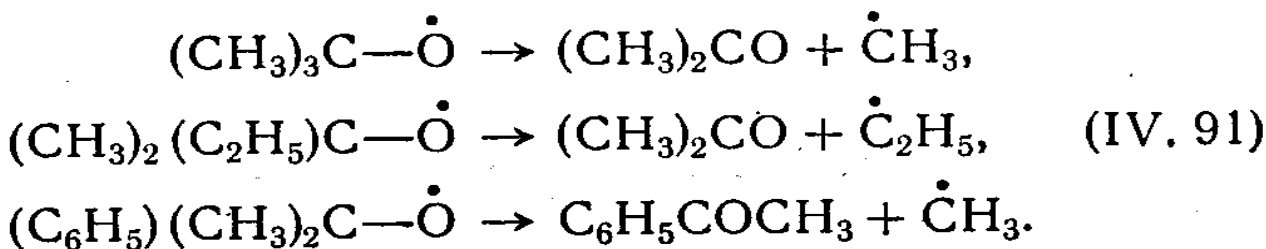


и т. д.

* Хотя приводимые автором элементарные акты и имеют место при окислении углеводородов, в целом данная схема носит слишком упрощенный характер. Более строгий и подробный анализ механизма окисления углеводородов можно найти в монографиях [32—34]. — Прим. ред.

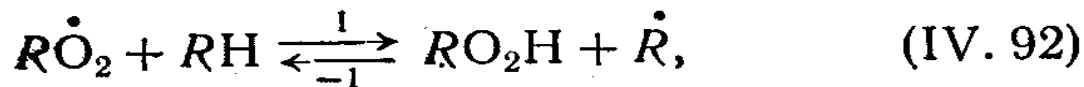
Осложнение вызывает необычная слабо экзотермическая реакция (3) ($\Delta H_3 \approx -6$ ккал/моль), промежуточным продуктом которой может являться нестабильное соединение $(RO\cdot)_2$. Можно предполагать, что его молекулярное расщепление на $2RO\cdot + O_2$ будет почти термонейтральным.

Радикалы $RO\cdot$ могут распадаться с образованием стабильных кетонов или альдегидов и радикалов меньшего молекулярного веса, например



Распад, как правило, протекает по слабейшей связи.

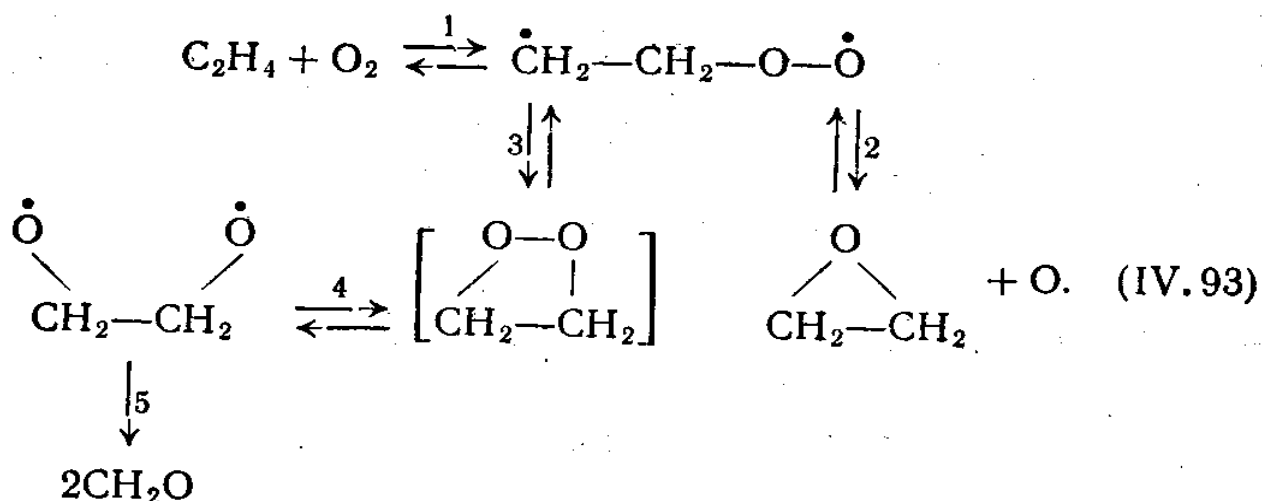
При температурах около $100^\circ C$ и в присутствии избытка O_2 возможно почти количественное образование RO_2H из RH . Однако выход насыщенных первичных или вторичных гидроперекисей снижается благодаря медленному протеканию реакции



в результате чего преобладающей может стать реакция (3). Атака слабой связи $O-H$ в RO_2H не играет особой роли, так как в присутствии избытка O_2 радикалы $R\cdot$ с большой скоростью и без энергии активации [$k = 10^{9.5} \text{ л}/(\text{моль} \cdot \text{сек})$] образуют $RO_2\cdot$. В присутствии большого избытка RH радикалы $RO\cdot$ связываются по реакции (4).

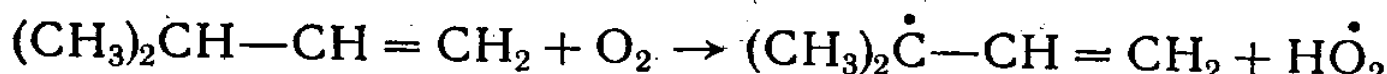
Алканы и алкены слишком медленно взаимодействуют с O_2 при температурах ниже $150^\circ C$, и эти реакции не могут служить стадиями иницирования. Энергии активации реакций присоединения и отрыва с участием олефина и O_2 превышают 35 ккал/моль. Поэтому при низких температурах источниками радикалов могут

служить только специально введенные в систему инициаторы. Рассмотрим, например, реакцию $C_2H_4 + O_2$.



Эндотермичность стадии (1) составляет 32 ккал/моль, поэтому равновесие (1) быстро устанавливается. Затем следует экзотермическая реакция (3), имеющая энергию активации, вероятно, около 5 ккал/моль, после чего быстро образуется формальдегид. Энергия активации стадии (2), по-видимому, близка к 16 ккал/моль. Только в этой реакции образуется радикал, осуществляющий продолжение цепи.

Энергетически более облегчен отрыв аллильного или бензильного водорода. Например, в случае 3-метилбутена-1



энергия активации равна эндотермичности реакции (31 ккал/моль). При жидкостном окислении этого углеводорода в отсутствие растворителей выше 100° К эта реакция может служить источником радикалов даже при низких концентрациях кислорода (10^{-4} моль/л). Экзотермичность суммарной реакции $RH + O_2 \rightarrow RO_2H$ составляет около 20 ккал/моль и может служить источником саморазогрева и теплового воспламенения только при очень высоких концентрациях или при температурах около 300° С, при которых в газовых смесях наблюдается хорошо известное явление «холодных» пламен.

Выше 160°C сами гидроперекиси начинают претерпевать гомогенный распад на $\text{RO} + \text{OH}$, инициируя

таким образом дальнейшие реакции окисления*. Константа скорости этого распада равна $10^{15-43/0}$ сек⁻¹. С помощью этой величины можно оценить среднее время жизни молекулы гидроперекиси при 300° С и выше. По порядку величины оно равно 10 сек. Медленное образование и быстрый распад гидроперекисей являются причиной длительных периодов индукции, а также периодического возникновения пламени, характерного для холоднопламенной области**. Реакции эти называют вырожденно-разветвленными, поскольку один из их продуктов (гидроперекись) является источником размножения активных центров цепного процесса.

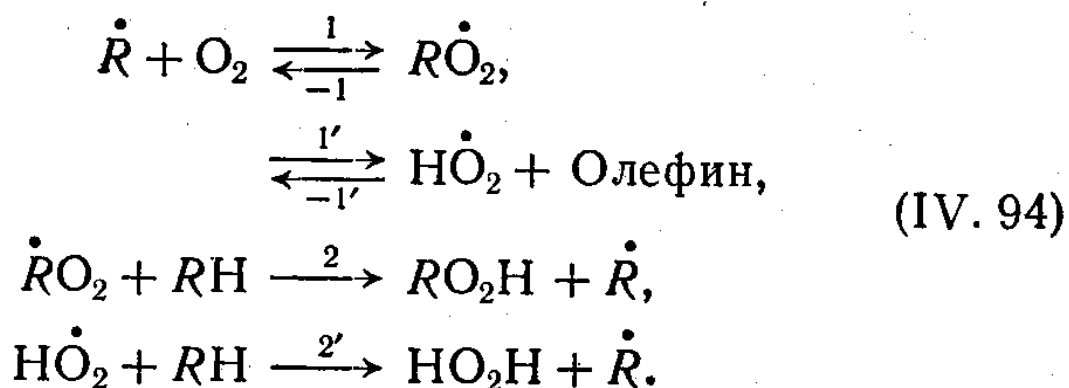
Благодаря протеканию термического распада гидроперекиси при окислении углеводородов молекулярным кислородом при 200—350° С имеет место самоускорение. При 350° скорость гомогенной газофазной реакции достигает максимума, а затем быстро снижается, так что при 400° С в проточной системе ее уже почти невозможно измерить [8]. В статической системе в этой области отрицательного температурного коэффициента происходит смена продуктов реакции: вместо гидроперекисей и других кислородсодержащих продуктов появляются олефины, а также H₂O и H₂O₂***.

* Источником вырожденного разветвления, приводящего к самоускорению, могут являться не только гидроперекиси. Например, при повышенных температурах такую роль могут играть альдегиды. — *Прим. ред.*

** Медленное образование и быстрый распад гидроперекисей не могут объяснить ни появления [35], ни периодичности [36, 37] холодных пламён. — *Прим. ред.*

*** Действительно, после области отрицательного температурного коэффициента происходит изменение состава продуктов окисления углеводородов. Однако это, очевидно, не связано с тем, проводится ли исследование в статической или проточной системе. Кроме того, неправильно утверждение автора о том, что при температурах выше области отрицательного температурного коэффициента вместо кислородсодержащих продуктов окисления появляются олефины, а также H₂O и H₂O₂. В действительности существует широкий интервал температур, в котором происходит постепенная смена продуктов окисления углеводородов. Преобладание продуктов крекинга, как было показано Штерном [33], начинается выше 400—500° С. — *Прим. ред.*

Все отмеченные выше результаты согласуются со следующей простой схемой реакции *:



Отрыв H от \dot{R} с образованием HO_2 и олефина не менее чем в 200 раз медленнее, чем реакция присоединения $R\cdot$ к O_2 , которая должна иметь константу скорости, характерную для рекомбинации вблизи верхнего предела по давлению, т. е. $10^{9,5} \text{ л}/(\text{моль} \cdot \text{сек})$. Конкурирующая же реакция отрыва хотя и экзотермична (7 ккал/моль), имеет константу скорости $10^{9,2-4/0} \text{ л}/(\text{моль} \cdot \text{сек})$ и всегда оказывается более медленной, чем реакция присоединения. Если при температурах ниже 200°C реакция (1) является лимитирующей стадией окисления углеводорода, то выше 250° равновесие сдвигается в сторону $R + O_2$ и лимитирующей стадией окисления становится реакция (2). Выражение для скорости суммарной реакции

$$\frac{d [RO_2H]}{dt} = \frac{k_1 k_2 [RH] [\dot{R}] [O_2]}{k_{-1} + k_2 [RH]} \tag{IV. 95}$$

при сравнительно низких температурах имеет вид

$$\frac{d [RO_2H]}{dt} = k_1 [\dot{R}] [O_2] \quad (T < 200^\circ\text{C}), \tag{IV. 96}$$

тогда как при высоких температурах

$$\frac{d [RO_2H]}{dt} = K_1 k_2 [RH] [O_2] [\dot{R}] \quad (T > 250^\circ\text{C}). \tag{IV. 96a}$$

* Приводимая автором схема основана на развитом ранее [38] представлении о конкуренции двух путей расхода радикала R либо с образованием гидроперекиси, являющейся источником вырожденного разветвления, либо с образованием продукта (в данном случае олефина), не способного к реакциям вырожденного разветвления. — *Прим. ред.*

Смена механизма происходит при $k_{-1} = k_2 [RH]$. Так как $k_{-1} = 10^{14,5-29/θ}$ сек⁻¹, $k_2 \approx 10^{8-12/θ}$ л/(моль·сек), а E_2 несколько зависит от природы углеводорода RH , то при $P_{RH} = 1$ атм смена механизма происходит в интервале температур 180—230°. Сравним теперь скорость окисления со скоростью образования олефина по экзотермической реакции (1'), которую можно считать необратимой. Так как

$$\frac{d(\text{Олефин})}{dt} = k'_1 [\dot{R}] [\text{O}_2], \quad (\text{IV. 97})$$

то

$$\frac{R(\text{Олефин})}{R(\text{RO}_2\text{H})} = \frac{k'_1 \{k_{-1} + k_2 [RH]\}}{k_1 k_2 [RH]} \begin{cases} \xrightarrow{T < 200^\circ \text{C}} \frac{k'_1}{k_1} \ll 1 \\ \xrightarrow{T > 250^\circ \text{C}} \frac{k'_1}{K_1 k_2 [RH]} \end{cases} \quad (\text{IV. 98})$$

С помощью указанных ранее значений констант скорости можно найти, что при температуре выше 250°C

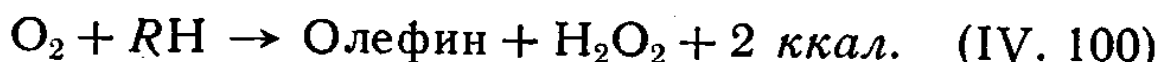
$$\frac{R(\text{Олефин})}{R(\text{RO}_2\text{H})} \approx 10^{7,9-13/θ}. \quad (\text{IV. 99})$$

Данные, полученные при исследовании окисления многих углеводородов в различных условиях, количественно подтверждают это соотношение*. В частности, наблюдалось снижение отношения $R(\text{олефин})/R(\text{RO}_2\text{H})$ при увеличении $[RH]$.

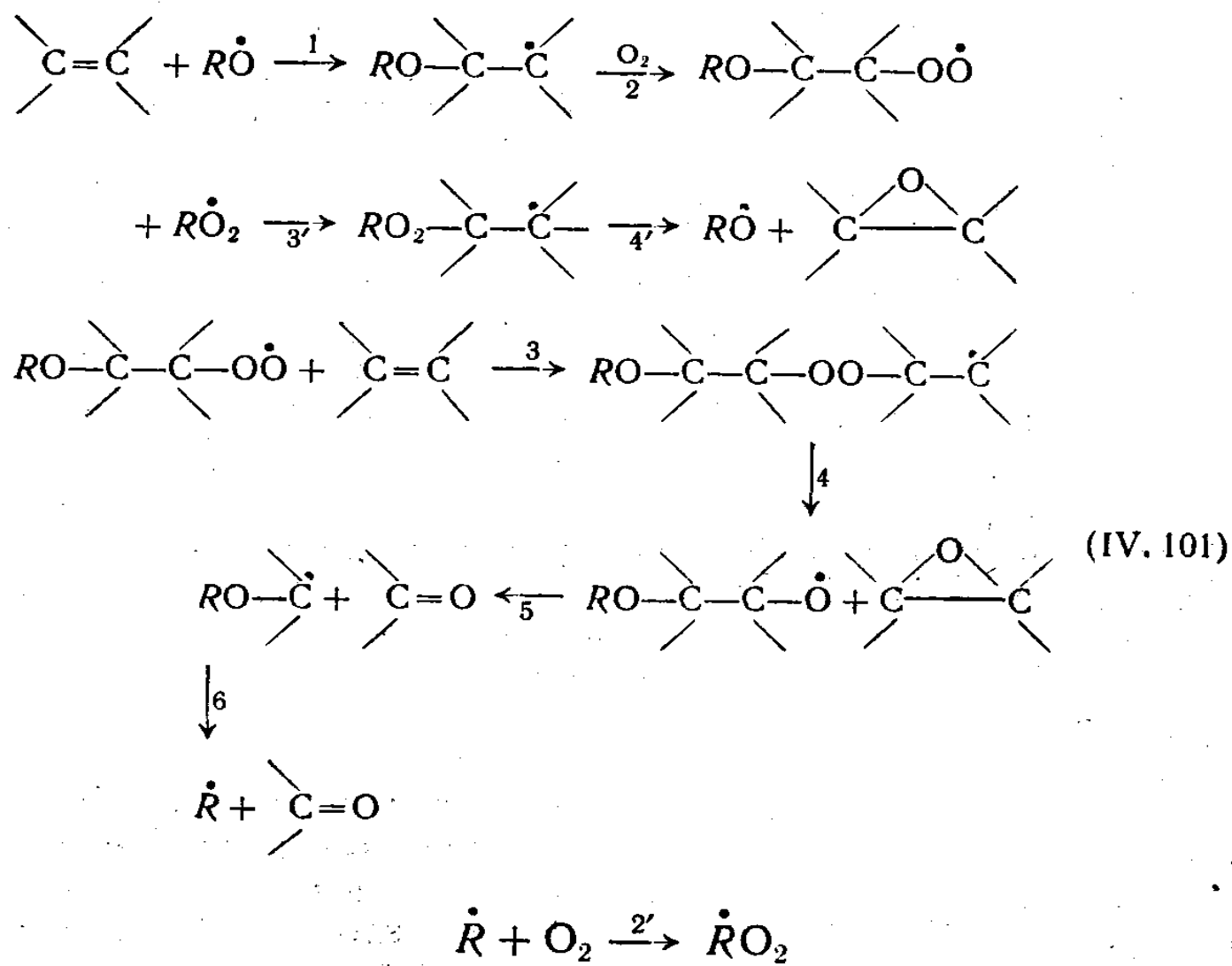
При температуре выше 400°C скорость окисления в проточной системе начинает снова возрастать, так как появляется еще одна реакция, приводящая к появлению свободных радикалов, — гомогенный распад перекиси водорода $M + \text{H}_2\text{O}_2 \rightarrow 2\text{OH} + M$. При этом H_2O_2 играет ту же роль, что и RO_2H при более низких температурах.

* Сводку результатов можно найти в работах [9, 10].

При температуре выше 500°С реакция протекает столь быстро, что при окислении образующегося олефина выделяется достаточно тепла, чтобы вызвать самовоспламенение и взрыв. Следует заметить, что суммарная реакция образования H₂O₂ является почти термонейтральной и сопровождается незначительным изменением энтропии

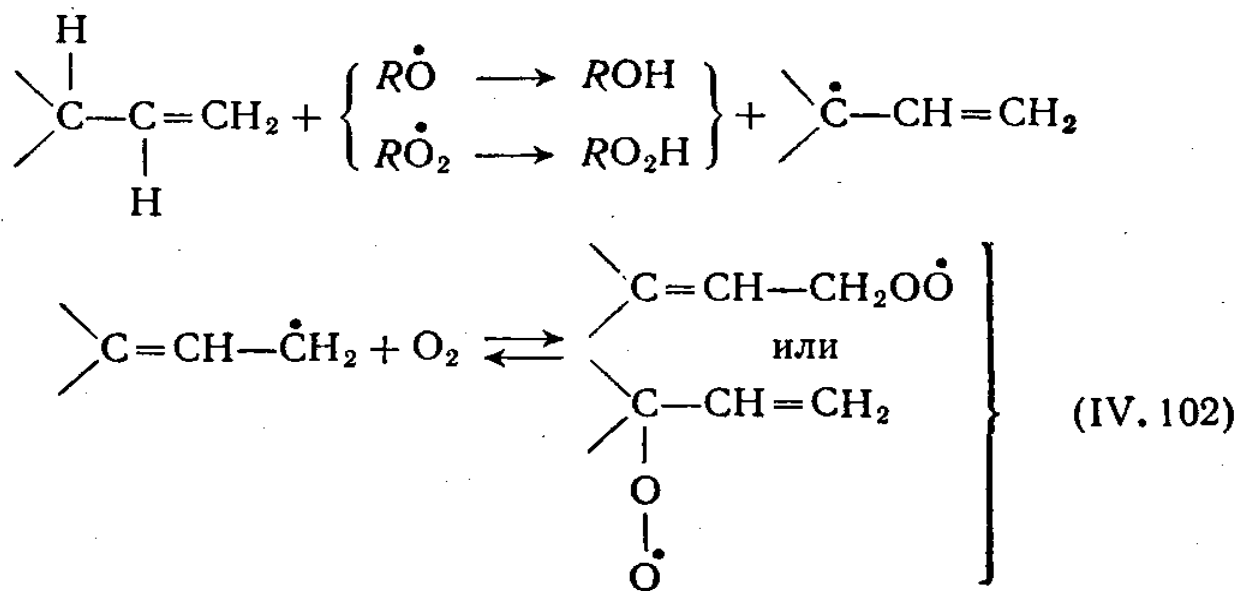


Олефины окисляются значительно легче, чем парaffины. Реакция включает стадии присоединения к двойной связи и (или) отрыв аллильных атомов Н



В соответствии с приведенным выше механизмом олефин превращается в альдегиды и циклические окиси.

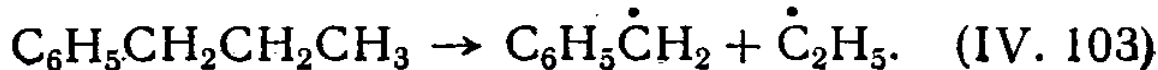
В результате отрыва аллильного водорода образуются перокси-радикалы аллильного типа



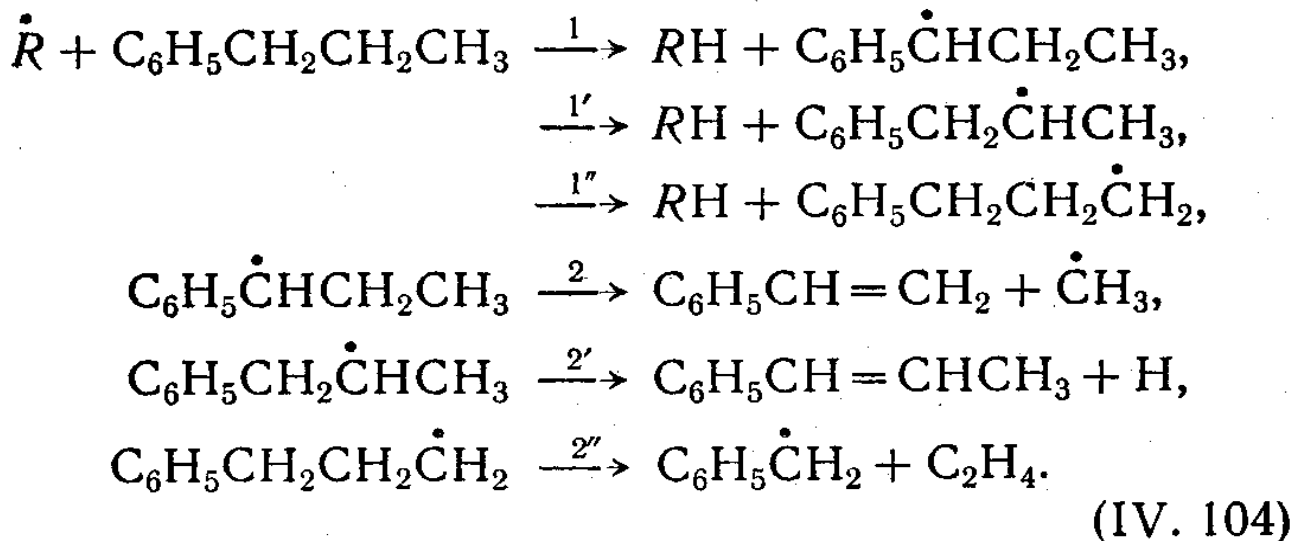
которые диссоциируют еще легче, чем алкильные перокси-радикалы. При температуре выше 500°K кислород при давлении 0,1 атм будет находиться в равновесии с равным количеством аллильных перокси-радикалов. Поэтому образование диенов из олефинов C_4 и высших при более высоких температурах будет скорее происходить с отщеплением HO_2^{\cdot} (см. выше). Благодаря этому при окислении олефинов температура, при которой скорость образования RO_2H начинает снижаться, оказывается более низкой.

IV.13. ОБРАЗОВАНИЕ ИНЕРТНЫХ РАДИКАЛОВ В РЕАКЦИЯХ ИНИЦИРОВАНИЯ

Выше мы уже видели, что при отрыве водорода от некоторых атомов углерода в молекуле возникают инертные радикалы, которые не могут быстро вести цепь. Подобные радикалы часто образуются в реакциях инициирования. В качестве примера такой реакции можно рассмотреть пиролиз *n*-пропилбензола, при котором наиболее быстрой стадией инициирования является разрыв слабой связи С—С с образованием этильного и бензильного радикалов



Этильный радикал со сравнительно низкой энергией активации отрывает атомы водорода от любой связи C—H в пропилбензоле, в то время как в случае бензильного радикала отрыв водорода от связи α -C—H требует на 4—6 ккал/моль большей энергии активации, а энергия активации отрыва водорода от связи β - и γ -C—H составит 19—20 ккал/моль. Таким образом, эти реакции оказываются очень медленными. В этой системе возможна конкуренция цепей благодаря тому, что отрыв водорода происходит от различных связей C—H

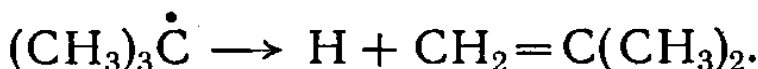


Из реакций распада радикала $C_6H_5C_3H_6$ самая быстрая реакция (2''). У нее должна быть энергия активации около 20 ккал/моль, но низкий предэкспонент $\sim 10^{12,8} \text{ сек}^{-1}$. Однако в ней образуется инертный радикал $C_6H_5CH_2$, который может продолжать цепь с малой скоростью и только при взаимодействии со связью α -C—H. Реакция (2') более медленная, так как она имеет энергию активации 38 ккал/моль и предэкспонент $10^{12,8} \text{ сек}^{-1}$. В этой реакции образуются атомы водорода, которые быстро и неизбирательно взаимодействуют с любой связью C—H, поэтому длина цепи, которую ведут атомы H, не может быть достаточно велика. Самая медленная реакция (2) должна иметь энергию активации около 50 ккал/моль и предэкспонент около 10^{14} сек^{-1} . В ней образуется радикал CH_3 , который также неселективен в реакциях замещения. Таким образом, для реакции пиролиза *n*-пропилбензола не характерны длинные цепи, так как в одной или в обеих стадиях продолжения цепи возникают инертные, малоактивные радикалы.

Другим примером является реакция пиролиза неопентана, в стадии инициирования которой возникают метильный и инертный трет-бутильный радикал



Эндотермичность атаки радикалом $C(CH_3)_3$ первичной связи $C-H$ равна 7 ккал/моль. Поэтому энергия активации этой реакции 17 ккал/моль, т. е. это очень медленная реакция. С ней может конкурировать распад трет-бутильного радикала на атом водорода и изобутилен



Эта реакция, имеющая энергию активации около 43 ккал/моль ($\Delta H^\circ = 41$ ккал/моль), протекает гораздо быстрее, чем отрыв водорода, поэтому для стационарной концентрации радикала $\dot{C}(CH_3)_3$ имеем

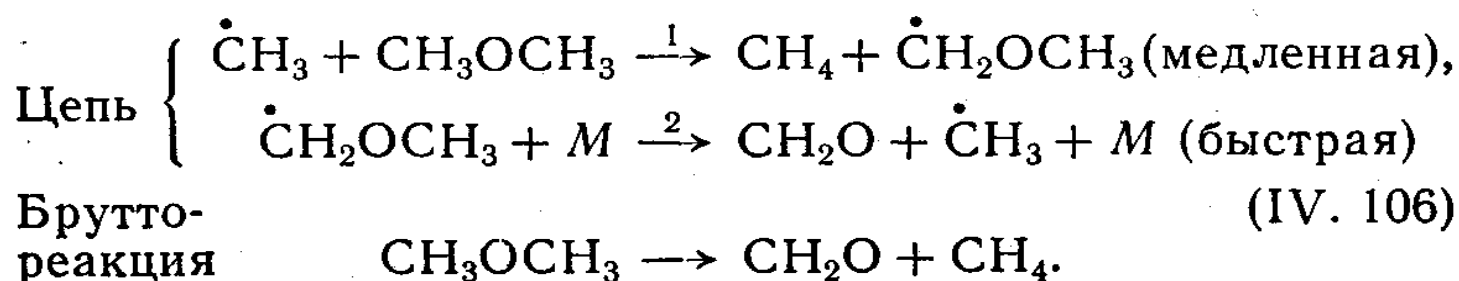
$$[\dot{C}(CH_3)_3] = \frac{k_1(NpH)}{k_2} = \frac{10^{16.5-80/\theta} 18^{-2.5}}{10^{14.0-43/\theta}} \approx 10^{-37/\theta}. \quad (IV. 105)$$

При $750^\circ K$ ($\theta = 3.5$ ккал/моль) $[\dot{C}(CH_3)_3] = 10^{-10.6}$ моль/л, т. е. она мала по сравнению с концентрацией ведущего цепь метильного радикала, которая при любой температуре примерно в 100 раз выше ($\sim 10^{-8}$ моль/л при $750^\circ K$). Подобное соотношение обычно (хотя и не всегда) характерно для инертных радикалов, возникающих в стадии инициирования.

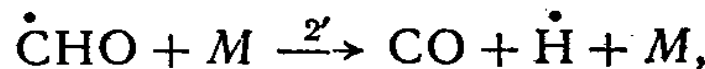
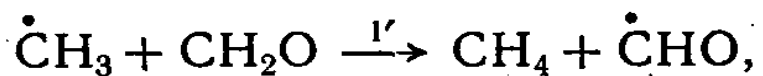
IV. 14. ВТОРИЧНЫЕ РЕАКЦИИ

Мы показали выше, что начальные стадии термического разложения молекул, содержащих более трех многовалентных атомов, осложнены конкуренцией цепей. В еще большей степени это справедливо для более поздних стадий процесса, в которых важную роль играют реакции радикалов с продуктами. Они могут быть ответственны за ингибирование или ускорение начальных цепей. Часто эти реакции не позволяют установить природу первичных продуктов.

Подобные осложнения могут возникать в тех случаях, когда скорость радикальных реакций с участием продуктов сравнима по величине со скоростью стадий продолжения первичной цепи. Рассмотрим, например, пиролиз диметилового эфира. Первичная цепь в этой реакции имеет следующий механизм:



Атомы Н с большой легкостью отрываются от молекулы CH_2O , поэтому реакция $\text{CH}_3 + \text{CH}_2\text{O} \rightarrow \text{CH}_4 + \text{CHO}$ будет конкурировать с реакцией (1), энергия активации которой на 2 ккал/моль выше. Если принять для этих реакций одинаковые предэкспоненты, то реакция (1) будет в $10^{2/0}$ раз медленнее. При 800°K , т. е. в середине интервала температур, в котором эту реакцию изучали, $\theta = 3,6 \text{ ккал/моль}$, и эта величина равна 4, что отлично согласуется с тем фактом, что соотношение стационарных концентраций CH_2O и $(\text{CH}_3)_2\text{O}$ равно $1/4$. Действительно, при наличии вторичной цепи



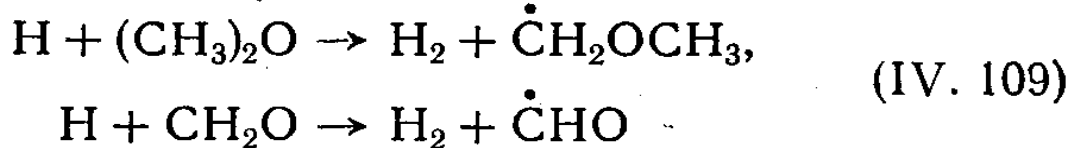
$$\frac{d[\text{CH}_2\text{O}]}{dt} \approx k_1 [\text{CH}_3] [(\text{CH}_3)_2\text{O}] - k'_1 [\text{CH}_3] [\text{CH}_2\text{O}] \quad (\text{IV. 107})$$

и по достижении стационарного состояния, когда $d[\text{CH}_2\text{O}]/dt \approx 0$, имеем

$$\frac{[\text{CH}_2\text{O}]}{[(\text{CH}_3)_2\text{O}]} \approx \frac{k_1}{k'_1} \approx \frac{1}{4}. \quad (\text{IV. 108})$$

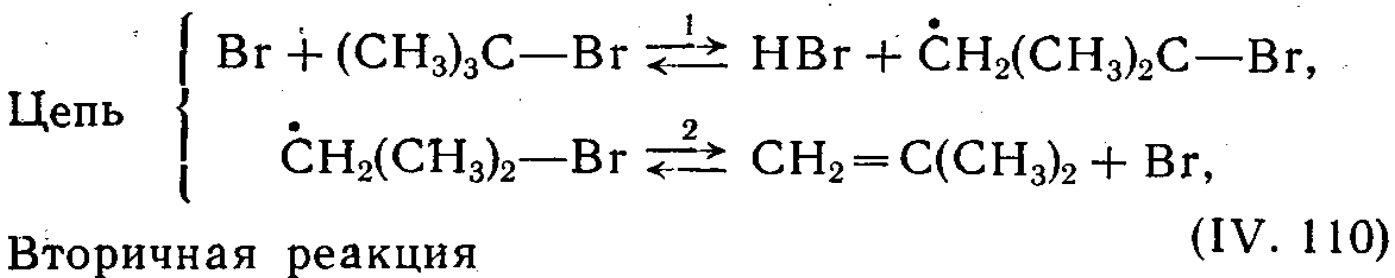
При более строгом рассмотрении необходимо учесть реакции атомов Н, получающихся во вторичной цепи. Они будут вступать в реакции замещения как с $(\text{CH}_3)_2\text{O}$,

так и с CH_2O , причем можно считать, что отношение констант скорости реакций



также равно 4.

Для только что разобранной системы диметиловый эфир — формальдегид вторичную реакцию необходимо учитывать при глубинах превращения около 20%, но ею можно пренебречь при глубине превращения порядка 1%, когда цепь ведется активными и неселективными радикалами H и CH_3 . Гораздо более существенного влияния вторичных реакций можно ожидать в случае, если цепь ведут менее активные и поэтому более селективные радикалы. Примером такого процесса является пиролиз *трет*-бутилбромида, при котором в реакциях продолжения цепи участвуют довольно инертные атомы Br :



Медленная стадия продолжения цепи [реакция (1)] является эндотермической ($\Delta H^\circ = 11$ ккал/моль). С ней конкурирует вторичная экзотермическая ($\Delta H^\circ = -2$ ккал/моль) реакция (3), в которой образуется очень инертный метилаллильный радикал. Даже если предэкспонент в реакции (1) выше на порядок, чем в реакции (3), то из-за различия энергий активации этих реакций, равной 13 ккал/моль, реакция (3) при 300°C будет протекать в 10^4 раз быстрее реакции (1). Это означает, что даже при глубине превращения 0,01% атом брома будет взаимодействовать с олефином с той же скоростью, что и с исходной молекулой алкилбромида. В результате реакция (1) быстро достигает

состояния равновесия, при котором

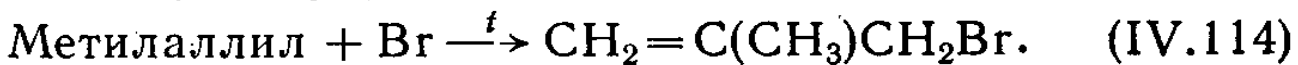
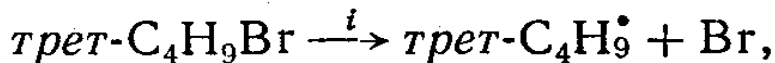
$$\frac{[\text{Br}]}{[\text{Метилаллил}]} = K_{-3} \frac{[\text{HBr}]}{[\text{Олефин}]} \approx 10^{-1,5/0} \approx \frac{1}{4}. \quad (\text{IV. 111})$$

Эта оценка основана на том, что $\Delta S \approx 0$, а согласно стехиометрии реакции $[\text{HBr}] = [\text{олефин}]$. Поскольку при $T \approx 300^\circ\text{C}$ концентрации всех других радикалов пренебрежимо малы по сравнению с $[\text{Br}]$, обрыв может происходить только при реакциях метилалильного радикала и атома брома. Можно показать, что суммарная скорость очень медленной цепной реакции определяется следующим выражением:

$$\frac{-d[\text{RBr}]}{dt} = k_1 \left(\frac{k_i K_{-3}}{k_t} \right)^{1/2} \left(\frac{[\text{HBr}]}{[\text{Олефин}]} \right)^{1/2} [\text{RBr}]^{3/2} \approx \quad (\text{IV. 112})$$

$$\approx k_1 \left(\frac{k_i K_{-3}}{k_t} \right)^{1/2} [\text{RBr}]^{3/2}, \quad (\text{IV. 113})$$

где k_i и k_t — константы скорости инициирования и обрыва



Рекомбинация с участием двух метилалильных радикалов должна протекать с константой скорости в 10 раз меньшей, чем k_t . Поэтому, пренебрегая этой реакцией, мы вносим лишь небольшую ошибку. Приняв $k_i = 10^{14,5-68/0} \text{ сек}^{-1}$, $k_t = 10^{10} \text{ л}/(\text{моль} \cdot \text{сек})$ и $k_1 = 10^{10,5-13,5/0} \text{ л}/(\text{моль} \cdot \text{сек})$, найдем эффективную константу скорости полуторного порядка

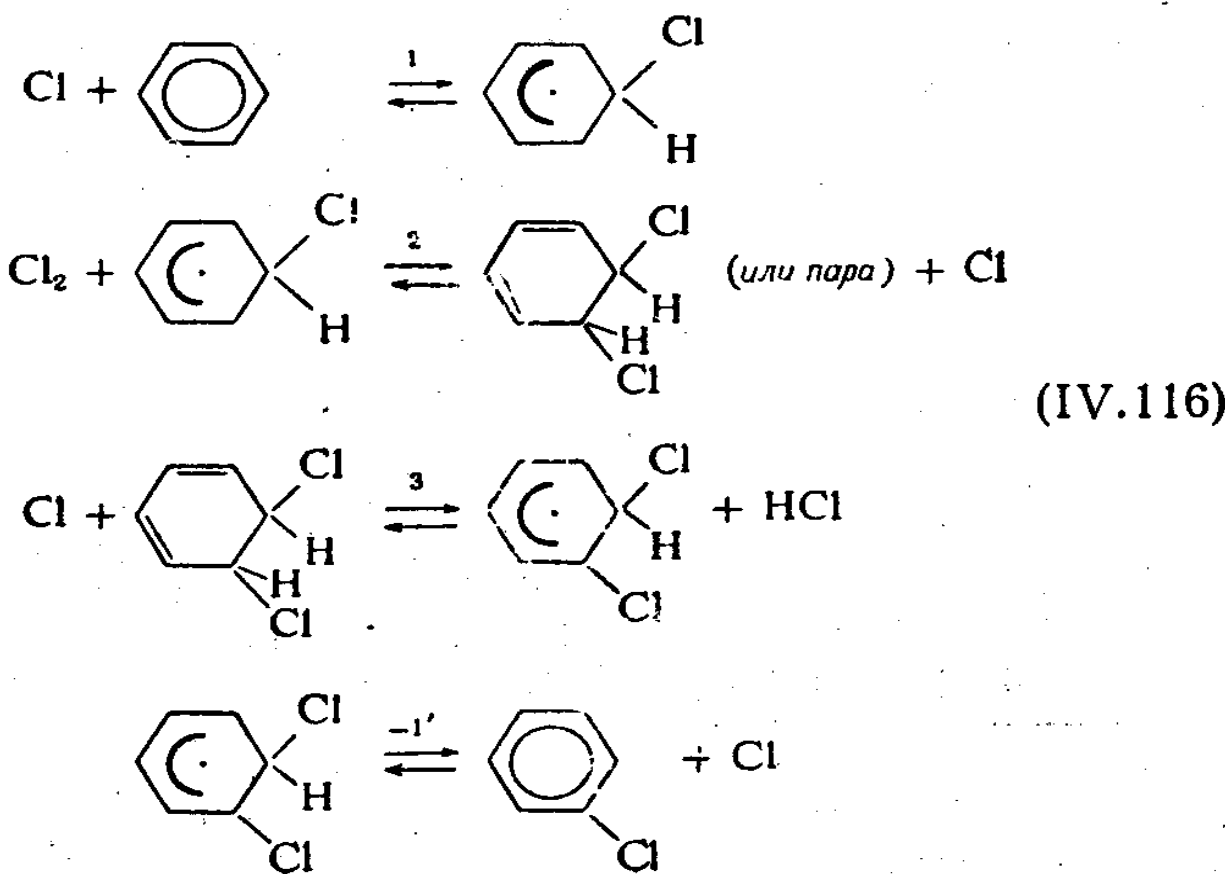
$$k_{3/2} = k_1 (K_t K_{-3} / k_t)^{1/2} \approx 10^{12,8-48/0} (\text{л}/\text{моль})^{1/2} \text{ сек}^{-1}. \quad (\text{IV. 115})$$

При 280°C и давлении трет- $\text{C}_4\text{H}_9\text{Br}$ 100 мм рт. ст. период полураспада бутилбромида равен одному году, что, конечно, соответствует скорости, намного меньшей наблюдаемой скорости реакции. Это противоречие объясняется тем, что реакция протекает путем мономолекулярного четырехцентрового отщепления HBr (табл. III.5). По тем же причинам все вторичные или третичные бромиды не разлагаются по цепному механизму при температурах, при которых их термическое разложение было экспериментально исследовано. Это согласуется с тем, что реакции не чувствительны к дей-

ствию добавок инициаторов (Br_2) и ингибиторов (NO , пропилен) радикальных реакций.

Как уже отмечалось выше, по-другому ведут себя алкилхлориды, при распаде которых образуется активный и неселективный атом хлора. На этом основании можно было бы ожидать, что такие реакции легко ингибируются. Аналогичным образом, поскольку при пиризации аминов и спиртов образуются неселективные радикалы NH_2 и OH , можно ожидать, что данные реакции могут замедляться благодаря накоплению продуктов или появлению инертных радикалов.

Приведем еще один необычный пример влияния вторичных реакций на цепной процесс — хлорирование бензола. Из-за высокой прочности связи $\text{C}-\text{H}$ в бензоле лишь немногие атомы и радикалы могут эффективно отрывать атомы H от бензола. Значительно легче должна протекать реакция присоединения. И действительно, суммарная реакция $\text{Cl}_2 + \text{C}_6\text{H}_6 \rightarrow \text{C}_6\text{H}_5\text{Cl} + \text{HCl}$, преобладающая выше 220°C , включает стадии присоединения и образование *o*- и *n*- $\text{C}_6\text{H}_5\text{Cl}_2$ в качестве промежуточных продуктов



С реакцией (3) конкурирует реакция присоединения атома Cl с образованием трихлораллильного радикала. Несмотря на то что реакция (1) экзотермическая, равновесие (1) все же недостаточно сдвинуто вправо, поэтому суммарная скорость взаимодействия атомов Cl с $C_6H_6Cl_2$ примерно в 500 раз больше скорости образования $C_6H_6Cl_2$. Таким образом, этот продукт не может накапливаться в заметных количествах, хотя его образование является необходимой промежуточной стадией процесса. Выражение для скорости его накопления и расходования имеет вид

$$\frac{d[RCl_2]}{dt} \approx k_2 K_1 K_{Cl_2}^{1/2} [Cl_2]^{3/2} [C_6H_6] - k_3 K_{Cl_2}^{1/2} [Cl_2]^{1/2} [RCl_2]. \quad (IV. 117)$$

В формуле не учтены обратные реакции радикала C_6H_6Cl , а атомы Cl рассматриваются в качестве единственных активных центров в системе*. Для стационарной концентрации RCl_2 имеем

$$\frac{[RCl_2]_{ss}}{[C_6H_6]} = \frac{k_2 K_1 [Cl_2]}{k_3}. \quad (IV. 118)$$

Вероятно, $k_2/k_3 = 10^{-1-3/\theta}$, поэтому при $[Cl_2] = 100 \text{ мм рт. ст.}$ $[RCl_2]/[C_6H_6] = 10^{-8,2+7/\theta} = 10^{-4,4}$ при 550°K .

На основании рассмотренного механизма скорость хлорирования равна

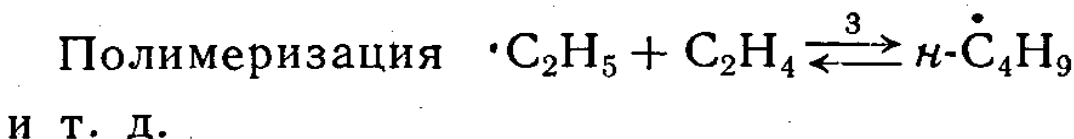
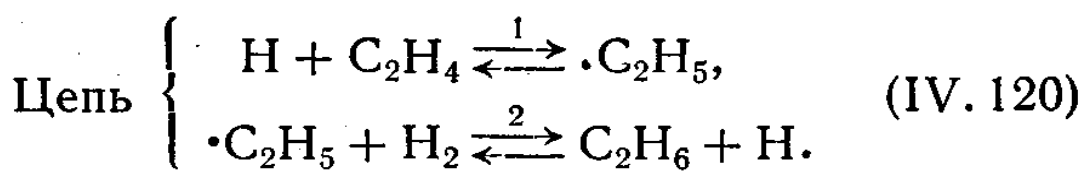
$$\frac{d[C_6H_5Cl]}{dt} \approx \frac{-d[C_6H_6]}{dt} = k_2 K_1 K_{Cl_2}^{1/2} [Cl_2]^{3/2} [C_6H_6] \approx 10^{6,6-23,5/\theta} [Cl_2]^{3/2} [C_6H_6]. \quad (IV. 119)$$

Обращает на себя внимание кажущийся суммарный порядок, равный $5/2$, а также то обстоятельство, что энергия активации меньше половины энергии диссоциации хлора (28,5 ккал/моль). Последнее связано с установлением экзотермического равновесия (1).

* Отношение $[\cdot RCl]/[Cl] \approx K_1 [C_6H_6] \approx 10^{-6,2+10/\theta} [C_6H_6]$ (концентрация C_6H_6 выражена в атмосферах). Если $P_{C_6H_6} = 100 \text{ мм рт. ст.}$, а температура равна 550°K , то $[\cdot RCl]/[Cl] = 10^{-3,1}$.

IV. 15. ПОЛИМЕРИЗАЦИЯ В ГАЗОВОЙ ФАЗЕ

Реакции присоединения лежат в основе одного из важнейших типов вторичных реакций, а именно полимеризации. Она обычно не наблюдается при катализируемом радикалами присоединении небольших молекул, например галогенов или галогеноводородов к олефинам, но имеет место при присоединении (теломеризации) более сложных молекул, таких, как CCl_3Br , CCl_4 , CCl_2O , CF_3CN , или в особом случае присоединения H_2 к олефинам. Присоединение даже простых молекул к ацетиленам или сопряженным олефинам почти всегда сопровождается побочными реакциями полимеризации. Отмеченные только что закономерности протекания таких реакций связаны с тем, что с простой цепной теломеризацией всегда конкурирует реакция присоединения радикала к другой молекуле олефина. Рассмотрим, например, гидрирование C_2H_4 . При температуре выше 400°C , когда реакция протекает с заметной скоростью, образуются углеводороды C_4 и выше, если только не выполняется неравенство $[\text{H}_2] \gg [\text{C}_2\text{H}_4]$. Рассмотрим механизм цепного гидрирования:

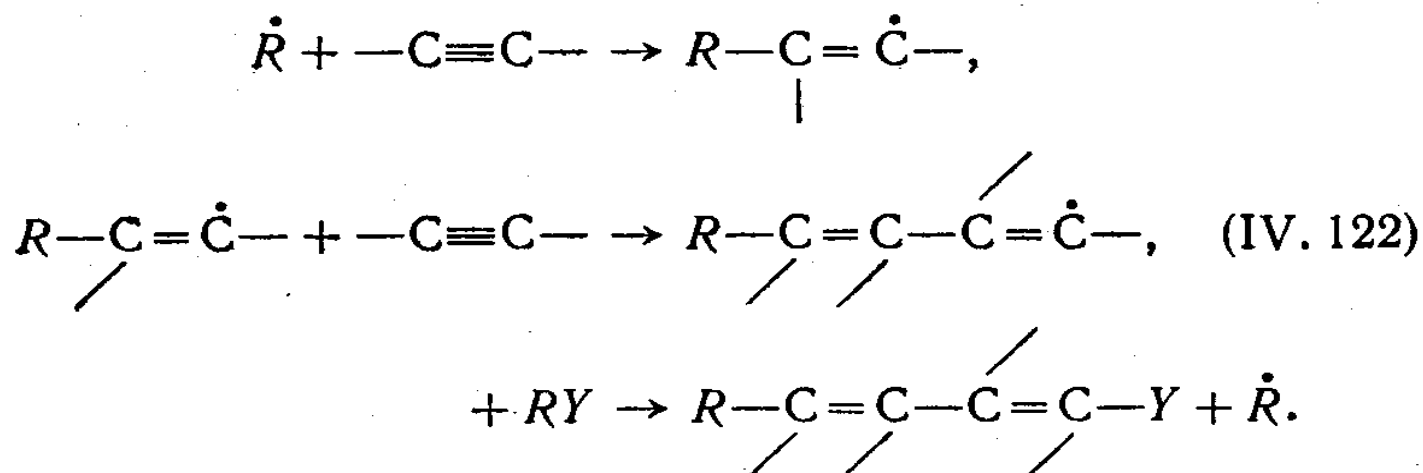


Отношение скоростей образования полимеров $R(\geqslant\text{C}_4)$ и этана $R(\text{C}_2\text{H}_6)$ равно

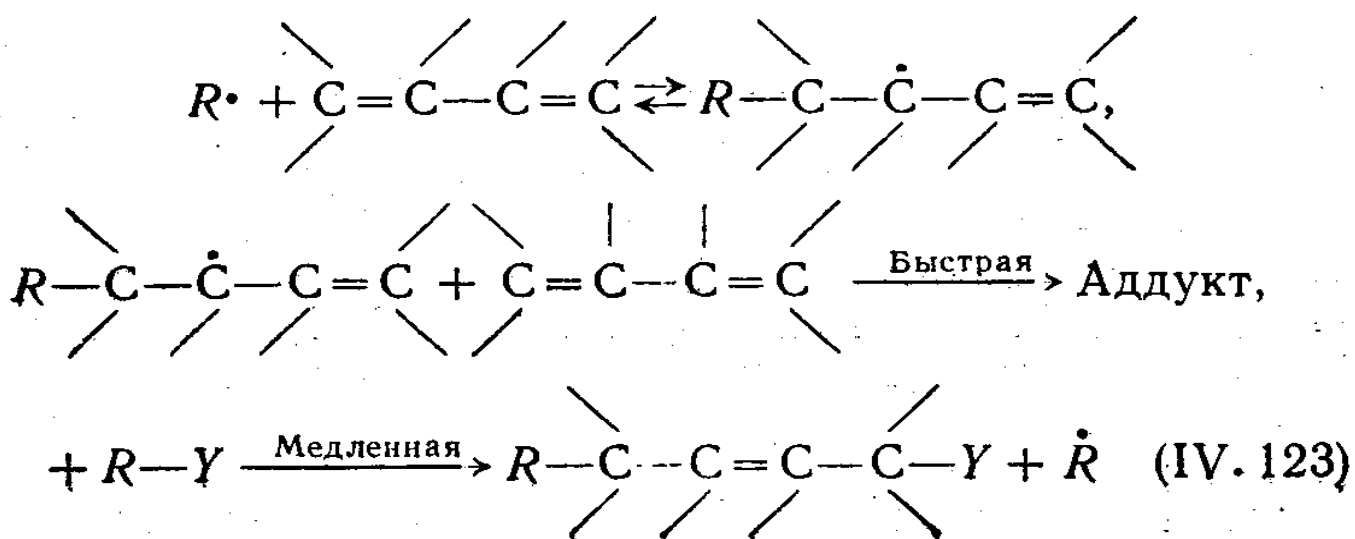
$$\frac{R_1(\geqslant\text{C}_4)}{R(\text{C}_2\text{H}_6)} = \frac{k_3}{k_2} \frac{[\text{C}_2\text{H}_4]}{[\text{H}_2]} \approx 10^{-1+5/\theta} \frac{[\text{C}_2\text{H}_4]}{[\text{H}_2]}. \quad (\text{IV. 121})$$

В формуле (IV. 121) было принято: $A_3 = 10^{9,5}$ и $A_2 = 10^{8,5}$ л/(моль·сек). При $[\text{C}_2\text{H}_4]/[\text{H}_2] = 0,1$ и $\theta = 3,5$ ($\sim 750^\circ\text{K}$) отношение $R(\geqslant\text{C}_4)/R(\text{C}_2\text{H}_6)$ составит $1/4$, что разумно согласуется с данными эксперимента [11]. Отсюда можно сделать вывод, что для того чтобы скорость полимеризации снизилась до 1% скорости гидрирования, отношение $[\text{H}_2]/[\text{C}_2\text{H}_4]$ должно превышать 800.

Описанные выше закономерности не характерны для реакций с участием HCl , HBr , Cl_2 , Br_2 и т. д., поскольку энергии активации реакций замещения с участием этих молекул низки. Ацетиленовые соединения и сопряженные диены, напротив, имеют сильную склонность к полимеризации, так как энергия активации «прилипания» радикала к этим соединениям составляет около 4 ккал/моль, а не 8 ккал/моль, как в случае олефинов. Частично это компенсируется тем, что продукт присоединения радикала к тройной связи — радикал винильного типа — является очень реакционноспособным. Реакции замещения, в которых он участвует, имеют заметно меньшую энергию активации, чем соответствующие реакции алкильных радикалов,



Склонность к полимеризации 1,3-диенов обусловлена тем, что образующиеся при их реакциях аллильные радикалы лишь очень медленно вступают в реакции замещения



Исследования газофазной полимеризации или теломеризации затруднены тем, что продукты сравнительно высокого молекулярного веса быстро накапливаются в количествах, при которых их парциальное давление достигает равновесной упругости паров, и поэтому конденсируются на стенках. В результате на стенках появляется новая фаза и система становится гетерогенной. Даже если конденсация и не происходит, высокомолекулярные радикалы легко адсорбируются на стенках, где и продолжается реакция.

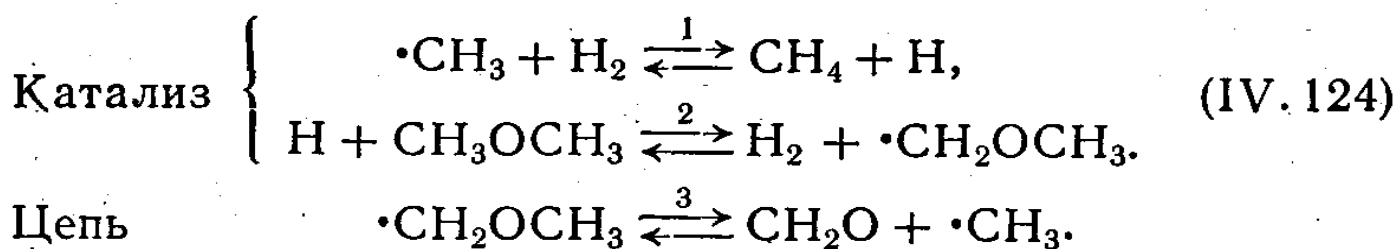
IV. 16. ГОМОГЕННЫЙ КАТАЛИЗ

Существуют два принципиально различных способа ускорения цепной реакции. Один состоит в увеличении стационарной скорости возникновения радикалов в системе, т. е. в увеличении скорости инициирования. Именно на этом принципе основано применение обычных инициаторов цепных процессов, например окиси этилена или перекисей. Однако здесь мы не имеем дела с истинным катализом, поскольку инициатор расходуется в процессе реакции.

Во втором методе катализатор участвует в самом процессе продолжения цепи, заменяя сравнительно медленные стадии более быстрыми. Хорошим примером этого типа катализа является влияние H_2 на реакцию пиролиза диметилового эфира, продуктом которого является C_2H_6 , а также на пиролиз большинства углеводородов. (Интерпретация результатов во многих случаях требует известной осторожности, так как в присутствии водорода могут изменяться продукты реакции, а сам водород может расходоваться.) В случае $(CH_3)_2O$ эффект является действительно каталитическим, тогда как при пиролизе C_3H_8 большие количества H_2 ингибируют образование C_2H_4 и C_3H_6 , а также других менее важных продуктов, и C_3H_8 почти количественно распадается на $C_2H_6 + CH_4$.

Поскольку водород образуется во многих процессах пиролиза, часто можно наблюдать самоускорение реакции. При термическом разложении $(CH_3)_2O$ в

присутствии больших количеств H_2 цепная реакция имеет следующий механизм:



При добавлении водорода нормальная стадия продолжения цепи $\cdot CH_3 + CH_3OCH_3 \xrightarrow[1']{} CH_4 + \cdot CH_2OCH_3$ заменяется двумя быстрыми стадиями (1) и (2). Реакции (1) и (1') имеют приблизительно одинаковые энергии активации, но предэкспонент реакции (1) выше примерно в 2 раза. Реакция (2) несравненно быстрее реакции (1), поскольку ее предэкспонент больше примерно в 10 раз, а энергия активации меньше на 4 ккал/моль. Это проявляется в очень низкой стационарной концентрации атомов H и в том, что стадия (1) оказывается необратимой.

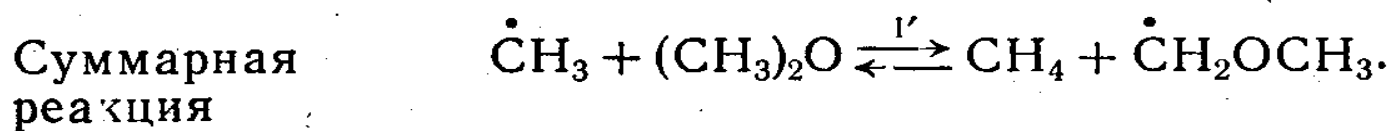
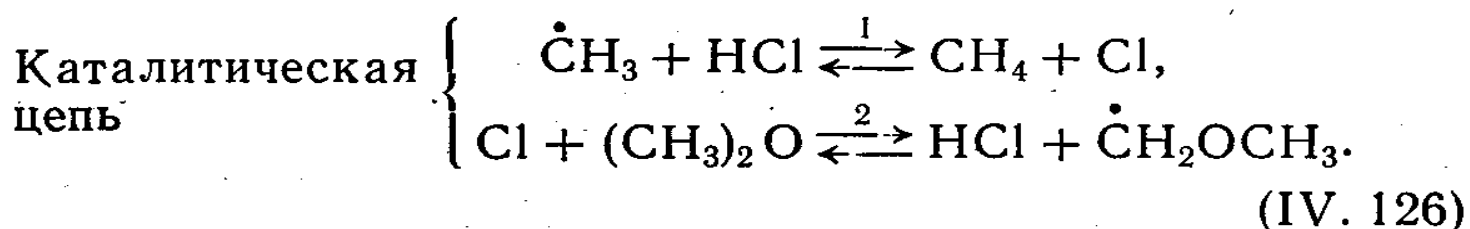
В результате последовательности реакций (1) и (2) H_2 регенерируется, и на этом основании водород можно рассматривать как катализатор реакции продолжения цепи. Отношение скоростей пиролиза $(CH_3)_2O$ при добавлении водорода и в его отсутствие можно выразить следующим образом:

$$\frac{R(H_2)}{R(\text{normal})} \approx \frac{k_1 [\cdot CH_3] [H_2]}{k'_1 [CH_3] [(CH_3)_2 O]} = \frac{k_1 [H_2]}{k'_1 [(CH_3)_2 O]}. \quad (IV. 125)$$

Это соотношение справедливо для начальных стадий реакции, при которых H_2 (продукт вторичных реакций) и CH_2O еще не успели накопиться в системе. В начальной стадии процесса при $[H_2] = [(CH_3)_2 O]$ скорость может возрасти всего в 2 раза — довольно слабый катализитический эффект.

Гораздо более отчетливое катализитическое действие оказывает HCl . Реакции радикалов с HCl имеют энергии активации, лишь немного (примерно на 1 ккал/моль) превышающие эндотермичность реакции. Вторая стадия цепной реакции с участием катализатора, а именно

взаимодействие Cl с RH, в которой регенерируется HCl, очень быстрая, поэтому уже при малых добавках HCl наблюдается сильный катализический эффект. Так, при пиролизе $(\text{CH}_3)_2\text{O}$ добавка HCl (20 мол. %) увеличивает скорость реакции в 8 раз [12]. Реакция протекает по следующему механизму:



Отношение скоростей некатализируемой и катализируемой реакций равно

$$\frac{R(\text{HCl})}{R(\text{normal})} \approx \frac{k_1 [\cdot \text{CH}_3] [\text{HCl}]}{k'_1 [\cdot \text{CH}_3] [(\text{CH}_3)_2\text{O}]} = \frac{k_1 [\text{HCl}]}{k'_1 [(\text{CH}_3)_2\text{O}]}.$$

(IV. 127)

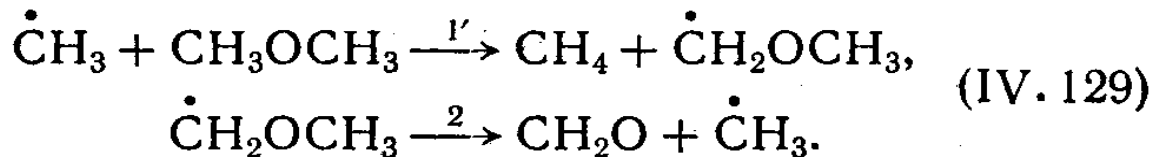
Предэкспонент A_1 приблизительно в 3 раза больше, чем A'_1 , тогда как E_1 равна всего 2,5 ккал/моль, а $E'_1 \approx 9,5$ ккал/моль, поэтому при 750°K и $[\text{HCl}] = [(\text{CH}_3)_2\text{O}]$ реакция ускоряется в 300 раз. Однако величина каталитического эффекта быстро снижается по мере накопления CH_4 , так как метан сдвигает равновесие (1) влево. Учитя это в выражении для скорости, получим

$$\frac{R(\text{HCl})}{R(\text{normal})} = \frac{k_1 [\text{HCl}]}{k'_1 [(\text{CH}_3)_2\text{O}] \{1 + k_{-1} [\text{CH}_4]/k_2 [(\text{CH}_3)_2\text{O}]\}}.$$

(IV. 128)

Уменьшение каталитического эффекта вызвано тем, что константы k_{-1} и k_2 мало различаются при 750°K . Подобные каталитические эффекты очень полезны для установления механизма цепной реакции. В ряде случаев априорные предположения не позволяют сделать оправданный выбор между двумя цепными схемами и нельзя надежно предсказать, какой из двух схем соответствует большая скорость. Рассмотрим с этой точки

зрения пиролиз $(\text{CH}_3)_2\text{O}$



Если отсутствуют какие-либо другие реакции радикалов, то в стационарном состоянии

$$\frac{[\cdot\text{CH}_2\text{OCH}_3]}{[\cdot\text{CH}_3]} = \frac{k'_1 [(\text{CH}_3)_2\text{O}]}{k_2}. \quad (\text{IV. 130})$$

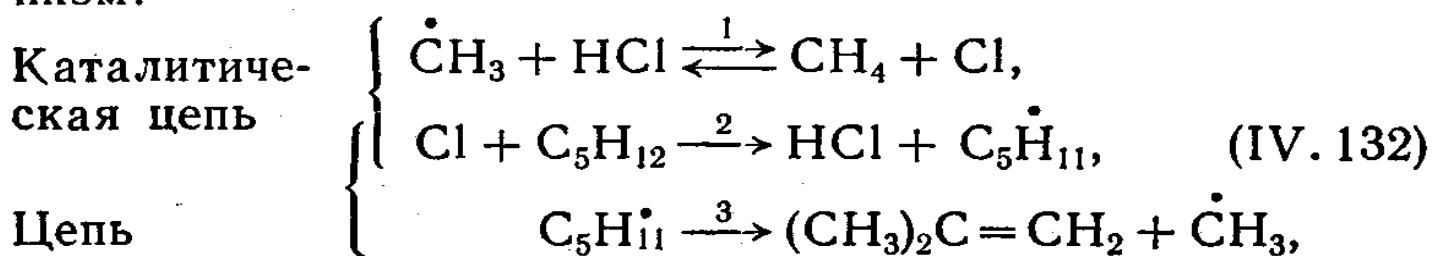
Добавление HCl не влияет на реакцию (2), но ускоряет реакцию замещения (1'). При этом добавки HCl должны эффективно увеличивать отношение $[\cdot\text{CH}_2\text{OCH}_3]/[\cdot\text{CH}_3]$, поскольку в присутствии гомогенного катализатора в числителе формулы (IV. 130) $k'_1 [(\text{CH}_3)_2\text{O}]$ заменяется на значительно большую величину $k_1[\text{HCl}]$. В пределе, когда это отношение делается очень большим, а концентрация $[\cdot\text{CH}_3]$ очень низкой, можно считать, что обрыв происходит только при рекомбинации $\cdot\text{CH}_2\text{OCH}_3$. При этом лимитирующей стадией становится медленная реакция (2). Среднее время, приходящееся на одно звено цепи, которое раньше равнялось $\tau'_1 + \tau_2$, теперь можно приближенно считать равным τ_2 . Отношение этих величин

$$\frac{\tau'_1 + \tau_2}{\tau_2} = 1 + \frac{\tau'_1}{\tau_2} \quad (\text{IV. 131})$$

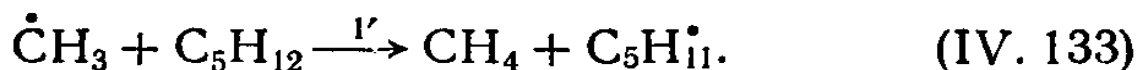
соответствует максимальному увеличению скорости реакции (при этом предполагается, что константы скорости обрыва одинаковы для всех радикалов). Пусть первоначально $\tau'_1 \approx \tau_2$, т. е. $[\cdot\text{CH}_2\text{OCH}_3] \approx [\cdot\text{CH}_3]$. В этом случае реакция будет ускорена не более чем в 2 раза. Каталитический эффект, как видно из формулы (IV.128), должен зависеть от концентрации CH_3OCH_3 .

В действительности же при пиролизе $(\text{CH}_3)_2\text{O}$ уже малые добавки HCl ускоряют реакцию в десятки раз, что свидетельствует о том, что $\tau'_1 \gg \tau_2$, соответственно $[\cdot\text{CH}_2\text{OCH}_3] \ll [\cdot\text{CH}_3]$ и обрыв с участием радикалов $\cdot\text{CH}_2\text{OCH}_3$ вносит незначительный вклад. Отсюда также

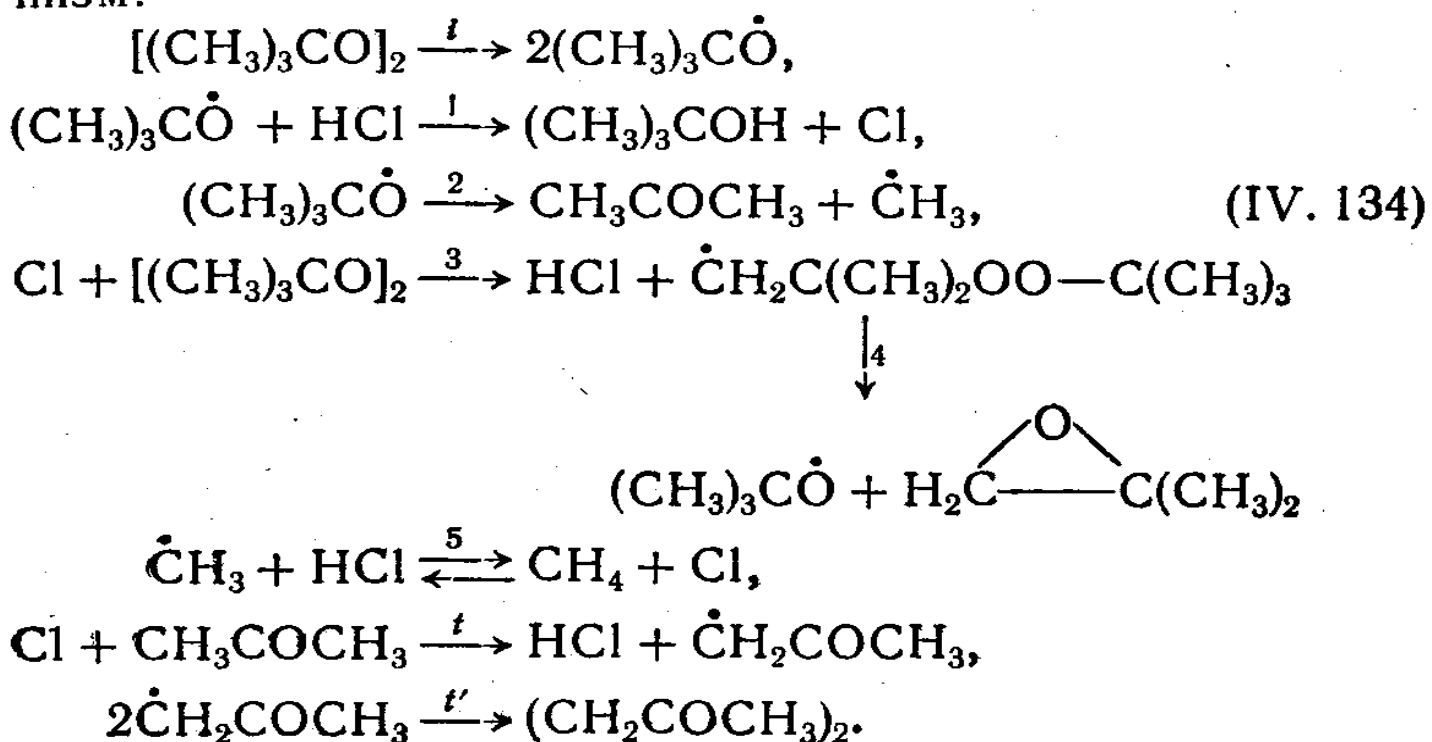
можно определить нижнюю границу константы скорости k_2 , которую нельзя измерить другим путем. Аналогичное исследование [13] пиролиза неопентана показало, что в начальных стадиях процесса сильное ускорение наблюдается под действием малых добавок HCl. Это также указывает на то, что константа скорости стадии распада значительно больше, чем константа скорости стадии замещения. Реакция имеет следующий механизм:



причем $[\text{C}_5\text{H}_{11}^{\bullet}] \ll [\dot{\text{C}}\text{H}_3]$ и $k_3 > k'_1 [\text{C}_5\text{H}_{12}]$, где k'_1 – константа скорости реакции



Добавки HCl на много порядков увеличивают скорость термического распада перекисей. В случае дитрет-бутилперекиси очень малые добавки HCl вызывают каталитический эффект, величина которого не зависит от дальнейшего добавления HCl и снижается под влиянием продуктов реакции. Предложен следующий механизм:



В этой системе инертным радикалом является $\dot{\text{CH}_2\text{COCH}_3}$, который не способен быстро взаимодействовать с HCl ($\Delta H_t^\circ \approx 11$ ккал/моль) и поэтому может вступать только в реакции обрыва. Таким образом, обрыв будет происходить преимущественно по реакции (t'). Суммарная скорость распада определяется выражением

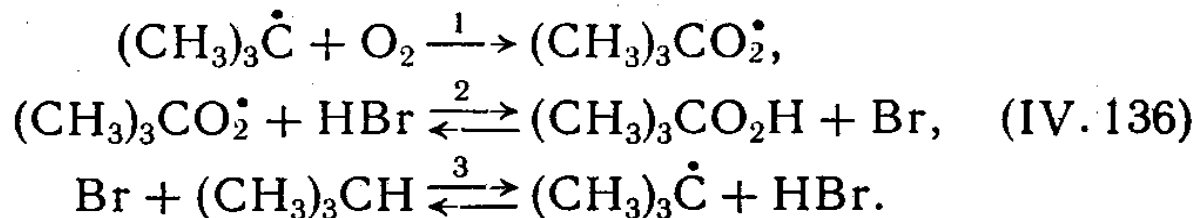
$$\frac{-d [\text{Bu}_2\text{O}_2]}{dt} = k_t [\text{Bu}_2\text{O}_2] + \frac{2k_3 k_t [\text{Bu}_2\text{O}_2]^2}{k_t [\text{CH}_3\text{COCH}_3]}, \quad (\text{IV. 135})$$

где $\text{Bu} = (\text{CH}_3)_3\text{C}$.

Ниже 100°C необходимо учитывать только второй член в формуле (IV. 135). Выражение это носит приближенный характер и справедливо только после того, как глубина превращения превысит несколько десятых процента, и при $[\text{HCl}] > 0,1\%$. Так как k_3 и k_t сравнимы по величине, каталитический эффект быстро снижается по мере того, как концентрация CH_3COCH_3 приближается к концентрации перекиси. Другой неточностью уравнения (IV. 135) является то, что в нем не учитывается образование малоактивных радикалов из других продуктов реакции — окиси изобутилена и трет-бутилового спирта.

Аналогичные явления можно наблюдать под действием добавок HBr и H_2S при термическом разложении веществ со слабыми связями $\text{C}-\text{H}$.

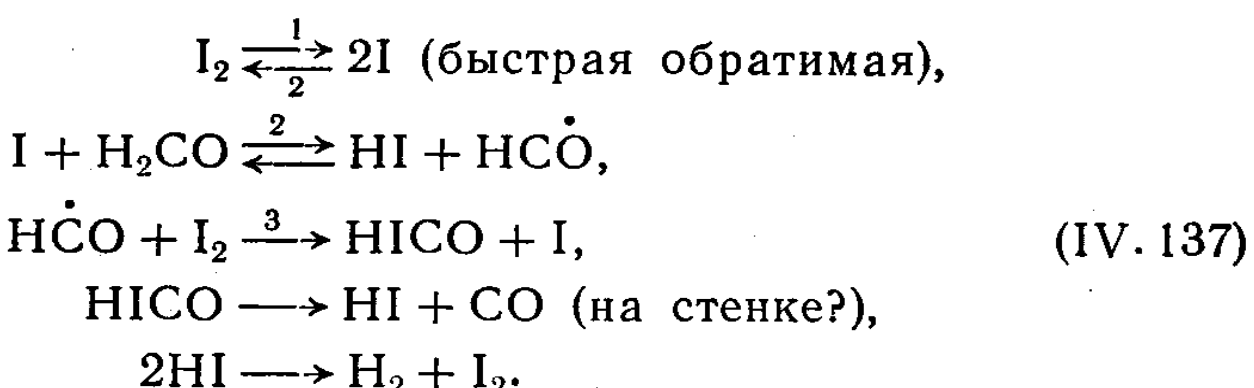
Бромистый водород является истинным катализатором газофазного окисления изобутана, механизм которого, предложенный в работе [15], приведен ниже



Быстрая реакция (1) поддерживает концентрацию $(\text{CH}_3)_3\dot{\text{C}}$ низкой и тем самым препятствует протеканию быстрой обратной реакции (—3). Стадия (2) является экзотермической ($\Delta H^\circ = -3$ ккал/моль), поэтому равновесие при 150°C сильно сдвинуто в сторону $(\text{CH}_3)_3\text{CO}_2\text{H}$. Подобным же образом ведет себя H_2S

при распаде $(\text{CH}_3)_2\text{O}$ [16] и CH_3CHO [17]. Радикалы $\dot{\text{S}}\text{H}$ и $\dot{\text{Br}}$ имеют очень схожую энергетику.

Одними из первых изученных гомогенных катализаторов являются HI и I_2 . Эти соединения инициируют цепные реакции, так как они могут являться источниками свободных радикалов, но, кроме того, они могут участвовать непосредственно в процессах продолжения цепи. Так, например, при распаде H_2CO , катализируемом I_2 [18], происходит очень быстрый расход иода, в результате чего образуется смесь I_2-HI и реакция протекает по следующему механизму:



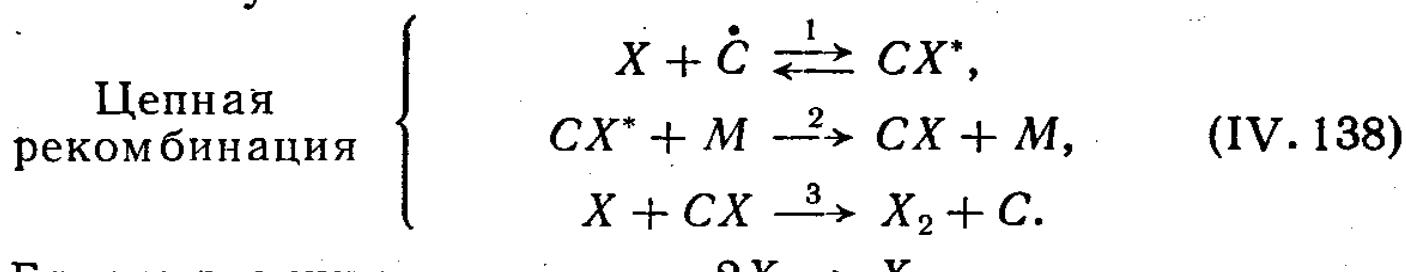
Катализ в этой системе может иметь место, только если температура достаточно высока ($>350^\circ\text{C}$). Это необходимо для того, чтобы I_2 мог регенерироваться из HI . Аналогичный сложный механизм установлен для катализируемого иодом пиролиза CH_3CHO .

IV. 17. ГОМОГЕННЫЙ КАТАЛИЗ РЕАКЦИЙ РЕКОМБИНАЦИИ

Необычный тип гомогенного катализа возможен для реакций рекомбинации атомов и небольших радикалов. Для протекания таких реакций, например $\text{H} + \text{H} \rightarrow \text{H}_2$ или $\text{O} + \text{NO} \rightarrow \text{NO}_2$, необходима третья частица, которая бы унесла с собой избыток энергии. Таким образом, эти реакции рекомбинации являются тримолекулярными и довольно медленными по сравнению с рекомбинацией больших радикалов, например $2\text{CH}_3 \rightarrow \text{C}_2\text{H}_6$.

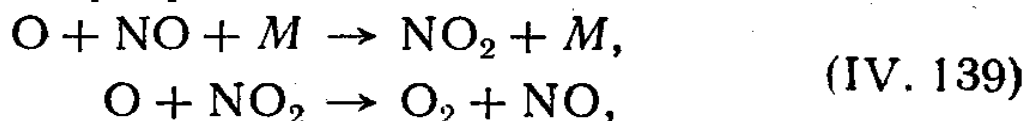
При давлении 1 атм скорость тримолекулярной рекомбинации примерно в 25 раз меньше, чем скорость бимолекулярной рекомбинации. Относительная скорость тримолекулярной рекомбинации убывает пропорционально давлению. При давлении 1 мм рт. ст. она равна $10^{-4,3}$.

Тримолекулярная рекомбинация может ускоряться в присутствии молекул катализатора C по следующему механизму:

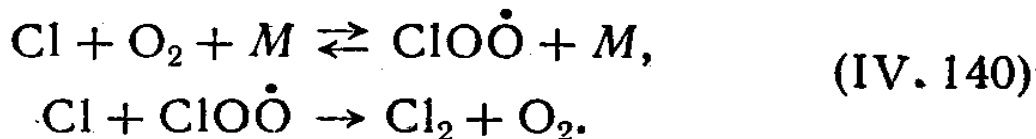


Чтобы катализатор C был достаточно эффективным, константа скорости k_3 должна быть большой [т. е. реакция (3) должна иметь низкую энергию активации], а время жизни возбужденной частицы должно быть достаточно велико, с тем чтобы заметная часть образовавшихся частиц CX^* могла претерпевать дезактивацию [реакция (2)].

Как было показано [20], при температурах выше 1000°K CH_3 может выступать в качестве очень эффективного катализатора рекомбинации атомов Н. При обычной температуре подобную роль могут играть почти все углеводороды, кетоны или альдегиды. Так, добавление 0,1 мол. % ацетона к атомарному водороду увеличивает эффективную скорость рекомбинации при давлении 1 мм рт. ст. примерно в 100 раз. Из этого факта можно было бы сделать вывод, что наличие примесей и загрязнений должно играть важную роль в системах, содержащих атомы Н. Молекула NO ведет себя подобным же образом при рекомбинации атомов О



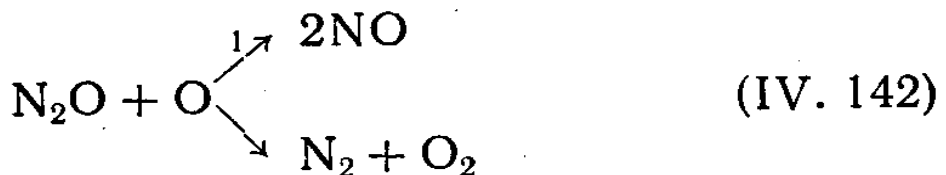
O_2 катализирует рекомбинацию атомов Cl



Интересное следствие подобного гомогенного катализа можно наблюдать при пиролизе N_2O . Стадией иницирования здесь является распад



Дальнейшее протекание реакции на ее начальной стадии происходит в соответствии со схемой



Эта реакция и реакция инициирования протекают приблизительно с одинаковой скоростью. Начальная стехиометрия процесса такова, что на каждый образовавшийся атом О превращаются две молекулы N₂O [21]. Однако обе вторичные реакции быстро затормаживаются по мере того, как в системе накапливается NO и благодаря катализируемой рекомбинации (IV.139) снижается концентрация атомов O. Из-за этого эффективная скорость разложения N₂O снижается вдвое, и на каждый образованный атом O приходится уже одна превращенная молекула N₂O. Если добавить NO в исходную смесь, образование NO прекращается и стехиометрическое соотношение остается точно равным единице, т. е. все атомы O благодаря катализу NO—NO₂ дают O₂.

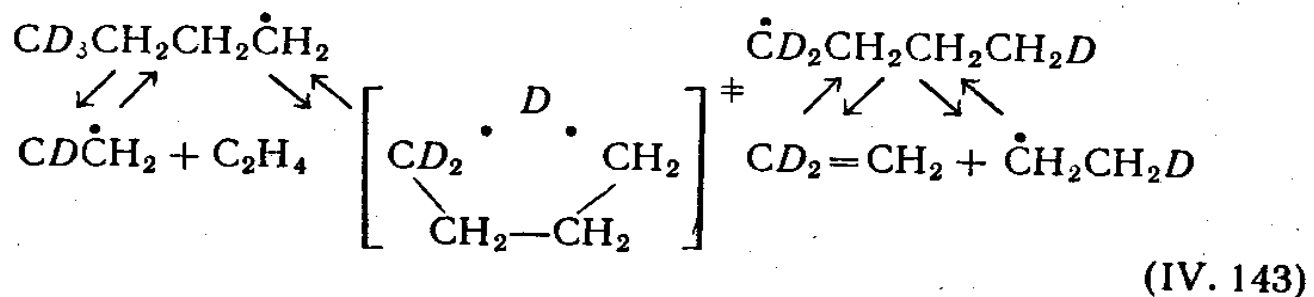
IV. 18. СТАДИИ ИЗОМЕРИЗАЦИИ В ЦЕПНЫХ ПРОЦЕССАХ

Для радикалов, содержащих более двух многовалентных атомов, принципиально возможна мономолекулярная изомеризация. Она может протекать по механизму отрыва атома, вытеснения, циклизации и распада — механизм этих реакций был подробно рассмотрен в гл. III. Соображения, высказанные там относительно механизма этих реакций, по-видимому, будут справедливы и здесь. Например, трудно ожидать, что реакция вытеснения будет эффективно (т. е. со сравнительно низкой энергией активации) протекать у насыщенных атомов C, N и O. Энергии активации внутримолекулярного отрыва атомов должны коррелировать с энергиями активации обычных бимолекулярных реакций замещения.

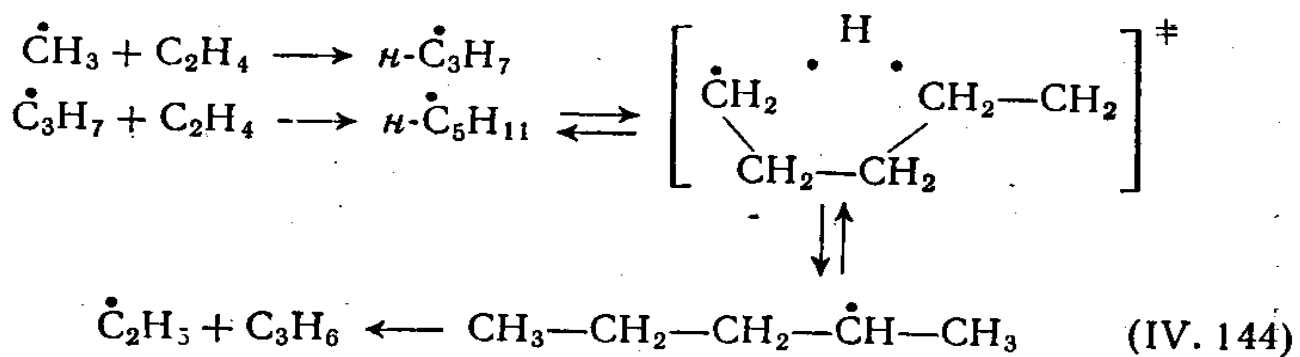
Однако специфика мономолекулярных процессов, состоит в том, что они должны протекать через циклическое переходное состояние и поэтому иметь низкий

предэкспонент, величина которого зависит от числа заторможенных внутренних вращений, исчезающих при образовании цикла. Кроме того, образующиеся циклы должны характеризоваться определенной энергией напряжения, что находит отражение в более высоких энергиях активации. Поэтому можно ожидать, что самым быстрым процессом будет тот, который сопровождается образованием ненапряженного шестичленного цикла. Энергия напряжения пяти- и семичленных циклов составит около 7 ккал/моль, и образование их будет несколько затруднено. Для четырех- и трехчленных циклов, образованных элементами второго периода периодической таблицы, энергия напряжения будет равна 27 ккал/моль, благодаря чему образование таких переходных состояний будет крайне маловероятным.

В полном соответствии с высказанными выше соображениями внутримолекулярный отрыв атомов Н в алкильных радикалах легче всего происходит при взаимодействии *n*-го и (*n* + 5)-го атомов углерода и медленнее при взаимодействии *n*-го и (*n* + 4)-го или (*n* + 6)-го атомов. Обмен дейтерия в *n*-бутильных радикалах может протекать по следующему механизму:

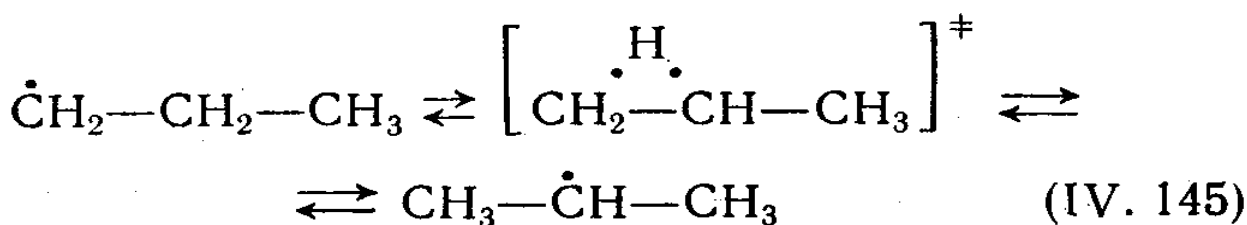


1,4-Перенос наблюдался для *n*-пентильных радикалов [22—24].



Не было получено никаких указаний на возможность 1,2- и 1,3-переноса водорода в алкильных радикалах.

Изомеризация *n*-пропильного в изопропильный радикал должна была бы протекать через трехчленное циклическое переходное состояние

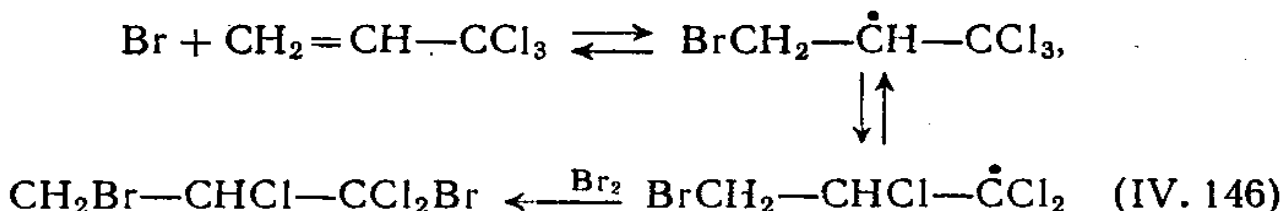


Если этот цикл имеет ту же энергию напряжения, что и циклопропан или окись этилена, а именно 27 ккал/моль, а энергия активации отрыва атома Н имеет нормальное значение, равное 8 ккал/моль (как, например, при отрыве вторичного атома Н радикалом $\cdot\text{C}_2\text{H}_5$), суммарная энергия активации должна быть около 35 ккал/моль. Предэкспонент этой реакции должен быть около $10^{12,5}$ сек⁻¹, так как при образовании цикла мы теряем заторможенное вращение $\cdot\text{CH}_2$ с низким энергетическим барьером. С рассматриваемой реакцией могли бы конкурировать бимолекулярный отрыв атома Н *n*-пропильным радикалом, его рекомбинация и отщепление CH_3 . Последний и, вероятно, самый медленный из этих процессов должен иметь $A = 10^{13,8}$ сек⁻¹ и энергию активации, равную 33 ккал/моль. Таким образом, отщепление CH_3 должно быть в 30—100 раз быстрее при любых температурах, и трудно ожидать, что подобную изомеризацию удалось бы наблюдать.

Аналогичные рассуждения приводят к тем же выводам и для вероятности 1,2- или 1,3-переноса атомов Н в *n*-бутильных радикалах. Энергия напряжения четырехчленного цикла всего на 1 ккал/моль ниже, чем трехчленного, а предэкспонент ниже в 5 раз, что соответствует потере одного внутреннего вращения. С помощью меченых атомов было показано [23], что экзотермическая изомеризация *n*-бутильного во *втор*-бутильный радикал ($\Delta H^\circ = -3,5$ ккал/моль) должна превышать 36 ккал/моль. В противном случае не удается объяснить отсутствия *втор*-бутильных радикалов.

В то же время многочисленные данные указывают на то, что в радикалах возможен 1,2-перенос атомов Cl.

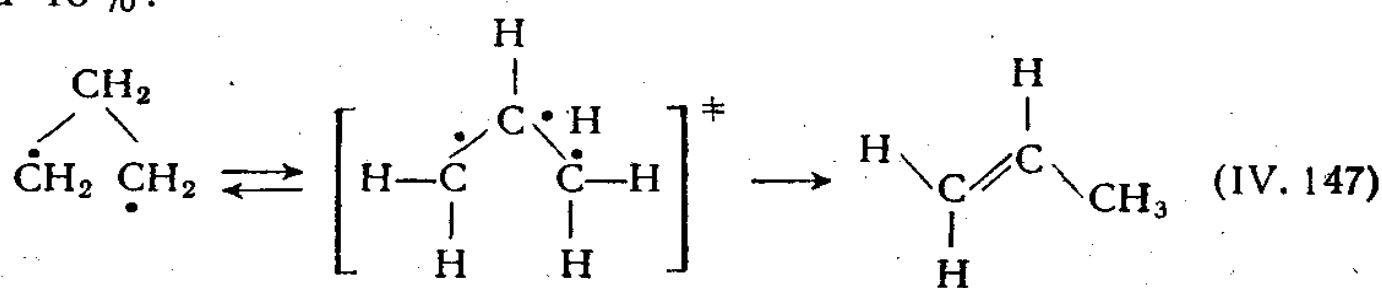
Так, при бромировании трихлорпропилена происходит изомеризация [25]



Прочность связи C—Cl в этих радикалах составляет всего 16 ккал/моль, поэтому не исключено, что перенос Cl в действительности включает диссоциацию в клетке с последующим присоединением Cl к образовавшемуся при этом олефину. Энергия активации в случае подобного механизма реакции должна быть не ниже энергии диссоциации связи C—Cl.

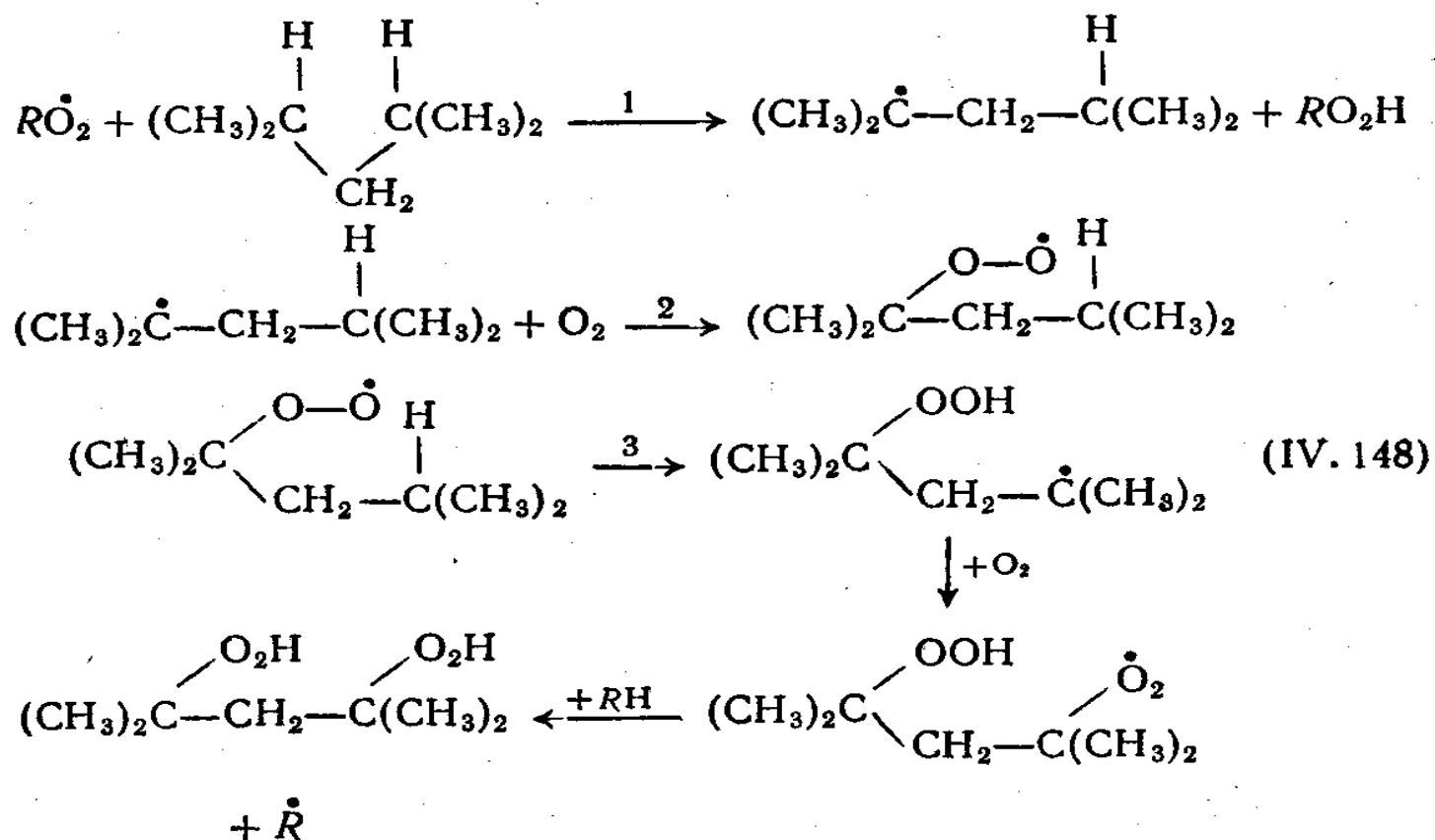
Вероятность изомеризации этого радикала может быть, кроме того, связана со снижением энергии напряжений циклов, образованных элементами третьего периода. Например, для серы энергия напряжения трех- и четырехчленного цикла на 8 ккал/моль ниже, чем для элементов второго периода.

Другой реакцией, в которой удалось наблюдать внутримолекулярный отрыв атомов H, является пиролиз циклопропана. Исследование этой реакции показало, что 1,2-перенос атомов H в триметиленовом радикале, приводящий к C_3H_6 с $\Delta H^\circ = -62$ ккал/моль, имеет энергию активации 11 ккал/моль и предэкспонент, согласно оценке, около 10^{13} сек⁻¹. Причиной протекания этой реакции является то, что в ней образуется двойная связь. Судя по низкой энергии активации, условно можно считать, что в переходном состоянии она образовалась уже на 40%.



Очень интересный пример внутримолекулярного отрыва водорода дает жидкофазное окисление углеводородов. При исследовании сенсибилизированного окисления

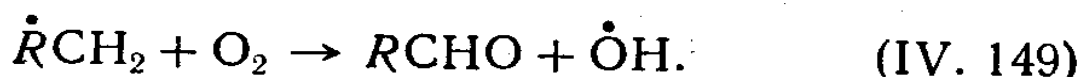
2,4-диметилпентана были обнаружены высокие выходы дигидроперекисей. Предложен следующий механизм реакции:



Так как происходит образование шестичленных циклов, энергия активации внутримолекулярного отрыва водорода будет такой же, как и в случае бимолекулярного. Предэкспонент внутримолекулярного отрыва должен быть около 10^{11} сек⁻¹ (благодаря исчезновению трех внутренних вращений), но это все же выше, чем величина $10^{8.5}$ [RH] для бимолекулярного отрыва, даже если [RH] = 10 моль/л, как в жидкой фазе, состоящей из чистого углеводорода. При окислении изомерного 2,3-диметилпентана образуются только моногидроперекиси в соответствии со сделанным выше допущением, что перенос водорода через пятичленный цикл требует дополнительных 7 ккал/моль. Другой, более быстрый процесс переноса атомов Н через шестичленный цикл был бы возможен, если бы не его эндотермичность (3 ккал/моль), благодаря которой он может иметь на 4 ккал/моль более высокую энергию активации, чем отрыв третичных атомов Н. В результате при 150°С внутримолекулярный отрыв Н будет в пять раз медленнее бимолекулярного.

отрыва. Продукт этой реакции действительно был обнаружен в количествах, которые согласуются со сделанной оценкой.

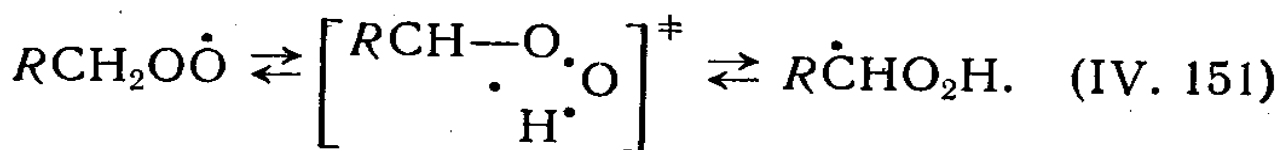
В свете развивающихся здесь представлений интересно проанализировать часто приводимую реакцию алкильных радикалов с O_2



Экзотермичность такой реакции составляет около 57 ккал/моль. Промежуточным ее продуктом должен быть пероксирадикал, при образовании которого выделяется лишь 29 ккал/моль,



Затем происходит его перегруппировка через четырехчленный цикл в гидроперекисный радикал



Эндотермичность этой реакции около 3,5 ккал/моль, а энергия активации должна быть равна сумме энергии напряжения (26 ккал/моль), энергии активации обычного отрыва (7 ккал/моль) и эндотермичности (3,5 ккал/моль), т. е. 36,5 ккал/моль. Это превышает избыток энергии радикала (RCH_2OO^*), поэтому возбуждение радикала не может обеспечить быстрого протекания реакции, и для него возрастает вероятность быстрой дезактивации.

Однако для образовавшихся гидроперекисных радикалов $R\dot{C}HO_2H$ можно ожидать быстрого эндотермического распада на $\cdot OH$ и $RCHO$ ($\Delta H = -26$ ккал/моль). Эта реакция все же должна иметь некоторую, хотя и небольшую энергию активации (~ 5 ккал/моль). Таким образом, несмотря на большую экзотермичность окисления радикалов, скорость суммарной реакции должна быть очень низкой, так как в данном случае речь идет

о бимолекулярной реакции, имеющей энергию активации почти 40 ккал/моль*. И действительно, экспериментальных подтверждений протекания этой реакции можно найти очень мало.

Возможно, первыми, кто отметил важность внутримолекулярного переноса водорода при пиролизе углеводородов, были Райс и Косяков [27], которые доказали, что при пиролизе углеводородов с длинным углеродным скелетом, например $C_{16}H_{34}$, распределение продуктов разумно согласуется с предположением о статистическом отрыве вторичных атомов Н, за которым следует очень быстрая равновесная изомеризация алкильных радикалов путем образования шестичленных циклов наряду с пяти- и семичленными. При температурах 700—1100° К эти процессы протекают достаточно быстро по сравнению с возможными конкурирующими реакциями распада радикалов или бимолекулярными реакциями.

Переходя к следующему разделу, хотелось бы подчеркнуть одно обстоятельство. Обычно во всех реакциях преобладают экзотермические процессы ($\Delta H_r < 0$). Причина здесь заключается в том, что у любой эндотермической реакции есть обратная, экзотермическая, которая быстрее ее в $10^{-\Delta H_r/\theta}$ раз. Так, для эндотермической реакции

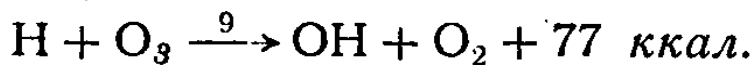
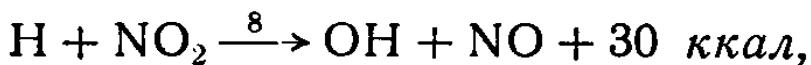
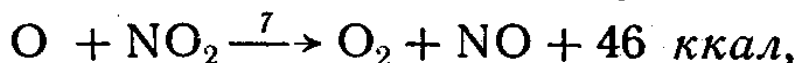
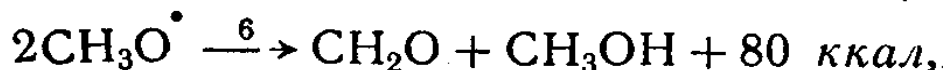
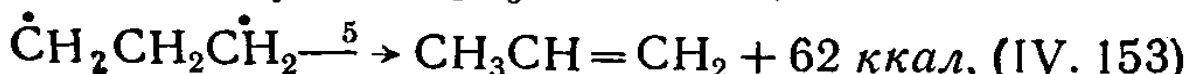
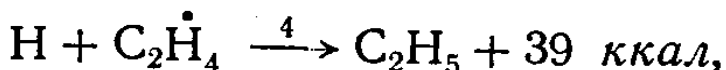
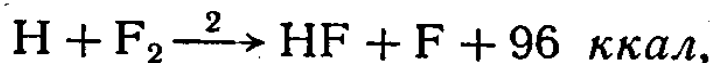
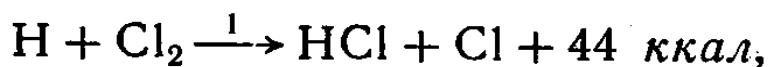


обратная имеет экзотермичность 8 ккал/моль, и потому при 600° К она быстрее в 10^3 раз. В результате стационарные концентрации частиц, образующихся в эндотермических реакциях, пренебрежимо малы. Следующее утверждение можно рассматривать в качестве достаточно общего правила: «Внутримолекулярные перегруппировки могут играть важную роль только в тех случаях, когда реакция эта экзотермическая или почти термонейтральная».

* Не следует забывать также о конкурирующей обратной реакции распада на O_2 и $R\dot{C}H_2$, имеющей более низкую энергию активации и более высокий предэкспонент.

IV. 19. РЕАКЦИИ ГОРЯЧИХ МОЛЕКУЛ

Многие цепные реакции являются экзотермическими. Теплота реакции может выделяться в одной или нескольких стадиях продолжения цепи, в которых образуются радикалы или молекулы, обладающие избытком энергии. Во внутреннюю энергию продуктов может также частично переходить энергия активации экзотермической реакции. Ниже приведены некоторые примеры важных экзотермических стадий цепных процессов



Выделяемая при реакции энергия может распределяться по всем степеням свободы продуктов: по поступательным, колебательным, вращательным и электронным *. Недавние исследования [28] возбужденных молекул HCl, полученных по реакции (1), свидетельствовали о том, что 90% теплоты реакции обнаруживается в виде колебательного возбуждения **. Такое распределение, однако, не является типичным. Как правило, большая часть тепла реакции переходит в энергию поступательного движения. Принцип детального равновесия требует,

* Наиболее эффективным методом установления распределения энергии по степеням свободы продуктов экзотермических реакций является исследование этих реакций в пересекающихся молекулярных пучках (подробнее см. Гершбах Д. Р., «Рассеяние молекулярных пучков, сопровождающееся реакцией», в книге [39]. — Прим. перев.

** Аналогичная реакция образования HBr* рассмотрена в работе [29].

чтобы для обратной эндотермической реакции наибольшее значение имела энергия поступательного движения реагентов. Вывод этот не является неожиданным, так как поступательная энергия быстро распределяется между молекулами, в то время как колебательное возбуждение лишь очень медленно переходит на поступательные и вращательные степени свободы.

К тому же выводу можно прийти и другим путем. Если бы вся энергия активации реакции $\text{Cl} + \text{HCl}$ (около 46 ккал/моль) была сосредоточена на колебании связи $\text{H}-\text{Cl}$, то из условия сохранения количества движения можно заключить, что 97% этой величины $[(1 - \frac{1}{35,5}) \approx 0,97]$ соответствовало бы движению атома H как наиболее легкой частицы. Однако новая связь образуется между двумя атомами Cl , и если относительная кинетическая энергия пары $\text{Cl}-\text{Cl}$ при подлете атома Cl к молекуле HCl близка к нулю, трудно понять, как атому Cl удается приблизиться к молекуле HCl настолько, чтобы вызвать деформацию орбиталей в этой молекуле и образовать новую химическую связь.

Таким образом, можно считать поступательное движение наиболее важным источником активации бимолекулярных процессов. Реже происходит превращение энергии химической реакции в электронную энергию, которая затем обнаруживается при хемилюминесценции. Это имеет место, например, при диспропорционировании двух радикалов $\text{CH}_3\text{O}^\cdot$ [реакция (6)], в результате чего образуется возбужденная молекула CH_2O и наблюдается голубая люминесценция. Вероятность образования электронно-возбужденных частиц мала не только потому, что для большинства стабильных молекул отсутствуют низко расположенные уровни электронного возбуждения, но и потому, что уровни эти имеют вырожденность и статистический вес гораздо меньшие, чем поступательные, колебательные или вращательные возбужденные состояния.

Для «поступательно-возбужденных» частиц, образующихся при экзотермических реакциях, характерны весьма высокие вероятности дальнейших бимолекулярных реакций, что находит отражение в аномально высоких константах скорости. Такое явление наблюдается

при фотолитическом распаде. Например, при облучении НІ светом с длиной волны 2537 Å образуются атомы Н, которые обладают 99,2% избытка энергии реакции, т. е. 41 ккал/моль, и поэтому имеют аномально высокую реакционную способность.

Для экзотермической реакции ассоциации или мономолекулярной изомеризации весь избыток энергии должен быть локализован на колебательных степенях свободы продукта. Так, например, при экзотермической изомеризации циклопропана в пропилен тепловой эффект реакции равен 7,5 ккал/моль, а энергия активации — 65 ккал/моль. Таким образом, молекула С₃Н₆ образуется с избытком внутренней энергии 72,5 ккал/моль*. Поэтому их можно считать горячими молекулами. Имеющийся у них избыток энергии будет рассеиваться в последующих соударениях, однако до тех пор, пока это не произошло, он может быть использован в какой-либо другой внутримолекулярной перегруппировке. Это могло бы, например, происходить при изомеризации метилциклопропана в бутен-2, молекулы которого образуются с избытком энергии 72 ккал/моль. Поскольку энергия активации цис-транс-изомеризации бутена-2 равна 63 ккал/моль (табл. III. 4), можно ожидать, что при пиролизе метилциклопропана будет получаться равновесная смесь цис- и транс-бутенов. Однако это не так. Цис-изомер образуется вдвое быстрее, чем термодинамически более стабильный транс-изомер. Отсюда следует вывод, что дезактивация при столкновениях происходит быстрее, чем реакция этих горячих частиц.

Сравним этот результат с приближенной оценкой, сделанной на основе теории РРК. Константа скорости горячей цис-молекулы определяется выражением

$$k_{c \rightarrow t} = A \left(\frac{E - E^*}{E} \right)^{s-1} = \quad (IV. 154)$$

$$= 10^{13,8} \left(\frac{E - 63}{E} \right)^{s-1} \text{ сек}^{-1}, \quad (IV. 155)$$

* Это выше, чем нормальная тепловая энергия $E_v = \int_0^{T_C} C_{vib} dT$, которую молекулы пропилена имеют при температуре реакции.

где экспонент и энергия активации относятся к области высоких давлений для этой реакции (табл. III. 4). Термическая же энергия равна

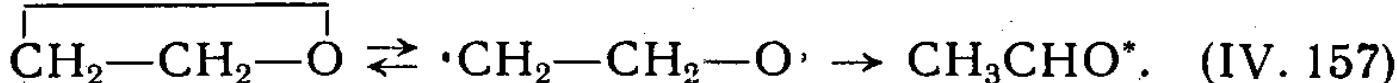
$$\int_0^{800} (C_p - 8) dt = E_{th} = 10,5 \text{ ккал/моль.}$$

(Значение C_p взято из табл. V. 1). Молекула C_4H_8 имеет 30 внутренних степеней свободы, из которых эффективными являются $\frac{2}{3}$, т. е. 20 или, точнее, $S_{eff} = (C_p - 8)/R = 15$ при 700°K . Тогда при $E = \Delta H^\circ + E_{th}$ имеем

$$k_{c \rightarrow t} = 10^{13,8} \left(\frac{20}{83} \right)^{14} \approx 10^{5,4} \text{ сек}^{-1}. \quad (\text{IV. 156})$$

Это так близко к частоте столкновений даже при давлении 1 мм рт. ст. (10^7 сек^{-1}), что отсюда следует вывод о слабом влиянии избытка энергии в данной системе.

С совершенно иной ситуацией мы сталкиваемся при исследовании пиролиза окиси этилена — молекулы, изоэлектронной циклопропану. Здесь можно ожидать и действительно удается наблюдать механизм, аналогичный механизму распада циклопропана:



Теплота суммарной реакции $\Delta H^\circ = -28 \text{ ккал/моль}$, а наблюдаемая энергия активации равна 57 ккал/моль. Энергия возбуждения продукта реакции CH_3CHO равна 85 ккал/моль, и, поскольку ΔH° его распада на радикалы $\cdot\text{CH}_3$ и $\cdot\text{CHO}$ при 700°K равна 82 ккал/моль *, можно записать

$$k(\text{CH}_3\text{CHO}^*) \approx 10^{16} \left(\frac{10,5}{90} \right)^9 \approx 10^{7,5} \text{ сек}^{-1} \quad (\text{IV. 158})$$

при условии, что $E_{th} \approx 5 \text{ ккал/моль}$, $S_{eff} \approx 10$, а $S_{max} = 3n - 6 = 15$. Если вероятность дезактивации равна $\frac{1}{3}$, то при давлении 10 мм рт. ст. 50%, а при 1 атм

* В действительности вместо ΔH° мы воспользовались величиной $\Delta E^\circ - RT$, считая, что средняя вращательная энергия RT эффективно используется при разрыве связи.

лишь 5—10% всех молекул CH_3CHO^* смогут претерпеть распад, что хорошо согласуется с результатами эксперимента (см. табл. III. 8) [13]). С похожими реакциями можно столкнуться и в фотохимии, где при рекомбинации образуются молекулы с энергией возбуждения, достаточной для протекания дальнейших реакций. Энергия, выделяющаяся при рекомбинации двух радикалов $\cdot\text{CH}_2\text{I}$, равна 88 ккал/моль. Образующейся при этом горячей молекуле $\text{C}_2\text{H}_4\text{I}_2$ необходимо всего 36 ккал/моль, чтобы распасться на C_2H_4 и I_2 . Поэтому

$$k(\text{C}_2\text{H}_4\text{I}_2^*) = 10^{13,5} \left(\frac{52}{88} \right)^{1/2} \approx 10^{10,9} \text{ сек}^{-1}. \quad (\text{IV. 159})$$

В этом выражении мы пренебрегали тепловой энергией. Скорость распада $\text{C}_2\text{H}_4\text{I}_2$ в 20 раз больше, чем частота столкновений при 1 атм, поэтому можно ожидать, что практически единственными продуктами рекомбинации будут I_2 и C_2H_4 . То же самое наблюдалось при рекомбинации $\cdot\text{CH}_3 + \cdot\text{CH}_2\text{Cl}$, $2 \cdot\text{CH}_2\text{Cl}$, $\cdot\text{CHCl}_2 + \cdot\text{CH}_3$ и аналогичных фторированных радикалов. Продукты всех этих реакций обладают избытком энергии, достаточным для распада на $\text{HX} + \text{олефин}$ при 300—500° К.

Еще более богатые энергией продукты образуются при реакциях карбенов (например, CH_2) и изоэлектронных им атомов кислорода. Характерной реакцией CH_2 является присоединение к двойной связи. При взаимодействии CH_2 с C_2H_4 образуется горячий триметилен (циклогептан). Если считать, что в реакцию вступает основное (триплетное) состояние CH_2 , то избыток энергии триметилена составит 89 ккал/моль. Так как энергия активации изомеризации в пропилен равняется всего 65 ккал/моль, то при 300° К

$$k(\text{циклогептан}^*) \approx 10^{15,2} \left(\frac{24}{89} \right)^{s-1} \text{ сек}^{-1}. \quad (\text{IV. 160})$$

Чтобы получить численное значение $k(\text{C}_3\text{H}_6^*)$, необходимо оценить S_{eff} . Так как при 1500° К

$$E_{\text{th}} = \int_0^{1500} (C_p - 8) dT \approx 18 \text{ ккал}$$

и $S_{\text{eff}} = 3n - 6 \approx 17$, то для случая, когда внутренняя энергия равна 24 ккал/моль, кажется разумным принять максимальное значение $S_{\text{eff}} = 3n - 6 = 21$. Отсюда

$$k(\text{C}_3\text{H}_6^*) \approx 10^{15,2} \left(\frac{24}{89} \right)^{20} \approx 10^{3,6} \text{ сек}^{-1}. \quad (\text{IV. 161})$$

Интересно проделать подобный расчет для цис-транс-изомеризации диметилциклопропана, образующегося при присоединении CH_2 к цис-бутену-2. Экзотермичность реакции равна 89 ккал/моль, и с помощью аррениусовских параметров, взятых из табл. III.8, и при $S_{\text{eff}} = 2/3S_{\text{max}} = 26$ можно найти

$$k^* = 10^{15,25} \left(\frac{30}{89} \right)^{25} \approx 10^{3,2} \text{ сек}^{-1}. \quad (\text{IV. 162})$$

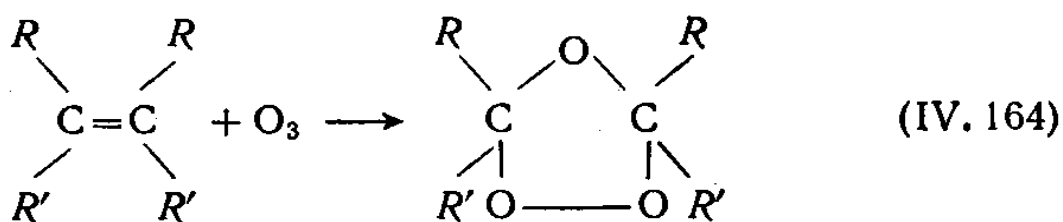
Таким образом, скорость изомеризации будет пренебрежимо мала по сравнению со скоростью дезактивации как в газовой, так и в жидкой фазе. Из сделанной только что оценки следует, что если в этой системе наблюдалась цис-транс-изомеризация, она должна была произойти до замыкания цикла. Эта изомеризация должна происходить на стадии образования бирадикала, имеющего избыток энергии 38 ккал/моль. Для него возможны следующие направления реакции: вращение с образованием геометрического изомера; замыкание циклопропанового кольца; миграция атома Н с образованием 2-метилбутена-1 или 2-метилбутена-2. Отношение скоростей вращения и циклизации равно

$$\frac{R_{(\text{c})}}{R_{(\text{rot})}} = \frac{10^{13,5}}{10^{11,5}} \left(\frac{38 - 10}{38 - 5} \right)^{38} \approx 10^{2,0 - 2,6} \approx \frac{1}{4}, \quad (\text{IV. 163})$$

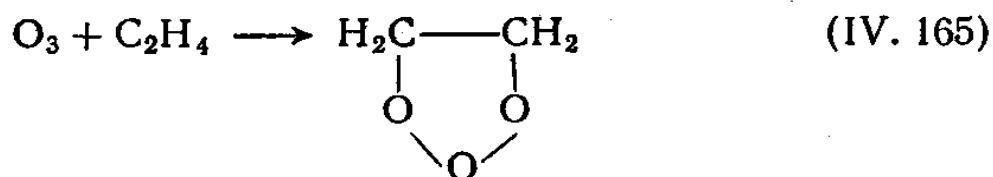
так что в зависимости от скорости дезактивации и точной энергии степень изомеризации будет различной. Эти расчеты заставляют отбросить предположение о начальном образовании циклических продуктов, но они не исключают внедрения триплета по связи, в результате которого должен возникать бирадикал,

IV. 20. РЕАКЦИИ ОЗОНА С ОЛЕФИНАМИ

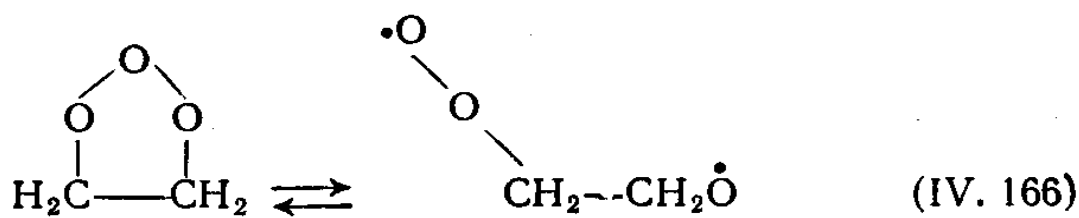
Удивительное и довольно нестабильное соединение O_3 может вступать в необычные реакции присоединения к олефинам как при низких температурах ($-70^\circ C$) в неполярных растворителях, так и при более высоких температурах в газовой фазе. Многие продукты этих реакций являются вполне стабильными соединениями и имеют несколько неожиданное строение



Самым интересным здесь является то, что расщепление претерпевает двойная связь $C=C$. Рассмотрим эти реакции с энергетической точки зрения. Для простейшего олефина C_2H_4 экзотермичность реакции

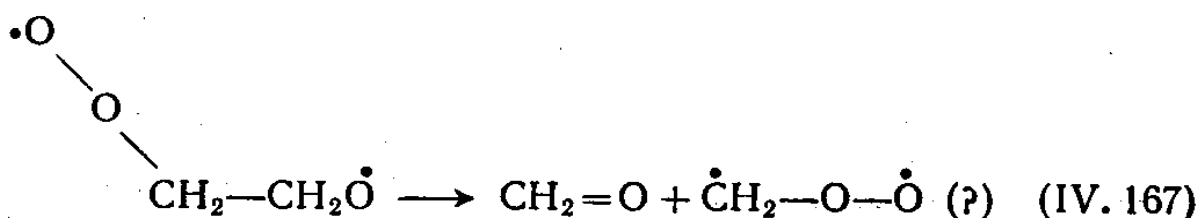


равна 45 ± 6 ккал/моль. Следовательно, в этой реакции образуется довольно «горячий» продукт. Даже если ему удается стабилизироваться, он должен легко распадаться с раскрытием цикла и образованием перекисного бирадикала

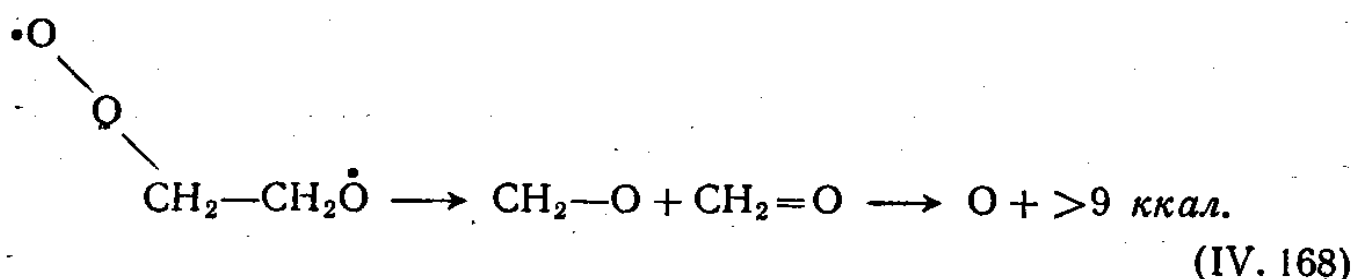


Энергия активации этой реакции всего 13 ± 2 ккал/моль, и даже при $-70^\circ C$, т. е. при $\theta = 0,92$ ккал/моль, время полупревращения этого соединения должно составлять 0,1 сек, считая $A = 10^{14,5}$ сек $^{-1}$. Дальнейший распад на два фрагмента характеризуется изменением энталпии ≤ 23 ккал/моль. При определении этого верхнего пре-

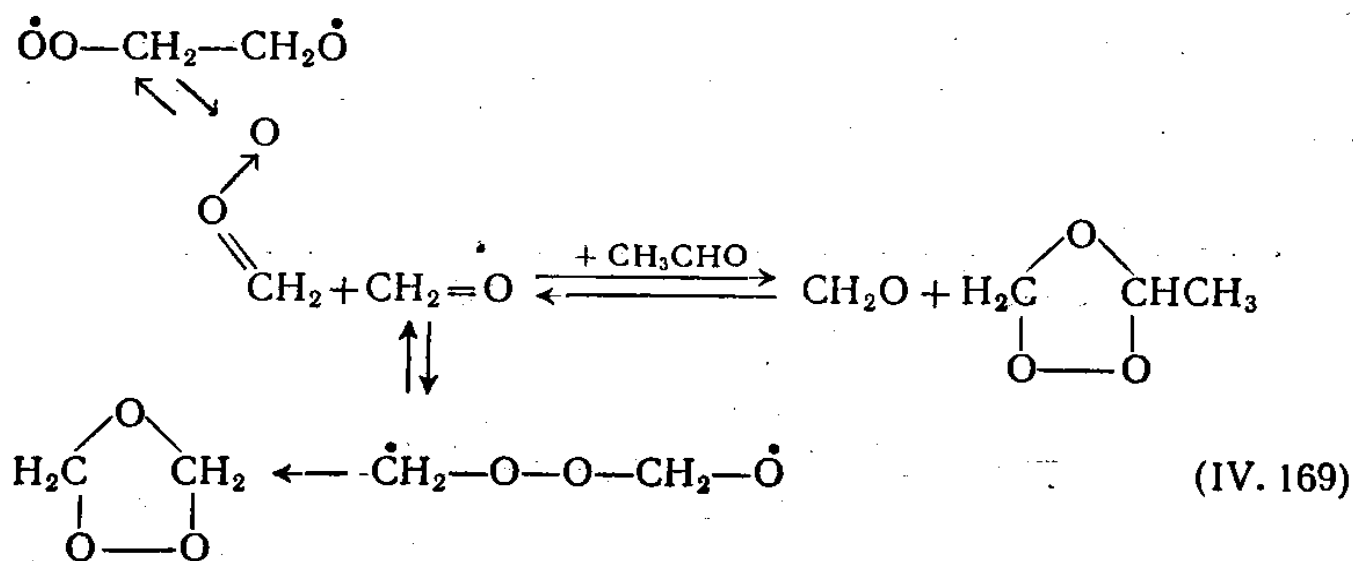
дела ΔH исходили из предположения, что неспаренные электроны не взаимодействуют, т. е. для распада



необходим обычный разрыв σ -связи. Если образующийся бирадикал имеет структуру альдегидо-окиси ($\text{CH}_2=\text{O} \rightarrow \text{O}$), экзотермичность приведенной выше реакции должна превышать 9 ккал/моль.

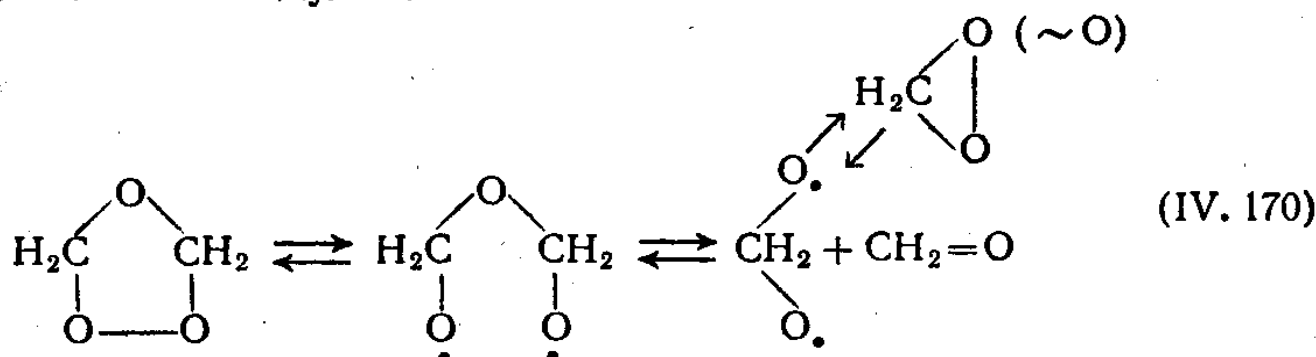


Образование пары таких частиц в клетке должно приводить к появлению истинных озонидов и обмену с растворенными альдегидами и кетонами

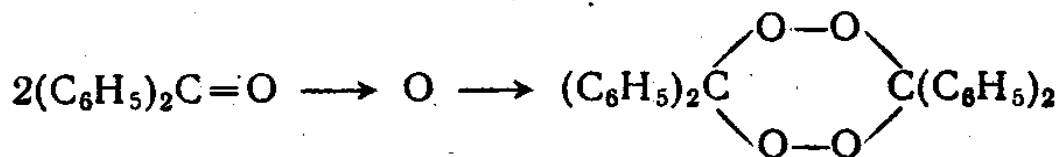
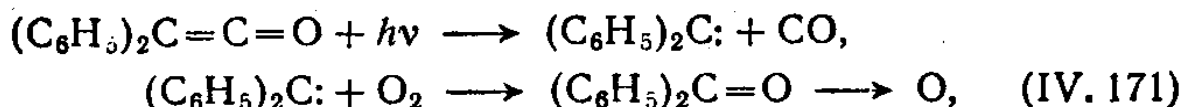


Перегруппировка триоксацикlopентана в озонид экзотермична ($\Delta H = -61$ ккал/моль), поэтому экзотермичность суммарной реакции $\text{C}_2\text{H}_4 + \text{O}_2$ достигает 106 ккал/моль. Образующийся озонид способен к раскрытию цикла: энергия активации этой реакции должна

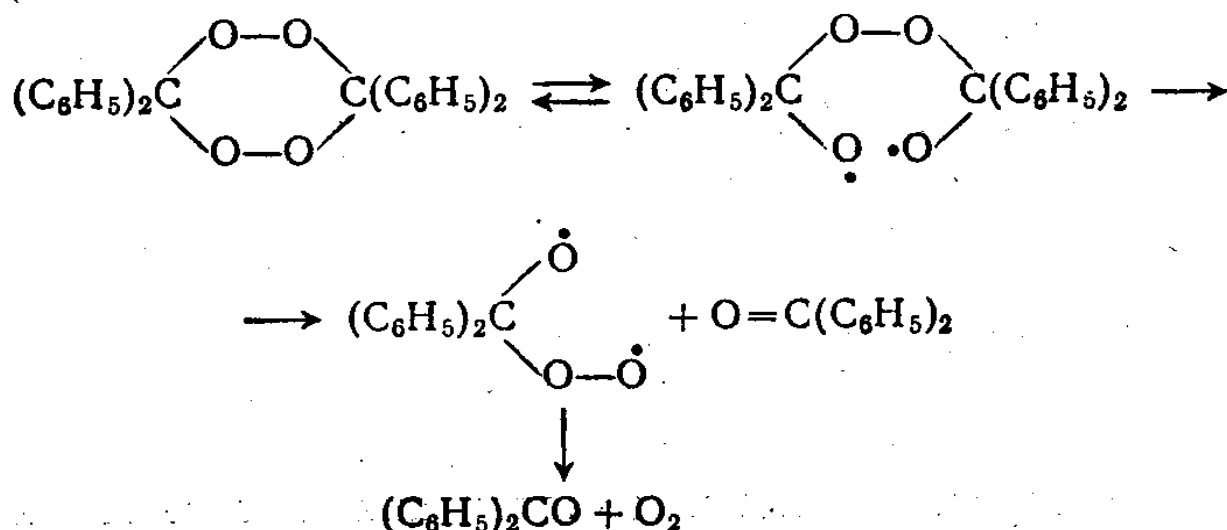
быть около 30 ккал/моль. В дальнейшем реакция протекает по следующей схеме:



Существование альдегидо-окисей сейчас считается лишь предположительным, однако имеются указания, что при цепном окислении C_2F_4 активными центрами являются молекулы $CF_2=O \rightarrow O$; далее, недавно при фотолизе дифенилкетена [31] была получена очень стабильная ди-перекись



Несмотря на наличие слабых перекисных связей, это соединение очень стабильно, так как для протекания реакции



необходим разрыв довольно прочной связи C—O. В результате суммарная энергия активации процесса должна превышать 45 ккал/моль.

ЛИТЕРАТУРА

1. Kistiakowsky G. B., Sternberg J. C., J. Chem. Phys., **21**, 2218 (1953).
2. Goldfinger P. et al., Trans. Faraday Soc., **57**, 2197, 2210, 2220 (1961); Кармилова Л. В., Ениколопян Н. С., Налманян А. Б., ЖФХ, **30**, 748 (1956); Wojciechowski B. W., Laidler K. J., Can. J. Chem., **38**, 1027 (1960).
3. MacColl A., Ross R. A., J. Am. Chem. Soc., **87**, 4997 (1965).
4. Lin M. C., Back M. H., Can. J. Chem., **44**, 2357 (1967).
5. Laidler K. J., Lin, M. T. H., Proc. Roy. Soc., **A297**, 365 (1967); Can. J. Chem., **46**, (1968).
6. Goldberg A. E., Daniels F., J. Am. Chem. Soc., **79**, 1314 (1957).
7. Russell G. A., Ito A., Hendry D. G., J. Am. Chem. Soc., **85**, 2976 (1963).
8. Salooja R. C., Combustion and Flame, **6**, 275 (1962); **8**, 311 (1964); **9**, 219 (1965); Chung Y. H., Sandler S., Combustion and Flame, **6**, 295 (1962).
9. Benson S. W., J. Am. Chem. Soc., **87**, 972 (1965).
10. Benson S. W., Advances in Chemistry (1968).
11. Taylor H. A., Van Hook A., J. Phys. Chem., **39**, 811 (1935); Pease R. N., J. Am. Chem. Soc., **54**, 1877 (1932).
12. Benson S. W., Anderson K. H., J. Chem. Phys., **39**, 1677 (1963).
13. Benson S. W., Anderson K. H., J. Chem. Phys., **40**, 3747 (1964).
14. Flowers M., Batt L., Benson S. W., J. Chem. Phys., **37**, 2662 (1962).
15. Rust F. F., Vaughn W. E., Ind. Eng. Chem., **41**, 2595 (1949).
16. Imai N., Toyama O., Bull. Chem. Soc. Japan, **34**, 328 (1961).
17. Imai N., Toyama O., Bull. Chem. Soc. Japan, **33**, 1120, 1408 (1960).
18. Faull R. F., Rollefson G. K., J. Am. Chem. Soc., **58**, 1755 (1936); **59**, 625 (1937).
19. Walsh R., Benson S. W., J. Am. Chem. Soc., **88**, 4570 (1966).
20. Benson S. W., J. Chem. Phys., **38**, 2285 (1963).
21. Kaufman F., Progress in Reaction Kinetics, **1**, 1 (1961).
22. Gordon A. S., McNesby J. R., J. Chem. Phys., **31**, 853 (1959).
23. Gordon A. S., McNesby J. R., J. Chem. Phys., **33**, 1882 (1960).
24. Endrenyi L., LeRoy D. L., J. Phys. Chem., **70**, 4081 (1966).
25. Nesmeyanov A. N., Freidlina R. K., Kost V. N., Tetrahedron Letters, **1**, 241 (1957).
26. Rust F. F., J. Am. Chem. Soc., **79**, 4000 (1957).
27. Kossiakoff A., Rice F. O., J. Am. Chem. Soc., **65**, 590 (1943).
28. Polanyi J. C., J. Quant. Spec. Radiat. Trans., **3**, 471 (1963).
29. Airey J. R., Pacey P. D., Polanyi J. C., 11th Symposium (International) on Combustion, Pittsburgh, 1967.
30. Benson S. W., Haugen G. R., J. Phys. Chem., **69**, 3898 (1965).

31. Bartlett P. D., Taylor T. G., J. Am. Chem. Soc., 84, 3408 (1962).
32. Семенов Н. Н., О некоторых проблемах химической кинетики и реакционной способности, изд-во АН СССР, М., 1958.
33. Штерн В. Я., Механизм окисления углеводородов в газовой фазе, изд-во АН СССР, М., 1960.
34. Эмануэль Н. М., Денисов Е. Г., Майзус З. К., Цепные реакции окисления углеводородов в жидкой фазе, «Наука», М., 1965.
35. Ениколопян Н. С., Поляк С. С., Штерн В. Я., ЖФХ, 32, 2224 (1958).
36. Франк-Каменецкий Д. А., ЖФХ, 14, 695 (1940).
37. Франк-Каменецкий Д. А., Диффузия и теплопередача в химической кинетике, «Наука», М., гл. X, 1967.
38. Ениколопян Н. С., ДАН СССР, 119, 521 (1958).
39. Исследования с молекулярными пучками, изд-во «Мир», М., 1969.

ГЛАВА V

ПРИЛОЖЕНИЕ. ТАБЛИЦЫ

Все приведенные в приложении данные относятся (если это особо не оговорено) к стандартному состоянию идеального газа при 1 атм и 25°С. Данные основаны на таблицах API, NBS Circular 270-1 или таблицах JANAF. Теплоты образования выражены в ккал/моль, а S° и C_p в кал/(моль · град).

Подробности, касающиеся пределов надежности источников и точности вычисляемых на их основе термохимических параметров, можно найти в работе Benson S. W. et al., Chem. Rev., 68, 279 (1968).

Таблица V.1

Групповые вклады в ΔH_f° , S° и C_p° для углеводородов

Группа	ΔH_f° 298	S° ₂₉₈	C_p°						
			300	400	500	600	800	1000	1500
C-(H) ₃ (C)	-10,08	30,41	6,19	7,84	9,40	10,79	13,02	14,77	17,58
C-(H) ₂ (C) ₂	-4,95	9,42	5,50	6,95	8,25	9,35	11,07	12,34	14,25
C-(H) (C) ₃	-1,90	-12,07	4,54	6,00	7,17	8,05	9,31	10,05	11,17
C-(C) ₄	0,50	-35,10	4,37	6,13	7,36	8,12	8,77	8,76	8,12
C _d -(H) ₂	6,26	27,61	5,10	6,36	7,51	8,50	10,07	11,27	13,19
C _d -(H) (C)	8,59	7,97	4,16	5,03	5,81	6,50	7,65	8,45	9,62
C _d -(C) ₂	10,34	-12,70	4,10	4,61	4,99	5,26	5,80	6,08	6,36
C _d -(C _d) (H)	6,78	6,38	4,46	5,79	6,75	7,42	8,35	8,99	9,98
C _d -(C _d) (C)	8,88	-14,6	(4,40)	(5,37)	(5,93)	(6,18)	(6,50)	(6,62)	(6,72)
[C _d -(C _B) (H)]	6,78	6,38	4,46	5,79	6,75	7,42	8,35	8,99	9,98
C _d -(C _B) (C)	8,64	(-14,6)	(4,40)	(5,37)	(5,93)	(6,18)	(6,50)	(6,62)	(6,72)
[C _d -(C _t) (H)]	6,78	6,38	4,46	5,79	6,75	7,42	8,35	8,99	9,98
C-(C _d) (C) (H) ₂	-4,76	9,80	5,12	6,86	8,32	9,49	11,22	12,48	14,36
C-(C _d) ₂ (H) ₂	-4,29	(10,2)	(4,7)	(6,8)	(8,4)	(9,6)	(11,3)	(12,6)	(14,4)
C-(C _d)(C _B) (H) ₂	-4,29	(10,2)	(4,7)	(6,8)	(8,4)	(9,6)	(11,3)	(12,6)	(14,4)
C-(C _t) (C) (H) ₂	-4,73	10,30	4,95	6,56	7,93	9,08	10,86	12,19	14,20
C-(C _B) (C) (H) ₂	-4,86	9,34	5,84	7,61	8,98	10,01	11,49	12,54	13,76
C-(C _d) (C) ₂ (H)	-1,48	(-11,69)	(4,16)	(5,91)	(7,34)	(8,19)	(9,46)	(10,19)	(11,28)
C-(C _t) (C) ₂ (H)	-1,72	(-11,19)	(3,99)	(5,61)	(6,85)	(7,78)	(9,10)	(9,90)	(11,12)
C-(C _B) (C) ₂ (H)	-0,98	(-12,15)	(4,88)	(6,66)	(7,99)	(8,75)	(9,73)	(10,25)	(10,33)

C-(C _d)(C) ₃	1,68	(-34,72)	(3,99)	(6,04)	(7,43)	(8,26)	(8,92)	(8,96)	(8,23)
C-(C _B)(C) ₃	2,81	(-35,18)	(4,37)	(6,79)	(8,09)	(8,78)	(9,19)	(8,96)	(7,63)
C _t -(H)	26,93	24,7	5,27	5,99	6,49	6,87	7,47	7,96	8,85
C _t -(C)	27,55	6,35	3,13	3,48	3,81	4,09	4,60	4,92	6,35
C _t -(C _d)	29,20	(6,43)	(2,57)	(3,54)	(3,50)	(4,92)	(5,34)	(5,50)	(5,80)
C _t -(C _B)	(29,20)	6,43	2,57	3,54	3,50	4,92	5,34	5,50	5,80
C _B -(H)	3,30	11,53	3,24	4,44	5,46	6,30	7,54	8,41	9,73
C _B -(C)	5,51	-7,69	2,67	3,14	3,68	4,15	4,96	5,44	5,98
C _B -(C _d)	5,68	-7,80	3,59	3,97	4,38	4,72	5,28	5,61	5,75
[C _B -(C _t)]	5,68	-7,80	3,59	3,97	4,38	4,72	5,28	5,61	5,75
C _B -(C _B)	4,96	-8,64	3,33	4,22	4,89	5,27	5,76	5,95	(6,05)
C _a	34,20	6,0	3,9	4,4	4,7	5,0	5,3	5,5	5,7

Поправки, учитывающие взаимодействие близко расположенных групп^{a)}

Гош-поправка для алканов	0,80								
Гош-поправка для алkenov	0,50								
Цис-поправка	1,00 a)	b)	-1,34	-1,09	-0,81	-0,61	-0,39	-0,26	0
Орто-поправка	0,57	-1,61	1,12	1,35	1,30	1,17	0,88	0,66	-0,05

a) Если одна из групп является трет-бутильной, цис-поправка равна 4,00, если обе трет-бутильные, цис-поправка равна 10,00. Если нужно внести две цис-поправки при одной двойной связи, общая поправка составит 3,00.

b) Поправка равна +1,2 для бутена-2,0 для всех других алкенов-2 и -0,6 для алкенов-3.

Поправки для циклических соединений^{a)}

Цикл (σ)	ΔH_f° 298	S° 298	C_p						
			300	400	500	600	800	1000	1500
Циклопропан (6)	27,6	32,1	-3,05	-2,53	-2,10	-1,90	-1,77	-1,62	(-1,52)
Циклопропен (2)	53,7	33,6							
Циклобутан (8)	26,2	29,8	-4,61	-3,89	-3,14	-2,64	-1,88	-1,38	-0,67
Циклобутен (2)	29,8	29,0	-2,53	-2,19	-1,89	-1,68	-1,43	-1,33	-1,22
Цикlopентан (10)	6,3	27,3	-7,50	-6,49	-5,40	-4,37	-2,93	-1,93	-0,37
Цикlopентен (2)	5,9	25,8	-5,98	-5,35	-4,89	-4,14	-2,93	-2,26	-1,08
Цикlopентадиен	6,0								
Циклогексан (6)	0	18,8	-6,40	-4,60	-3,30	-1,60	0,82	1,98	3,19
Циклогексен (2)	1,4	21,5	-4,28	-3,04	-1,98	-1,43	-0,29	0,08	0,81
Циклогексадиен-1,3	4,8								
Циклогексадиен-1,4	0,5								
Циклогептан (1)	6,4	15,9							
Циклогептен	5,4								
Циклогептадиен-1,3	6,6								
Циклогепта- триен-1, 3, 5 (1)	4,7	23,7							
Циклооктан (8)	9,9	16,5							

цис-Циклооктен	6,0
транс-Циклооктен	15,3
Циклоокта- триен-1, 3, 5	8,9
Циклооктатетраен	17,1
Циклононан	12,8
цис-Циклононен	9,9
транс-Циклононен	12,8
Спиропентан (4)	63,5
Бицикло-[1, 1, 0]- бутан	68,4
Бицикло-[2, 1, 0]- пентан	55,3
Бицикло-[3, 1, 0]- гексан	32,7
Бицикло-[4, 1, 0]- гептан	26,9
Бицикло-[5, 1, 0]- октан	29,6
Бицикло-[6, 1, 0]- нонан	34,1

* В большинстве случаев поправка к ΔH°_f является отрицательной.

Таблица V.2

Кислородные соединения

Группа	ΔH_f°	S°	C_p°						
			300	400	500	600	800	1000	1500
CO-(CO) (C)	-29,2								
CO-(O) (C_d)	-33,5								
CO-(O) (C_B)	-46,0								
CO-(O) (C)	-33,4	14,78	5,97	6,70		8,02	8,87	9,36	
CO-(O) (H) ^{a)}	-29,5	34,93	7,03	7,87	8,82	9,68	11,16	12,20	
CO-(C_d) (H)	-31,7								
CO-(C_B) ₂	-39,1								
CO-(C_B) (C)	-37,6								
CO-(C_B) (H) ^{b)}	-31,7								
CO-(C) ₂	-31,5	15,01	5,59	6,32	7,09	7,76	8,89	9,61	
CO-(C) (H)	-29,6	34,93	7,03	7,87	8,82	9,68	11,16	12,20	
CO-(H) ₂	-27,7	53,67	8,47	9,38	10,46	11,52	13,37	14,81	
CO-(CO) (C)	-29,2								
CO-(O) (C_d)	-33,5								
CO-(O) (C_B)	-46,0								
CO-(O) (C)	-33,4	14,78	5,97	6,70		8,02	8,87	9,36	
CO-(O) (H) ^{a)}	-29,5	34,93	7,03	7,87	8,82	9,68	11,16	12,20	

$\text{CO}-(\text{C}_d)(\text{H})$	-31,7							
$\text{CO}-(\text{C}_B)_2$	-39,1							
$\text{CO}-(\text{C}_B)(\text{C})$	-37,6							
$\text{CO}-(\text{C}_B)(\text{H})^6$	-31,7							
$\text{CO}-(\text{C})_2$	-31,5	15,01	5,59	6,32	7,09	7,76	8,39	9,61
$\text{CO}-(\text{C})(\text{H})$	-29,6	34,93	7,03	7,87	8,82	9,68	11,16	12,20
$\text{CO}-(\text{H})_2$	-27,7	53,67	8,47	9,38	10,46	11,52	13,37	14,81
$\text{O}-(\text{CO})_2$	-50,9							
$\text{O}-(\text{CO})(\text{O})$	-19,0							
$\text{O}-(\text{CO})(\text{C}_d)^7$	-44,1							
$\text{O}-(\text{CO})(\text{C})$	-41,3	8,39						
$\text{O}-(\text{CO})(\text{H})$	-60,3	24,52	3,81	4,98	5,80	6,34	7,19	7,75
$\text{O}-(\text{O})(\text{C})$	-4,5	[9,4]	3,7	3,7	3,7	3,7	4,2	4,2
$\text{O}-(\text{O})_2$	(19,0)	(9,4)	(3,7)	(3,7)	(3,7)	(3,7)	(4,2)	(4,8)
$\text{O}(\text{O})(\text{H})$	-16,27	27,85	5,17	5,79	6,28	6,66	7,15	7,51
$\text{O}-(\text{C}_d)_2$	-32,8	8,1						
$\text{O}-(\text{C}_d)(\text{C})$	-31,3							
$\text{O}-(\text{C}_B)_2$	-19,3							
$\text{O}-(\text{C}_B)(\text{C})$	-22,6							
$\text{O}-(\text{C}_B)(\text{H})^7$	-37,9	29,1	4,3	4,5	4,8	5,2	6,0	6,6
$\text{O}-(\text{C})_2$	-28,0	8,68	3,4	3,7	3,7	3,8	4,4	4,6
$\text{O}-(\text{C})(\text{H})$	-37,88	29,07	4,33	4,43	4,82	5,23	6,02	6,61
$\text{C}_d-(\text{CO})(\text{O})$	6,3							
$\text{C}_d-(\text{CO})(\text{O})$	9,4							
$\text{C}_d-(\text{CO})(\text{H})^7$	7,68							
$\text{C}_d-(\text{O})(\text{C}_d)^8$	8,9							
$\text{C}_d-(\text{O})(\text{C})^{10}$	10,3							
$\text{C}_d-(\text{O})(\text{H})^9$	8,6	8,0	4,16	5,03	5,81	6,50	7,65	8,45
								9,62

Группа	ΔH_f°	S°	C_p°						
			300	400	500	600	800	1000	1500
$C_B - (CO)$	9,7								
$C_B - (O)$	-1,8	10,2	3,9	5,8	6,2	6,6	6,9	6,9	
$C - (CO)_2 (H)_2$	-7,2								
$C - (CO) (C)_2 (H)$ ^{a)}	-1,8								
$C - (CO) (C) (H)_2$	-5,0	9,6	6,2	7,7	8,7	9,5	11,1	12,2	
$C - (CO) (C)_3$	1,6								
$C - (CO) (H)_3$ ^{b)}	-10,08	30,41	6,19	7,84	9,40	10,79	13,02	14,77	17,58
$C - (O)_2 (C)_2$	-18,1								
$C - (O)_2 (C) (H)$	-17,2								
$C - (O)_2 (H)_2$	-17,7								
$C - (O) (C_B) (H)_2$	-6,6	9,7							
$C - (O) (C_d) (H)_2$	-6,9								
$C - (O) (C)_3$	-6,60	-33,56	4,33	6,19	7,25	7,70	8,20	8,24	
$C - (O) (C)_2 (H)$	-7,00	-11,0	4,80	6,64	8,10	8,73	9,81	10,40	
$C - (O) (C) (H)_2$	-8,5	10,3	4,99	6,85	8,30	9,43	11,11	12,33	
$C - (O) (H)_3$ ^{c)}	-10,08	30,41	6,19	7,84	9,40	10,79	13,03	14,77	17,58

^{a)} $CO - (O) (H) \rightleftharpoons CO - (C) (H)$.

^{b)} $CO - (C_B) (H) \rightleftharpoons CO - (C_d) (H)$.

^{c)} $O - (CO) (C_d) \rightleftharpoons O - (CO) (C)$.

^{d)} $O - (C_B) (H) \rightleftharpoons O - (C) (H)$.

^{e)} Для $C_d - (CO) (H)$ принято среднее между значениями для $C_d - (C_d) (H)$ и $C_d - (C) (H)$.

^{f)} $C_d - (O) (C_d) \rightleftharpoons C_d - (C_d) (C)$.

- ж) $C_d - (O) (C) = C_d - C_2$.
 з) $C_d - (O) (H) = C_d - (C) (H)$.
 и) Оценка $C - (CO) (C) (H)$.
 х) $C - (CO) (H) = C - (C) H$.
 д) $C - (O) (H) = C - (C) (H)$.

31. Bartlett P. D., Taylor T. G., J. Am. Chem. Soc., 84, 3408 (1962).
32. Семенов Н. Н., О некоторых проблемах химической кинетики и реакционной способности, изд-во АН СССР, М., 1958.
33. Штерн В. Я., Механизм окисления углеводородов в газовой фазе, изд-во АН СССР, М., 1960.
34. Эмануэль Н. М., Денисов Е. Т., Майзус З. К., Цепные реакции окисления углеводородов в жидкой фазе, «Наука», М., 1965.
35. Ениколопян Н. С., Поляк С. С., Штерн В. Я., ЖФХ, 32, 2224 (1958).
36. Франк-Каменецкий Д. А., ЖФХ, 14, 695 (1940).
37. Франк-Каменецкий Д. А., Диффузия и теплопередача в химической кинетике, «Наука», М., гл. X, 1967.
38. Ениколопян Н. С., ДАН СССР, 119, 521 (1958).
39. Исследования с молекулярными пучками, изд-во «Мир», М., 1969.

ГЛАВА V

ПРИЛОЖЕНИЕ. ТАБЛИЦЫ

Все приведенные в приложении данные относятся (если это особо не оговорено) к стандартному состоянию идеального газа при 1 атм и 25° С. Данные основаны на таблицах API, NBS Circular 270-1 или таблицах JANAF. Теплоты образования выражены в ккал/моль, а S° и C_p° в кал/(моль·град).

Подробности, касающиеся пределов надежности источников и точности вычисляемых на их основе термохимических параметров, можно найти в работе Венсон S. W. et al., Chem. Rev., 68, 279 (1968).

Таблица V.1

Групповые вклады в ΔH_f° , S° и C_p° для углеводородов

Группа	ΔH_f° 298	S° ₂₉₈	C_p°						
			300	400	500	600	800	1000	1500
C-(H) ₃ (C)	-10,08	30,41	6,19	7,84	9,40	10,79	13,02	14,77	17,58
C-(H) ₂ (C) ₂	-4,95	9,42	5,50	6,95	8,25	9,35	11,07	12,34	14,25
C-(H) (C) ₃	-1,90	-12,07	4,54	6,00	7,17	8,05	9,31	10,05	11,17
C-(C) ₄	0,50	-35,10	4,37	6,13	7,36	8,12	8,77	8,76	8,12
C _d -(H) ₂	6,26	27,61	5,10	6,36	7,51	8,50	10,07	11,27	13,19
C _d -(H) (C)	8,59	7,97	4,16	5,03	5,81	6,50	7,65	8,45	9,62
C _d -(C) ₂	10,34	-12,70	4,10	4,61	4,99	5,26	5,80	6,08	6,36
C _d -(C _d) (H)	6,78	6,38	4,46	5,79	6,75	7,42	8,35	8,99	9,98
C _d -(C _d) (C)	8,88	-14,6	(4,40)	(5,37)	(5,93)	(6,18)	(6,50)	(6,62)	(6,72)
[C _d -(C _B) (H)]	6,78	6,38	4,46	5,79	6,75	7,42	8,35	8,99	9,98
C _d -(C _B) (C)	8,64	(-14,6)	(4,40)	(5,37)	(5,93)	(6,18)	(6,50)	(6,62)	(6,72)
[C _d -(C _t) (H)]	6,78	6,38	4,46	5,79	6,75	7,42	8,35	8,99	9,98
C-(C _d) (C) (H) ₂	-4,76	9,80	5,12	6,86	8,32	9,49	11,22	12,48	14,36
C-(C _d) ₂ (H) ₂	-4,29	(10,2)	(4,7)	(6,8)	(8,4)	(9,6)	(11,3)	(12,6)	(14,4)
C-(C _d)(C _B) (H) ₂	-4,29	(10,2)	(4,7)	(6,8)	(8,4)	(9,6)	(11,3)	(12,6)	(14,4)
C-(C _t) (C) (H) ₂	-4,73	10,30	4,95	6,56	7,93	9,08	10,86	12,19	14,20
C-(C _B) (C) (H) ₂	-4,86	9,34	5,84	7,61	8,98	10,01	11,49	12,54	13,76
C-(C _d) (C) ₂ (H)	-1,48	(-11,69)	(4,16)	(5,91)	(7,34)	(8,19)	(9,46)	(10,19)	(11,28)
C-(C _t) (C) ₂ (H)	-1,72	(-11,19)	(3,99)	(5,61)	(6,85)	(7,78)	(9,10)	(9,90)	(11,12)
C-(C _B) (C) ₂ (H)	-0,98	(-12,15)	(4,88)	(6,66)	(7,99)	(8,75)	(9,73)	(10,25)	(10,68)

C-(C _d)(C) ₃	1,68	(-34,72)	(3,99)	(6,04)	(7,43)	(8,26)	(8,92)	(8,96)	(8,23)
C-(C _B)(C) ₃	2,81	(-35,18)	(4,37)	(6,79)	(8,09)	(8,78)	(9,19)	(8,96)	(7,63)
C _t -(H)	26,93	24,7	5,27	5,99	6,49	6,87	7,47	7,96	8,85
C _t -(C)	27,55	6,35	3,13	3,48	3,81	4,09	4,60	4,92	6,35
C _t -(C _d)	29,20	(6,43)	(2,57)	(3,54)	(3,50)	(4,92)	(5,34)	(5,50)	(5,80)
C _t -(C _B)	(29,20)	6,43	2,57	3,54	3,50	4,92	5,34	5,50	5,80
C _B -(H)	3,30	11,53	3,24	4,44	5,46	6,30	7,54	8,41	9,73
C _B -(C)	5,51	-7,69	2,67	3,14	3,68	4,15	4,96	5,44	5,98
C _B -(C _d)	5,68	-7,80	3,59	3,97	4,38	4,72	5,28	5,61	5,75
[C _B -(C _t)]	5,68	-7,80	3,59	3,97	4,38	4,72	5,28	5,61	5,75
C _B -(C _B)	4,96	-8,64	3,33	4,22	4,89	5,27	5,76	5,95	(6,05)
C _a	34,20	6,0	3,9	4,4	4,7	5,0	5,3	5,5	5,7

Поправки, учитывающие взаимодействие близко расположенных групп^{a)}

Гош-поправка для алканов	0,80								
Гош-поправка для алkenov	0,50								
Цис-поправка	1,00 a)	b)	-1,34	-1,09	-0,81	-0,61	-0,39	-0,26	0
Орто-поправка	0,57	-1,61	1,12	1,35	1,30	1,17	0,88	0,66	-0,05

a) Если одна из групп является трет-бутильной, цис-поправка равна 4,00, если обе трет-бутильные, цис-поправка равна 10,00. Если нужно внести две цис-поправки при одной двойной связи, общая поправка составит 3,00.

b) Поправка равна +1,2 для бутена-2,0 для всех других алкенов-2 и -0,6 для алкенов-3.

Поправки для циклических соединений^{a)}

Цикл (σ)	ΔH_f° 298	S° 298	C_p						
			300	400	500	600	800	1000	1500
Циклопропан (6)	27,6	32,1	-3,05	-2,53	-2,10	-1,90	-1,77	-1,62	(-1,52)
Циклопропен (2)	53,7	33,6							
Циклобутан (8)	26,2	29,8	-4,61	-3,89	-3,14	-2,64	-1,88	-1,38	-0,67
Циклобутен (2)	29,8	29,0	-2,53	-2,19	-1,89	-1,68	-1,43	-1,33	-1,22
Цикlopентан (10)	6,3	27,3	-7,50	-6,49	-5,40	-4,37	-2,93	-1,93	-0,37
Цикlopентен (2)	5,9	25,8	-5,98	-5,35	-4,89	-4,14	-2,93	-2,26	-1,08
Цикlopентадиен	6,0								
Циклогексан (6)	0	18,8	-6,40	-4,60	-3,30	-1,60	0,82	1,98	3,19
Циклогексен (2)	1,4	21,5	-4,28	-3,04	-1,98	-1,43	-0,29	0,08	0,81
Циклогексадиен-1,3	4,8								
Циклогексадиен-1,4	0,5								
Циклогептан (1)	6,4	15,9							
Циклогептен	5,4								
Циклогептадиен-1,3	6,6								
Циклогепта- триен-1, 3, 5 (1)	4,7	23,7							
Циклооктан (8)	9,9	16,5							

цис-Циклооктен	6,0
транс-Циклооктен	15,3
Циклоокта- триен-1, 3, 5	8,9
Циклооктатетраен	17,1
Циклононан	12,8
цис-Циклононен	9,9
транс-Циклононен	12,8
Спиропентан (4)	63,5
Бицикло-[1, 1, 0]- бутан	68,4
Бицикло-[2, 1, 0]- пентан	55,3
Бицикло-[3, 1, 0]- гексан	32,7
Бицикло-[4, 1, 0]- гептан	26,9
Бицикло-[5, 1, 0]- октан	29,6
Бицикло-[6, 1, 0]- нонан	34,1

* В большинстве случаев поправка к ΔH°_f является отрицательной величиной.

Таблица V.2

Кислородные соединения

Группа	ΔH_f°	S°	C_p°						
			300	400	500	600	800	1000	1500
CO-(CO) (C)	-29,2								
CO-(O) (C_d)	-33,5								
CO-(O) (C_B)	-46,0								
CO-(O) (C)	-33,4	14,78	5,97	6,70		8,02	8,87	9,36	
CO-(O) (H) ^{a)}	-29,5	34,93	7,03	7,87	8,82	9,68	11,16	12,20	
CO-(C_d) (H)	-31,7								
CO-(C_B) ₂	-39,1								
CO-(C_B) (C)	-37,6								
CO-(C_B) (H) ^{b)}	-31,7								
CO-(C) ₂	-31,5	15,01	5,59	6,32	7,09	7,76	8,89	9,61	
CO-(C) (H)	-29,6	34,93	7,03	7,87	8,82	9,68	11,16	12,20	
CO-(H) ₂	-27,7	53,67	8,47	9,38	10,46	11,52	13,37	14,81	
CO-(CO) (C)	-29,2								
CO-(O) (C_d)	-33,5								
CO-(O) (C_B)	-46,0								
CO-(O) (C)	-33,4	14,78	5,97	6,70		8,02	8,87	9,36	
CO-(O) (H) ^{a)}	-29,5	34,93	7,03	7,87	8,82	9,68	11,16	12,20	

$\text{CO}-(\text{C}_d)(\text{H})$	-31,7							
$\text{CO}-(\text{C}_B)_2$	-39,1							
$\text{CO}-(\text{C}_B)(\text{C})$	-37,6							
$\text{CO}-(\text{C}_B)(\text{H})^6$	-31,7							
$\text{CO}-(\text{C})_2$	-31,5	15,01	5,59	6,32	7,09	7,76	8,39	9,61
$\text{CO}-(\text{C})(\text{H})$	-29,6	34,93	7,03	7,87	8,82	9,68	11,16	12,20
$\text{CO}-(\text{H})_2$	-27,7	53,67	8,47	9,38	10,46	11,52	13,37	14,81
$\text{O}-(\text{CO})_2$	-50,9							
$\text{O}-(\text{CO})(\text{O})$	-19,0							
$\text{O}-(\text{CO})(\text{C}_d)^7$	-44,1							
$\text{O}-(\text{CO})(\text{C})$	-41,3	8,39						
$\text{O}-(\text{CO})(\text{H})$	-60,3	24,52	3,81	4,98	5,80	6,34	7,19	7,75
$\text{O}-(\text{O})(\text{C})$	-4,5	[9,4]	3,7	3,7	3,7	3,7	4,2	4,2
$\text{O}-(\text{O})_2$	(19,0)	(9,4)	(3,7)	(3,7)	(3,7)	(3,7)	(4,2)	(4,8)
$\text{O}(\text{O})(\text{H})$	-16,27	27,85	5,17	5,79	6,28	6,66	7,15	7,51
$\text{O}-(\text{C}_d)_2$	-32,8	8,1						
$\text{O}-(\text{C}_d)(\text{C})$	-31,3							
$\text{O}-(\text{C}_B)_2$	-19,3							
$\text{O}-(\text{C}_B)(\text{C})$	-22,6							
$\text{O}-(\text{C}_B)(\text{H})^7$	-37,9	29,1	4,3	4,5	4,8	5,2	6,0	6,6
$\text{O}-(\text{C})_2$	-28,0	8,68	3,4	3,7	3,7	3,8	4,4	4,6
$\text{O}-(\text{C})(\text{H})$	-37,88	29,07	4,33	4,43	4,82	5,23	6,02	6,61
$\text{C}_d-(\text{CO})(\text{O})$	6,3							
$\text{C}_d-(\text{CO})(\text{O})$	9,4							
$\text{C}_d-(\text{CO})(\text{H})^7$	7,68							
$\text{C}_d-(\text{O})(\text{C}_d)^8$	8,9							
$\text{C}_d-(\text{O})(\text{C})^{10}$	10,3							
$\text{C}_d-(\text{O})(\text{H})^9$	8,6	8,0	4,16	5,03	5,81	6,50	7,65	8,45
								9,62

Группа	ΔH_f°	S°	C_p°						
			300	400	500	600	800	1000	1500
$C_B - (CO)$	9,7								
$C_B - (O)$	-1,8	10,2	3,9	5,8	6,2	6,6	6,9	6,9	
$C - (CO)_2 (H)_2$	-7,2								
$C - (CO) (C)_2 (H)$ ^{a)}	-1,8								
$C - (CO) (C) (H)_2$	-5,0	9,6	6,2	7,7	8,7	9,5	11,1	12,2	
$C - (CO) (C)_3$	1,6								
$C - (CO) (H)_3$ ^{b)}	-10,08	30,41	6,19	7,84	9,40	10,79	13,02	14,77	17,58
$C - (O)_2 (C)_2$	-18,1								
$C - (O)_2 (C) (H)$	-17,2								
$C - (O)_2 (H)_2$	-17,7								
$C - (O) (C_B) (H)_2$	-6,6	9,7							
$C - (O) (C_d) (H)_2$	-6,9								
$C - (O) (C)_3$	-6,60	-33,56	4,33	6,19	7,25	7,70	8,20	8,24	
$C - (O) (C)_2 (H)$	-7,00	-11,0	4,80	6,64	8,10	8,73	9,81	10,40	
$C - (O) (C) (H)_2$	-8,5	10,3	4,99	6,85	8,30	9,43	11,11	12,33	
$C - (O) (H)_3$ ^{c)}	-10,08	30,41	6,19	7,84	9,40	10,79	13,03	14,77	17,58

^{a)} $CO - (O) (H) \rightleftharpoons CO - (C) (H)$.

^{b)} $CO - (C_B) (H) \rightleftharpoons CO - (C_d) (H)$.

^{c)} $O - (CO) (C_d) \rightleftharpoons O - (CO) (C)$.

^{d)} $O - (C_B) (H) \rightleftharpoons O - (C) (H)$.

^{e)} Для $C_d - (CO) (H)$ принято среднее между значениями для $C_d - (C_d) (H)$ и $C_d - (C) (H)$.

^{f)} $C_d - (O) (C_d) \rightleftharpoons C_d - (C_d) (C)$.

Таблица V.3

Групповые вклады в C_p° , S° и ΔH_f° при 25°C и 1 атм для азотистых соединений

Группа	ΔH_f°	S°	C_p°						
			300	400	500	600	800	1000	1500
C-(N)(H) ₃	-10,08	30,41	6,19	7,84	9,40	10,79	13,02	14,77	17,58
C-(N)(C)(H) ₂	-6,6	9,8 ^{a)}	5,25 ^{a)}	6,90 ^{a)}	8,28 ^{a)}	9,39 ^{a)}	11,09 ^{a)}	12,34 ^{a)}	
C-(N)(C) ₂ (H)	-5,2	-11,7 ^{a)}	4,67 ^{a)}	6,32 ^{a)}	7,64 ^{a)}	8,39 ^{a)}	9,56 ^{a)}	10,23 ^{a)}	
C-(N)(C) ₃	-3,2	-34,1 ^{a)}	4,35 ^{a)}	6,16 ^{a)}	7,31 ^{a)}	7,91 ^{a)}	8,49 ^{a)}	8,50 ^{a)}	
N-(C)(H) ₂	4,8	29,71	5,72	6,51	7,32	8,07	9,41	10,47	12,28
N-(C) ₂ (H)	15,4	8,94	4,20	5,21	6,13	6,83	7,90	8,65	9,55
N-(C) ₃	24,4	-13,46	3,48	4,56	5,43	5,97	6,56	6,67	6,50
N-(N)(H) ₂	11,4	29,13	6,10	7,38	8,43	9,27	10,54	11,52	13,19
N-(N)(C)(H)	20,9	9,61	4,82	5,8	6,5	7,0	7,8	8,3	9,0
N-(N)(C) ₂	29,2	-13,80							
N-(N)(C _B)(H)	22,1								
N ₁ -(H)									
N ₁ -(C)	21,3								
N ₁ -(C _B) ^{b)}	16,7								
N _A -(H)	25,1	26,8	4,38	4,89	5,44	5,94	6,77	7,42	8,44
N _A -(C)	34,3								
N-(C _B)(H) ₂	4,8	29,71	5,72	6,51	7,32	8,07	9,41	10,47	12,28
N-(C _B)(C)(H)	14,9								
N-(C _B)(C) ₂	26,2								
N-(C _B) ₂ (H)	16,3								

Продолжение

Группа	ΔH_f°	S°	C_p°						
			300	400	500	600	800	1000	1500
$C_B-(N)$	-0,5	-9,69	3,95	5,21	5,94	6,32	6,53	6,56	
$N_A-(N)$	23,0								
$CO-(N)(H)$	-29,6	34,93	7,03	7,87	8,82	9,68	11,16	12,20	
$CO-(N)(C)$	-32,8	16,2	5,37	6,17	7,07	7,66	9,62	11,19	
$N-(CO)(H)_2$	-14,9	24,69	4,07	5,74	7,13	8,29	9,96	11,22	
$N-(CO)(C)(H)$	-4,4	3,9 ^a							
$N-(CO)(C)_2$									
$N-(CO)(C_B)(H)$	+0,4								
$N-(CO)_2(H)$	-18,5								
$N-(CO)_2(C)$	-5,9								
$N-(CO)_2(C_B)$	-0,5								

Поправки для циклических соединений

$C-(CN)(C)(H)_2$	22,5	40,20	11,10	13,40	15,50	17,20	19,7	21,30	
$C-(CN)(C)_2(H)$	25,8	19,80	11,00	12,70	14,10	15,40	17,30	18,60	
$C-(CN)(C)_3$		-2,80							
$C-(CN)_2(C)_2$		28,40							
$C_d-(CN)(H)$	37,4	36,58	9,80	11,70	13,30	14,50	16,30	17,30	
$C_d-(CN)_2$	34,1								
$C_d-(NO_2)(H)$		44,4	12,3	15,1	17,4	19,2	21,6	23,2	
$C_B-(CN)$	35,8	20,50	9,8	11,2	12,3	13,1	14,2	14,9	25,3
$C_T-(CN)$	63,8	35,40	10,30	11,30	12,10	12,70	13,60	14,30	15,30
$C-(NO_2)(C)(H)_2$	-15,1	48,4 ^a							
$C-(NO_2)(C)_2(H)$	-15,8	26,9 ^a							
$C-(NO_2)(C)_3$		3,9 ^a							

C-(NO ₂) ₂ (C)(H)	-14,9								
O-(NO)(C)	-5,9	41,9	9,10	10,30	11,2	12,0	13,3	13,9	14,5
O-(NO ₂)(C)	-19,4	48,50							
Этиленимин	27,7	31,5 ^a							
									
Триметиленимин	26,2 ^a	29,3 ^a							
									
Тетраметиленимин	6,8	26,7	-6,17	-5,58	-4,80	-4,00	-2,87	-2,17	
									
Пиперидин	1,0								
									
	3,4								
	8,5								

^a) Оценка автора.

б) Для о- и *н*-замещенных пиридинов необходимо добавить -1,5 ккал/моль на каждую группу.

Таблица V.4

Групповые вклады в ΔH_{f298}° , S_{298}° и C_p° для алкилгалогенидов

Группа	ΔH_{f298}°	S_{298}°	C_p°					
			300	400	500	600	800	1000
C—(F) ₃ (C)	-158,4	42,5	12,7	15,0	16,4	17,9	19,3	20,0
C—(F) ₂ (H)(C)	(-102,3)	39,1	9,9	12,0	15,1			
C—(F)(H) ₂ (C)	-51,8	35,4	8,1	10,0	12,0	13,0	15,2	16,6
C—(F) ₂ (C) ₂	-97,0	17,8	9,9	11,8	13,5			
C—(F)(H)(C) ₂	-48,4	(14,0)						
C—(F)(C) ₃	-43,9							
C—(F) ₂ (Cl)(C)	-106,3	40,5	13,7	16,1	17,5			
C—(Cl) ₃ (C)	-20,7	50,4	16,3	18,0	19,1	19,8	20,6	21,0
C—(Cl ₂)(H)(C)	(-18,9)	43,7	12,1	14,0	15,4	16,5	17,9	18,7
C—(Cl)(H) ₂ (C)	-15,6	37,8	8,9	10,7	12,3	13,4	15,3	16,7
C—(Cl) ₂ (C) ₂	(-19,5)							
C—(Cl)(H)(C) ₂	-12,8	17,6	9,0	9,9	10,5	11,2		
C—(Cl)(C) ₃	-12,8	-5,4	9,3	10,5	11,0	11,3		
C—(Br) ₃ (C)		55,7	16,7	18,0	18,8	19,4	19,9	20,3
C—(Br)(H) ₂ (C)	-5,4	40,8	9,1	11,0	12,6	13,7	15,5	16,8
C—(Br)(H)(C) ₂	-3,4							
C—(Br)(C) ₃	-0,4	-2,0	9,3	11,0				
C—(I)(H) ₂ (C)	7,95	42,5	9,2	11,0	12,9	13,9	15,8	17,2
C—(I)(H)(C) ₂	10,7	22,2	(8,7)					
C—(I)(C) ₃	13,0	(0,0)	(9,7)					
C—(Cl)(Br)(H)(C)		45,7	12,4	14,0	15,6	16,3	17,9	19,0
N—(F)(C)	-7,8							

C—(Cl)(C)(O)(H)	-20,2	19,5	(9,0)	(9,9)	(10,5)	(11,2)		
C _d —(F) ₂	-77,5	37,3	9,7	11,0	12,0	12,7	13,8	14,5
C _d —(Cl) ₂	-1,8	42,1	11,4	12,5	13,3	13,9	14,6	15,0
C _d —(Br) ₂		47,6	12,3	13,2	13,9	14,3	14,9	15,2
C _d —(F)(Cl)		39,8	10,3	11,7	12,6	13,3	14,2	14,7
C _d —(F)(Br)		42,5	10,8	12,0	12,8	13,5	14,3	14,7
C _d —(Cl)(Br)		45,1	12,1	12,7	13,5	14,1	14,7	-
C _d —(F)(H)	-37,6	32,8	6,8	8,4	9,5	10,5	11,8	12,7
C _d —(Cl)(H)	2,1	35,4	7,9	9,2	10,3	11,2	12,3	13,1
C _d —(Br)(H)	12,7	38,3	8,1	9,5	10,6	11,4	12,4	13,2
C _d —(I)(H)	24,5	40,5	8,8	10,0	10,9	11,6	12,6	13,3
C _T —(Cl)		33,4	7,9	8,4	8,7	9,0	9,4	9,6
C _T —(Br)		36,1	8,3	8,7	9,0	9,2	9,5	9,7
C _T —(I)		37,9	8,4	8,8	9,1	9,3	9,6	9,8

Аригалогениды

C _B —(F)	-42,8	16,1	6,3	7,6	8,5	9,1	9,8	10,2
C _B —(Cl)	-3,8	18,9	7,4	8,4	9,2	9,7	10,2	10,4
C _B —(Br)	10,7	21,6	7,8	8,7	9,4	9,9	10,3	10,5
C _B —(I)	24,0	23,7	8,0	8,9	9,6	9,9	10,3	10,5
C—(C _B)(F) ₃	-162,7	42,8	12,5	15,3	17,2	18,5	20,1	21,0
C—(C _B)(Br)(H) ₂	-6,9							
C—(C _B)(I)(H) ₂	8,4							

Поправки, учитывающие взаимодействие близко расположенных групп

Орто(F)(F)	5,0	0	0	0	0	0	0	0
Орто(Cl)(Cl)	2,2							
Орто(алкил)(галоген) ^{a)}	0,6							
Цис(галоген)(галоген)	(0)							
Цис(галоген)(алкил)	(0)							

^{a)} Галоген — Cl, Br, I.

Таблица V.5

Сернистые соединения

Группа	$\Delta H_f^{\circ} \text{ 298}$	S_{298}°	C_p°					
			300	400	500	600	800	1000
$\text{C}-(\text{H})_3(\text{S})$ ^{a)}	-10,08	30,41	6,19	7,84	9,40	10,79	13,02	14,77
$\text{C}-(\text{C})(\text{H})_2(\text{S})$	-5,65	9,88	5,38	7,08	8,60	9,97	12,26	14,15
$\text{C}-(\text{C})_2(\text{H})(\text{S})$	-2,64	-11,32	4,85	6,51	7,78	8,69	9,90	10,57
$\text{C}-(\text{C})_3(\text{S})$	-0,55	-34,41	4,57	6,27	7,45	8,15	8,72	8,10
$\text{C}-(\text{C}_B)(\text{H})_2(\text{S})$	-4,73							
$\text{C}-(\text{C}_d)(\text{H})_2(\text{S})$	-6,45							
$\text{C}_B-(\text{S})$ ^{b)}	-1,8	10,20	3,90	5,30	6,20	6,60	6,90	6,90
$\text{C}_d-(\text{H})(\text{S})$ ^{b)}	8,56	8,0	4,16	5,03	5,81	6,50	7,65	8,45
$\text{C}_d-(\text{C})(\text{S})$	10,93	-12,41	3,50	3,57	3,83	4,09	4,41	5,00
$\text{S}-(\text{C})(\text{H})$	4,62	32,73	5,86	6,20	6,51	6,78	7,30	7,71
$\text{S}-(\text{C}_B)(\text{H})$	11,96	12,66	5,12	5,26	5,57	6,03	6,99	7,84
$\text{S}-(\text{C})_2$	11,51	13,15	4,99	4,96	5,02	5,07	5,41	5,73
$\text{S}-(\text{C})(\text{C}_d)$	9,97							
$\text{S}-(\text{C}_d)_2$	-4,54	16,48	4,79	5,58	5,53	6,29	7,94	9,73
$\text{S}-(\text{C}_B)(\text{C})$	19,16							
$\text{S}-(\text{C}_B)_2$	25,90							
$\text{S}-(\text{S})(\text{C})$	7,05	12,37	5,23	5,42	5,51	5,51	5,38	5,12
$\text{S}-(\text{S})(\text{C}_B)$	14,5							
$\text{S}-(\text{S})_2$	3,01	13,4	4,7	5,0	5,1	5,2	5,3	5,4
$\text{C}-(\text{SO})(\text{H})_3$ ^{c)}	-10,08	30,41	6,19	7,84	9,40	10,79	13,02	14,77
$\text{C}-(\text{C})(\text{SO})(\text{H})_2$	-7,72							
$\text{C}-(\text{C})_3(\text{SO})$	-3,05							
$\text{C}-(\text{C}_d)(\text{SO})(\text{H})_2$	-7,35							
$\text{C}_B-(\text{SO})$ ^{d)}	2,3							
$\text{SO}-(\text{C})_2$	-14,41	18,10	8,88	10,03	10,50	10,79	10,98	11,17
$\text{SO}-(\text{C}_B)_2$	-12,0							

$C-(SO_2)(H)_3^e)$	-10,08	30,41	6,19	7,84	9,40	10,79	13,02	14,77
$C-(C)(SO_2)(H)_2$	-7,68							
$C-(C)_2(SO_2)(H)$	-2,62							
$C-(C)_3(SO_2)$	-0,61							
$C-(C_d)(SO_2)(H)_2$	-7,14							
$C-(C_B)(SO_2)(H)_2$	-5,54							
$C_B-(SO_2)^{**})$	2,3							
$C_d-(H)(SO_2)$	12,5							
$C_d-(C)(SO_2)$	14,5							
$SO_2-(C_d)(C_B)$	-68,6							
$SO_2-(C_d)_2$	-73,6							
$SO_2-(C)_2$	-69,74	20,90	11,52					
$SO_2-(C)(C_B)$	-72,29							
$SO_2-(C_B)_2$	-68,58							
$SO_2-(SO_2)(C_B)$	-76,25							
$CO-(S)(C)^g$	-31,56	15,43	5,59	6,32	7,09	7,76	8,89	9,61
$S-(H)(CO)$	-1,41	31,20	7,63	8,09	8,12	8,17	8,50	8,24
$C-(S)(F)_3$		38,9						
$S-(C)(CN)$	37,18	41,06	9,51	10,44	11,22	11,86	12,85	13,50
$CS-(N)_2^{ii})$	-31,56	15,43	5,59	6,32	7,09	7,76	8,89	9,61
$N-(CS)(H)_2$	12,78	29,19	6,07	7,28	8,18	8,91	10,09	10,98
$S-(S)(N)^k)$	-4,90							
$N-(S)(C)_2$	29,9							
$SO-(N)_2^{II})$	-31,56							
$N-(SO)(C)_2$	16,0							
$SO_2-(N)_2^{M)}$	-31,56							
$N-(SO_2)(C)_2$	-20,4							

a) $C-(S)(H)_3 \equiv C-(C)(H)_3$.

b) $C_B-(S) \equiv C_B-(O)$.

b) $C_d-(S)(H) \equiv C_d-(O)(H)$.

f) $C-(SO)(H)_3 \equiv C-(CO)(H)_3$.

g) $C_B-(SO) \equiv C_B-(CO)$.

e) $C-(SO_2)(H)_3 \equiv C-(SO)(H)_3$.

ж) $C_B-(SO_2) \equiv C_B-(CO)$.

з) $CO-(S)(C) \equiv CO-(C)_2$.

и) $CS-(N)_2 \equiv CO-(C)_2$.

к) $S-(S)(N) \equiv O-(O)(C)$.

л) $SO-(N)_2 \equiv CO-(C)_2$.

м) $SO_2-(N)_2 \equiv CO-(N)_2$.

Поправки для циклических сернистых соединений

772

Цикл (σ)	$\Delta H_f^{\circ} \text{298}$	S_{298}°	C_p°					
			300	400	500	600	800	1000
 (2)	19,72	29,47	-2,85	-2,59	-2,66	-3,02	-4,32	-5,82
 (2)	19,37	27,18	-4,59	-4,18	-3,91	-3,91	-4,60	-5,70
 (2)	1,73	23,56	-4,90	-4,67	-3,68	-3,66	-4,41	-5,57
 (2)	0	17,46	-6,22	-4,26	-2,24	-0,59	-0,86	-1,29
 (2)	3,89							
 (2)	5,07							
 (1) a)	5,07							



(2)

5,74

(2) ^{b)}

1,73

23,56

-4,90

-4,87

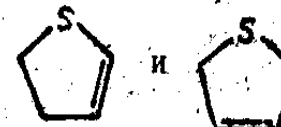
-3,68

-3,66

-4,41

-5,57

a) Поправки для



принимаются одинаковыми.

b) Поправки для



принимаются одинаковыми.

Таблица V.6

Металлоорганические соединения ^{a)}

Металл	Группа	$\Delta H_f^{\circ} \text{298}$	Примечание
Олово	$C-(Sn)(H)_3$	-10,08	$C-(Sn)(H)_3 \equiv C-(C)(H_3)$
	$C-(Sn)(C)(H)_2$	-2,18	
	$C-(Sn)(C)_2(H)$	3,38	
	$G-(Sn)(G)_3$	8,16	
	$C-(Sn)(C_B)(H)_2$	-7,77	
	$C_B-(Sn)$	5,51	$C_B-(Sn) \equiv C_B-(C)$
	$C_A-(Sn)(H)$	8,77	$G_A-(Sn)(H) \equiv C_A-(G)(H)$

Металл	Группа	ΔH_{298}^δ	Примечание
Олово	$\text{Sn}-(\text{C})_4$	36,2	
	$\text{Sn}-(\text{C})_3(\text{Cl})$	-9,8	
	$\text{Sn}-(\text{C})_2(\text{Cl})_2$	-49,2	
	$\text{Sn}-(\text{C})(\text{Cl})_3$	-89,5	
	$\text{Sn}-(\text{C})_3(\text{Br})$	-1,8	
	$\text{Sn}-(\text{C})_3(\text{I})$	9,9	
	$\text{Sn}-(\text{C})_3(\text{H})$	34,8	
	$\text{Sn}-(\text{C}_d)_4$	36,2	$\text{Sn}-(\text{C}_d)_4 \equiv \text{Sn}-(\text{C})_4$
	$\text{Sn}-(\text{C}_d)_3(\text{Cl})$	-8,2	
	$\text{Sn}-(\text{C}_d)_2(\text{Cl})_2$	-50,7	
	$\text{Sn}-(\text{C}_d)(\text{Cl})_3$	-82,2	
	$\text{Sn}-(\text{C})_3(\text{C}_d)$	37,6	
	$\text{Sn}-(\text{C}_B)_4$	26,26	
	$\text{Sn}-(\text{C})_3(\text{C}_B)$	34,93	
	$\text{Sn}-(\text{C})_3(\text{Sn})$	26,4	
Свинец	$\text{C}-(\text{Pb})(\text{H})_3$	-10,08	$\text{C}-(\text{Pb})(\text{H})_3 \equiv \text{C}-(\text{C})(\text{H})_3$
	$\text{C}-(\text{Pb})(\text{C})(\text{H})_2$	-1,70	
	$\text{Pb}-(\text{C})_4$	72,9	
Хром	$\text{O}-(\text{Cr})(\text{C})$	-23,5	$\text{O}-(\text{Cr})(\text{C}) \equiv \text{O}-(\text{Ti})(\text{C})$
	$\text{Cr}-(\text{O})_4$	-64,0	
Цинк	$\text{C}-(\text{Zn})(\text{H})_3$	-10,08	$\text{C}-(\text{Zn})(\text{H})_3 \equiv \text{C}-(\text{C})(\text{H})_3$
	$\text{C}-(\text{Zn})(\text{C})(\text{H})_2$	-1,78	
	$\text{Zn}-(\text{C})_3$	33,3	

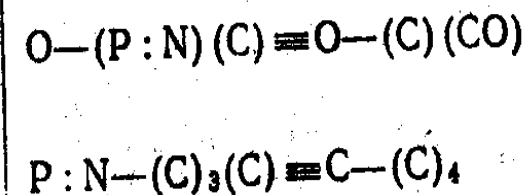
	O—(Ti) (C)	-23,5	O—(Ti) (C) ≡ O—(P) (C)
	Ti—(O) ₄	-157	
	N—(Ti) (C) ₂	39,1	N—(Ti) (C) ₂ ≡ N—(P) (C) ₂
	Ti—(N) ₄	-123	
Ванадий	O—(V) (C)	-23,5	O—(V) (C) ≡ O—(Ti) (C)
	V—(O) ₄	-87,0	
Кадмий	C—(Cd) (H) ₃	-10,08	C—(Cd) (H) ₃ ≡ C—(C) (H) ₃
	C—(Cd) (C) (H) ₂	-0,30	
	Cd—(C) ₂	46,4	
Алюминий	C—(Al) (H) ₃	-10,08	C—(Al) (H) ₃ ≡ C—(C) (H) ₃
	C—(Al) (C) (H) ₂	0,70	
	Al—(C) ₃	9,2	
Германий	C—(Ge) (C) (H) ₂	-7,7	
	Ge—(C) ₄	36,2	Ge—(C) ₄ ≡ Sn(C)
	Ge—(Ge) (C) ₃	15,6	
Ртуть	C—(Hg) (H) ₃	-10,08	C—(Hg) (H) ₃ ≡ C—(C) (H) ₃
	C—(Hg) (C) (H) ₂	-2,68	
	C—(Hg) (C) ₂ (H)	3,62	
	C _B —(Hg)	-1,8	C _B —(Hg) ≡ C _B —(O)
	Hg—(C) ₂	42,5	
	Hg—(C) (Cl)	-2,82	
	Hg—(C) (Br)	4,88	
	Hg—(C) (I)	15,78	
	Hg—(C _B) ₂	64,4	
	Hg—(C _B) (Cl)	9,9	
	Hg—(C _B) (Br)	18,1	
	Hg—(C _B) (I)	27,9	

a) Поправки для гош-конфигураций относительно связи $C - M$ не вносятся.

Фосфороганические соединения ^{a)}

Группа	$\Delta H_f^{\circ} \text{298}$	$S^{\circ} \text{298}$	Примечание
$\text{C}-(\text{P})(\text{H})_3$	-10,08	30,41	$\text{C}-(\text{P})(\text{H})_3 \equiv \text{C}-(\text{C})(\text{H})_3$
$\text{C}-(\text{P})(\text{C})(\text{H})_2$	-2,47		
$\text{C}-(\text{PO})(\text{H})_3$	-10,08	30,41	$\text{C}-(\text{PO})(\text{H})_3 \equiv \text{C}-(\text{C})(\text{H})_3$
$\text{C}-(\text{PO})(\text{C})(\text{H})_2$	-3,4		
$\text{C}-(\text{P}:\text{N})(\text{H})_3$	-10,08	30,41	$\text{C}-(\text{P}:\text{N})(\text{H})_3 \equiv \text{C}-(\text{C})(\text{H})_3$
$\text{C}-(\text{N}:\text{P})(\text{C})(\text{H})_2$	19,4		
$\text{C}_B-(\text{P})$	-1,8		$\text{C}_B-(\text{P}) \equiv \text{C}-(\text{O})$
$\text{C}_B-(\text{PO})$	2,3		$\text{C}_B-(\text{PO}) \equiv \text{C}_B-(\text{CO})$
$\text{C}_B-(\text{P}:\text{N})$	2,3		$\text{C}_B-(\text{P}:\text{N}) \equiv \text{C}_B-(\text{CO})$
$\text{P}-(\text{C})_3$	7,0		
$\text{P}-(\text{C})(\text{Cl})_2$	-50,1		
$\text{P}-(\text{C}_B)_3$	28,3		
$\text{P}-(\text{O})_3$	-66,8		
$\text{P}-(\text{N})_3$	-66,8		$\text{P}-(\text{N})_3 \equiv \text{P}-(\text{O})_3$
$\text{PO}-(\text{C})_3$	-72,8		
$\text{PO}-(\text{C})(\text{F})_2$		46,77	
$\text{PO}-(\text{C})(\text{Cl})(\text{F})$		50,80	
$\text{PO}-(\text{C})(\text{Cl})_2$	-123,0	52,97	
$\text{PO}-(\text{C})(\text{O})(\text{Cl})$	-112,6		
$\text{PO}-(\text{C})(\text{O})_2$	-99,5		
$\text{PO}-(\text{O})_3$	-104,6		
$\text{PO}-(\text{O})_2(\text{F})$	-167,7		
$\text{PO}-(\text{C}_B)_3$	-52,9		
$\text{PO}-(\text{N})_3$	-104,6		$\text{PO}-(\text{N})_3 \equiv \text{PO}-(\text{O})_3$
$\text{O}-(\text{C})(\text{P})$	-23,5		$\text{O}-(\text{C})(\text{P}) \equiv \text{O}-(\text{C})_2$
$\text{O}-(\text{H})(\text{P})$	-58,7		
$\text{O}-(\text{C})(\text{PO})$	-40,7		$\text{O}-(\text{C})(\text{PO}) \equiv \text{O}-(\text{C})(\text{CO})$
$\text{O}-(\text{H})(\text{PO})$	-65,0		

O—(PO) ₂	-54,5
O—(P : N)(C)	-40,7
N—(P)(C) ₂	32,2
N—(PO)(C) ₂	17,8
P : N—(C) ₃ (C)	0,50
P : N—(C _B) ₃ (C)	-25,7
P : N—(N : P)(C) ₂ (P : N)	-15,5
P : N—(N : P)(C _B) ₂ (P : N)	-22,9
P : N—(N : P)(Cl) ₂ (P : N)	-58,2
P : N—(N : P)(O) ₂ (P : N)	-43,4



a) Не вводится поправка для гош-конфигураций относительно связей X—P, X—PO и X—P : N, где X = C, O, N.

Бороганические соединения^{a)}

Группа	$\Delta H_{f,298}^{\circ}$	Примечание
C—(B)(H) ₃	-10,08	C—(B)(H) ₃ ≡ C—(C)(H) ₃
C—(B)(C)(H) ₂	-2,22	
C—(B)(C) ₂ (H)	1,1	
C—(BO ₃)(H) ₃	-10,08	C—(BO ₃)(H) ₃ ≡ C—(C)(H) ₃
C—(BO ₃)(C)(H) ₂	-2,2	
C _d —(B)(H)	15,6	
B—(C) ₃	0,9	

Продолжение

Группа	$\Delta H_f^{\circ} \text{ ккал/моль}$	Примечание
$\text{B}-(\text{C})(\text{F})_2$	-187,9	
$\text{B}-(\text{C})_2(\text{Cl})$	-42,7	
$\text{B}-(\text{C})_2(\text{Br})$	-26,9	
$\text{B}-(\text{C})_2(\text{I})$	-8,9	
$\text{B}-(\text{C})_2(\text{O})$	29,3	$\text{B}-(\text{C})_2(\text{O}) \equiv \text{N}-(\text{C})_2(\text{N})$
$\text{B}-(\text{C}_d)(\text{F})_2$	-192,9	$\text{B}-(\text{C}_d)(\text{F})_2 \equiv \text{B}-(\text{C})(\text{F})_2$
$\text{B}-(\text{O})_3$	24,4	$\text{B}-(\text{O})_3 \equiv \text{B}-(\text{N})_3$
$\text{B}-(\text{O})_2(\text{Cl})$	-19,7	
$\text{B}-(\text{O})(\text{Cl})_2$	-61,2	
$\text{B}-(\text{O})_2(\text{H})$	19,9	
$\text{B}-(\text{N})_3$	24,4	$\text{B}-(\text{N})_3 \equiv \text{N}-(\text{C})_3$
$\text{B}-(\text{N})_2(\text{Cl})$	-23,8	
$\text{B}-(\text{N})(\text{Cl})_2$	-67,9	
$\text{BO}_3-(\text{C})_3$	-208,7	
$\text{O}-(\text{B})(\text{H})$	-115,5	
$\text{O}-(\text{B})(\text{C})$	-69,43	
$\text{N}-(\text{B})(\text{C})_2$	-9,93	
$\text{B}-(\text{S})_3$	24,4	
$\text{S}-(\text{B})(\text{C})$	-14,5	
$\text{S}-(\text{B})(\text{C}_B)$	-7,8	

^{a)} Гом-поправка для связей $\text{C}-\text{B}$ равна +0,8 ккал/моль.

**Термодинамические свойства соединений, содержащих только одну группу
(для состояния идеального газа)**

Соединение	ΔH_f° 298	S_{298}°	C_p°						Литера- тура к таблице
			300	400	500	600	800	1000	
SOF		62,87	9,97	10,92	11,63	12,14	12,79	13,15	2
SOCl ₂	-50,37	73,62	15,94	17,07	17,79	18,28	18,88	19,20	2
SOCl		66,17	10,88	11,62	12,15	12,54	13,03	13,31	2
S ₂ F ₂	-54,5	69,30	15,33	16,83	17,74	18,31	18,94	19,26	2
SF ₂	-51,8	60,92	10,44	11,50	12,18	12,63	13,14	13,40	2
SF		54,33	7,57	7,96	8,24	8,44	8,68	8,81	2
S ₂ Cl ₂	-4,75	76,49	17,44	18,37	18,87	19,16	19,46	19,61	2
SCl ₂	-5,15	67,20	12,19	12,83	13,18	13,39	13,61	13,71	2
SCI		57,25	8,20	8,51	8,69	8,81	8,95	9,04	2
CSCl ₂		70,84	15,34	16,61	17,51	18,10	18,78	19,14	3, 4
H ₂ S ₂	3,9								1
NSF ₃		69,37	17,23	19,60	21,17	22,25	23,56	24,29	5
HNCS	30,0	59,15							14
P ₂ H ₄	5,0								6
PBr ₃	-28,9								6
PBr ₅	-53,0								6
BO ₂	-75,0	55,03	10,08	11,17	12,01	12,64	13,45	13,91	2
H ₂ BOH	-70,0								7
HB(OH) ₂	-153,8								7
H ₂ SiBr		62,76	12,89	14,87			20,02		8
H ₂ SiI		64,54	12,86						8
H ₂ SiBr ₂		73,92	15,68	17,71			21,73		8
SiBr ₄	-98,0	90,22	23,21	24,2		25,1	25,4	25,5	8
ClSiBr ₃		90,14	22,78	24,0		24,9	25,3	25,5	8
Cl ₂ SiBr ₂		89,48	22,39	23,7		24,8	25,2	25,5	8

$\text{Si}_2\text{O}(\text{OCH}_3)_8$	-803,0						8		
$(\text{CH}_3)_2\text{Si}(\text{OC}_2\text{H}_5)_2$	-199,0						8		
$(n\text{-C}_4\text{H}_9)_2\text{Si}(\text{OC}_2\text{H}_5)_2$	-215,0						8		
$(\text{CH}_3)_2\text{Si}(\text{OH})_2\text{O}$	-338,0						8		
$(\text{CH}_3)_2\text{Si}(\text{OH})_2$	-192,0						8		
$(\text{C}_2\text{H}_5)_2\text{Si}(\text{OH})_2$	-208,0						8		
$(\text{C}_6\text{H}_5)_2\text{Si}(\text{OH})_2$	-136,0						8		
$\text{Si}_2\text{O}(\text{CH}_3)_8$	-203,0						8		
$\text{Si}_3\text{O}_2(\text{CH}_3)_8$	-350,0						8		
$\text{Si}_3\text{O}_2(\text{CH}_3)_8$	-351,0						8		
$\text{Si}_4\text{O}_3(\text{CH}_3)_{10}$	-405,0						8		
	-527,0						8		
	-488,0						8		
	-667,0						8		
$\text{Si}_5\text{O}_4(\text{CH}_3)_2$	-448,0						8		
$\text{Si}_2(\text{OCH}_3)_8$		64,27	17,31	20,56	23,05	25,05	28,14	30,35	10
$\text{HC}\equiv\text{CSiH}_3$									

1. Mackie H., O'Hare P. A. G., Tetrahedron Letters, 19, 961 (1963).
2. McBride B. J. et al. NASA SP-3001.
3. Krishna Dillai M. G., Cleveland F. F., J. Mol. Spect., 6, 465 (1961).
4. Thompson H. W., Trans. Faraday Soc., 37, 251 (1941).
5. Ramaswamy K., Sathianandan K., Cleveland F. F., J. Mol. Spect., 9, 107 (1962).
6. Hartley S. B., et al., Quarterly Reviews, 17, 204 (1963).
7. Porter R. F., Gupta S. K., J. Phys. Chem., 68, 2732 (1964).
8. O'Neal H. E., Ring M. A., Inorg. Chem., 5, 435 (1966).
9. Gunn S. R., Kindsvater J. H., J. Phys. Chem., 70, 1750 (1960).
10. Pillai M. G. K., Ramaswamy K., Gnana desikan S. G., Czech. J. Phys. B., 16, 150 (1966).
11. Skinner H. A., Advances in Organometallic Chemistry, Academic Press, New York, 1964, Vol. 2, p. 49.
12. Spangenberg H. J., Pfeiffer M., Z. Physik. Chem. (Leipzig), 232, 343 (1966).
13. Spangenberg H. J., Z. Physik. Chem. (Leipzig), 232, 271 (1966).
14. Brandenburg J. T., Diss. Abst., 18, 1994 (1958).

Таблица V.7

Теплоемкости C_p° некоторых элементов при различных температурах

Элемент	Temperatura, °K							
	298	400	500	600	800	1000	1200	1500
H ₂ (г)	6,9	7,0	7,0	7,0	7,1	7,2	7,4	7,7
O ₂ (г)	7,0	7,2	7,4	7,7	8,1	8,3	8,5	8,7
B(кр)	2,7	3,7	4,5	5,0	5,6	6,0	6,3	6,7
C(кр, графит)	2,0	2,9	3,5	4,0	4,7	5,1	5,4	5,7
N ₂ (г)	7,0	7,0	7,1	7,2	7,5	7,8	8,1	8,3
F ₂ (г)	7,5	7,9	8,2	8,4	8,7	8,9	9,0	9,1
S(кр)(ж)/(г)(S ₂)	5,4 (кр)	7,7 (ж)	9,1 (ж)	8,21 (ж)	4,4 ^{a)}	4,4	4,5	4,5
Na(кр)/(ж)/(г)	6,7 (кр)	7,5 (ж)	7,3 (ж)	7,1 (ж)	6,9 (ж)	6,9 (ж)	5,0	5,0
Mg(кр)/(ж)/(г)	6,0 (кр)	6,3 (кр)	6,6 (кр)	6,8 (кр)	7,4 (кр)	7,9 (ж)	8,4 (ж)	5,0
Al(кр)/(ж)	5,8 (кр)	6,1 (кр)	6,4 (кр)	6,7 (кр)	7,3 (кр)	7,0 (ж)	7,0 (ж)	7,0 (ж)
Hg(ж)/(г)	6,7 (ж)	6,6 (ж)	6,5 (ж)	6,5 (ж)	5,0	5,0	5,0	5,0
Cl ₂ (г)	8,1	8,4	8,6	8,7	8,9	9,0	9,0	9,1
Br ₂ (ж)/(г)	18,1 (ж)	8,8	8,9	8,9	9,0	9,0	9,0	9,1
I ₂ (кр)/(ж)	13,0 (кр)	19,3 (ж)	9,0	9,0	9,0	9,1	9,1	9,1
K(кр)/(ж)/(г)	7,1 (кр)	7,5 (ж)	7,3 (ж)	7,2 (ж)	7,1 (ж)	7,3 (ж)	5,0	5,0
Pb(кр)/(ж)	6,4	6,6	6,8	7,0	7,2 (ж)	7,0 (ж)	6,9 (ж)	6,9 (ж)
Si(кр)	4,8	5,3	5,6	5,8	6,1	6,3	6,4	6,5
Fe(кр)	6,0	6,5	7,0	7,6	9,2	13,6	8,2 ^{a)}	8,6 ^{b)}
W(кр)	5,8	6,0	6,1	6,2	6,4	6,5	6,7	6,9
Ti(кр)	6,0	6,4	6,6	6,8	7,2	7,5	7,7	8,1
Be(кр)	3,9	4,8	5,3	5,6	6,1	6,5	7,0	7,7
P(кр)/P ₂ (г)	5,1	5,5	5,9	6,2	4,3 (г)	4,4 (г)	4,4 (г)	4,5 (г)

^{a)} Соответствует 1 молю Р или S.^{b)} До 1184° К а-фаза, до 1665° К γ-фаза; кр — кристаллическое; ж — жидкое; г — газообразное состояние.

Таблица V.8

Термохимические параметры некоторых одноатомных газов

Вещество (вырожденность)	ΔH_f°	S°	C_p°				
			300	500	800	1000	1500
Ag (2)	68,4	41,3	5,0				5,0
Al (6)	78,0	39,3	5,1				5,0
Ar (1)	0	37,0	5,0				5,0
Au (2)	87,3	43,1	5,0				5,0
B (6)	32,8	36,6	5,0				5,0
Be (1)	78,3	32,5	5,0				5,0
Br (4)	26,7	41,8	5,0			5,1	5,3
C (9)	170,9	37,8	5,0				5,0
Ca (1)	42,2	37,0	5,0				5,0
Cd	26,8	40,1					
Cl (4)	28,9	39,5	5,2	5,4		5,3	5,2
Co (~8)	101,6	42,9					
Cr (~9)	95	41,6					
Cs (2)	18,7	41,9					
Cu (2)	81,0	39,7	5,0				5,0
e (2)	0	5,0	5,0				5,0
F (6)	18,9	37,9	5,4	5,3	5,1	5,0	5,0
Fe (9—25)	99,5	43,1	6,1	5,9	5,5	5,4	5,3
¹ H (2)	52,1	27,4	5,0				5,0
² H (D) (2)	53,0	29,5	5,0				5,0
He (1)	0	30,1	5,0				5,0
Hg (1)	14,7	41,8	5,0				5,0
I (4)	25,5	43,2	5,0				5,0
K (2)	21,3	38,3	5,0				5,0
Kr (1)	0	39,2	5,0				5,0
Li (2)	38,4	33,1	5,0				5,0
Mg (1)	35,3	35,5	5,0				5,0
Mn (5)	67,2	41,5					
N (4)	113,0	36,6	5,0				5,0
Na (2)	25,9	36,7	5,0				5,0
Ne (1)	0	35,0	5,0				5,0
O (~7)	59,6	38,5	5,2	5,1	5,0		5,0
P ^a (4)	78,8	39,0	5,0				5,0
Pb (1)	46,7	41,9	5,0				5,2
S (~7)	66,7	40,1	5,7	5,4	5,2	5,1	5,1
Se (~5)	49,2	42,2	5,0				
Si (~9)	107,7	40,1	5,3	5,1			5,1
Sn (3)	72,2	40,2	5,1				
Ti (~21)	113,0	43,1	5,8	5,3	5,1	5,1	5,3
W (1)	203,4	41,5	5,1	6,3	9,0	9,9	9,0
Xe (1)	0	40,5	5,0				5,0
Zn (1)	31,2	38,5	5,0			5,0	

Термохимические параметры некоторых двухатомных газов

Вещество	ΔH_f°	S°	C_p°				
			300	500	800	1000	1500
O ₂	0	49,0	7,0	7,4	8,1	8,3	8,7
H ₂	0	31,2	6,9	7,0	7,1	7,2	7,7
D ₂	0	34,6	7,0	7,1	7,2	7,3	7,8
HD	0,1	34,3	7,0	7,1	7,1	7,2	7,7
HO	9,4	43,9	7,2	7,1	7,2	7,3	7,9
DO	8,7	45,3	7,1				
F ₂	0	48,4	7,5	8,2	8,7	8,9	9,1
HF	-64,8	41,5	7,0	7,0	7,1	7,2	7,7
FO	39±3	51,8	7,3	8,0	8,6	8,8	9,0
Cl ₂	0	53,3	8,1	8,6	8,9	9,0	9,1
HCl	-22,0	44,6	7,0	7,0	7,3	7,6	8,1
ClO	24,2	54,1	7,5	8,2	8,7	8,8	9,0
ClF	-12,1	52,1	7,7	8,3	8,7	8,9	9,0
Br ₂	7,4	58,6	8,6	8,9	9,0	9,0	9,1
HBr	-8,7	47,5	7,0	7,0	7,4	7,7	8,3
BrF	-14,0	54,7	7,9	8,5	8,8	8,9	9,1
BrCl	3,5	57,3	8,4	8,7	8,9	9,0	9,1
BrO	30	56,8	7,7				
I ₂	14,9	62,3	8,8	8,9	9,0	9,1	9,1
HI	6,3	49,4	7,0	7,1	7,6	7,9	8,5
IF	-22,7	56,4	8,0	8,6	8,9	9,0	9,2
ICl	4,2	59,1	8,5	8,8	9,0	9,0	9,1
IBr	9,8	61,8	8,7	8,9	9,0	9,1	9,2
S ₂	30,7	54,5	7,8	8,4	8,7	8,8	9,0
HS	34	46,7	7,7	7,5	7,6	7,9	8,4
SO	1,5	53,0	7,2	7,8	8,4	8,6	8,8
N ₂	0	45,8	7,0	7,0	7,5	7,8	8,3
NH	80±3	43,3	7,0	7,0	7,2	7,5	8,1
NO	21,6	50,3	7,1	7,3	7,8	8,1	8,6
NF	60±8	51,4	7,3	7,9	8,5	8,7	8,9
P ₂	40,6	52,1	7,7	8,3	8,7	8,8	8,9
PH	58	46,9	7,0	7,1	7,6	7,9	8,4
PO	-2,5±2	53,2	7,6	7,9	8,4	8,6	8,8
PN	24	50,4	7,1	7,6	8,3	8,5	8,8

Продолжение

Вещество	ΔH_f°	S°	C_p°				
			300	500	800	1000	1500
C_2	199 ± 2	47,6	10,3	8,9	8,5	8,6	8,9
CH	142	43,7	7,0	7,0	7,4	7,7	8,3
CO	$-26,4$	47,2	7,0	7,1	7,6	7,9	8,4
CF	75 ± 10	50,9	7,2	7,7	8,3	8,5	8,8
CCl		53,8	7,7	8,3	8,7	8,8	8,9
CN	111	48,4	7,0	7,2	7,7	8,0	8,5
CS	55 ± 5	50,3	7,1	7,7	8,3	8,5	8,8
Si_2	131 ± 5	54,9	8,2	8,7	8,9	9,0	9,0
SiO	$-24,2$	50,5	7,1	7,7	8,3	8,5	8,8
SiH		47,4	7,0	7,2	8,0	8,1	8,7
Pb_2	80 ± 5	67,2	8,8	9,1	9,2	9,3	9,5
B_2	195 ± 6	48,3	7,3	8,0	8,5	8,7	8,9
BH	106 ± 2	41,0	7,0	7,1	7,6	7,9	8,5
BO	10 ± 10	48,6	7,0	7,2	7,8	8,1	8,5
BF	-28 ± 3	47,9	7,1	7,6	8,2	8,5	8,8
BCl	34 ± 4	50,9	7,6	8,2	8,7	8,8	9,0
BC	198 ± 10	49,8	7,1	7,6	8,3	8,5	8,8
AlH	62 ± 5	44,9	7,0	7,4	8,1	8,4	8,8
AlO	22 ± 5	52,2	7,4	8,1	8,6	8,7	8,9
AlF	$-62,5$	51,4	7,6	8,3	8,7	8,8	9,0
$AlCl$	$-11,2$	54,4	8,3	8,7	8,9	9,0	9,1
$AlBr$	$3,6 \pm 5$	57,3	8,5	8,8	9,0	9,0	9,1
Ag_2	100 ± 3						
$AgCl$	23						
HgH	57 ± 4	52,5	7,2	7,9	8,6	8,9	9,4
$HgCl$	$18,8 \pm 3$	62,1	8,7	8,9	9,1	9,1	9,2
Cu_2	116 ± 3	57,7	8,7	8,9	9,0	9,1	9,2
$CuCl$	21,8	58,7	8,4	8,8	8,9	9,0	9,1
BeF	-50 ± 2	49,2	7,1	7,7	8,3	8,6	8,8
$BeCl$	$14,5 \pm 3$	52,0	7,6	8,2	8,7	8,8	9,0
BeO	31 ± 3	47,2	7,0	7,5	8,1	8,4	8,7
MgO		52,9	7,5	8,2	8,7	8,8	9,0
MgF		52,8	7,8	8,4	8,8	8,9	9,0
$MgCl$	-10 ± 10	55,8	8,3	8,7	8,9	9,0	9,1

Продолжение

Вещество	ΔH_f°	S°	C_p°				
			300	500	800	1000	1500
Li_2	50,4	47,1	8,6	8,9	9,1	9,2	9,4
LiF	$-79,5 \pm 2$	47,8	7,5	8,2	8,7	8,8	9,0
LiCl	-47 ± 3	50,9	7,9	8,5	8,8	8,9	9,1
LiI	$-21,8 \pm 2$	55,5	8,3	8,7	9,0	9,0	9,2
Na_2	32,9	55,0	9,0	9,1	9,2	9,3	9,5
NaN	30 ± 5	45,0	7,2	7,9	8,5	8,8	9,1
NaF	$-70,1 \pm 2$	52,0	8,2	8,7	8,9	9,0	9,1
NaCl	$-43,4$	54,9	8,6	8,9	9,0	9,1	9,2
NaBr	$-34,4$	57,6	8,7	8,9	9,0	9,1	9,2
K_2	30,4	59,7	9,1	9,2	9,3	9,4	9,7
KH	29 ± 4	47,3	7,4	8,1	8,7	8,9	9,1
KF	$-77,9$	54,1	8,4	8,8	9,0	9,0	9,2
KCl	$-51,3$	57,1	8,7	8,9	9,0	9,1	9,2

a) За стандартное состояние принят белый фосфор. В таблицах JANAF в качестве стандартного состояния выбран красный фосфор.

Таблица V.9

Термохимические параметры некоторых трехатомных газов

Вещество	ΔH_f°	S°	C_p°				
			300	500	800	1000	1500
O_3	34,1	57,1	9,4	11,3	12,7	13,2	13,7
H_2O	$-57,8$	45,1	8,0	8,4	9,2	9,9	11,2
D_2O	$-59,6$	47,4	8,2				
HO_2	5,0	54,4	8,3	9,5	10,8	11,4	12,4
F_2O	-5 ± 2	59,1	10,4	12,1	13,1	13,3	13,7
$\text{F}-\text{O}-\text{O}^*$	(12 ± 5)	61,9	10,6	11,8	12,8	13,1	13,5
Cl_2O	21,0	64,0	11,4	12,8	13,4	13,6	13,8
$\text{O}-\text{Cl}-\text{O}$	25 ± 2	61,5	10,0	11,7	13,0	13,3	13,8
ClOO^*	23 ± 2	63	11,6				
HOCl	-22 ± 3	56,5	8,9	10,1	11,1	11,6	12,4

Продолжение

Вещество	ΔH_f°	S°	C_p°				
			300	500	800	1000	1500
HOBr	-19 ± 2	59,2	9,0				
SO ₂	-70,9	59,3	9,5	11,1	12,5	13,0	13,6
H ₂ S	-4,8	49,2	8,2	8,9	10,2	10,9	12,3
SCl ₂	-5,2	67,2	12,1	13,1	13,6	13,7	
S ₂ O		63,8	10,5	12,0	13,0	13,3	13,6
NO ₂	7,9	57,3	8,8	10,3	11,9	12,5	13,2
N ₂ O	19,6	52,5	9,2	11,0	12,5	13,1	14,0
•NH ₂	42 ± 3	46,5	8,0	8,5	9,5	10,2	11,5
HNO	23,8	52,7	8,3	9,3	10,8	11,5	12,5
FNO	-15,7	59,3	9,9	11,2	12,4	12,8	13,3
CINO	12,4	62,5	10,7	11,8	12,8	13,3	13,9
BrNO	19,6	65,3	10,9	11,8	12,6	13,0	13,4
INO	$37,0 \pm 2$	67,6	11,2	11,9	12,7	13,0	13,5
•NF ₂	$8,5 \pm 2$	59,7	9,8	11,6	12,8	13,2	13,6
C ₃	190 ± 3	56,8	10,2	11,8	13,3	13,6	14,2
CO ₂	-94,05	51,1	8,9	10,7	12,3	13,0	14,0
HCN	32,3	48,2	8,6	10,0	11,4	12,2	13,5
FCN	-3 ± 10	53,9	10,1	11,6	12,8	13,3	14,1
CICN	33,0	56,5	10,8	12,2	13,2	13,6	14,2
BrCN	43,3	59,3	11,2	12,4	13,2	13,6	14,2
ICN	54,6	61,4	11,5	12,5	13,3	13,7	14,3
:NCN		54,2	10,2	12,3	13,6	14,0	14,5
CS ₂	28,0	56,8	10,9	12,5	13,6	14,0	14,5
COS	$-33,1$	55,3	9,9	11,7	13,0	13,6	14,4
•CNO		54,0	9,2				
SiO ₂	-76 ± 2	54,7	10,7	12,4	13,7	14,1	14,5
PbCl ₂	-40,6	76,6	13,4	13,7	13,8	13,9	13,9
•BF ₂	-130 ± 10	59,0	9,6	11,1	12,8	12,9	13,4
BOF	-144 ± 3	53,7	9,8	11,5	13,4	13,3	14,2
AlOF	-140 ± 3	56,0	10,7	12,8	14,0	14,3	14,6
Al ₂ O	-31 ± 7	62,0	10,9	12,3	13,2	13,4	13,7
HgCl ₂	-35 ± 2	70,4	13,9	14,5	14,8	14,8	14,9
BeCl ₂	$-86,1 \pm 3$	60,3	12,3	13,5	14,2	14,4	14,7
MgF ₂	-173 ± 2	61,7	11,6	13,8	13,4	13,0	13,8
MgCl ₂	$-95,5 \pm 2$	64,9	12,4	13,3	13,6	13,7	13,8
Li ₂ O	-40 ± 3	54,7	11,9	13,3	14,2	14,4	14,7

Таблица V.10

Термохимические параметры некоторых четырехатомных газов

Вещество	ΔH_f°	S°	C_p°				
			300	500	800	1000	1500
H_2O_2	-32,6	56,6	10,3	12,6	14,3	15,0	16,3
HO_2O	± 2						
F_2O_2	8 ± 5						
ClF_3	-38,0	67,3	15,3	17,8	19,0	19,3	19,6
Cl_2O_2	28 ± 6						
BrF_3	-61,1	69,9	15,9	18,1	19,1	19,4	19,7
$SOCl_2$	-50,8	74,0	15,9	17,8	18,9	19,2	
SO_3	-94,6	61,3	12,1	15,1	17,4	18,2	19,1
H_2S_2	3,9		12,3				
SOF_2	-97,1	66,6	13,6	16,4	18,2	18,7	
NO_3 (симв)	17,0	60,4	11,2	15,0	17,5	18,3	19,1
$ON-OO$	14 ± 3	70	11				
NH_3	-11,0	46,0	8,5	10,0	12,2	13,5	15,9
N_2H_2 (<i>цик</i>)	50 ± 5	52,2	8,7	10,9	13,5	14,8	16,9
HNO_2 (<i>цик</i>)	-18,3	59,6	10,8	13,4	15,6	16,5	17,9
FNO_2	-26 ± 2	62,2	11,9	14,9	17,2	18,0	18,9
$CINO_2$	2,9	65,0	12,7	15,4	17,5	18,2	19,1
NO_2-OF	2,5	70,0	15,6	19,7	22,7	23,6	24,8
N_2F_2 (<i>цик</i>)	17,9	62,1	11,9	15,3	17,6	18,3	19,1
NF_3	$-31,4 \pm 1$	62,3	12,8	16,1	18,2	18,7	19,3
HN_3	70,3	57,1	10,4				
P_4	14,0	66,9	16,1	18,3	19,2	19,4	19,7
PCl_3	-68,6	74,5	17,2	18,8	19,4	19,6	19,7
PF_3	-220 ± 4	65,2	14,0	16,9	18,5	19,0	19,5
PH_3	1,3	50,2	8,9	11,1	14,0	15,4	17,4
CH_2O	-27,7	52,3	8,5	10,5	13,4	14,8	17,0
C_2H_2	54,2	48,0	10,5	13,1	15,2	16,3	18,3
$HNCO$		56,9	10,7	13,1	15,2	16,1	17,6
$HO-CN$		57	10,7				
COF_2	$-151,7 \pm 2$	61,9	11,3	14,5	16,9	17,8	18,8
$COCl_2$	-52,6	67,8	13,8	16,3	17,9	18,5	19,2
C_2N_2	73,9	57,7	13,6	15,6	17,4	18,2	19,4
BH_3	22 ± 2	44,9	8,7	10,0	12,5	14,0	16,4
BF_3	$-271,7$	60,7	12,1	15,0	17,3	18,1	19,0
BCl_3	$-96,3$	69,3	14,9	17,3	18,7	19,1	19,5
$OBOH$	$-134,0$	57,3	10,1	12,5	14,9	15,9	17,5

Продолжение

Вещество	ΔH_f°	S°	C_p°				
			300	500	800	1000	1500
AlF_3	-290 ± 2	66,2	15,0	17,4	18,7	19,1	19,5
$AlCl_3$	$-139,7$	74,6	17,0	18,6	19,4	19,5	19,7
Li_2F_2	-222 ± 4	63,6	16,1	18,3	19,2	19,4	19,7
Na_2F_2	-196 ± 4	72,1	18,3	19,3	19,6	19,7	19,8
Na_2Cl_2	-135 ± 2	77,8	18,8	19,5	19,7	19,8	19,8
Na_2Br_2	$-116,2$	83,4	19,2	19,6	19,8	19,8	19,8
K_2Cl_2	$-147,6$	84,3	19,3	19,7	19,8	19,8	19,8

Таблица V.11

Термохимические параметры некоторых многоатомных газов

Вещество	ΔH_f°	S°	C_p°				
			300	500	800	1000	1500
H_2O_3	[$-13,5$]	[67]					
H_2O_4	[$+5,5$]	[77]					
HO_4	[$+43$]	[78]					
$HClO_3$	11 ± 4	67					
$HClO_4$	4 ± 4	69					
Cl_2O_7	65,0						
ClO_3F	$-5,1$	66,7	15,5	20,0	23,0	23,9	24,9
BrF_5	$-102,5$	77,3	24,2	28,5	30,4	30,9	31,4
IF_6	$-196,4$	80,1	24,7	28,7	30,5	30,9	31,4
IF_7	-224 ± 2	83,1	32,4	38,8	41,7	42,4	43,1
Цикло- S_6	24,5						
Цикло- S_8	24,5	103,0	37,4				
H_2S_3	3,6						
H_2S_4	5,7						
H_2SO_4	-177 ± 2	69,1	19,3	25,5	30,0	31,6	34,1
SF_4	-185 ± 2	70,0	17,5	21,8	24,1	24,6	25,3
SF_6	$-291,8$	69,7	23,4	30,7	34,6	35,7	36,8
SO_2F_2	$-205,0$	67,7	15,8	20,1	23,0	23,9	24,9
SO_2Cl_2	$-87,0$	74,5	18,4				

Продолжение

Вещество	ΔH_f°	S°	C_p°				
			300	500	800	1000	1500
N_2O_3	19,8	73,9	15,7	18,7	21,4	22,4	23,6
N_2O_4	2,2	72,7	18,5	28,2	27,1	28,5	30,2
N_2O_5	2,7	82,8	23,0	29,0	32,7	33,8	34,9
N_2H_4	22,8	57,1	12,2	16,9	21,1	23,0	26,4
NH_2OH	-9						
$HONO_2$	-32,1	63,7	12,7	16,9	20,3	21,6	23,4
N_2F_4	-5(± 1)	72,0	18,9	25,0	28,7	29,7	30,8
P_2H_4	5,0						
PF_5	-377,2	70,7	20,1	25,9	29,1	30,0	31,0
POF_3	-290 \pm 4	68,2	16,5	20,7	23,3	24,1	25,0
$POCl_3$	-133,5	77,8	20,3	23,00	24,5	24,9	25,4
PCl_5	-89,6	87,0	26,7	29,7	30,9	31,2	31,5
CH_4	-17,9	44,5	8,5	11,1	15,0	17,2	20,7
C_2H_4	12,5	52,4	10,3	14,9	20,0	22,4	26,3
C_2H_6	-20,2	54,9	12,7	18,7	25,8	29,3	34,9
C_3H_4 (аллен)	45,9	58,3	14,2	19,8	25,4	28,0	32,1
C_3H_6	4,9	63,8	15,3	22,6	30,7	34,5	40,4
Цикло- C_3H_4	66,6	58,4					
Цикло- C_3H_6	12,7	56,8	13,3				
Цикло- C_4H_8	6,3	63,4	17,3				
Цикло- C_5H_{10}	-18,5	70,0	20,0	35,9	52,4	59,8	70,9
Циклопентен	8,6	69,2	18,0	31,6	45,8	51,9	61,1
Циклопента-диен	32,4						
Циклогексан	-29,3	71,3	25,6	45,5	66,8	75,8	88,6
Циклогексен	-0,8	74,3	25,1	42,8	59,5	66,6	77,3
Циклогекса-диен-1,3	25,9						
Циклогекса-диен-1,4	26,3						
CH_3OH	-48,0	57,3	10,5	14,2	19,0	21,4	
C_2H_5OH	-56,2	67,5	15,7	22,8	30,3	33,8	
CH_3OCH_3	-44,0	63,7	15,8	22,5	30,4	34,1	
Окись этилена	-12,6	58,1	11,4	18,0	24,6	27,5	31,8
C_6H_5OH	-23,1	75,1	24,8	38,7	50,7	55,5	62,7
$C_6H_5OCH_3$	-18,0	[86,2]					
CH_3OOH	[-31,3]	[67,5]					
CH_3OOCH_3	-30,0	[74,1]					

Продолжение

Вещество	ΔH_f°	S°	C_p°				
			300	500	800	1000	1500
CH_2CO	-14,6	57,8	12,4	15,7	18,8	20,3	22,6
CH_3CHO	-39,7	63,2	13,2	18,2	24,2	27,0	
CH_3COCH_3	-51,7	70,5	18,0	25,9	34,9	39,2	45,7
HCOOH	-90,5	59,4	10,8	14,6	18,3	19,9	
CH_3COOH	-104,8	67,5	16,0		29,1	31,9	36,5
$(\text{COOH})_2$	[-184]	[82]					
C_3O_2	-23,4	66,0	16,0	19,3	22,1	23,3	25,0
$(\text{CH}_3\text{CO})_2$	-78,6	[91,6]					
HCOOCH_3	-81,0	[72,3]					
$\text{CH}_3\text{COOCH}_3$	[-94,9]	79,8					
$\text{H}_2\text{C}(\text{OH}_2)$	-93,5	[70]					
H_2CO_3	[-132]	[70]					
$\text{C}_6\text{H}_5\text{CHO}$	-6,0	[86]					
CH_3NH_2	-5,5	57,9	11,9		22,4		
$(\text{CH}_3)_2\text{NH}$	-4,5	65,4	16,6		33,9		
$(\text{CH}_3)_3\text{N}$	-5,9	69,2	22,1		45,6		
CH_3NNNH_2	22,6	66,6	17,0		31,3		
Этиленимин	0,0						
CH_3CN	[19,1]	58,7	12,5	16,6	21,3	23,5	
$\text{CH}_2 - \text{N} = \text{N}$	79	56,9	10,2	14,3	18,4	20,0	
$\text{CH}_2 = \text{N} = \text{N}$	71	58,0	12,6	15,6	18,7	20,2	
CH_3NC	35,9	59,1	12,8	16,7	21,3	23,6	
HCONH_2	-44,5	59,6	11,1		21,1		
CH_3NO	[16]	[64]					
$\text{C}_2\text{H}_5\text{NO}$	[9]	[74]					
CH_3NO_2	-17,9	65,8	13,8	19,6	25,6	28,2	
CH_3ONO	-15,6	70,1	15,4		26,3		
CH_3ONO_2	-28,6	76,0					
CH_3SH	-5,5	61,0	12,05		20,3		
$(\text{CH}_3)_2\text{S}$	-8,9	63,3	17,8		31,6		
$(\text{CH}_3)_2\text{S}_2$	-5,7	80,5	22,6		37,7		
$\text{HN} = \text{CS}$	+30,0	59,2					
$\text{CO}(\text{NH}_2)_2$	(-60 ± 4)						
$\text{C}(\text{NO}_2)_4$	(19,4)						
CH_3F	-55 ± 2	53,3	9,0	12,3	16,4	18,4	21,6
CH_3Cl	-20,7	56,0	9,7	13,2	17,0	18,9	21,8
CH_3Br	-9,5 ± 1	58,9	10,2	13,6	17,3	19,0	21,8
CH_3I	3,3	60,5	10,6	14,0	17,5	19,2	21,9
CH_2Cl_2	-22,4	64,6	12,2	16,0	19,4	20,8	22,9
CH_2F_2	-107,2	59,0	10,3	14,1	18,2	20,0	22,5

Продолжение

Вещество	ΔH_f°	S°	C_p°				
			300	500	800	1000	1500
CH_2Br_2	(+1 ± 3)	70,1	13,1	16,7	19,7	21,1	23,1
CH_2I_2	+26 ± 2	74,0	13,9	17,3	20,1	21,3	23,2
CHF_3	-166,8	62,0	12,2	16,6	20,3	21,7	23,6
CHCl_3	-25 ± 1	70,7	15,7	19,4	21,9	22,9	24,2
CF_2Cl_2	-115 ± 2	71,9	17,3	21,3	23,7	24,4	25,2
CF_4	-222 ± 2	62,5	14,6	19,3	22,6	23,6	24,8
CCl_4	-26,0	74,2	19,9	23,0	24,6	25,0	25,5
C_2F_4	-155 ± 2	71,7	19,2	24,0	27,6	28,9	30,4
C_2Cl_4	-3,6	81,3	22,7	26,6	29,2	30,0	
C_2F_6	-317	79,4	25,4	33,3	38,3	39,8	41,4
C_2Cl_6	-35,3	94,8	32,7	38,3	41,3	42,1	
$\text{C}_2\text{H}_5\text{F}$	-61	63,3	14,1	20,5			
$\text{C}_2\text{H}_5\text{Cl}$	-26,7	66,1	15,1	21,7	27,4	31,5	
$\text{C}_2\text{H}_5\text{Br}$	-14,8	68,6	15,5	22,0	28,6	31,6	
$\text{C}_2\text{H}_5\text{I}$	-2,1	70,7	15,4	22,3	28,8	32,0	
$\text{CH}_2=\text{CHF}$	(-31,6)	60,4	11,9	17,0	21,9	24,0	
$\text{CH}_2=\text{CHNO}_2$		70,6	17,4	24,9	31,7	34,5	38,5
$\text{CH}_2=\text{CHCl}$	8,1	63,1	12,9	17,8	22,4	24,3	
CH_3COF	-104						
CH_3COCl	-58,9	70,5	16,3	21,2	26,3	28,6	
CH_3COI	-30,3	76,0	17,5	20,9			
SiH_4	8,2	49,0	10,3	14,1	18,3	20,2	22,8
Si_2H_6	17,0	65,6	19,0	25,5	31,8	34,5	
SiF_4	-386,0	67,5	17,6	21,4	23,8	24,4	25,2
SiH_3CH_3	-4,0	61,3	15,7				
SiCl_4	-157 ± 2	79,2	21,7	24,0	25,1	25,3	25,6
B_2H_6	9 ± 4	55,7	13,9	21,2	29,1	32,6	37,7
B_3H_9	17,5 ± 2	65,9	22,6	38,6	54,3	60,8	69,6
B_2Cl_4	-116,9	85,8	22,7	26,6	28,9	29,5	30,2
$\text{B}_3\text{F}_3\text{O}_3$	-565,3	81,8	27,5	36,2	42,8	44,9	47,4
Боразол $(\text{H}_6\text{B}_3\text{N}_3)$	-122 ± 3	69,0	23,2	36,0	47,1	51,8	58,5
$\text{B}(\text{CH}_3)_4$	-29,3	75,3	21,2				
Al_2Cl_6	-309,2	113,8	37,9	41,3	42,7	43,1	43,4
$\text{Al}_2(\text{CH}_3)_6$	-62 ± 4	125,4					
$\text{Al}(\text{CH}_3)_3$	-21 ± 2	3	91				
$\text{Al}(\text{BH}_4)_3$							

Таблица V.12

Термохимические параметры некоторых свободных радикалов в газовой фазе

Радикал	σ, S	ΔH_f°	S°	C_p°				
				300	500	800	1000	1500
:CO ₃	(6, 1)	-48±6	61,2	11,3	15,0	17,5	18,3	19,1
HCO	$\left(1, \frac{1}{2}\right)$	7,2	53,7	8,3	9,2	10,5	11,2	12,3
HCOO [•]	$\left(2, \frac{1}{2}\right)$	-36±4	57,3	9,6	12,4	15,0	15,9	16,8
:C=C=O	(1, 1)	68±15	55,7	10,3	11,7	13,1	13,7	14,6
·COOH	$\left(1, \frac{1}{2}\right)$	-51±3	61,0	10,8	13,4	15,6	16,5	17,9
:CH ₂	(2, 1)	88±3	43,3	7,5	8,8	10,3	11,1	12,6
:CF ₂	(2, 0)	-41±4	57,5	9,3	11,1	12,5	13,0	13,5
:CCl ₂	(2, 0)	45±10	63,7	10,8	12,3	13,1	13,4	13,7
·C≡C—H	$\left(1, \frac{1}{2}\right)$	122±5	49,6	8,9	10,2	11,5	12,2	13,3
ClCO	$\left(1, \frac{1}{2}\right)$	-4,0	63,5	10,8	11,7	12,5	12,9	13,4
·CH ₃	$\left(6, \frac{1}{2}\right)$	34,0	46,1	8,8	10,6	13,2	14,5	16,8
·C ₂ H ₃	$\left(1, \frac{1}{2}\right)$	69±2	56,3	9,7	13,1	16,8	18,7	21,8
·CF ₃	$\left(3, \frac{1}{2}\right)$	-112,5	63,8	12,2	15,2	17,5	18,2	19,1

Продолжение

Радикал	σ, S	ΔH_f°	S°	C_p°				
				300	500	800	1000	1500
$\cdot\text{CCl}_3$	$(3, \frac{1}{2})$	18,5	70,8	14,9	17,3	18,7	19,1	19,5
$\cdot\text{C}_2\text{H}_5$	$(6, \frac{1}{2})$	26,0	59,8	11,1	16,3	22,8	25,7	30,4
$\kappa\text{-}\dot{\text{C}}_3\text{H}_7$	$(6, \frac{1}{2})$	21,0	68,5	17,1	25,2	33,7	38,1	44,7
<i>изо</i> - $\dot{\text{C}}_3\text{H}_7$	$(18, \frac{1}{2})$	17,6	66,7	17,0	24,9	33,2	37,9	44,6
<i>изо</i> - $\dot{\text{C}}_4\text{H}_9$	$(9, \frac{1}{2})$	13,7	75,2	22,7	33,8	45,1	50,6	59,1
<i>трит</i> - C_4H_9	$(162, \frac{1}{2})$	6,7	74,6	19,1	30,5	43,0	49,0	58,3
Аллил	$(2, \frac{1}{2})$	40,6	63,4	14,1				
Циклопропил	$(2, \frac{1}{2})$	61 ± 3	60,4	12,9				
Циклобутил	$(2, \frac{1}{2})$	51 ± 2	67,3	16,8				
Фенил	$(2, \frac{1}{2})$	80 ± 1	69,4	18,8				
Бензил	$(2, \frac{1}{2})$	45	77,3	34,9				
Циклогексил	$(1, \frac{1}{2})$	[13]	[76]					
Циклогексанил-3	$(2, \frac{1}{2})$	[30]	[75]					

Циклогексан-1,3-диен-5	$\left(2, \frac{1}{2}\right)$	[43]	[69]			
$\text{CH}_3\text{O}^\bullet$	$\left(3, \frac{1}{2}\right)$	3,5	55	9,0		
$\text{CH}_3\text{S}^\bullet$	$\left(3, \frac{1}{2}\right)$	[32,5]	[59]	9,0		
$\text{CH}_3\dot{\text{N}}\text{H}$	$\left(3, \frac{1}{2}\right)$	[34,5]	[57]	10,5		
$\dot{\text{C}}\text{H}_2\text{CN}$	$\left(2, \frac{1}{2}\right)$	[16,9]	[58]	11,4		
$\dot{\text{C}}\text{H}_2\text{NH}_2$	$\left(2, \frac{1}{2}\right)$	[36,5]	[57]	10,5		
$\text{CH}_3\dot{\text{C}}\text{O}$	$\left(3, \frac{1}{2}\right)$	-5,4	63,5	11,3	15,7	
$\dot{\text{C}}\text{H}_2\text{COCH}_3$	$\left(3, \frac{1}{2}\right)$	[93,7]	[71,5]	17,6		
$\dot{\text{C}}\text{H}_2\text{OCH}_3$	$\left(6, \frac{1}{2}\right)$	[86,0]	[64,7]	15,5		
$\text{C}_2\text{H}_5\dot{\text{O}}$	$\left(3, \frac{1}{2}\right)$	-4	[65,3]	14,2		
<i>iso</i> - $\text{C}_3\text{H}_7\dot{\text{O}}$	$\left(9, \frac{1}{2}\right)$	[-12,6]	[71,8]			
<i>tert</i> - $\text{C}_4\text{H}_9\dot{\text{O}}$	$\left(81, \frac{1}{2}\right)$	-21,6	[75,7]			
CH_3OO	$\left(3, \frac{1}{2}\right)$	[+6,7]	[65,3]			
$\text{C}_2\text{H}_5\text{OO}$	$\left(3, \frac{1}{2}\right)$	[-1,8]	[75]			
<i>tert</i> - $\text{C}_4\text{H}_9\dot{\text{O}}_2$	$\left(81, \frac{1}{2}\right)$	[-19,2]	[85]			

Таблица V.13

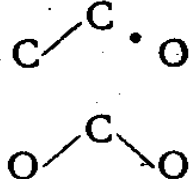
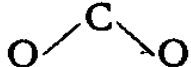
Частоты некоторых валентных и деформационных колебаний

Валентные колебания	Частота ^{a)} , см^{-1}	Деформационные колебания	Частота, см^{-1}
$\text{C}=\text{O}$	1700		1450
$\text{C}\equiv\text{C}$	1400		1000
$\text{C}-\text{O}$ (в простых эфирах)	1100		1150
$\text{C}-\text{O}$ (в кислотах и сложных эфирах)	1200		
$\text{C}\cdot\text{O}$	710		800
$\text{C}=\text{C}$	1650		1200
$\text{C}\equiv\text{C}$	1300		840
$\text{C}-\text{C}$	1000		1150
$\text{C}\cdot\text{C}$	675		800
$\text{C}-\text{H}; \text{O}-\text{H}; \text{N}-\text{H}$	3100		
$\text{S}-\text{H}$	2600		420
$\text{C}\cdot\text{H}$	2200		290
$\text{C}-\text{F}$	1100		420
$\text{C}\cdot\text{F}$	820		420
$\text{C}-\text{Cl}$	650		420
$\text{C}\cdot\text{Cl}$	490		850
$\text{C}-\text{I}$	500		650

Продолжение

Валентные колебания	Частота ^{a)} , см^{-1}	Деформационные колебания	Частота, см^{-1}
C—I	375	$(\text{H} \begin{array}{l} \diagup \\ \diagdown \end{array} \text{C} \begin{array}{l} \diagup \\ \diagdown \end{array} \text{C})_m$ ^{b)}	700
C—Br	560	$(\text{H} \begin{array}{l} \diagup \\ \diagdown \end{array} \text{C} \begin{array}{l} \diagup \\ \diagdown \end{array} \text{C})_m$	700
C•Br	420	$(\text{H} \begin{array}{l} \diagup \\ \diagdown \end{array} \text{C} \equiv \text{C})_{n, \pi}$	700
		$\text{C} \begin{array}{l} \diagup \\ \diagdown \end{array} \text{Cl}$	400
		$\text{C} \begin{array}{l} \diagup \\ \diagdown \end{array} \cdot \text{Cl}$	280
		$\text{C} \begin{array}{l} \diagup \\ \diagdown \end{array} \text{Br}$	360
		$\text{C} \begin{array}{l} \diagup \\ \diagdown \end{array} \cdot \text{Br}$	250
		$\text{C} \begin{array}{l} \diagup \\ \diagdown \end{array} \text{I}$	320
		$\text{C} \begin{array}{l} \diagup \\ \diagdown \end{array} \cdot \text{I}$	220
		$\text{C} \begin{array}{l} \diagup \\ \diagdown \end{array} \text{C}$	420
		$\text{C} \begin{array}{l} \diagup \\ \diagdown \end{array} \cdot \text{C}$	300
		$\text{C} \begin{array}{l} \diagup \\ \diagdown \end{array} \text{O} \begin{array}{l} \diagup \\ \diagdown \end{array} \text{C}$	400
		$\text{C} \begin{array}{l} \diagup \\ \diagdown \end{array} \text{O} \begin{array}{l} \diagup \\ \diagdown \end{array} \cdot \text{C}$	280
		$\text{C} \begin{array}{l} \diagup \\ \diagdown \end{array} \text{C} \begin{array}{l} \diagup \\ \diagdown \end{array} \text{O}$	400

Продолжение

Валентные колебания	Частота ^{a)} , см^{-1}	Деформационные колебания	Частота, см^{-1}
			280
			400

^{a)} Для частот деформационных колебаний неожиданно хорошо выполняется правило $\omega_1/\omega_2 = (\mu_2/\mu_1)^{1/2}$, где приведенная масса μ для колебания ($A-R-B$) определяется соотношением

$$\mu = \frac{M_A M_B}{M_A + M_B}.$$

Отклонения от этого правила редко превышают 50 см^{-1} .

б) Здесь игнорируются различия между "веерными" и крутильными колебаниями метильной и метиленовой групп, частоты которых могут лежать в пределах $1100-1300 \text{ см}^{-1}$. Вместо этого рассматривается обобщенное колебание ($\text{H}-\text{C}-\text{C}$)_{кр.} в с частотой 1150 см^{-1} . Маятниковое колебание метиленовой группы имеет низкую частоту ($\sim 700 \text{ см}^{-1}$), что близко к частоте внеплоскостного деформационного колебания ($\text{H}-\text{C}-\text{C}$) в олефинах.

в) С-С означает одноэлектронную связь. Обозначения типов колебаний: кр — крутильное, в — веерное, м — маятниковое, н.п. — неплоское.

Таблица V.14

Некоторые средние ковалентные радиусы и длина связей^a

Атом	Радиус, Å	Длина связи, Å	Атом	Радиус, Å	Длина связи, Å
H	0,32	C—H $1,08 \pm 0,03$	P	1,10	C—I 2,13
C	0,77	O—H 0,96	P _d	1,00	C—N 1,47
C _d	0,67	N—H 1,01	B	0,81	C≡N 1,16
C _t	0,60	S—H 1,34	Hg	1,48	C—O 1,43
N	0,74	B—H 1,18	F	0,72	C=O 1,23
N _d	0,62	C—C 1,54	Cl	0,99	C—S 1,81
N _t	0,55	C=C 1,34	Br	1,11	C=S 1,17
O	0,74	C≡C 1,20	I	1,28	
O _d	0,62	C—F 1,33	Si	1,17	
S	1,04	C—Cl 1,77	Si _d	1,07	
S _d	0,94	C—Br 1,94	Sn	1,40	

^a Индекс *d* относится к двойной связи, а индекс *t* — к тройной.

Таблица V.15

Теплоемкость C_p [кал/(моль · град)] гармонических осцилляторов в зависимости от их частот и температуры

Частота, см^{-1}	Temperatura, °K						
	300	400	500	600	800	1000	1500
100	1,95	1,97	1,97	1,98	1,98	1,98	1,99
200	1,84	1,90	1,93	1,95	1,97	1,97	1,98
250	1,76	1,86	1,90	1,93	1,95	1,97	1,98
300	1,68	1,80	1,87	1,90	1,94	1,96	1,97
350	1,58	1,74	1,83	1,87	1,92	1,95	1,97
400	1,47	1,68	1,78	1,84	1,90	1,93	1,96
500	1,26	1,53	1,68	1,76	1,86	1,90	1,95
600	1,04	1,37	1,56	1,68	1,80	1,87	1,93
800	0,66	1,04	1,30	1,47	1,68	1,78	1,89
1000	0,38	0,74	1,04	1,26	1,53	1,68	1,84
1200	0,21	0,51	0,80	1,04	1,37	1,56	1,78
1500	0,08	0,26	0,51	0,74	1,12	1,37	1,68
2000	0,01	0,08	0,21	0,38	0,74	1,04	1,30
2500	0,00	0,02	0,08	0,18	0,46	0,74	1,26
3000	0,00	0,00	0,03	0,08	0,26	0,51	1,04

Таблица V.16

Молярная теплоемкость C_p^o [кал/(моль · град)] как функция от величины энергетического барьера V , температуры и суммы по состояниям Q_f ^{a)}

V/RT	$1/Q_f$				
	0,0	0,2	0,4	0,6	0,8
0,0	1,0	1,0	1,0	1,0	1,0
0,5	1,1	1,1	1,1	1,0	1,0
1,0	1,2	1,2	1,2	1,1	1,1
1,5	1,5	1,4	1,3	1,2	1,1
2,0	1,7	1,7	1,5	1,4	1,2
2,5	1,9	1,9	1,7	1,5	1,3
3,0	2,1	2,0	1,8	1,6	1,3
4,0	2,3	2,2	2,0	1,7	1,4
6,0	2,3	2,2	1,9	1,5	1,2
8,0	2,2	2,1	1,7	1,3	0,9

Продолжение

V/RT	1/Q_f				
	0,0	0,2	0,4	0,6	0,8
10,0	2,1	2,0	1,5	1,0	0,7
15,0	2,1	1,8	1,2	0,7	0,4
20,0	2,0	1,7	1,0	0,5	0,2

a) Согласно „Термодинамике“ Льюиса и Рэндалла, переработанной Питцером и Брюэром (Lewis G. N., Randall M., Pitzer K. S., Biegel L., Thermodynamics, 2nd Ed., N. Y., 1961), $Q_f = \frac{3,6}{\sigma} \left(\frac{I_f T}{100} \right)^{1/2}$, где T выражена в °К; I_f — в атомных единицах массы и Å; σ — симметрия барьера (например, 3 для CH_3 , 2 для CH_2 и т. д.).

Таблица V.17

Абсолютная энтропия [кал/(моль · град)] гармонического осциллятора в зависимости от частоты и температуры a)

Частота, см^{-1}	Температура, °К							
	300	400	500	600	800	1000	1200	1500
50	4,8	5,4	5,9	6,3	6,8	7,3	7,7	8,1
75	4,1	4,7	5,0	5,4	6,0	6,5	6,9	7,3
100	3,4	4,1	4,5	4,8	5,6	5,9	6,3	6,7
125	3,1	3,6	4,1	4,4	5,2	5,5	5,9	6,3
150	2,7	3,3	3,7	4,1	4,7	5,0	5,4	5,9
200	2,2	2,7	3,1	3,5	4,1	4,4	4,8	5,3
250	1,8	2,3	2,7	3,0	3,6	4,1	4,5	4,9
300	1,4	1,9	2,3	2,7	3,3	3,6	4,1	4,5
350	1,2	1,7	2,1	2,4	3,0	3,4	3,8	4,2
400	1,0	1,4	1,8	2,1	2,7	3,2	3,5	3,8
500	0,7	1,1	1,4	1,8	2,3	2,7	3,0	3,5
600	0,5	0,8	1,0	1,4	1,9	2,3	2,7	3,1
700	0,3	0,6	0,8	1,2	1,7	2,1	2,4	2,8
800	0,2	0,5	0,8	1,0	1,4	1,8	2,1	2,6
900	0,2	0,4	0,6	0,8	1,2	1,6	1,9	2,3
1000	0,1	0,3	0,5	0,7	1,1	1,4	1,8	2,1
1200	0,0	0,1	0,3	0,5	0,8	1,0	1,4	1,8
1500	0,0	0,1	0,2	0,3	0,5	0,8	1,1	1,4
2000	0,0	0,0	0,0	0,1	0,3	0,5	0,7	1,0
2500	0,0	0,0	0,0	0,0	0,1	0,3	0,5	0,7
3000	0,0	0,0	0,0	0,0	0,1	0,1	0,3	0,5
3500	0,0	0,0	0,0	0,0	0,0	0,1	0,2	0,3

a) $x = 1,44 \bar{v}/T$ и S° , как видно из таблицы, определяется величиной отношения \bar{v}/T . При $x \ll 1$ $S^\circ = R + R \ln x = 1,99 + 4,575 \lg x$.

Таблица V.18

Приближенные значения моментов инерции, энтропии и сумм. по состояниям Q_f при 600°K для некоторых свободных ротаторов

Ротатор	σ а)	Момент инерции б)	$Q_f, 600^\circ\text{K}$	$S_f^\circ (\text{int}), \text{кал}/(\text{моль}\cdot\text{град})$ в)		
				300	600	1000
—CH ₃	(3)	3,0	5,2	5,8	6,5	7,0
—CH ₂	(2)	2,0	6,5	5,4	6,1	6,6
—C ₂ H ₅	(1)	44,0	52,0	8,2	8,2	9,4
—изо-Пропил	(1)	87,0	65,0	8,6	9,3	9,8
—тетр-Бутил	(3)	130,0	24,0	8,8	9,5	10,0
—Фенил	(2)	88,0	32,0	8,6	9,3	9,8
—Бензил	(1)	~700,0	93,0	10,7	11,4	11,9
—OH	(1)	1,0	9,1	4,6	5,3	5,8

а) При вычислении моментов относительно оси — С принимался тетраэдрический угол при насыщенных связях и угол, равный 120° при двойных связях. В скобках указаны числа симметрии.

б) В $(\text{ат}\cdot\text{ед})\cdot\text{\AA}^2$. Предполагается, что ротатор связан с бесконечно большой массой.

в) Приведены в соответствии с таблицей V.16:

$$S_f^\circ (\text{int}) = S_f^\circ + R \ln \sigma.$$

Таблица V.19

Значения некоторых вращательных барьеров V (ккал/моль) а)

Связь	V	Связь	V
CH ₃ —CH ₃	2,9	CH ₂ Cl—CF ₃	5,8
CH ₃ —C ₂ H ₅	2,8	CCl ₃ —CCl ₃	10,8
CH ₃ —изо-C ₃ H ₇	3,6	CH ₃ —CH ₂ Br	3,6
CH ₃ —тетр-C ₄ H ₉	4,7	CH ₃ —CH ₂ I	3,2
{ цис CH ₃ —CH=CHCH ₃	0,75 б)	CH ₃ —C ₆ H ₅	0
транс	1,95	CH ₃ —CCCH ₃	0
CH ₃ —C ₂ H ₃	2,0	CH ₃ —NO ₂	0
CH ₃ —CH ₂ F	3,3	CH ₃ O—NO	9,0
CH ₃ —CF ₃	3,5	CH ₃ O—NO ₂	9,0
CF ₃ —CF ₃	4,4	CH ₃ O—CO(CH ₃)	13
CH ₃ —CH ₂ Cl	3,7	CH ₃ —OH	1,1
		CH ₃ —OCH ₃	2,7

Продолжение

Связь	<i>V</i>	Связь	<i>V</i>
CH_3-NH_2	1,9	CH_3- (аллен)	1,6
$\text{CH}_3-\text{NHCH}_3$	3,3	CH_3- (изобутен)	2,2
$\text{CH}_3-\text{N}(\text{CH}_3)_2$	4,4	$\text{CH}_3-\text{CO(OH)}$	0,5
CH_3-SiH_3	1,7	CH_3- (циклическая окись)	2,6
$\text{CH}_3-\text{SiH}_2(\text{CH}_3)$	1,7	$(\text{CH}_3)_2\text{N}-\text{COCH}_3$	20,0
CH_3-PH_2	2,0	CH_3-OCHO	1,2
CH_3-SH	1,3	CH_3-ONO_2	2,3
CH_3-SCH_3	2,1	$\text{CH}_3-\text{O}-\text{C}_2\text{H}_5$	3,4
CH_3-CHO	1,2		
$\text{CH}_3-\text{COCH}_3$	0,8		

a) Дальнейшие подробности можно найти в работе Dale J., Tetrahedron, 22, 3373 (1966). [См. также обстоятельный обзор Петрика и Вин-Джонса „Энергетические аспекты внутреннего вращения: потенциальные барьеры, изменение энталпии (теория и эксперимент)“ [Petrick R. A., Wupp-Jones E., Quart. Rev., 23, 301 (1969). — Прим. перев.]

b) По-видимому, обнаруживается вполне общий „цис-эффект“, в соответствии с которым F, Cl, CH₃ и CN в цис-положении относительно группы CH₃ снижают барьер ее вращения примерно на 1,4 ккал/моль.

Таблица V.20

Снижение энтропии свободного ротатора в зависимости от высоты потенциального барьера *V*, температуры (*T*, °К) и суммы по состояниям *Q_f*^{a)}

<i>V/RT</i>	<i>1/Q_f</i>			<i>V/RT</i>	<i>1/Q_f</i>		
	0,0	0,2	0,4		0,0	0,2	0,4
0,0	0,0	0,0	0,0	6,0	1,7	1,6	1,4
1,0	0,1	0,1	0,1	8,0	2,0	2,0	1,7
2,0	0,4	0,4	0,4	10,0	2,3	2,2	1,9
3,0	0,8	0,8	0,7	15,0	2,7	2,6	2,2
4,0	1,1	1,1	1,0	20,0	3,1	2,9	2,4
5,0	1,4	1,4	1,2				

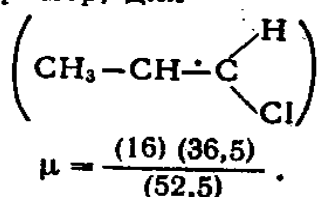
a) В таблице приведены значения $\Delta S = S_f^\circ - S_h^\circ$ [кал/(моль·град)] в соответствии с книгой Lewis G. N., Randall M., Thermodynamics, McGraw-Hill, New York, 2n ed., 1961. Обозначения те же, что и в табл. V.16 и V.17.

Таблица V.21

Частоты крутильных колебаний метилзамещенных этилена

Олефин	$\omega, \text{см}^{-1}$ а)	$\omega, \text{см}^{-1}$ б) («трехэлектронные» крутильные колебания)	μ в)
Этилен (C_2H_4)	100		
$(E)_{\text{kp}} = (\text{CH}_2=\text{CH}_2)$		500	1,0
Пропилен (C_3H_6)	800		
$(P)_{\text{kp}} = \text{CH}_2=\text{CHCH}_3$		400	1,78
Изобутилен (C_4H_8)	700		
$(i\text{-B})_{\text{kp}} = (\text{CH}_3)_2\text{C}=\text{CH}_2$		350	1,88
цис-Бутен-2 (C_4H_8)	400		
$(C\text{-2-B})_{\text{kp}} = \begin{pmatrix} \text{H}_3\text{C} & & \text{CH}_3 \\ > & \text{C}=\text{C} & \\ & \text{H} & \text{H} \end{pmatrix}$		200	8,0
транс-Бутен-2	300		
$(t\text{-2-B})_{\text{kp}} = \begin{pmatrix} \text{H}_3\text{C} & & \text{H} \\ > & \text{C}=\text{C} & \\ & \text{H} & \text{CH}_3 \end{pmatrix}$		150	8,0
2-Метилбутен-2	250		
$(2\text{-MB-2})_{\text{kp}} = (\text{CH}_3)_2\text{C}=\text{CHCH}_3$		125	10,4
Тетраметилэтилен	(210)		
$(TME)_{\text{kp}} = (\text{CH}_3)_2\text{C}=\text{C}(\text{CH}_3)_2$		105	15,0

а) Для частот крутильных колебаний с точностью приблизительно $\pm 50 \text{ см}^{-1}$ выполняется правило $\omega_1/\omega_2 = (\mu_2/\mu_1)^{1/2}$. Приведенная масса определяется суммами масс заместителей, расположенных на обоих концах деформируемой двойной связи. Например, для



б) Частоты «трехэлектронных» крутильных колебаний приняты равными половине частот соответствующих обычных крутильных колебаний вокруг двойной связи.

в) μ выражена в атомных единицах массы.

Таблица V.22

Энергии диссоциации связей $R'-R''$ в некоторых органических молекулах а)

	(52,1) H	(19,8) F	(28,9) Cl	(26,7) Br	(25,5) I	(9,3) O	(40±2) NH ₂	(3,5±1) OCH ₃	(34±1) CH ₃	(26±1) C ₂ H ₅	(17,5±1) изо-C ₃ H ₇	(6,7±1) тет-C ₄ H ₉	(80±1) C ₆ H ₅
(34±1) CH ₃ б)	104	108	83,5	70	56	91,5	79	81,5	88	85	84	80	102
(26±1) C ₂ H ₅	98	106	81,5	69	53,5	91,5	78	81,5	85	82	80	77	99
(21±1) μ -C ₃ H ₇	98	106	81,5	69	53,5	91,5	78	81,5	85	82	80	77	99
(17,5±1) изо-C ₃ H ₇	94,5	105	81	68	53	92	(77) ^{в)}	82	84	80	77,5	73	96,5
(6,7±1) тет-C ₄ H ₉	91	—	78,5	63	49,5	90,5	(77)	79,5	80	77	73	67,5	93
(80±2) C ₆ H ₅	112	125	—	80	65	112	100	101,5	102	98	96,5	93	118
(45±1) C ₆ H ₅ CH ₂	85	—	—	—	40	77	—	70	72	69	67,5	64	78,5
(40,5±1) аллил	87,5	—	—	—	43,5	80	—	(68)	74,5	71,5	69,5	65,5	79,5
(-5)CH ₃ CO	86,5	118	82,5	—	51,6	108	(95)	97	81	78	80	—	97
(-5±1)CH ₃ CH ₂ O	103	—	—	—	—	44	—	(44)	81	81	82	81	101
(-1,5)CH ₃ CH ₂ O ₂	90	—	—	—	(28)	—	(22)	72	72	(71)	(69)	93	89
(67,5±2)CH ₂ =CH	108	—	89	—	—	93	97	94	92	—	113	—	—

а) Все значения в ккал/моль.

б) В скобке в первом столбце таблицы приведены теплоты образования атомов и радикалов ΔH_f° .

в) В скобках приводятся значения, оцененные автором.

СОДЕРЖАНИЕ

Предисловие	5
Предисловие автора	9

Глава I

РАВНОВЕСИЕ И СКОРОСТЬ РЕАКЦИИ

I.1. Термодинамика и кинетика	11
I.2. Реакция идеальных газов	13
I.3. Принцип детального равновесия	14
I.4. Термохимические величины	18
I.5. Стандартные состояния	21
I.6. Аррениусовские параметры	23
I.7. Модифицированное уравнение Аррениуса	26
I.8. Свободная энергия активации	27
I.9. Отрицательные энергии активации	28
I.10. Диаграмма координата реакции — энергия	30

Глава II

МЕТОДЫ ПОЛУЧЕНИЯ ТЕРМОХИМИЧЕСКИХ ДАННЫХ

II.1. Некоторые термодинамические соотношения	33
II.2. Источники термохимических данных	35
II.3. Правила аддитивности свойств молекул	36
II.4. Аддитивность свойств связей	37
II.5. Аддитивность свойств групп	40
II.6. Негрупповые взаимодействия. Циклы	44
II.7. Определение термохимических величин при повышенных температурах	45
II.8. Структурные методы определения C_p°	49
II.9. Колебательные вклады в C_p°	53
II.10. Электронные вклады в C_p°	56
II.11. Числа симметрии. Изомеры	57
II.12. Определение C_{pT}° по данным для модельных соединений	61
II.13. Колебательные вклады в энтропию	69
II.14. Энергия напряжения и энергия резонанса	72
II.15. Энергия π -связей	76
II.16. Энтропии циклических соединений	78

Глава III

АРРЕНИУСОВСКИЕ ПАРАМЕТРЫ РЕАКЦИЙ В ГАЗОВОЙ ФАЗЕ

III.1. Элементарные стадии газовых реакций	83
III.2. Теория переходного состояния	84

III.3. Теория столкновений для бимолекулярных реакций	89
III.4. Структурный анализ стерического фактора	92
III.5. Классификация мономолекулярных реакций	95
III.6. Простой распад. Отщепление атома от молекулы	97
III.7. Простой распад на две большие группы	102
III.8. Цис-транс-изомеризация	107
III.9. Сложный распад. Циклические переходные состояния	111
III.10. Бирадикальные промежуточные продукты в мономолекулярных реакциях	123
III.11. Пространственные затруднения и резонанс в переходном состоянии	136
III.12. Расчет предэкспоненциальных множителей распада циклов	138
III.13. Реакция ретродиенового синтеза	139
III.14. Классификация бимолекулярных реакций	142
III.15. Нижний предел предэкспонента бимолекулярной реакции	144
III.16. Реакции замещения	148
III.17. Реакции ассоциации	153
III.18. Реакции вытеснения	160
III.19. Процессы передачи энергии	162
III.20. Рекомбинация атомов	169
III.21. Процессы передачи энергии при низких давлениях	174
III.22. Реакции ионов	176

Глава IV АНАЛИЗ СЛОЖНЫХ РЕАКЦИЙ

IV.1. Цепные реакции	179
IV.2. Критерий для оценки роли цепных реакций	180
IV.3. Скорость продолжения цепи	183
IV.4. Продукты конкурирующих цепных реакций	185
IV.5. Некоторые типы цепных реакций	188
IV.6. Стадии инициирования	194
IV.7. Реакции обрыва	200
IV.8. Реакции передачи цепи и инициирование цепных реакций	202
IV.9. Пиролиз ацетальдегида	204
IV.10. Малоактивные радикалы	206
IV.11. Селективность радикалов	212
IV.12. Окисление	214
IV.13. Образование инертных радикалов в реакциях инициирования	221
IV.14. Вторичные реакции	223
IV.15. Полимеризация в газовой фазе	229
IV.16. Гомогенный катализ	231
IV.17. Гомогенный катализ реакций рекомбинации	237
IV.18. Стадии изомеризации в цепных процессах	239
IV.19. Реакции горячих молекул	246
IV.20. Реакции озона с олефинами	252

ГЛАВА V ПРИЛОЖЕНИЕ. ТАБЛИЦЫ